



Università
Ca' Foscari
Venezia

Corso di Laurea magistrale
in Scienze dell'Antichità: Letterature, Storia e
Archeologia

Tesi di Laurea

**Analisi paleobiologica di 46 individui dal
cimitero medievale di San Francesco a
Imola**

Relatore

Ch. Prof. Sauro Gelichi

Correlatrici

Dott.ssa Francesca Bertoldi

Dott.ssa Margherita Ferri

Laureando

Tommaso Frattin

Matricola 828045

Anno Accademico

2019 / 2020

INDICE

Introduzione	p. 1
I. Il sito	
1. Imola	p. 3
2. Il monastero di San Francesco e lo scavo	p. 4
II. Il campione umano	
1. Introduzione	p. 11
2. La determinazione del sesso	p. 11
2.1 <i>La determinazione del sesso degli individui adulti</i>	p. 12
2.2 <i>La determinazione del sesso degli individui subadulti</i>	p. 18
3. La determinazione dell'età alla morte	p. 18
3.1 <i>La determinazione dell'età degli individui adulti</i>	p. 19
3.2 <i>La determinazione dell'età degli individui subadulti</i>	p. 21
4. Sesso ed età degli individui esaminati	p. 23
5. La statura	p. 27
6. Caratteri metrici e morfometrici	p. 29
6.1 <i>Caratteri metrici e morfometrici cranici</i>	p. 29
6.2 <i>Caratteri metrici e morfometrici dello scheletro postcraniale</i>	p. 34
7. Caratteri discontinui	p. 40
7.1 <i>Caratteri discontinui cranici</i>	p. 40
7.2 <i>Caratteri discontinui dello scheletro postcraniale</i>	p. 47
8. Caratteri ergonomici	p. 50
9. Paleopatologia	p. 58
9.1 <i>Malattie articolari</i>	p. 58
9.2 <i>Fratture</i>	p. 59
9.3 <i>Patologie dentarie</i>	p. 60
9.4 <i>Tracce di anemie</i>	p. 66
9.5 <i>Periostite</i>	p. 66
9.6 <i>Displasie scheletriche ereditarie</i>	p. 67

9.7 <i>Altre patologie</i>	p. 68
10. Usure strumentali	p. 69
III. Confronti e conclusioni	
1. Integrazione dei dati disponibili	p. 71
1.1 <i>Sesso ed età</i>	p. 71
1.2 <i>Statura</i>	p. 74
1.3 <i>Caratteri metrici e morfometrici cranici</i>	p. 74
1.4 <i>Caratteri metrici e morfometrici dello scheletro postcraniale</i>	p. 77
1.5 <i>Caratteri discontinui cranici</i>	p. 80
1.6 <i>Caratteri discontinui dello scheletro postcraniale</i>	p. 85
1.7 <i>Caratteri ergonomici</i>	p. 86
1.8 <i>Patologie dentarie</i>	p. 91
2. Confronto con altri siti coevi in Emilia Romagna	p. 95
3. Conclusioni	p. 97
IV. Schede di catalogo	p. 103
V. Schede di rilevamento	p. 149
VI. Bibliografia	p. 477
Appendice: documentazione fotografica	p. 483

INTRODUZIONE

Il presente lavoro consiste nell'analisi, tramite la compilazione e l'interpretazione di schede specifiche, di 46 individui di epoca bassomedievale sepolti nel cimitero afferente all'ex monastero francescano di San Francesco¹, a Imola.

Il primo capitolo prevede una breve introduzione alla città di Imola nel medioevo, seguita da una panoramica del sito del cenobio, con un focus particolare sull'area cimiteriale.

Il secondo capitolo presenta i risultati dell'analisi paleobiologica del campione di individui considerato. I primi dati a essere rilevati sono quelli relativi a sesso ed età alla morte degli inumati, sia adulti che subadulti, per poi passare alla statura e ai caratteri metrici, morfometrici, discontinui ed ergonomici delle ossa che compongono lo scheletro. Infine vi è la disamina delle patologie rilevate sulle ossa degli individui considerati.

Successivamente si è operata un'unione dei dati appena esposti con quelli provenienti dal lavoro di tesi di Francesco Ostuni Minuzzi², per avere così un quadro di insieme più preciso, per poi confrontare i dati di Imola con quelli di altri scavi coevi in Emilia Romagna.

Infine sono riportate le schede di catalogo, le schede di misurazione e le immagini relative agli individui esaminati.

Le informazioni raccolte da queste analisi sono di primaria importanza per comprendere appieno lo stile di vita e lo stato di salute della popolazione della città di Imola tra XIII e XIV secolo.

1 Attuale teatro comunale "Ebe Stignani".

2 Ostuni Minuzzi 2019.

I

IL SITO

1. Imola³

La città di Imola viene fondata come colonia romana, con il nome di *Forum Cornelia*, probabilmente tra il 187 e il 173 a.C.. Si suppone che a Imola fosse presente un insediamento preromano, poiché in corrispondenza della città la Via Emilia mostra un tracciato non più dritto, ma sinuoso, per attraversare il centro della città, adattandosi quindi all'insieme di edifici già esistenti.

L'archeologia nella città non ha ancora permesso di individuare la posizione dei più importanti edifici pubblici e religiosi di *Forum Cornelia*, ma al contrario ha fatto luce sull'edilizia privata. Il quadro che si compone è di una città con una bassa concentrazione demografica (nonostante in età augustea l'insediamento occupasse circa 300.000 m² di terreno), caratterizzata da *domus* piuttosto estese, anche fino a 500 m². Oltre all'ampia estensione, queste abitazioni mostrano pavimentazioni che vanno dal cocciopesto ai mosaici, sia in bianco e nero che policromi, a dimostrare la ricchezza della città stessa. La vita di queste *domus* termina comunque tra IV e V secolo.

Il periodo altomedievale di Imola è ancora purtroppo molto poco conosciuto, fatta eccezione per gli scavi di Villa Clelia, effettuati tra il 1978 e il 1989, che hanno restituito una basilica dedicata a S. Cassiano, con relativo cimitero, impostati sopra una necropoli di età romana. Gli scavi hanno inoltre individuato delle strutture di XI secolo, pertinenti probabilmente al castello di S. Cassiano citato dalle fonti. Questo castello, di pertinenza vescovile, si contrapponeva al castrum Imolas, presente a sud-ovest dell'abitato e di pertinenza dell'aristocrazia franco-germanica. Il "conflitto" tra i due terminò alla fine del XII secolo, con il trasferimento del vescovo in città.

All'inizio del XIII secolo, con l'età comunale, si ha una "rinascita" per la città sotto la signoria degli Alidosi, che si traduce in uno sviluppo urbano e demografico. Questo sviluppo porta anche a una divisione interna della città in quattro borghi, ognuno dei quali contenenti tre cappelle.

3 Le informazioni riguardo alla storia della città sono state estrapolate dai contributi di Geraci (2000) e Ortalli (2000).

Imola, quindi, trasforma una frammentazione dovuta a questi nuclei demici, esterni all'antico abitato, in un punto di forza per l'unità comunale⁴.

2. Il monastero di San Francesco e lo scavo⁵

L'area in cui nel XIII secolo sorgerà il monastero di S. Francesco si colloca in uno di questi quartieri derivanti dalla nuova partizione, quello definito il "Borgo" (fig. 1.1), e si integra perfettamente anche nel tessuto urbano di *Forum Corneliae*, poiché il complesso si affaccia sul prolungamento di un cardine dell'impianto viario romano.

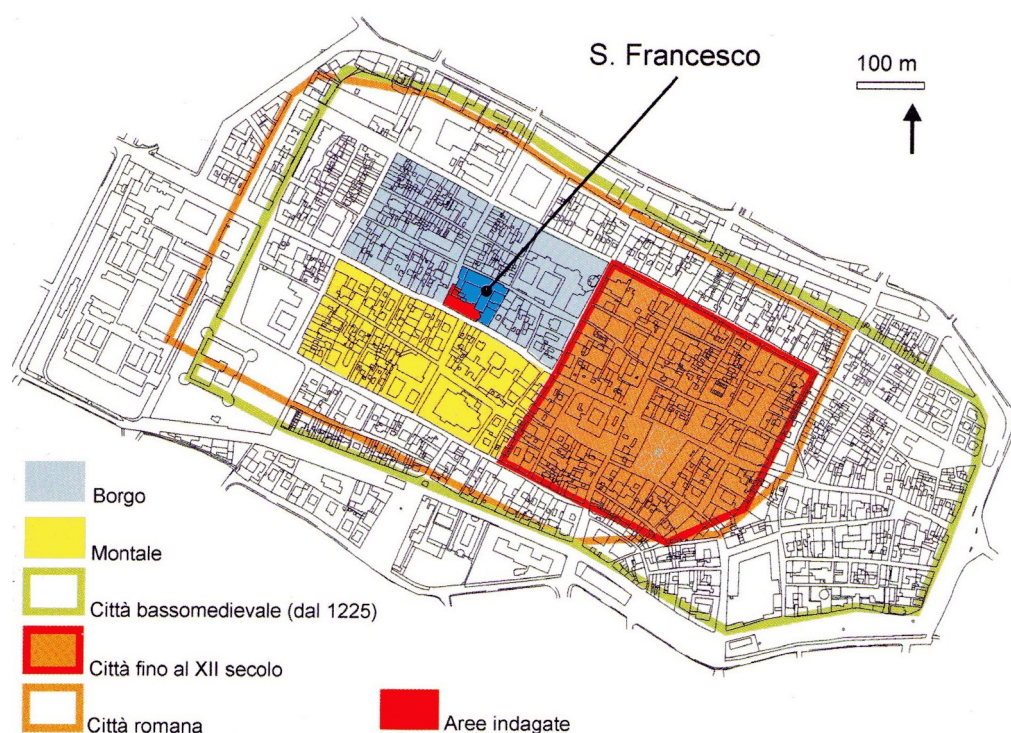


Fig. 1.1⁶ – La collocazione del monastero di S. Francesco

Le indagini archeologiche, promosse tra il 2006 e il 2007 per la sistemazione del Teatro comunale e della sua biglietteria, hanno mostrato una sequenza stratigrafica senza soluzione di continuità, che va dall'età repubblicana fino al basso medioevo. Nella figura 1.2 si può osservare la pianta del complesso, con le aree indagate archeologicamente. In precedenza,

4 Brogiolo, Gelichi 1996; Gelichi 2000; Padovani 2000.

5 Le informazioni riguardo il monastero e lo scavo provengono da Gelichi, Alberti, Bertoldi, Falla, Negrelli 2008.

6 Gelichi, Alberti, Bertoldi, Falla, Negrelli 2008, p.121.

negli anni '80 e '90 del secolo scorso⁷, era stata indagata l'area del chiostro del monastero, che aveva portato alla luce un edificio tardoantico, definito come residenza urbana di lusso, che comporta la probabile presenza a Imola di persone legate alla corte ravennate⁸.



Fig. 1.2⁹ – Pianta del complesso monastico di San Francesco, con indicazione delle aree indagate archeologicamente

Alla base della sequenza stratigrafica si collocano alcuni livelli di età romana repubblicana, su cui si imposta una *domus* di età imperiale. Di questa abitazione non si conosce la precisa estensione planimetrica, ma nella parte indagata sono stati rinvenuti vari lacerti musivi policromi, segno del lusso di quegli ambienti.

Nel periodo tra la tarda antichità e l'alto medioevo, nell'area vi sono tracce di frequentazione forse ascrivibili a delle attività artigianali probabilmente rivolte verso la strada.

7 Condotti dalla Soprintendenza per I Beni Archeologici dell'Emilia Romagna.

8 Gelichi 2000.

9 Gelichi, Alberti, Bertoldi, Falla, Negrelli 2008, p.121.

Successivamente, tra XII e XIII secolo, anche il resto dell'isolato risulta occupato in forma più stabile, con il ritrovamento di un edificio in legno, caratterizzato da pavimenti in terra battuta associati a focolari a fiamma libera.

Nel XIII secolo, in concomitanza con la ripresa dell'edilizia urbana in muratura, si ha la costruzione di un grande edificio in laterizi, i cui muri recavano una stretta risega e le cui fondazioni continue si presentavano composte di ciottoli fluviali slegati (fig. 1.3). Su di queste si impostavano poi le pareti, realizzate con laterizi posti in corsi orizzontali e regolari.

Le informazioni necessarie per capire le modalità di fondazione del complesso conventuale sono state messe in luce nell'area della biglietteria del Teatro comunale.



Fig. 1.3¹⁰ - Struttura muraria in fondazione.

Le prime fasi di installazione dell'edificio di XIV secolo, strutturato come due chiese sovrapposte sul modello della basilica di Assisi, si rintracciano nell'area tra il XII e il XIII secolo, quando la zona viene acquisita dai francescani. Questi operano la demolizione e la spoliazione degli edifici preesistenti, livellando successivamente l'intero isolato con dei riporti di macerie, che arrivano a una potenza di 60 cm. Subito al di sopra si imposta l'area

10 Foto di scavo.

cimiteriale (fig. 1.4) di interesse per questo studio, che fu utilizzata per un periodo abbastanza breve che va dalla metà del XIV secolo fino agli inizi del XV secolo.

Le prime sepolture sono state poste tra il lato Nord della chiesa e sul fronte dell'attuale via Verdi, che ricalca il tracciato dell'antica strada medievale. Le fosse, orientate in senso Ovest-Est, presentano una disposizione ordinata, risultando bene o male equidistanti le une dalle altre, una forma rettangolare e una profondità di circa 1-1,20 m. In qualche caso sono state rilevate delle fibre di legno in associazione a dei chiodi all'interno delle fosse, consentendo di affermare che si era in presenza di sepolture in cassa lignea. Altra particolarità, questa volta riguardo le sepolture di individui subadulti, è il fatto che vi sono casi in cui si osserva che il volto dell'inumato è coperto da laterizi, ciottoli piatti o coppi.

Questa fase è seguita da un'altra, caratterizzata da una mancanza di pianificazione e gestione delle sepolture, con una tendenza delle deposizioni a sovrapporsi e la presenza di sepolture con diversi orientamenti (Nord-Sud oppure Ovest-Est). Si nota inoltre come molte delle sepolture si collochino verso l'interno del complesso, e nel contempo in corrispondenza delle fosse di spoliazione degli edifici abbattuti prima della costruzione del monastero. Questa collocazione delle fosse potrebbe essere stata causata dalla presenza delle creste murarie degli edifici spoliati, che avrebbero quindi svolto una funzione di divisione dello spazio cimiteriale. Va notato, inoltre, che all'interno della chiesa superiore del complesso, tra XVII e XVIII secolo furono inserite alcune sepolture lungo le pareti dell'abside. Queste inumazioni, in cassa lignea, presentano un eccezionale grado di conservazione dei resti organici.

In totale sono state rinvenute 131 sepolture sia maschili che femminili, appartenenti a tutte le classi di età, sepolti solo con elementi afferenti all'abbigliamento personale, come fibbie, anelli o piccoli monili.

L'analisi dei dati disponibili sull'intera area sepolcrale, permette di affermare che probabilmente ci si trova di fronte a un cimitero laico di pertinenza del convento. Questo fatto suggerisce uno stretto collegamento tra la comunità del cenobio e le comunità "cittadine" che, nel contesto comunale, avevano trovato nell'ordine mendicante un interlocutore fondamentale¹¹. Il fatto che l'area sepolcrale (probabilmente destinata alle famiglie "cittadine" di cui sopra) sia stata realizzata già nel primissimo periodo di vita del monastero, risulta significativo in questo senso.

11 Gelichi, Rinaldi 1987.

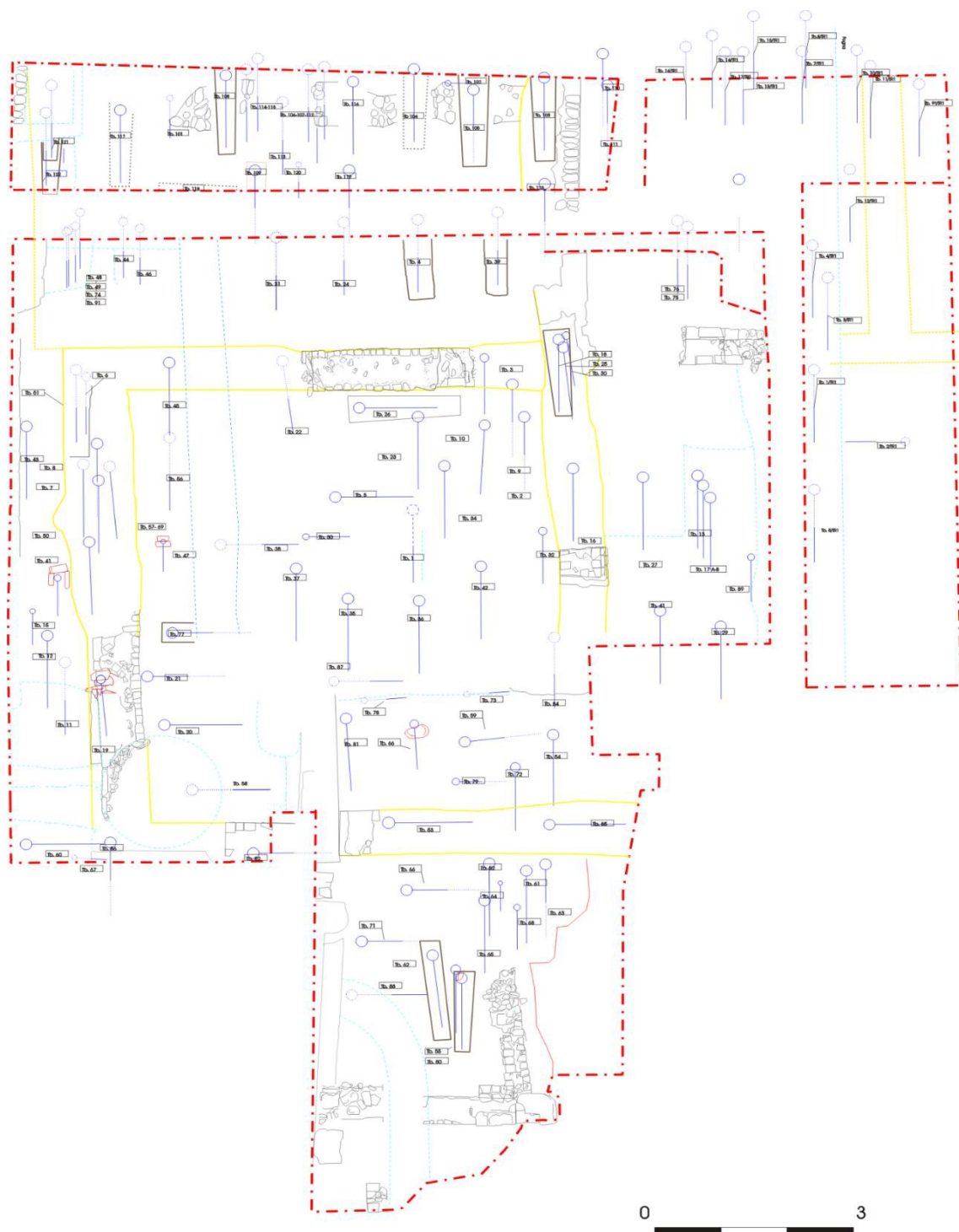


Fig. 1.4¹² – Pianta dell'area sepolcrale.

12 Pianta di scavo.

II

IL CAMPIONE UMANO

1. Introduzione

Durante le campagne di scavo compiute nel 2006 e nel 2007 sono state rilevate 131 sepolture nel sito di S. Francesco. Di queste, 45 (30 di individui adulti e 15 di individui subadulti) sono già state analizzate in un recente lavoro di tesi¹³, e questo studio ne prenderà in esame altrettante (25 di individui adulti e 20 di individui subadulti). I dati raccolti in questo lavoro verranno prima presentati a sé stanti, per poi essere uniti a quelli già precedentemente analizzati¹⁴. Si auspica che le 41 sepolture rimanenti vengano al più presto analizzate, per riuscire a ottenere un quadro completo sulla popolazione inumata a S. Francesco nel tardo medioevo.

In qualsiasi studio di tipo paleodemografico e antropologico, risulta primario e fondamentale determinare il sesso e l'età alla morte degli individui che si vogliono studiare, per poter ricavare dati imprescindibili per le successive analisi paleobiologiche e poter ricavare un profilo biodemografico del campione di popolazione che si è preso in esame¹⁵.

2. La determinazione del sesso

La specie umana è una specie dotata di uno scarso dimorfismo sessuale, il che sta a significare che, scheletricamente parlando, le differenze tra maschi e femmine non sono molto accentuate, specialmente negli individui che non hanno ancora raggiunto la maturità scheletrica.

Come se non bastasse, le condizioni dei reperti scheletrici provenienti da uno scavo non sempre sono abbastanza buone da permettere una stima adeguatamente sicura del sesso degli individui esaminati.

13 Ostuni Minuzzi 2019.

14 Vedi capitolo 3, da p. 71.

15 Canci, Minozzi, 2005.

Dagli anni '70 in poi sono stati elaborati diversi metodi per l'identificazione del sesso dei resti scheletrici¹⁶, basati su caratteristiche metriche e morfologiche delle ossa. È importante notare che non è auspicabile stabilire il sesso di un individuo utilizzando un singolo carattere o misurazione, ma, dove possibile, bisogna considerare la maggior combinazione di caratteri e misurazioni possibili, in modo da cercare di ottenere un quadro il più completo possibile dell'individuo studiato. Nonostante tutto, però, non sempre si riesce a determinare con precisione il sesso di un individuo, in quanto molte volte le ossa presentano dei caratteri intermedi tra i sessi, o un miscuglio di caratteri maschili e femminili.

2.1 La determinazione del sesso degli individui adulti

Nella nostra specie, il dimorfismo sessuale, come già affermato, non è molto marcato, quindi come si riesce a distinguere uno scheletro maschile da uno femminile? In linea teorica si potrebbe affermare che le ossa di uno scheletro di un individuo di sesso maschile hanno dimensioni maggiori e sono più e robuste di quelle di uno scheletro di un individuo di sesso femminile. Questi dati però non sono sufficienti, in quanto risentono di una variabilità individuale e popolazionistica: ciò significa che, all'interno della stessa popolazione, ci si può trovare di fronte a individui con caratteri poco accentuati, o a casi di individui di sesso maschile gracili e individui di sesso femminile dall'ossatura robusta. Inoltre, se si stanno esaminando individui di popolazioni o etnie differenti, questi potrebbero presentare un dimorfismo sessuale più o meno accentuato¹⁷.

Vi sono tuttavia due distretti scheletrici che risultano fondamentali per la sessuazione degli individui, poiché proprio in questi vi è il maggior grado di dimorfismo sessuale, e sono il distretto del cranio e il bacino (o cinto pelvico). I caratteri di dimorfismo dei due distretti sono stati esaminati assegnando a ognuno un valore tra -2 (per caratteristiche iperfemminili) e +2 (per caratteristiche ipermaschili), secondo quanto indicato negli studi di Acsádi e Nemeskéri¹⁸.

La determinazione del sesso di un individuo effettuata attraverso l'analisi dei punti più caratteristici del cranio possiede un'alta percentuale di sicurezza diagnostica (anche se, come si vedrà in seguito, non alta come quella del cinto pelvico), che si colloca tra l'80 e il 90%, a

16 Per approfondire le caratteristiche morfologiche dei due sessi si rimanda a: Acsádi, Nemeskéri 1970; Bruzek 2002; Ferembach *et al.* 1977-79; Haun 2000; Krogman, Iscan 1986; Novotny 1986.

17 Bass, 2005.

18 Acsádi, Nemeskéri 1970

seconda della completezza dei dati disponibili. La percentuale non può essere più elevata a causa delle differenze fisiognomiche esistenti tra diverse popolazioni¹⁹.

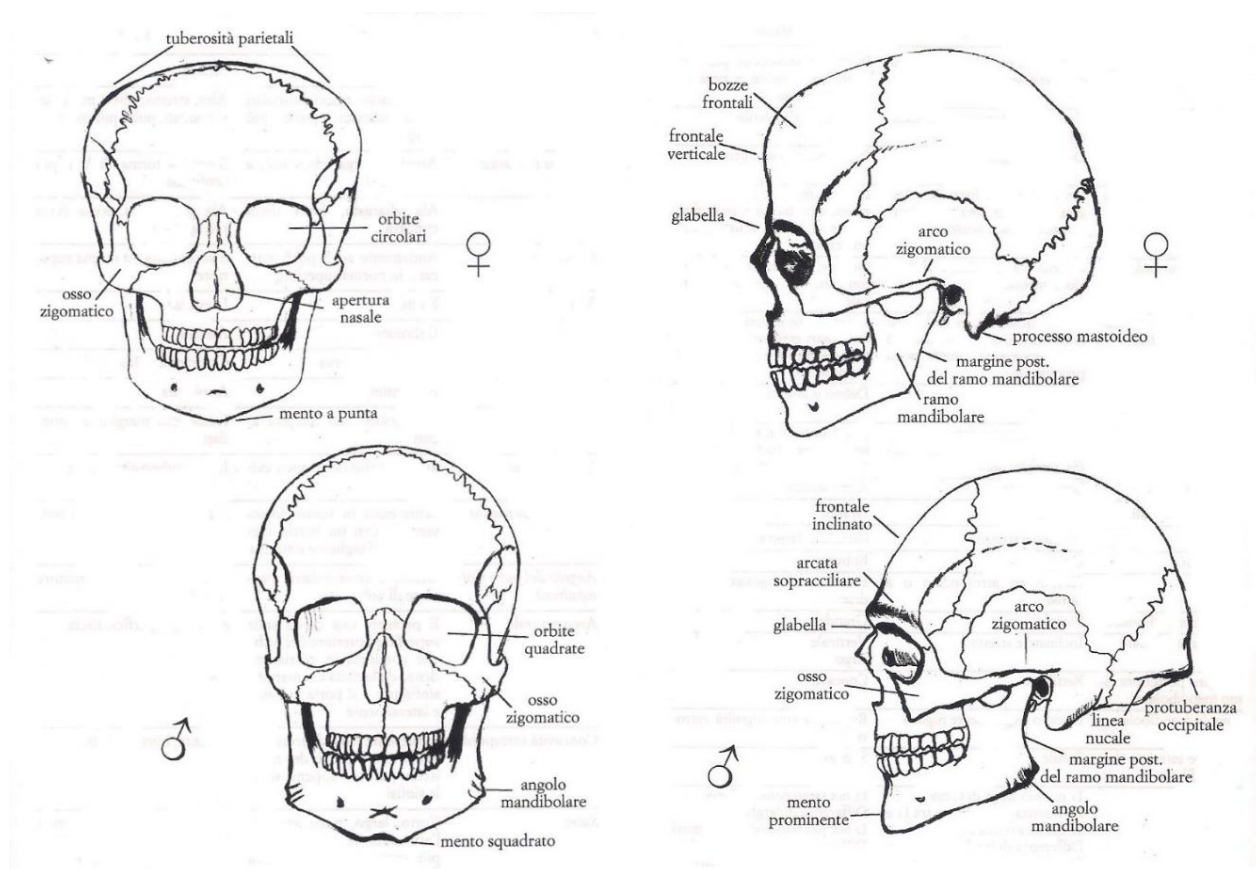


Fig. 2.1²⁰ - Differenze morfologiche tra cranio maschile (in basso) e femminile (in alto), visti in norma frontale e in norma laterale, con indicazione dei punti di maggior dimorfismo sessuale.

Di seguito verranno elencati i punti del cranio dove il dimorfismo sessuale è più individuabile, con una breve descrizione della posizione dei punti esaminati, e di come essi appaiono in un cranio dalle caratteristiche maschili, e in uno dalle caratteristiche femminili.

19 White, Falkens 2005

20 Canci, Minozzi 2005, pp. 120-121.

<i>Glabella</i>	Il punto più sporgente tra le arcate sopraorbitarie	Pronunciata, sporgente	Debolmente o per nulla pronunciata
<i>Processo mastoideo</i>	Protuberanza sulla porzione latero-inferiore delle ossa temporali, che serve come punto di inserzione muscolare	Molto grande e dalla forma arrotondata	Piccolo e dalla forma appuntita
<i>Rilievi del piano nucale</i>	Sporgenze ossee localizzate sull'osso occipitale	Molto sporgenti e rugosi	Poco sporgenti o assenti
<i>Processo zigomatico del temporale</i>	Arco osseo che collega l'osso temporale a quello zigomatico	Molto alto e dall'aspetto robusto	Molto basso e dall'aspetto gracile
<i>Morfologia della mandibola</i>	L'aspetto complessivo dell'osso mandibolare	Robusta	Gracile
<i>Morfologia del mento</i>	L'aspetto complessivo del mento	Robusto, spigoloso e prominente	Piccolo e arrotondato
<i>Arco sopraciliare</i>	La porzione di osso frontale situata appena al di sopra delle orbite	Sporgente e pronunciato	Debolmente o per nulla pronunciato
<i>Ossa zigomatiche</i>	Ossa poste nella parte latero-superiore della faccia, costituiscono la parte laterale dell'orbita	Robuste, alte e rugose	Gracili, molto basse e lisce

Per quanto riguarda il cinto pelvico, invece, è il distretto dello scheletro umano che presenta il maggior grado di dimorfismo sessuale, grazie al fatto che il bacino femminile deve avere una conformazione atta a favorire il parto. Tutto ciò fa sì che l'attendibilità di una sessuazione effettuata tramite l'osservazione del bacino sia superiore al 90%.



Fig. 2.2²¹ - Differenze morfologiche tra un bacino femminile (a sinistra) e maschile (a destra), visti in norma superiore e in norma frontale.

Come già fatto per il cranio, di seguito verranno elencati i punti del cinto pelvico dove il dimorfismo sessuale è più individuabile, con una breve descrizione della posizione dei punti esaminati, e di come essi appaiono in un bacino dalle caratteristiche maschili, e in uno dalle caratteristiche femminili.

<i>Solco preauricolare</i>	Solco posto sul coxale, inferiormente alla faccetta articolare sacro-iliaca	Assente	Profondo e ben delineato
<i>Grande incisura ischiatica</i>	La zona che si trova tra ileo e ischio	Molto stretta, con forma tendente a una V	Molto ampia, con forma tendente a una U

21 White, Falkens 2005, pp. 394-395.

<i>Angolo sottopubico</i>	L'ampiezza dell'angolo che si forma al di sotto dalle sinfisi pubiche, quando queste sono in posizione anatomica	Fortemente acuto, con forma tendente a una A	Fortemente ottuso
<i>Forame otturato</i>	Forma del forame, visibile in norma frontale, formato dai due rami che uniscono il pube all'ischio	Forma tendente a un ovale, con margini arrotondati	Forma tendente a un triangolo, con margini acuti
<i>Ossa dell'anca</i>	Morfologia generale del coxale	Alto e stretto, con rilievi muscolari evidenti	Basso e largo, con l'ala iliaca allargata
<i>Arco composto</i>	L'arco che si forma osservando la relazione tra la grande incisura ischiatica e il margine superiore della faccetta articolare sacro-iliaca (vedi fig. 2.3)	Presenta una curva unica	Presenta una curva doppia
<i>Corpo dell'ischio</i>	Morfologia generale del corpo dell'ischio	Molto largo, con tuberosità evidenti	Molto stretto, con tuberosità poco evidenti
<i>Cresta iliaca</i>	In norma superiore, si osserva la forma della cresta iliaca	A forma di S accentuata	A forma di S poco accentuata

Esiste inoltre un'ulteriore metodologia per determinare il sesso di un individuo, ed è attraverso dei caratteri metrici, cioè delle misurazioni. I caratteri metrici utilizzati per il presente studio provengono da diverse ossa, elencate qui in seguito con le relative misurazioni.

<i>Sterno</i> ²²	Lunghezza totale
<i>Scapola</i> ²³	Lunghezza della cavità glenoidea
<i>Clavicola</i> ²⁴	Lunghezza totale
<i>Omero</i> ²⁵	Diametro verticale della testa
<i>Femore</i> ²⁶	Diametro verticale della testa Diametro massimo della testa Lunghezza fisiologica Circonferenza a metà diafisi Larghezza bicondiloidea

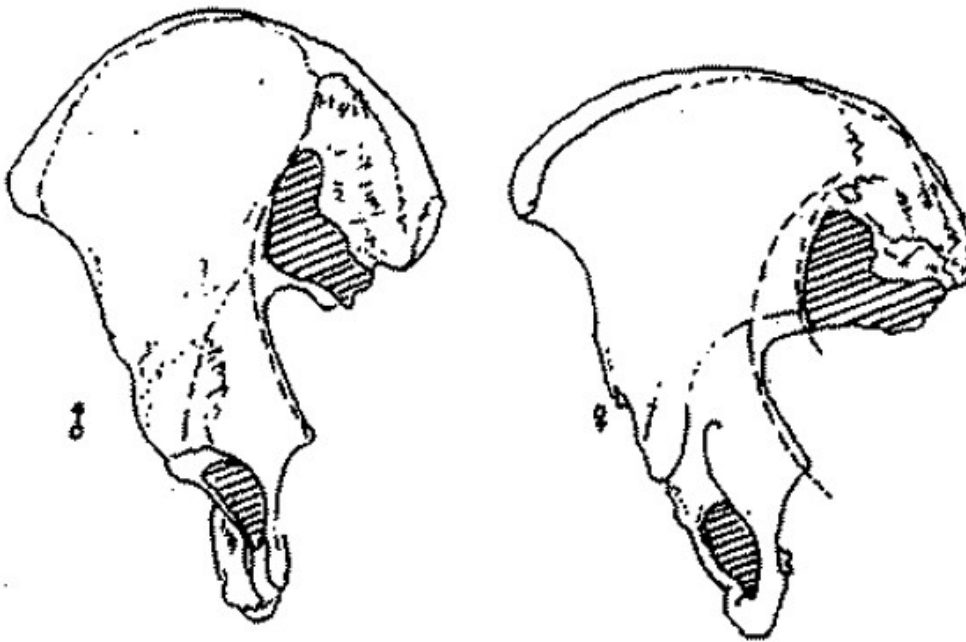


Fig. 2.3²⁷ - Differenza tra l'arco composto maschile (a sinistra) e quello femminile (a destra).

22 Stewart, McCormick 1983

23 Dwight 1894

24 Thieme 1957.

25 Stewart 1979.

26 Pearson 1917-19; Black 1978; Stewart 1979.

27 Bertoldi, dispensa del corso di Antropologia Fisica p. 70

2.2 La determinazione del sesso degli individui subadulti

Nel corso degli anni, numerosi studiosi hanno tentato di mettere a punto delle metodologie per determinare il sesso degli individui deceduti prima di raggiungere la maturità scheletrica, che quindi non presentano un marcato dimorfismo sessuale. A oggi non si è ancora riusciti a raggiungere un grado di affidabilità diagnostica sufficientemente alto, e per questo nel presente studio, come nel precedente di Ostuni Minuzzi²⁸, non è stato rilevato il sesso degli individui subadulti presi in esame. Tuttavia vi sono tre casi che esulano da ciò: le tombe 16, 40 e 51 presentavano individui di età compresa tra i 16 e i 18 anni di età, e che quindi avevano quasi raggiunto la piena maturità scheletrica. Questo ha permesso di effettuare la sessuazione degli individui con le metodologie precedentemente descritte. In aggiunta a ciò, i tre individui sono stati *de facto* considerati alla stregua di adulti per quanto riguarda le misurazioni di caratteri metrici, morfometrici e discontinui delle ossa.

3. La determinazione dell'età alla morte

All'opposto rispetto alla determinazione del sesso, la determinazione dell'età è molto più accurata se il soggetto esaminato è un subadulto, e diventa molto più difficile quando il soggetto esaminato è adulto o senile. I metodi che nel corso del tempo sono stati elaborati sono stati calibrati su popolazioni moderne, e quindi soffrono dei limiti connessi alla variabilità individuale, popolazionistica e sessuale²⁹.

Durante la vita di un individuo le diverse ossa dello scheletro subiscono dei cambiamenti, che seguono una cronologia ben definita: durante lo sviluppo fetale e i primi anni di vita si hanno la comparsa e lo sviluppo dei primi elementi dello scheletro, come per esempio le diafisi e le epifisi delle ossa o le gemme dentarie; durante tutta l'infanzia e l'adolescenza gli elementi dello scheletro continuano a svilupparsi; dai vent'anni in su avvengono altri tipi di cambiamenti, di tipo degenerativo.

Bisogna comunque precisare che quella che viene chiamata "età alla morte" non è l'età anagrafica di un soggetto al momento del decesso, ma l'età scheletrica dello stesso. L'età scheletrica è influenzata da numerose variabili, tra cui il sesso, la popolazione di appartenenza, le attività svolte dal soggetto in vita, l'ambiente culturale. Tutti questi fattori

28 Ostuni Minuzzi 2019.

29 Canci, Minozzi 2005, p. 126.

fanno sì che, anche all'interno di una stessa popolazione, vi possano essere diversi ritmi di crescita e invecchiamento degli individui, rendendo possibile il fatto che due individui, pur avendo la stessa età anagrafica in vita, possano presentare età scheletriche differenti. A causa dell'incertezza della diagnosi, a ogni individuo spesso non viene assegnata un'età precisa, ma l'appartenenza a una classe di età, a meno di non avere degli elementi che possano permettere di determinare un'età scheletrica più sicura. Convenzionalmente vengono utilizzate le seguenti classi di età:

- Feto (prima della nascita)
- Infante (0-3 anni)
- Bambino (3-12 anni)
- Adolescente (12-20 anni)
- Giovane adulto (20-35 anni)
- Adulto (35-50 anni)
- Anziano (oltre i 50 anni)

3.1 La determinazione dell'età degli individui adulti

Come già affermato, i vari metodi per determinare l'età di un soggetto risentono di numerose variabili. Per determinare con maggior precisione, quindi, l'intervallo di anni in cui è più probabile si collochi l'età di un individuo, è buona norma calibrare tra loro le età calcolate con le diverse metodologie, descritte in seguito.

I criteri utilizzati in questo studio, per determinare l'età dei soggetti adulti, sono l'analisi delle usure dentarie, il grado di sinostosi delle suture craniche, la morfologia delle sinfisi pubiche e la morfologia delle terminazioni sternali delle coste.

Il rilevamento delle usure dentarie si basa sul presupposto che le superfici oclusali di tutti i denti si consumano e usurano progressivamente, all'avanzare dell'età del soggetto. Per determinare il grado di usura di ogni dente si fa affidamento sugli studi di Brothwell³⁰ e Lovejoy³¹, con relative tabelle (fig. 2.4 e 2.5).

30 Brothwell 1981.

31 Lovejoy 1985.

Il metodo di analisi della sinostosi delle suture craniche va a verificare la progressiva cancellazione delle linee di sutura tra le ossa del cranio, secondo un metodo che prende in esame 10 punti diagnostici, sviluppato da Meindl e Lovejoy³².

L'analisi della morfologia delle sinfisi pubiche si basa sull'alterazione della superficie delle stesse, a causa della degenerazione della cartilagine articolare tra loro. Più l'età è avanzata, più la superficie delle sinfisi è alterata. I diversi stadi di alterazione sono stati elaborati da Burns³³.

Una simile correlazione tra alterazione della superficie articolare ed età avanzata è alla base anche del metodo di analisi delle terminazioni sternali delle coste, elaborato anch'esso da Burns³⁴. Per convenzione, ove disponibile, si osserva l'epifisi mediale della quarta costa.

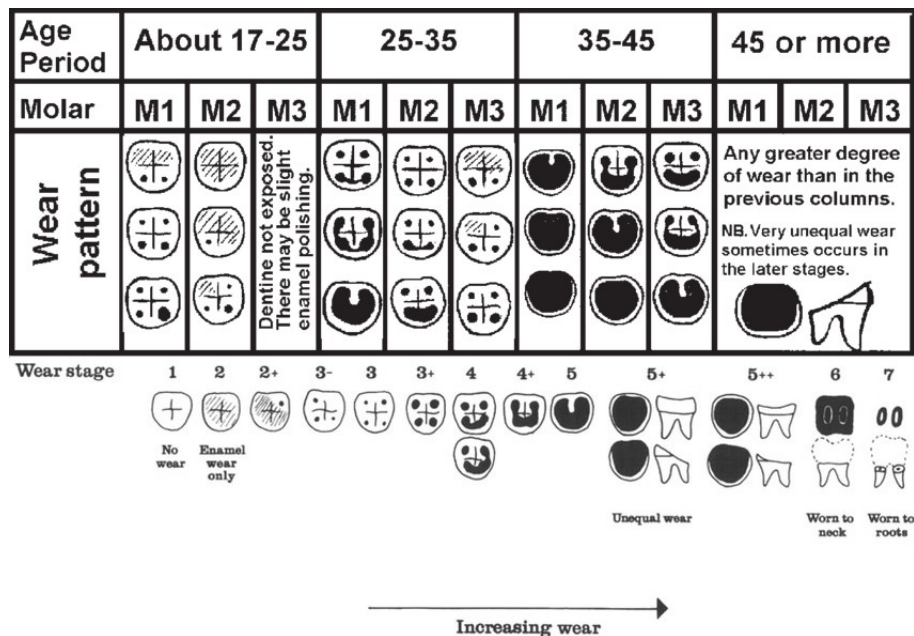


Fig. 2.4³⁵ - Gradi di usura dentaria dei molari secondo Brothwell

32 Meindl, Lovejoy 1985.

33 Burns 1999.

34 Burns 1999.

35 Brothwell 1981.

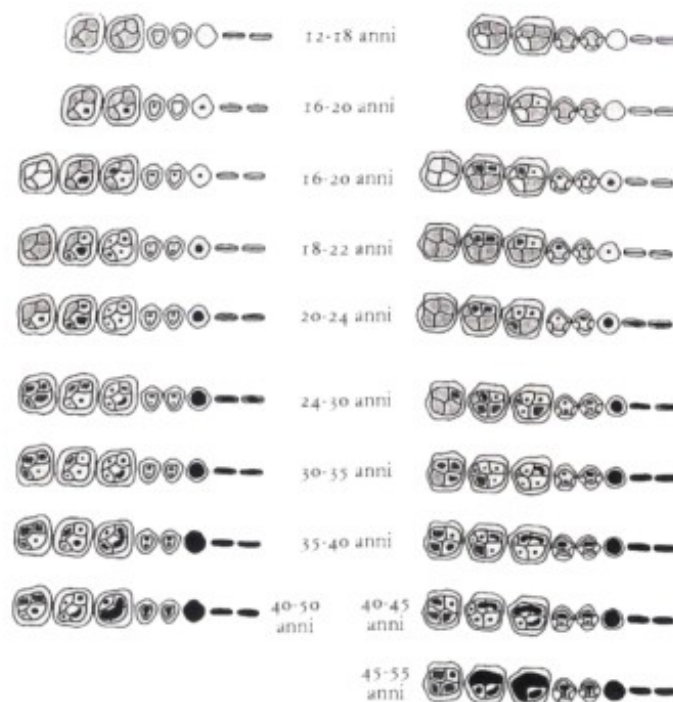


Fig. 2.5³⁶: Gradi di usura dentaria mascellare (a sinistra) e mandibolare (a destra) secondo Lovejoy

3.2 La determinazione dell'età negli individui subadulti

Come già scritto, la determinazione dell'età negli individui subadulti ha un grado di affidabilità molto maggiore, ovviamente a condizione che si disponga di dati sufficienti. In questo studio si sono utilizzati in concerto tre metodi per determinare l'età degli individui presi in esame: si sono osservati il grado di eruzione dentaria, la lunghezza delle diafisi delle ossa lunghe, la fusione delle epifisi ossee.

Lo sviluppo della dentatura, decidua prima e permanente poi, avviene di norma in modo regolare e costante da prima della nascita (con la formazione delle prime gemme dentarie), fino quasi all'età adulta. È comunque importante notare che fattori ambientali, popolazionistici o patologici possono influenzare la crescita dentaria³⁷. Per associare lo stadio di eruzione dentaria all'età corretta, ci si rifà alle tavole di Ubelaker³⁸(fig. 2.6).

Il metodo basato sulla misurazione della lunghezza delle diafisi delle ossa lunghe utilizzato in questo studio è stato elaborato da Stloukal e Hanakova³⁹.

36 Lovejoy 1985.

37 Canci, Minozzi 2005, p. 128.

38 Ubelaker 1989.

39 Stloukal, Hanakova 1978

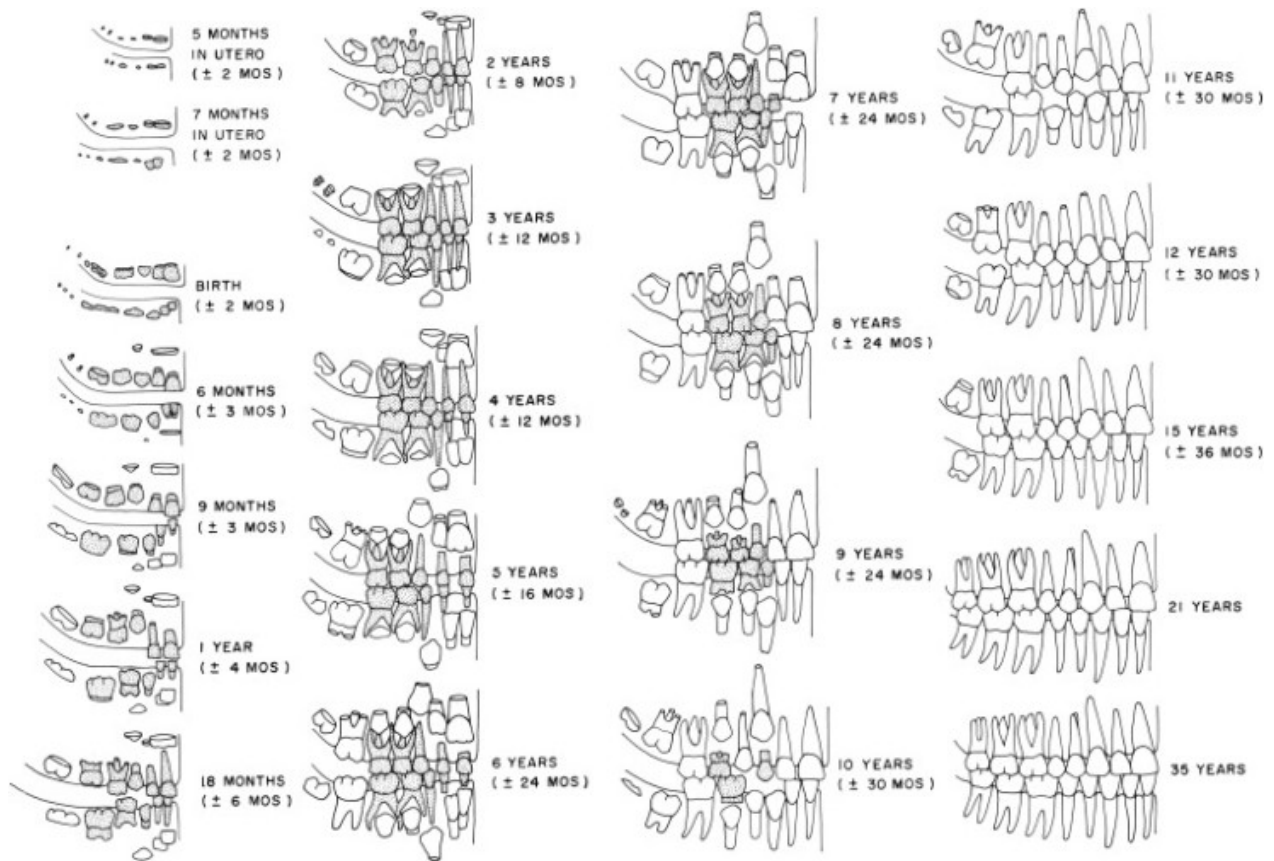


Fig. 2.6⁴⁰ – Sviluppo della dentizione come proposto da Ubelaker.

Le stime dell'età effettuate solo con questo metodo, poiché la lunghezza diafisaria risente maggiormente delle variabili popolazionistiche, risultano avere un'attendibilità minore rispetto a quelle effettuate con il metodo dell'eruzione dentaria.

L'osservazione della sutura delle epifisi viene utilizzata quando ci si trova a esaminare un individuo in età adolescenziale. Il metodo si basa sul fatto che le epifisi delle ossa si saldano alla diafisi in periodi differenti, a partire dai 14 anni circa per i maschi e dai 13 anni circa per le femmine. Autori diversi presentano intervalli di età di fusione delle epifisi leggermente diversi, per cui per questo studio sono stati calibrati tra loro le stime di fusione delle epifisi provenienti da diversi studi⁴¹.

Infine, per ipotizzare l'età di un individuo, può risultare utile osservare i processi artrosici delle articolazioni dovuti all'avanzare dell'età. L'efficacia del metodo è tuttavia inficiata dal

40 Ubelaker 1989.

41 Brothwell 1981; Ubelaker 1989; Canci, Minozzi 2005. Le stime di quest'ultimo sono state ottenute calibrando a sua volta altri studi (vedi Canci, Minozzi 2005, p.130).

fatto che le artrosi dipendono anche da patologie o dal livello di funzionalità dell'articolazione⁴².

4. Sesso ed età degli individui esaminati

Si è riusciti a stabilire il sesso di 28 individui (25 adulti e 3 subadulti), individuando 10 soggetti di sesso maschile e 18 soggetti di sesso femminile. A 4 individui (3 adulti e 1 subadulto⁴³) non è stato possibile attribuire il sesso, mentre in soli 3 casi⁴⁴ non è stato possibile determinare l'età del soggetto a causa degli scarsi dati disponibili.

Dove invece è stato possibile sessuare gli individui, ci si è trovati di fronte a un campione di popolazione in cui i caratteri di dimorfismo, sia del cranio che del bacino, non erano estremamente marcati anche se, quasi sempre, in ogni individuo si è individuato almeno un carattere dalla morfologia molto maschile o molto femminile⁴⁵. Solo in tre casi, con gli individui di sesso femminile delle tombe 37, 53 e 60, si sono riscontrati molti caratteri iperfemminili sia sul cranio che sul cinto pelvico. Vi sono cinque individui (tombe 16, 21, 43, 49, 58) in cui il sesso è stato indicato come "probabile" maschio o femmina. In quattro casi (tombe 16, 43, 49, 58) i dati presenti non risultano completi mentre, per quanto riguarda tomba 21, l'incertezza sul sesso è data dal fatto che l'individuo presenta una commistione di caratteri maschili e femminili.

Passando all'età alla morte degli individui del campione studiato, si nota un picco di mortalità femminile tra i 18 e i 25 anni, mentre la mortalità maschile presenta un lieve picco dai 45 anni e oltre. Non è stato possibile determinare con precisione la causa della morte degli individui esaminati, ma non risulta peregrina l'ipotesi che un così alto numero di femmine decedute in età giovane sia da attribuirsi a complicanze pre o post parto.

Come già affermato, nel presente studio non si è rilevato il sesso degli individui subadulti (tranne per le tombe 16, 40 e 51), ma solamente l'età. Si possono notare due picchi eguali di mortalità nelle fasce 7-10 anni e 15-18 anni.

I grafici e le tabelle seguenti illustrano nello specifico i dati raccolti.

42 Canci, Minozzi 2005, p. 139.

43 Tombe 14, 24, 31 e 56.

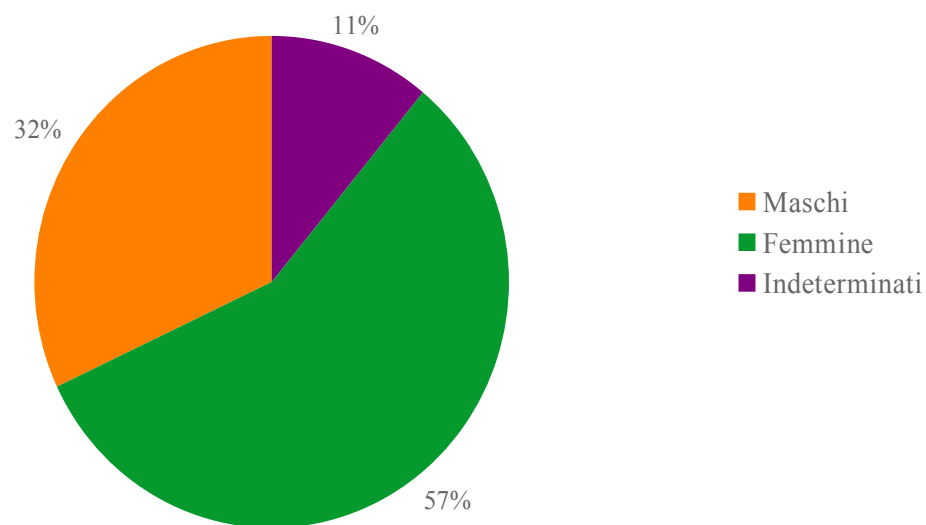
44 Tombe 24, 49 e 58.

45 Per i soggetti maschili, i più comuni riscontrati sono stati la mancanza di solco preauricolare, la morfologia dell'angolo sottopubico e della grande incisura ischiatica. Per i soggetti femminili, la presenza di solco preauricolare, la forma della mandibola, la morfologia della grande incisura ischiatica, dei processi mastoidei e dell'angolo sottopubico.

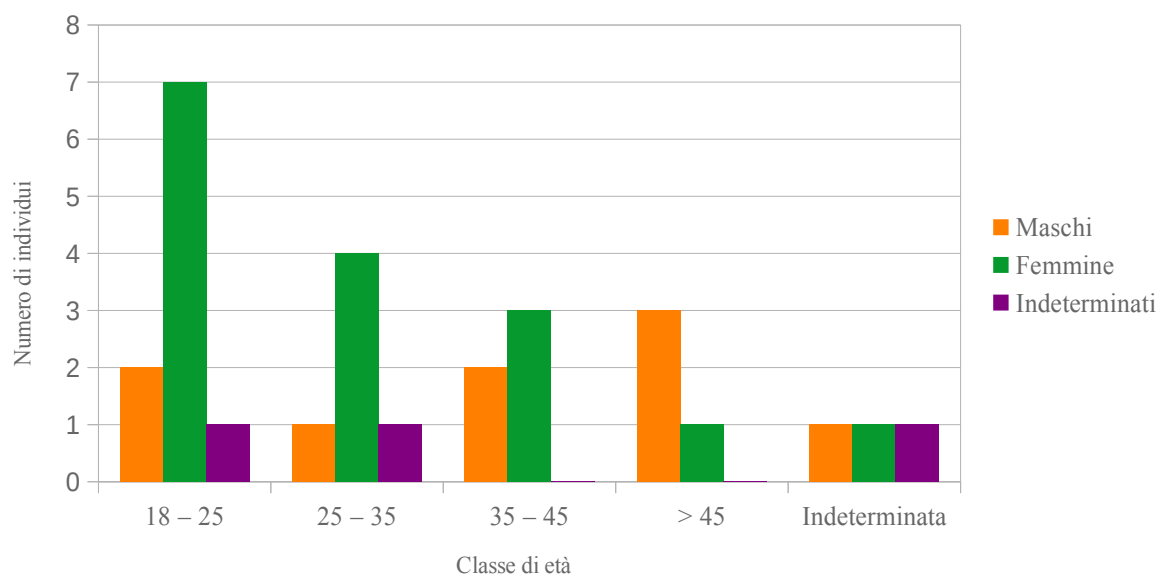
Tomba	Sesso	Età
7	M	ca 35
8	F	ca 25
9	M	40 – 45
13	M	45 – 50
17 Ind. A	F	45
17 Ind. B	F	30 – 35
21	Probabile F	30 – 35
22	F	20 – 25
23	F	20 – 25
24	I	I
25	M	50 +
31	I	18 – 23
33	F	ca 40
37	F	ca 25
39	F	45 – 50
42	F	30 – 35
43	Probabile F	40 – 45
45	F	ca 20
46	M	50 +
49	Probabile F	I
53	F	20 – 25
56	I	24 – 30
57 Ind. A	M	36 – 44
57 Ind. B	M	ca 25
58	Probabile M	I
60	F	18 – 20
77	F	ca 30
91	M	18 – 20

Sesso ed età degli individui adulti esaminati.

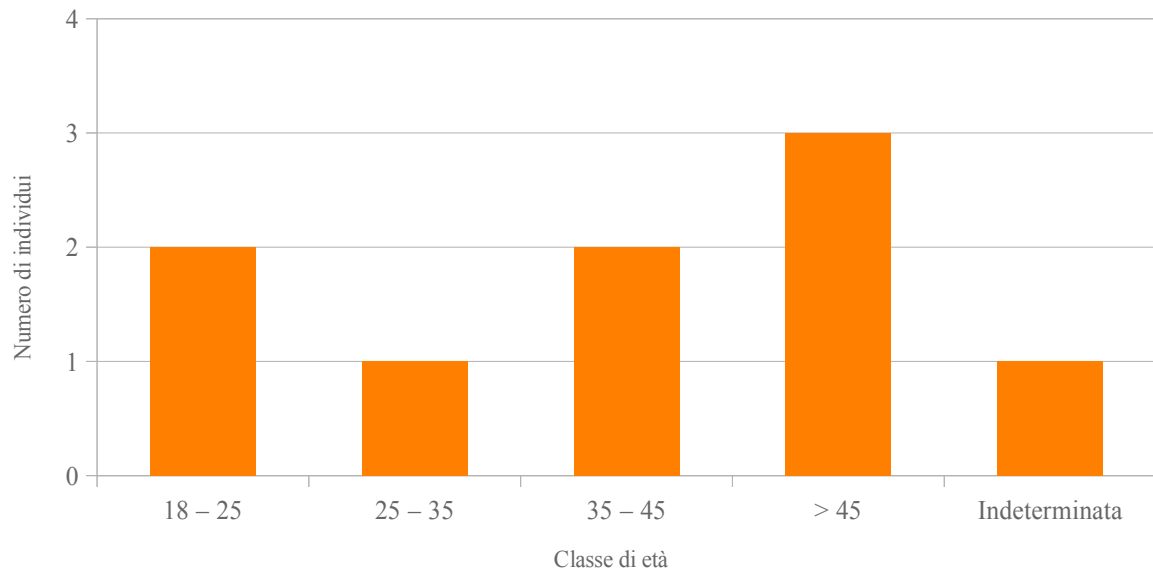
Composizione del campione di individui adulti



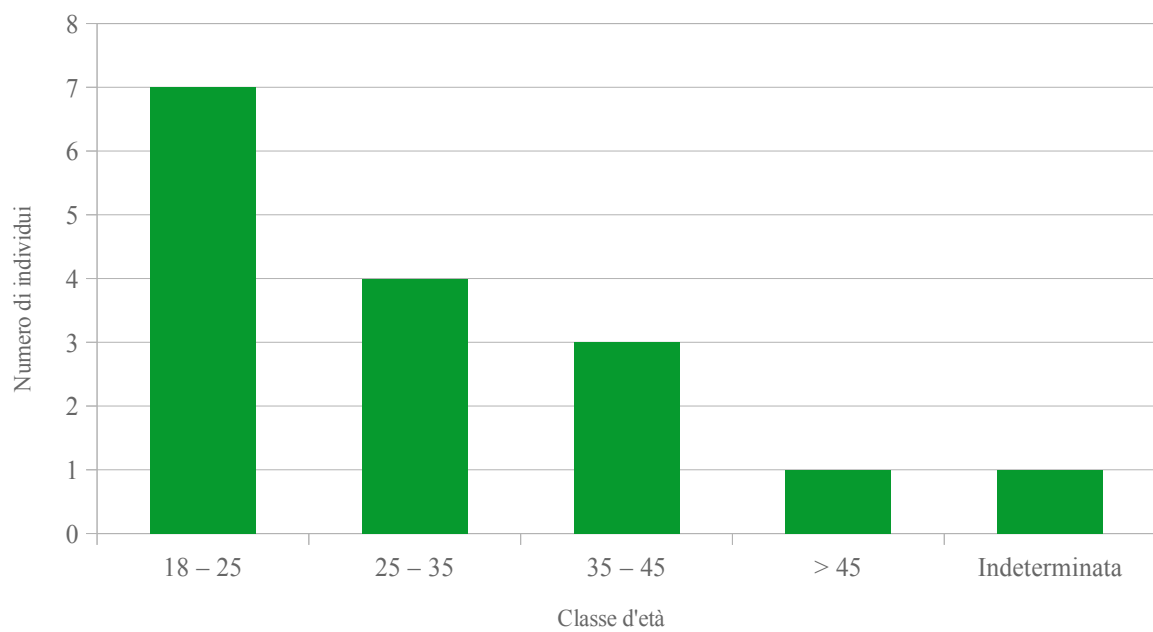
Distribuzione degli individui adulti per classe di età



Distribuzione dei maschi adulti per classe di età

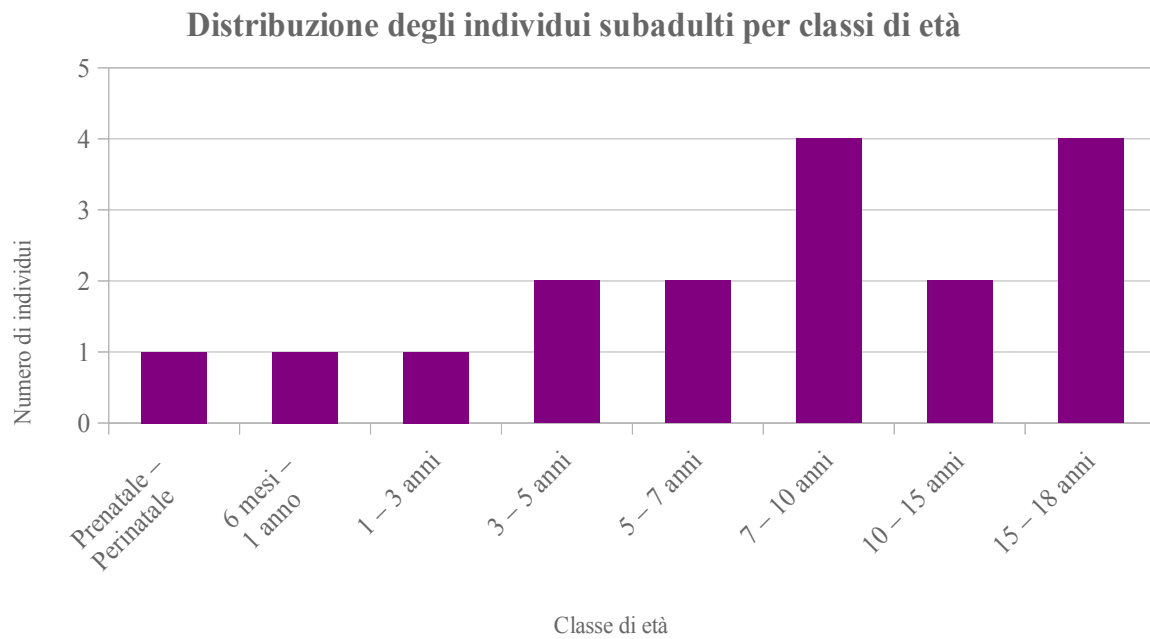


Distribuzione delle femmine adulte per classe d'età



Tomba	Sesso	Età
3	-	3 – 4
5	-	ca 8
6	-	2
10	-	ca 8
14	-	15 ± 2
15	-	Feto
16	Probabile F	ca 16
18	-	ca 6
19	-	ca 7
20	-	10 – 11
27	-	ca 12
28	-	8 – 9
29	-	ca 5
30	-	ca 6 mesi
32	-	9 – 10
40	M	ca 17
51	F	16 – 18

Sesso ed età degli individui subadulti esaminati



5. La statura

Calcolare la statura di un individuo serve a definirne le dimensioni e, a livello della popolazione di appartenenza, può essere indicatore di stress o, al contrario, di successo evolutivo⁴⁶. Le stime dell'altezza si calcolano tramite delle equazioni di regressione, a partire dalle misure di lunghezza delle ossa lunghe. In questo studio si sono utilizzate le formule di Trotter e Gleser⁴⁷.

È stato possibile calcolare la statura di 25 individui, di cui 9 di sesso maschile e 16 di sesso femminile. La statura media degli individui di sesso maschile si attesta a $167,43 \pm 3,59$ cm, con un massimo di $181,76 \pm 3,65$ cm riscontrato in tomba 7, e un minimo di $159,34 \pm 3,85$ cm riscontrato in tomba 25. Per quanto riguarda invece gli individui di sesso femminile, presentano un'altezza media di $155,21 \pm 3,99$ cm, con un massimo di $162,37 \pm 4,16$ cm riscontrato in tomba 42, e un minimo di $149,39 \pm 3,61$ cm riscontrato in tomba 16.

Di un individuo di sesso maschile, di due individui di sesso femminile e di quattro individui di sesso non determinabile non è stato possibile calcolare la statura per la mancanza di dati disponibili.

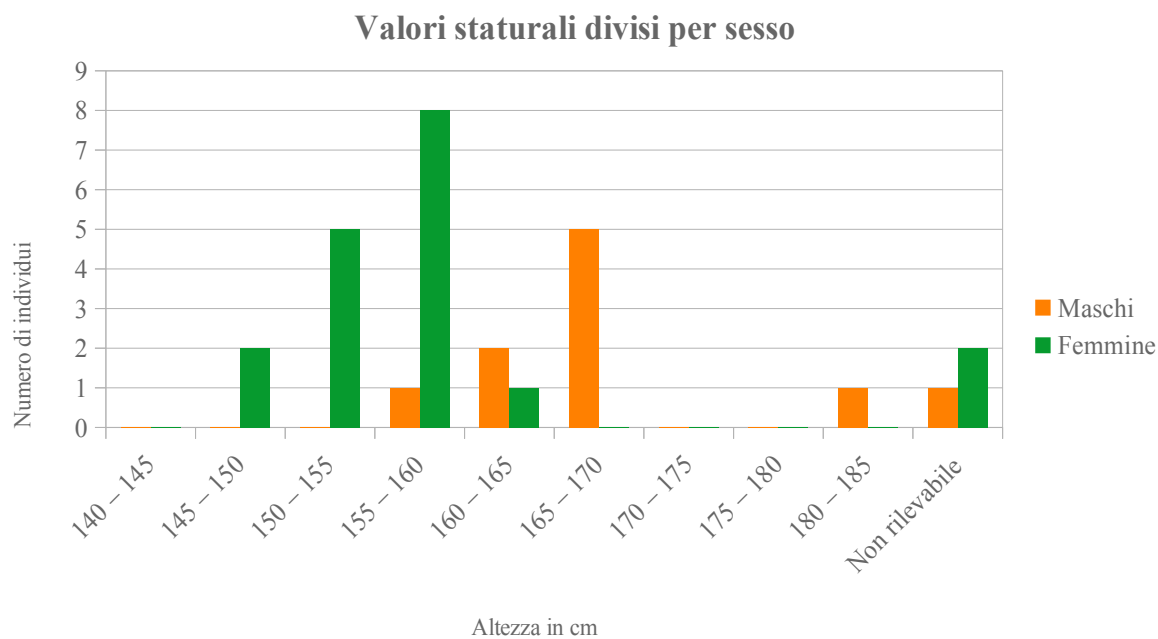
Tomba	Sesso	Statura media (in cm)	D.S.
7	M	181,76	$\pm 3,65$
8	F	152,54	$\pm 4,3$
9	M	168,12	$\pm 3,55$
13	M	168,84	$\pm 3,5$
14	I	Non rilevabile	-
16	Probabile F	149,39	$\pm 3,61$
17 Ind. A	F	153,65	$\pm 3,92$
17 Ind. B	F	158,72	$\pm 4,22$
21	Probabile F	155,11	$\pm 4,33$
22	F	149,79	$\pm 3,99$
23	F	153,4	$\pm 3,95$
24	I	Non rilevabile	-
25	M	159,34	$\pm 3,85$
31	I	Non rilevabile	-
33	F	Non rilevabile	-
37	F	157,62	$\pm 4,33$
39	F	159,41	$\pm 3,62$
40	M	Non rilevabile	-

46 Canci, Minozzi 2005, p. 155.

47 Trotter, Gleser 1952, 1958, 1977.

42	F	162,37	± 4,16
43	Probabile F	157,65	± 3,63
45	F	155,52	± 4,05
46	M	163,48	± 3,44
49	Probabile F	152,55	± 3,62
51	F	Non rilevabile	-
53	F	159,13	± 3,98
56	I	Non rilevabile	-
57 Ind. A	M	168	± 3,36
57 Ind. B	M	164,78	± 3,72
58	Probabile M	166,29	± 3,33
60	F	155,64	± 3,83
77	F	150,87	± 4,45
91	M	166,32	± 3,99

Stature degli individui esaminati



6. Caratteri metrici e morfometrici

La ricerca antropologica si basa in gran parte su delle misurazioni misurazioni effettuate sulle diverse ossa che compongono lo scheletro. Questa branca della disciplina è definita antropometria, e tramite la raccolta delle misure e dei relativi indici⁴⁸ permette di risalire alle caratteristiche morfologiche craniali e postcraniali, e anche a statura e sesso. Ove è stato possibile, i valori riscontrati sono stati approssimati al primo decimale.

6.1 Caratteri metrici e morfometrici cranici

Di seguito sono indicati gli indici cranici calcolati in questo studio, con una breve descrizione e le tabelle con i risultati ottenuti dagli individui analizzati, divisi per sesso.

Indice cranico orizzontale: rapporto, in percentuale, tra la larghezza e la lunghezza massime del cranio, valutando quindi la forma più tondeggiante o più allungata dello stesso. È stato possibile calcolarlo su 8 individui, uno di sesso maschile e 7 di sesso femminile.

<i>Indice cranico orizzontale</i>					
Maschi			Femmine		
	n.	%		n.	%
Ultradolicocranio	0	0	Ultradolicocranio	0	0
Iperdolicocranio	0	0	Iperdolicocranio	0	0
Dolicocranio	0	0	Dolicocranio	0	0
Mesocranio	0	0	Mesocranio	2	28,6
Brachicranio	1	10	Brachicranio	3	42,8
Iperbrachicranio	0	0	Iperbrachicranio	1	14,3
Ultrabrachicranio	0	0	Ultrabrachicranio	1	14,3
Tot.	1	100	Tot.	7	100

Indice vertico-longitudinale: rapporto, in percentuale, tra l'altezza basion-bregma e la lunghezza massima del cranio, e indica la forma del cranio in norma laterale. È stato possibile calcolarlo su 3 individui di sesso femminile.

⁴⁸ Rapporti tra due misure espressi in percentuale, che servono per esprimere una forma.

<i>Indice vertico-longitudinale</i>					
Maschi			Femmine		
	n.	%		n.	%
Camecranio	0	0	Camecranio	0	0
Ortocranio	0	0	Ortocranio	2	66,7
Ipsicranio	0	0	Ipsicranio	1	33,3
Tot.	10	100	Tot.	3	100

Indice vertico-trasversale: rapporto, in percentuale, tra l'altezza basion-bregma e la larghezza massima del cranio, e descrive la forma della volta in norma posteriore. È stato possibile calcolarlo su 4 individui di sesso femminile.

<i>Indice vertico-trasversale</i>					
Maschi			Femmine		
	n.	%		n.	%
Tapeinocranio	0	0	Tapeinocranio	2	50
Metriocranio	0	0	Metriocranio	2	50
Acrocranio	0	0	Acrocranio	0	0
Tot.	0	100	Tot.	4	100

Indice auricolo-verticale: rapporto, in percentuale, tra l'altezza porion-bregma e la lunghezza massima del cranio, che indica la forma del neurocranio in norma laterale. È stato possibile calcolarlo su 5 individui di sesso femminile.

<i>Indice auricolo-verticale</i>					
Maschi			Femmine		
	n.	%		n.	%
Camocranio	0	0	Camocranio	0	0
Ortocranio	0	0	Ortocranio	2	40
Ipsicranio	0	0	Ipsicranio	3	60
Tot.	0	0	Tot.	5	100

Indice auricolo-verticale trasversale: rapporto, in percentuale, tra rapporto tra l'altezza porion-bregma e la larghezza massima del cranio, che indica la forma del neurocranio in norma posteriore.

<i>Indice auricolo-verticale trasversale</i>					
Maschi			Femmine		
	n.	%		n.	%
Tapeinocranio	0	0	Tapeinocranio	4	66,6
Metriocranio	0	0	Metriocranio	1	16,7
Acrocranio	0	0	Acrocranio	1	16,7
Tot.	0	0	Tot.	6	100

Indice frontale trasverso: rapporto, in percentuale, tra diametro minimo e diametro massimo della fronte, che serve a stabilire il grado di curvatura della stessa.

<i>Indice frontale trasverso</i>					
Maschi			Femmine		
	n.	%		n.	%
Fronte molto divergente	0	0	Fronte molto divergente	0	0
Fronte mediamente divergente	1	100	Fronte mediamente divergente	9	100
Fronte poco divergente	0	0	Fronte poco divergente	0	0
Tot.	1	100	Tot.	9	100

Indice fronto-parietale: rapporto, in percentuale, tra il diametro frontale minimo e la larghezza massima del cranio.

<i>Indice fronto-parietale</i>					
Maschi			Femmine		
	n.	%		n.	%
Stenometopico	1	50	Stenometopico	1	11,1
Metriometopico	1	50	Metriometopico	4	44,4
Eurimetopico	0	0	Eurimetopico	4	44,4
Tot.	2	100	Tot.	9	100

Indice gnatico: rapporto, in percentuale, tra la distanza basion-prostion e la distanza nasion-basion, e serve per esprimere il grado di prognatismo della faccia.

<i>Indice gnatico</i>					
Maschi			Femmine		
	n.	%		n.	%
Ortognato	0	0	Ortognato	3	100
Mesognato	0	0	Mesognato	0	0
Prognato	0	0	Prognato	0	0
Tot.	0	0	Tot.	3	100

Indice facciale superiore: rapporto, in percentuale, tra l'altezza superiore della faccia e la larghezza massima della faccia, per indicare se questa è più larga e bassa o alta e stretta.

<i>Indice di altezza facciale superiore</i>					
Maschi			Femmine		
	n.	%		n.	%
Ipereurieno	0	0	Ipereurieno	1	25
Eurieno	0	0	Eurieno	1	25
Meseno	0	0	Meseno	0	0
Lepteno	0	0	Lepteno	1	25
Iperlepteno	0	0	Iperlepteno	1	25
Tot.	0	0	Tot.	4	100

Indice orbitario: rapporto, in percentuale, tra la larghezza e l'altezza dell'orbita, per valutarne la forma più o meno circolare.

<i>Indice orbitario destro</i>					
Maschi			Femmine		
	n.	%		n.	%
Cameconco	0	0	Cameconco	1	20
Mesoconco	0	0	Mesoconco	1	20
Ipsiconco	0	0	Ipsiconco	3	60
Tot.	0	0	Tot.	5	100

<i>Indice orbitario sinistro</i>					
Maschi			Femmine		
	n.	%		n.	%
Cameconco	0	0	Cameconco	0	0
Mesoconco	0	0	Mesoconco	3	60
Ipsiconco	1	100	Ipsiconco	2	40
Tot.	1	100	Tot.	5	100

Indice nasale: rapporto, in percentuale, tra la larghezza e l'altezza nasale, indicando così la forma stretta e lunga o bassa e larga dell'apertura piriforme.

<i>Indice nasale</i>					
Maschi			Femmine		
	n.	%		n.	%
Leptorrino	0	0	Leptorrino	2	50
Mesorrino	0	0	Mesorrino	0	0
Camerrino	0	0	Camerrino	1	25
Ipercamerrino	0	0	Ipercamerrino	1	25
Tot.	0	0	Tot.	4	100

Indice maxillo-alveolare: rapporto, in percentuale, tra la larghezza e la lunghezza dell'arcata alveolare mascellare, definendone così la morfologia.

<i>Indice maxillo-alveolare</i>					
Maschi			Femmine		
	n.	%		n.	%
Dolicouranico	1	25	Dolicouranico	2	25
Mesouranico	0	0	Mesouranico	2	25
Brachiuranico	3	75	Brachiuranico	4	50
Tot.	4	100	Tot.	8	100

Indice palatale: rapporto, in percentuale, tra la larghezza e la lunghezza del palato, definendone così la morfologia.

<i>Indice palatale</i>					
Maschi			Femmine		
	n.	%		n.	%
Leptostafilino	1	33,3	Leptostafilino	4	44,4
Mesostafilino	0	0	Mesostafilino	3	33,3
Brachistafilino	2	66,7	Brachistafilino	2	22,2
Tot.	3	100	Tot.	9	100

6.2 Caratteri metrici e morfometrici dello scheletro postcraniale

Come appena fatto per gli indici cranici, di seguito sono indicati gli indici postcraniali calcolati in questo studio, con una breve descrizione e le tabelle con i risultati ottenuti dagli individui analizzati, divisi per sesso e per lato destro e sinistro.

Indice di robustezza della clavicola: rapporto, in percentuale, tra la circonferenza mediana e la lunghezza massima della clavicola, calcolato per definire la gracilità o robustezza dell'osso.

<i>Indice di robustezza della clavicola</i>									
Maschi					Femmine				
	n. dx	%	n. sx	%		n. dx	%	n. sx	%
Gracile	0	0	0	0	Gracile	1	11,1	1	10
Medio	1	25	2	33,3	Medio	0	0	3	30
Robusto	3	75	4	66,7	Robusto	8	88,9	6	60
Tot.	4	100	6	100	Tot.	9	100	10	100

Indice di robustezza dell'omero: rapporto, in percentuale, tra la circonferenza minima e la lunghezza massima dell'omero, calcolato per definire la gracilità o robustezza dell'osso.

<i>Indice di robustezza dell'omero</i>									
Maschi					Femmine				
	n. dx	%	n. sx	%		n. dx	%	n. sx	%
Gracile	1	33,3	1	16,7	Gracile	3	27,3	3	27,2
Medio	1	33,3	2	33,3	Medio	3	27,3	4	36,4
Robusto	1	33,3	3	50	Robusto	5	45,4	4	36,4
Tot.	3	100	6	100	Tot.	11	100	11	100

Indice diafisario dell'omero: rapporto, in percentuale, tra il diametro minimo e il diametro massimo misurati a metà diafisi. Serve per indicare se l'osso è più tondeggiante o più appiattito, a causa di un uso costante e prolungato della muscolatura.

<i>Indice diafisario dell'omero</i>									
Maschi					Femmine				
	n. dx	%	n. sx	%		n. dx	%	n. sx	%
Platibrachia	1	16,7	1	14,3	Platibrachia	4	36,4	4	30,8
Euribrachia	5	83,3	6	85,7	Euribrachia	7	63,6	9	69,2
Tot.	6	100	7	100	Tot.	11	100	13	100

Indice di robustezza del radio: rapporto, in percentuale, tra la circonferenza minima e la lunghezza fisiologica del radio, calcolato per definire la gracilità o robustezza dell'osso.

<i>Indice di robustezza del radio</i>									
Maschi					Femmine				
	n. dx	%	n. sx	%		n. dx	%	n. sx	%
Gracile	3	60	5	71,4	Gracile	8	72,7	6	60
Medio	0	0	0	0	Medio	3	27,3	2	20
Robusto	2	40	2	28,6	Robusto	0	0	2	20
Tot.	5	100	7	100	Tot.	11	100	10	100

Indice di robustezza dell'ulna: rapporto, in percentuale, tra la circonferenza minima e la lunghezza fisiologica dell'ulna, calcolato per definire la gracilità o robustezza dell'osso.

<i>Indice di robustezza dell'ulna</i>									
Maschi					Femmine				
	n. dx	%	n. sx	%		n. dx	%	n. sx	%
Gracile	0	0	0	0	Gracile	0	0	0	0
Medio	0	0	0	0	Medio	0	0	0	0
Robusto	5	100	6	100	Robusto	6	100	10	100
Tot.	5	100	6	100	Tot.	6	100	10	100

Indice olenico dell'ulna: rapporto, in percentuale, tra il diametro trasversale superiore e il diametro dorso-volare superiore⁴⁹ dell'ulna, per calcolare l'appiattimento o meno dell'epifisi prossimale, dovuto a stress biomeccanici.

<i>Indice olenico dell'ulna</i>									
Maschi					Femmine				
	n. dx	%	n. sx	%		n. dx	%	n. sx	%
Platolenia	1	14,3	0	0	Platolenia	4	30,8	3	23,1
Eurolenia	4	57,1	6	66,7	Eurolenia	8	61,5	9	69,2
Ipereurolenia	2	28,6	3	33,3	Ipereurolenia	1	7,7	1	7,7
Tot.	7	100	9	100	Tot.	13	100	13	100

Indice di robustezza del femore: rapporto, in percentuale, tra la somma del diametro sagittale e del diametro trasversale, misurati a metà diafisi, e la lunghezza fisiologica. Si calcola per definire la gracilità o robustezza dell'osso.

⁴⁹ I due diametri sono misurati appena sotto al bordo inferiore dell'incisura radiale.

<i>Indice di robustezza del femore</i>									
Maschi					Femmine				
	n. dx	%	n. sx	%		n. dx	%	n. sx	%
Gracile	2	28,6	2	25	Gracile	2	25	6	54,5
Medio	3	42,8	3	37,5	Medio	4	50	3	27,3
Robusto	2	28,6	3	37,5	Robusto	2	25	2	18,2
Tot.	7	100	8	100	Tot.	8	100	11	100

Indice pilastrico del femore: rapporto, in percentuale, tra il diametro sagittale e il diametro trasversale del femore. Serve per indicare lo sviluppo della linea aspra, che cresce in proporzione all'uso dei muscoli della coscia.

<i>Indice pilastrico del femore</i>									
Maschi					Femmine				
	n. dx	%	n. sx	%		n. dx	%	n. sx	%
Pilastro nullo	3	37,5	2	25	Pilastro nullo	2	20	4	33,3
Pilastro debole	3	37,5	6	75	Pilastro debole	4	40	5	41,7
Pilastro medio	2	25	0	0	Pilastro medio	1	10	0	0
Pilastro forte	0	0	0	0	Pilastro forte	3	30	3	25
Tot.	8	100	8	100	Tot.	10	100	12	100

Indice merico del femore: rapporto, in percentuale, tra il diametro sagittale superiore e il diametro trasversale superiore⁵⁰, che serve per calcolare l'appiattimento o meno del terzo prossimale dell'osso, causato da stress biomeccanici.

<i>Indice merico del femore</i>									
Maschi					Femmine				
	n. dx	%	n. sx	%		n. dx	%	n. sx	%
Iperplatimeria	0	0	0	0	Iperplatimeria	2	22,2	1	9,1
Platimeria	6	75	4	50	Platimeria	4	44,4	8	72,7
Eurimeria	1	12,5	4	50	Eurimeria	3	33,3	2	18,2
Ipereurimeria	1	12,5	0	0	Ipereurimeria	0	0	0	0
Tot.	8	100	8	100	Tot.	9	100	11	100

Indice di robustezza della tibia: rapporto, in percentuale, tra la circonferenza minima e la lunghezza massima della tibia, si calcola per definire la gracilità o robustezza dell'osso.

⁵⁰ I due diametri sono misurati appena sotto la base del piccolo trocantere.

<i>Indice di robustezza della tibia</i>									
Maschi					Femmine				
	n. dx	%	n. sx	%		n. dx	%	n. sx	%
Gracile	0	0	0	0	Gracile	4	44,4	3	37,5
Medio	1	14,3	3	50	Medio	3	33,3	3	37,5
Robusto	6	85,7	3	50	Robusto	2	22,2	2	25
Tot.	7	100	6	100	Tot.	9	100	8	100

Indice cnemico della tibia: rapporto, in percentuale, tra il diametro trasversale e il diametro sagittale della tibia, misurati al foro nutrizio dell'osso. Serve per calcolare l'appiattimento o meno della diafisi, causato da un uso intenso e prolungato dei muscoli del polpaccio.

<i>Indice cnemico della tibia</i>									
Maschi					Femmine				
	n. dx	%	n. sx	%		n. dx	%	n. sx	%
Iperplaticnemia	0	0	0	0	Iperplaticnemia	0	0	0	0
Platicnemia	0	0	0	0	Platicnemia	0	0	0	0
Mesocnemia	3	37,5	4	50	Mesocnemia	2	16,7	1	9,1
Euricnemia	5	62,5	4	50	Euricnemia	10	83,3	10	90,9
Tot.	8	100	8	100	Tot.	12	100	11	100

I tre indici seguenti servono per esprimere in percentuale delle proporzioni tra diverse parti dello scheletro, e possono fornire sia informazioni sulla costituzione corporea degli individui esaminati, che caratteristiche legate ad adattamenti ambientali della popolazione di appartenenza⁵¹.

Indice clavicolo-omerale: rapporto, in percentuale, tra la lunghezza massima della clavicola e la lunghezza totale dell'omero. Serve per indicare la lunghezza della clavicola.

<i>Indice clavicolo-omerale</i>									
Maschi					Femmine				
	n. dx	%	n. sx	%		n. dx	%	n. sx	%
Clavicola breve	2	100	4	80	Clavicola breve	7	77,8	6	60
Clavicola media	0	0	1	20	Clavicola media	0	0	2	20
Clavicola lunga	0	0	0	0	Clavicola lunga	2	22,2	2	20
Tot.	2	100	5	100	Tot.	9	100	10	100

51 Canci, Minozzi 2005, p. 155.

*Indice brachiale*⁵²: rapporto, in percentuale, tra la lunghezza massima del radio e la lunghezza totale dell'omero. Serve per indicare la lunghezza del radio in relazione all'omero, cioè la proporzione tra avambraccio e braccio.

<i>Indice brachiale</i>									
Maschi					Femmine				
	n. dx	%	n. sx	%		n. dx	%	n. sx	%
Brachicherchia	1	33,3	1	20	Brachicherchia	7	70	6	66,7
Mesaticherchia	2	66,7	4	80	Mesaticherchia	3	30	3	33,3
Dolicocherchia	0	0	0	0	Dolicocherchia	0	0	0	0
Tot.	3	100	5	100	Tot.	10	100	9	100

Indice crurale: rapporto, in percentuale, tra la lunghezza massima della tibia e la lunghezza fisiologica del femore. Serve per indicare la lunghezza della tibia in relazione al femore, cioè la proporzione tra gamba e coscia.

<i>Indice crurale</i>									
Maschi					Femmine				
	n. dx	%	n. sx	%		n. dx	%	n. sx	%
Brachicnemia	4	66,7	3	50	Brachicnemia	2	28,6	3	42,8
Mesocnemia	0	0	0	0	Mesocnemia	0	0	0	0
Dolicocnemia	2	33,3	3	50	Dolicocnemia	5	71,4	4	57,2
Tot.	6	100	6	100	Tot.	7	100	7	100

52 Anche detto radio-omerale.

7. Caratteri discontinui

I caratteri discontinui sono delle caratteristiche non metriche con cause genetiche: sono variazioni nella morfologia delle ossa e dei denti non causate da patologie o da stress biomeccanici. È utile rilevarli, in quanto permettono di studiare la presenza di affinità biologica tra membri della stessa popolazione, o anche fra popolazioni diverse. Ove è stato possibile, i valori riscontrati sono stati approssimati al primo decimale. Per le foto dei caratteri discontinui rilevati, si rimanda all'appendice⁵³.

7.1 Caratteri discontinui cranici

Di seguito sono indicati i caratteri discontinui cranici rilevati in questo studio, con una breve descrizione e le tabelle con i risultati ottenuti dagli individui analizzati, divisi per sesso.

Ossicini coronali: piccole ossa accessorie poste lungo la sutura coronale.

<i>Ossicini coronali</i>									
Maschi					Femmine				
	d.	%	s.	%		d.	%	s.	%
Presente	0	0	0	0	Presente	3	16,7	1	5,55
Assente	2	20	2	20	Assente	8	44,4	10	55,55
Tot.	10	100	10	100	Tot.	18	100	18	100

Osso bregmatico: ossicino accessorio che si può trovare in corrispondenza del bregma⁵⁴.

<i>Osso bregmatico</i>					
Maschi			Femmine		
	n.	%		n.	%
Presente	0	0	Presente	0	0
Assente	3	100	Assente	11	100
Tot.	10	100	Tot.	11	100

Ossicini sagittali: piccole ossa accessorie lungo la sutura sagittale.

53 Da p. 483

54 Il punto di unione tra sutura coronale e sutura sagittale.

<i>Ossicini sagittali</i>					
Maschi			Femmine		
	n.	%		n.	%
Presente	2	66,7	Presente	3	27,3
Assente	1	33,3	Assente	8	72,7
Tot.	3	100	Tot.	11	100

Fori obelici: forami posti sulle ossa parietali, vicini alla sutura sagittale. Possono comparire in maniera simmetrica, oppure su uno solo dei parietali.

<i>Fori obelici</i>									
Maschi					Femmine				
	d.	%	s.	%		d.	%	s.	%
Presente	3	100	3	75	Presente	7	63,6	4	36,4
Assente	0	0	1	25	Assente	4	36,4	7	63,6
Tot.	3	100	4	100	Tot.	11	100	11	100

Osso epipterico: piccolo osso accessorio posto sulla sutura presente tra osso parietale e sfenoide.

<i>Osso epipterico</i>									
Maschi					Femmine				
	d.	%	s.	%		d.	%	s.	%
Presente	0	0	0	0	Presente	0	0	0	0
Assente	1	100	2	100	Assente	10	100	10	100
Tot.	1	100	2	100	Tot.	10	100	10	100

Osso a intacco parietale: ossicino accessorio posto tra la sutura temporo-parietale e la sutura squamosa del temporale.

<i>Osso a intacco parietale</i>									
Maschi					Femmine				
	d.	%	s.	%		d.	%	s.	%
Presente	0	0	0	0	Presente	0	0	0	0
Assente	1	100	2	100	Assente	8	100	9	100
Tot.	1	100	2	100	Tot.	8	100	9	100

Osso al lambda: Osso accessorio posizionato sul lambda⁵⁵.

<i>Osso al lambda</i>					
Maschi			Femmine		
	n.	%		n.	%
Presente	1	50	Presente	1	10
Assente	1	50	Assente	9	90
Tot.	2	100	Tot.	10	100

Ossa wormiane lungo la sutura lambdaoidea: ossicini sovranumerali posti sulla sutura lambdaoidea.

<i>Ossa wormiane lungo la sutura lambdaoidea</i>									
Maschi					Femmine				
	d.	%	s.	%		d.	%	s.	%
Presente	1	50	1	50	Presente	7	63,6	4	44,4
Assente	1	50	1	50	Assente	4	36,4	5	55,6
Tot.	2	100	2	100	Tot.	11	100	9	100

Osso epactale: posto sull'occipitale, è creato dal permanere di una sutura che divide l'osso occipitale stesso. È detto anche osso incaico.

<i>Osso epactale</i>					
Maschi			Femmine		
	n.	%		n.	%
Presente	0	0	Presente	0	0
Assente	2	100	Assente	10	100
Tot.	2	100	Tot.	10	100

Osso asterico: osso posto in corrispondenza dell'asterion⁵⁶.

<i>Osso asterico</i>									
Maschi					Femmine				
	d.	%	s.	%		d.	%	s.	%
Presente	0	0	0	0	Presente	0	0	0	0
Assente	2	100	2	100	Assente	8	100	8	100
Tot.	2	100	2	100	Tot.	8	100	8	100

55 Punto di contatto tra la sutura sagittale e quella lambdaoidea.

56 Punto in cui confluiscono le suture parieto-mastoidea, occipito-mastoidea e lambdaoidea.

Linea nucale suprema: protuberanza che si trova appena sopra all'inion⁵⁷.

<i>Linea nucale suprema</i>					
Maschi			Femmine		
	n.	%		n.	%
Presente	3	100	Presente	6	60
Assente	0	0	Assente	4	40
Tot.	3	100	Tot.	10	100

Apertura del canale condiloideo posteriore: si ha quando la fossa condiloidea⁵⁸ dell'occipitale risulta forata.

<i>Apertura del canale condiloideo posteriore</i>									
Maschi					Femmine				
	d.	%	s.	%		d.	%	s.	%
Presente	0	0	0	0	Presente	0	0	0	0
Assente	0	0	0	0	Assente	4	100	4	100
Tot.	0	0	0	0	Tot.	4	100	4	100

Sdoppiamento della faccetta condiloidea: si ha quando la faccetta articolare occipitale che articola con l'atlante risulta sdoppiata.

<i>Sdoppiamento della faccetta condiloidea</i>									
Maschi					Femmine				
	d.	%	s.	%		d.	%	s.	%
Presente	0	0	0	0	Presente	0	0	0	0
Assente	1	100	1	100	Assente	4	100	4	100
Tot.	1	100	1	100	Tot.	4	100	4	100

Tubercolo precondiloideo: uno o più tubercoli accessori sul bordo posteriore del forame magno.

57 Punto sulla linea nucale superiore, in corrispondenza della protuberanza occipitale esterna.

58 Una leggera depressione posteriore rispetto ai condili occipitali.

<i>Tubercolo precondiloideo</i>									
Maschi					Femmine				
	d.	%	s.	%		d.	%	s.	%
Presente	0	0	0	0	Presente	0	0	0	0
Assente	0	0	0	0	Assente	4	100	4	100
Tot.	0	0	0	0	Tot.	4	100	4	100

Tubercolo faringeo: tubercolo accessorio posto sulla base del cranio.

<i>Tubercolo faringeo</i>					
Maschi			Femmine		
	n.	%		n.	%
Presente	0	0	Presente	0	0
Assente	1	100	Assente	3	100
Tot.	1	100	Tot.	3	100

Sutura metopica: presenza, in età adulta, della sutura che divide verticalmente a metà l'osso frontale.

<i>Sutura metopica</i>					
Maschi			Femmine		
	n.	%		n.	%
Presente	0	0	Presente	4	33,3
Assente	4	100	Assente	8	66,7
Tot.	4	100	Tot.	12	100

Forame sopraorbitario completo: forame accessorio posto appena al di sopra dell'orbita.

<i>Forame sopraorbitario completo</i>									
Maschi					Femmine				
	d.	%	s.	%		d.	%	s.	%
Presente	1	50	2	66,7	Presente	5	45,5	5	41,7
Assente	1	50	1	33,3	Assente	6	54,5	7	58,3
Tot.	2	100	3	100	Tot.	11	100	12	100

Forame frontale: forame accessorio sull'osso frontale.

<i>Forame frontale</i>									
Maschi					Femmine				
	d.	%	s.	%		d.	%	s.	%
Presente	0	0	0	0	Presente	0	0	0	0
Assente	3	100	3	100	Assente	12	100	12	100
Tot.	3	100	3	100	Tot.	12	100	12	100

Forame infraorbitario accessorio: un secondo forame, accessorio, posto sull'osso mascellare.

<i>Forame infraorbitario accessorio</i>									
Maschi					Femmine				
	d.	%	s.	%		d.	%	s.	%
Presente	0	0	0	0	Presente	0	0	0	0
Assente	1	100	1	100	Assente	7	100	7	100
Tot.	1	100	1	100	Tot.	7	100	7	100

Forame zigomatico: forame accessorio sulla superficie laterale esterna dell'osso zigomatico.

<i>Forame zigomatico</i>									
Maschi					Femmine				
	d.	%	s.	%		d.	%	s.	%
Presente	1	100	1	100	Presente	1	14,3	0	0
Assente	0	0	0	0	Assente	6	85,7	6	100
Tot.	1	100	1	100	Tot.	7	100	6	100

Cli-no-ce-fa-lia: deformazione riscontrabile sulla volta del neurocranio, quando questo assume una forma a "sella".

<i>Cli-no-ce-fa-lia</i>					
Maschi			Femmine		
	n.	%		n.	%
Presente	0	0	Presente	4	36,4
Assente	4	100	Assente	7	63,6
Tot.	4	100	Tot.	11	100

Ba-tro-ce-fa-lia: deformazione cranica che ha luogo sull'osso occipitale, riscontrabile dalla presenza di una evidente protrusione vicino al lambda.

<i>Batrocefalia</i>					
Maschi			Femmine		
	n.	%		n.	%
Presente	2	66,7	Presente	4	36,4
Assente	1	33,3	Assente	7	63,6
Tot.	3	100	Tot.	11	100

Toro palatino: protuberanza ossea osservabile sul palato, divisa dalla linea sagittale mediana.

<i>Toro palatino</i>					
Maschi			Femmine		
	n.	%		n.	%
Presente	0	0	Presente	0	0
Assente	5	100	Assente	11	100
Tot.	5	100	Tot.	11	100

Toro mandibolare: protuberanza ossea posta sul lato linguale dell'arcata alveolare mandibolare.

<i>Toro mandibolare</i>					
Maschi			Femmine		
	n.	%		n.	%
Presente	0	0	Presente	0	0
Assente	5	100	Assente	14	100
Tot.	5	100	Tot.	14	100

Toro mascellare: protuberanza ossea posta sul lato linguale dell'arcata alveolare mascellare, in corrispondenza dei molari.

<i>Toro mascellare</i>					
Maschi			Femmine		
	n.	%		n.	%
Presente	0	0	Presente	0	0
Assente	5	100	Assente	14	100
Tot.	5	100	Tot.	14	100

7.2 Caratteri discontinui dello scheletro postcraniale

Di seguito sono indicati i caratteri discontinui dello scheletro postcraniale rilevati in questo studio, con una breve descrizione e le tabelle con i risultati ottenuti dagli individui analizzati, divisi per sesso.

Solco circonflesso della scapola: impronta ossea lasciata dell'arteria circonflessa sul margine dorso-laterale della scapola.

<i>Solco circonflesso della scapola</i>														
Maschi					Femmine					Non determinabili				
	d.	%	s.	%		d.	%	s.	%		d.	%	s.	%
Presente	0	0	0	0	Presente	0	0	0	0	Presente	0	0	0	0
Assente	5	100	5	100	Assente	10	100	10	100	Assente	0	0	0	0
Tot.	5	100	5	100	Tot.	10	100	10	100	Tot.	0	0	0	0

Apertura del setto della fossa olecranica dell'omero: foro passante tra la fossa olecranica e la fossetta coronoidea dell'omero.

<i>Apertura del setto della fossa olecranica dell'omero</i>														
Maschi					Femmine					Non determinabili				
	d.	%	s.	%		d.	%	s.	%		d.	%	s.	%
Presente	0	0	0	0	Presente	7	58,3	5	35,7	Presente	0	0	0	0
Assente	7	100	7	100	Assente	5	41,7	9	64,3	Assente	0	0	0	0
Tot.	7	100	7	100	Tot.	12	100	14	100	Tot.	0	0	0	0

Processo sopracondiloideo dell'omero: piccolo sperone osseo posto poco al di sopra dell'epicondilo mediale dell'omero.

<i>Processo sopracondiloideo dell'omero</i>														
Maschi					Femmine					Non determinabili				
	d.	%	s.	%		d.	%	s.	%		d.	%	s.	%
Presente	0	0	0	0	Presente	0	0	0	0	Presente	0	0	0	0
Assente	6	100	7	100	Assente	12	100	14	100	Assente	0	0	0	0
Tot.	6	100	7	100	Tot.	12	100	14	100	Tot.	0	0	0	0

Solco sul fondo dell'acetabolo del coxale: solco lineare nella superficie articolare dell'acetabolo, nella sua parte più concava.

<i>Solco sul fondo dell'acetabolo del coxale</i>														
Maschi					Femmine					Non determinabili				
	d.	%	s.	%		d.	%	s.	%		d.	%	s.	%
Presente	0	0	0	0	Presente	0	0	0	0	Presente	0	0	0	0
Assente	5	100	6	100	Assente	12	100	13	100	Assente	0	0	0	0
Tot.	5	100	6	100	Tot.	12	100	13	100	Tot.	0	0	0	0

Terzo trocantere del femore: protuberanza ossea posta nella parte superiore dell'inserzione muscolare del grande gluteo.

<i>Terzo trocantere del femore</i>														
Maschi					Femmine					Non determinabili				
	d.	%	s.	%		d.	%	s.	%		d.	%	s.	%
Presente	1	12,5	0	0	Presente	3	30	2	15,4	Presente	1	100	0	0
Assente	7	87,5	8	100	Assente	7	70	11	84,6	Assente	0	0	1	100
Tot.	8	100	8	100	Tot.	10	100	13	100	Tot.	1	100	1	100

Osso trigono dell'astragalo: protuberanza ossea, che a volte può apparire come ossicino separato, presente sul margine dorsale superiore dell'astragalo.

<i>Osso trigono dell'astragalo</i>														
Maschi					Femmine					Non determinabili				
	d.	%	s.	%		d.	%	s.	%		d.	%	s.	%
Presente	0	0	0	0	Presente	0	0	0	0	Presente	0	0	0	0
Assente	8	100	7	100	Assente	11	100	11	100	Assente	3	100	3	100
Tot.	8	100	7	100	Tot.	11	100	11	100	Tot.	3	100	3	100

Faccetta sul collo dell'astragalo: faccetta articolare accessoria presente sul collo dell'astragalo.

<i>Faccetta sul collo dell'astragalo</i>														
Maschi					Femmine					Non determinabili				
	d.	%	s.	%		d.	%	s.	%		d.	%	s.	%
Presente	2	25	0	0	Presente	2	16,7	2	16,7	Presente	0	0	0	0
Assente	6	75	6	75	Assente	10	83,3	10	83,3	Assente	3	100	3	100
Tot.	8	100	8	100	Tot.	12	100	12	100	Tot.	3	100	3	100

Faccetta calcaneare sdoppiata: si nota quando le faccette articolari superiori del calcagno si presentano nettamente divise.

<i>Faccetta calcaneare sdoppiata</i>														
Maschi					Femmine					Non determinabili				
	d.	%	s.	%		d.	%	s.	%		d.	%	s.	%
Presente	1	12,5	0	0	Presente	3	25	4	33,3	Presente	1	33,3	1	33,3
Assente	7	87,5	7	100	Assente	9	75	8	66,7	Assente	2	66,7	2	66,7
Tot.	8	100	7	100	Tot.	12	100	12	100	Tot.	3	100	3	100

Tubercolo peroneale del calcagno: tubercolo osseo che si può trovare sulla superficie laterale del calcagno.

<i>Tubercolo peroneale del calcagno</i>														
Maschi					Femmine					Non determinabili				
	d.	%	s.	%		d.	%	s.	%		d.	%	s.	%
Presente	3	37,5	2	28,6	Presente	5	41,7	5	41,7	Presente	0	0	2	66,7
Assente	5	62,5	5	71,4	Assente	7	58,3	7	58,3	Assente	3	100	1	33,3
Tot.	8	100	7	100	Tot.	12	100	12	100	Tot.	3	100	3	100

8. Caratteri ergonomici

Gli indicatori di stress occupazionale⁵⁹ sono quell'insieme di alterazioni nella morfologia delle ossa che sono causate da stress biomeccanici intensi e ripetuti. Furono introdotti per la prima volta da Ronchese⁶⁰ a metà del XX secolo ma, nonostante innumerevoli altri studi, non sempre si riescono a collegare i MOS a delle precise attività. Questo accade a causa di vari fattori, tra cui il sesso, l'età, lo status sociale e la nutrizione degli individui che si vanno ad analizzare⁶¹.

Gli indicatori di stress occupazionale sono di diversi tipi, e comprendono gli indici morfometrici, le entesopatie, le sindesmopatie, le artropatie e i cosiddetti MOS "discreti".

Gli indici morfometrici sono già stati precedentemente trattati in questo capitolo⁶². Le entesopatie sono delle modificazioni morfologiche delle ossa che avvengono in reazione a uno stress sulle inserzioni tendinee, mentre le sindesmopatie sono delle modificazioni analoghe, ma sulle inserzioni dei legamenti⁶³.

Nella categoria delle artropatie rientrano tutte le modificazioni ossee legate ai fenomeni di artrosi, quali osteofiti, schiacciamenti vertebrali, eburneazione delle superfici ossee, e *lippping* marginali.

Infine, gli indicatori di stress occupazionale, cosiddetti "discreti" secondo la definizione di Wilczak e Kennedy⁶⁴, comprendono caratteri come l'estensione delle superfici articolari, le faccette articolari accessorie, le fratture da stress o la mancata fusione di certe porzioni ossee.

Di seguito verranno riportati i risultati delle analisi sui MOS considerati per questo studio, con una breve descrizione e con le relative tabelle che indicano le percentuali di incidenza degli indicatori di stress sul campione di popolazione considerato. Ove è stato possibile, i valori riscontrati sono stati approssimati al primo decimale. Per le foto dei MOS rilevati, si rimanda all'appendice⁶⁵.

59 Altrimenti detti MOS, *Markers of Occupational Stress*.

60 Ronchese 1948.

61 Bertoldi, Lora 2009.

62 Vedi paragrafo 6, p. 30.

63 Per approfondire riguardo a questo tipo di caratteri ergonomici, consultare Hawkey, Merbs 1995 o Bertoldi, Lora 2009.

64 Wilczak, Kennedy 1997.

65 Da p. 483

Notch-like defect della clavicola: sintesopatia del legamento costo-clavicolare che si forma a causa di un intenso uso della spalla.

<i>Notch-like defect della clavicola</i>														
Maschi					Femmine					Indeterminati				
	d.	%	s.	%		d.	%	s.	%		d.	%	s.	%
Presente	2	40	3	42,9	Presente	5	45,5	8	66,7	Presente	0	0	0	0
Assente	3	60	4	57,1	Assente	6	54,5	4	33,3	Assente	0	0	0	0
Tot.	5	100	7	100	Tot.	11	100	12	100	Tot.	0	0	0	0

Inserzione del grande pettorale sulla clavicola: entesi lasciata dal muscolo grande pettorale lungo la diafisi della clavicola.

<i>Inserzione del grande pettorale sulla clavicola</i>									
Maschi					Femmine				
	d.	%	s.	%		d.	%	s.	%
Lieve	2	33,3	3	42,9	Lieve	11	91,7	11	91,7
Medio	4	66,7	4	57,1	Medio	1	8,3	1	8,3
Grave	0	0	0	0	Grave	0	0	0	0
Tot.	6	100	7	100	Tot.	12	100	12	100

Doccia bicipitale dell'omero: solco sull'epifisi prossimale dell'omero in cui si pone un tendine del muscolo bicipite brachiale, e che può risultare più profondo tanto più sviluppate sono le inserzioni dei muscoli ai lati di esso.

<i>Doccia bicipitale dell'omero</i>									
Maschi					Femmine				
	d.	%	s.	%		d.	%	s.	%
Lieve	5	100	5	71,4	Lieve	11	91,7	12	85,7
Medio	0	0	2	28,6	Medio	1	8,3	2	14,3
Grave	0	0	0	0	Grave	0	0	0	0
Tot.	5	100	7	100	Tot.	12	100	14	100

Tuberosità deltoidea dell'omero: entesopatia sull'attacco del muscolo deltoide, sulla diafisi dell'omero.

<i>Tuberosità deltoidea dell'omero</i>									
Maschi					Femmine				
	d.	%	s.	%		d.	%	s.	%
Lieve	6	100	5	71,4	Lieve	10	83,3	11	84,6
Medio	0	0	2	28,6	Medio	2	16,7	2	15,4
Grave	0	0	0	0	Grave	0	0	0	0
Tot.	6	100	7	100	Tot.	12	100	13	100

Esostosi dell'epicondilo mediale dell'omero: entesopatia che si forma quando i muscoli flessori della mano sono utilizzati molto.

<i>Esostosi dell'epicondilo mediale dell'omero</i>														
Maschi					Femmine					Indeterminati				
	d.	%	s.	%		d.	%	s.	%		d.	%	s.	%
Presente	1	14,3	0	0	Presente	1	9,1	3	21,4	Presente	0	0	0	0
Assente	6	85,7	8	100	Assente	10	90,9	11	78,6	Assente	0	0	0	0
Tot.	10	100	10	100	Tot.	18	100	18	100	Tot.	0	0	0	0

Entesofiti sulla tuberosità bicipitale del radio: ipertrofia della porzione di diafisi del radio dove attacca il bicipite brachiale, originata probabilmente dal trasporto di pesanti carichi con i gomiti flessi⁶⁶. Su tre individui di sesso maschile si sono potuti riscontrare degli entesofiti di grado moderato.

<i>Entesofiti sulla tuberosità bicipitale del radio</i>														
Maschi					Femmine					Indeterminati				
	d.	%	s.	%		d.	%	s.	%		d.	%	s.	%
Presente	4	50	5	55,6	Presente	5	38,5	4	30,8	Presente	0	0	0	0
Assente	4	50	4	44,4	Assente	8	61,5	9	69,2	Assente	0	0	0	0
Tot.	8	100	9	100	Tot.	13	100	13	100	Tot.	0	0	0	0

Entesofiti sul margine superiore dell'olecrano dell'ulna: esostosi piatta e larga presente sulla parte postero-superiore dell'olecrano dell'ulna. Su un individuo di sesso maschile si sono rilevati degli entesofiti moderati.

66 Capasso *et al.* 1999.

<i>Entesofiti sul margine superiore dell'olecrano dell'ulna</i>														
Maschi					Femmine					Indeterminati				
	d.	%	s.	%		d.	%	s.	%		d.	%	s.	%
Presente	2	28,6	4	44,4	Presente	1	7,7	2	14,3	Presente	0	0	0	0
Assente	5	71,4	5	55,6	Assente	12	92,3	12	85,7	Assente	0	0	0	0
Tot.	7	100	9	100	Tot.	13	100	14	100	Tot.	0	0	0	0

Entesofiti sul margine inferiore dell'incisura radiale dell'ulna: entesofiti causati dai muscoli preposti alla rotazione laterale e alla flessione dell'avambraccio⁶⁷.

<i>Entesofiti sul margine inferiore dell'incisura radiale dell'ulna</i>														
Maschi					Femmine					Indeterminati				
	d.	%	s.	%		d.	%	s.	%		d.	%	s.	%
Presente	1	14,3	1	14,3	Presente	3	21,4	3	33,3	Presente	0	0	0	0
Assente	6	85,7	6	85,7	Assente	11	78,6	9	66,7	Assente	0	0	0	0
Tot.	7	100	7	100	Tot.	14	100	12	100	Tot.	0	0	0	0

Faccette articolari accessorie sul sacro: faccette articolari osservabili all'altezza delle prime due vertebre sacrali, originate dal trasporto di carichi pesanti a carico della colonna vertebrale.

<i>Faccette articolari accessorie del sacro</i>														
Maschi					Femmine					Indeterminati				
	d.	%	s.	%		d.	%	s.	%		d.	%	s.	%
Presente	3	50	3	50	Presente	4	50	3	37,5	Presente	0	0	0	0
Assente	3	50	3	50	Assente	4	50	5	62,5	Assente	0	0	0	0
Tot.	6	100	6	100	Tot.	8	100	8	100	Tot.	0	0	0	0

Faccette articolari accessorie sul bacino: faccette articolari osservabili all'altezza della tuberosità iliaca, originate dal trasporto di carichi pesanti a carico della colonna vertebrale.

<i>Faccette articolari accessorie del bacino</i>														
Maschi					Femmine					Indeterminati				
	d.	%	s.	%		d.	%	s.	%		d.	%	s.	%
Presente	3	75	3	75	Presente	4	36,4	3	33,3	Presente	0	0	0	0
Assente	1	25	1	25	Assente	7	63,6	6	66,7	Assente	0	0	0	0
Tot.	4	100	4	100	Tot.	11	100	9	100	Tot.	0	0	0	0

⁶⁷ Bertoldi, Lora 2009.

Inserzione del grande gluteo sul femore: entesopatia posta lungo il lato posteriore della diafisi, sotto al piccolo trocantere, causata dall'intenso uso del grande gluteo.

<i>Inserzione del grande gluteo sul femore</i>									
Maschi					Femmine				
	d.	%	s.	%		d.	%	s.	%
Lieve	6	66,7	6	66,7	Lieve	6	54,5	8	61,5
Medio	3	33,3	3	33,3	Medio	5	45,5	5	38,5
Grave	0	0	0	0	Grave	0	0	0	0
Tot.	9	100	9	100	Tot.	11	100	13	100

Faccetta di Poirier o placca sul collo del femore: corrispondono all'estensione, sulla parte anteriore del collo del femore, dell'articolazione della testa dovuta probabilmente a una prolungata postura a ginocchia molto flesse⁶⁸.

<i>Faccetta di Poirier / Placca sul collo del femore</i>														
Maschi					Femmine					Indeterminati				
	d.	%	s.	%		d.	%	s.	%		d.	%	s.	%
Presente	2	33,3	2	28,6	Presente	2	25	4	36,4	Presente	0	0	0	0
Assente	4	66,7	5	71,4	Assente	6	75	7	63,6	Assente	0	0	1	100
Tot.	6	100	7	100	Tot.	8	100	11	100	Tot.	0	0	1	100

Fossa di Allen sul femore: faccetta articolare accessoria che può essere presente sul lato anteriore del collo del femore, causata da movimenti di flessione estrema dell'arto inferiore⁶⁹

<i>Fossa di Allen sul femore</i>														
Maschi					Femmine					Indeterminati				
	d.	%	s.	%		d.	%	s.	%		d.	%	s.	%
Presente	0	0	0	0	Presente	1	11,1	0	0	Presente	0	0	0	0
Assente	6	100	7	100	Assente	8	88,9	11	100	Assente	0	0	1	100
Tot.	6	100	7	100	Tot.	9	100	11	100	Tot.	0	0	1	100

Esostosi della fossa trocanterica del femore: proliferazione ossea nella fossa trocanterica del femore.

68 Capasso *et al.* 1999; Bertoldi, Lora 2009.

69 Capasso *et al.* 1999.

<i>Esostosi nella fossa trocanterica del femore</i>														
Maschi					Femmine					Indeterminati				
	d.	%	s.	%		d.	%	s.	%		d.	%	s.	%
Presente	3	42,9	3	42,9	Presente	3	33,3	3	25	Presente	0	0	0	0
Assente	4	57,1	4	57,1	Assente	6	66,7	9	75	Assente	0	0	2	100
Tot.	7	100	7	100	Tot.	9	100	12	100	Tot.	0	0	2	100

Intacco del vasto sulla patella: incisura sul lato latero-superiore della patella, che si manifesta quando l'apice della stessa non risulta fuso. È collegabile all'uso intenso e prolungato del quadricipite femorale, soprattutto in posizione di *squatting*⁷⁰. Su quattro individui, due di sesso maschile e due di sesso femminile, si è rilevata un'incisura moderata.

<i>Intacco del vasto sulla patella</i>														
Maschi					Femmine					Indeterminati				
	d.	%	s.	%		d.	%	s.	%		d.	%	s.	%
Presente	6	85,7	8	100	Presente	9	90	9	81,8	Presente	2	100	2	100
Assente	1	14,3	0	0	Assente	1	10	2	18,2	Assente	0	0	0	0
Tot.	7	100	8	100	Tot.	10	100	11	100	Tot.	2	100	2	100

Linea poplitea della tibia: cresta ossea sul lato posteriore della tibia che si forma quando vi è un uso intenso e prolungato del muscolo soleo, importante per i movimenti del piede.

<i>Linea poplitea della tibia</i>										
Maschi					Femmine					
	d.	%	s.	%		d.	%	s.	%	
Lieve	6	75	6	75	Lieve	12	92,3	11	91,7	
Medio	2	25	1	12,5	Medio	1	7,7	1	8,3	
Grave	0	0	1	12,5	Grave	0	0	0	0	
Tot.	8	100	8	100	Tot.	13	100	12	100	

Squatting facets sul bordo dell'epifisi distale della tibia: prolungamento, sul margine anteriore della tibia, della superficie articolare distale dell'osso, causato dalla flessione ripetuta del piede o dall'utilizzo frequente di una posizione accucciata⁷¹.

70 Bertoldi, Lora 2009.

71 Ibid.

<i>Squatting facets sulla tibia</i>														
Maschi					Femmine					Indeterminati				
	d.	%	s.	%		d.	%	s.	%		d.	%	s.	%
Presente	0	0	0	0	Presente	3	27,3	2	18,2	Presente	1	25	1	25
Assente	8	100	8	100	Assente	8	72,7	9	81,8	Assente	3	75	3	75
Tot.	8	100	8	100	Tot.	11	100	11	100	Tot.	4	100	4	100

Scanalature della diafisi della fibula: si indica quanto sono marcate le scanalature presenti sulla diafisi dell'osso.

<i>Scanalature della diafisi della fibula</i>										
Maschi					Femmine					
	d.	%	s.	%		d.	%	s.	%	
Lieve	6	75	6	66,7	Lieve	10	83,3	10	83,3	
Medio	2	25	3	33,3	Medio	2	16,7	2	16,7	
Grave	0	0	0	0	Grave	0	0	0	0	
Tot.	8	100	9	100	Tot.	12	100	12	100	

Esostosi sull'inserzione del tendine d'Achille sul calcagno: proliferazione ossea sulla parte posteriore del calcagno, dove si inserisce il tendine d'Achille, associabile a una prolungata attività di cammino o corsa⁷². Su quattro individui di sesso maschile sono state rilevate delle esostosi di grado moderato.

<i>Esostosi dell'inserzione del tendine d'Achille sul calcagno</i>														
Maschi					Femmine					Indeterminati				
	d.	%	s.	%		d.	%	s.	%		d.	%	s.	%
Presente	7	87,5	7	100	Presente	8	72,7	8	66,7	Presente	3	75	2	50
Assente	1	12,5	0	0	Assente	3	27,3	4	33,3	Assente	1	25	2	50
Tot.	8	100	7	100	Tot.	11	100	12	100	Tot.	4	100	4	100

Sperone calcaneare: piccolo sperone osseo dovuto a traumi causati da marcia o corsa su superfici dure⁷³.

⁷² Capasso *et al.* 1999.

⁷³ Capasso *et al.* 1999.

<i>Sperone calcaneare</i>														
Maschi					Femmine					Indeterminati				
	d.	%	s.	%		d.	%	s.	%		d.	%	s.	%
Presente	0	0	1	14,3	Presente	2	16,7	2	16,7	Presente	0	0	0	0
Assente	8	100	6	85,7	Assente	10	83,3	10	83,3	Assente	4	100	4	100
Tot.	8	100	7	100	Tot.	12	100	12	100	Tot.	4	100	4	100

9. Paleopatologia

La paleopatologia è una disciplina che procede di pari passo all'antropologia fisica, e si occupa di studiare le patologie che affliggevano le popolazioni del passato, specie per quanto riguarda la loro origine, diffusione ed evoluzione⁷⁴. Così facendo, la paleopatologia prova a ricostruire lo stato di salute delle popolazioni antiche. Come si può facilmente immaginare, il paleopatologo può riuscire a identificare e studiare solo quelle patologie che lasciano un segno tangibile sul tessuto osseo, utilizzando dati provenienti sia dall'osservazione di resti scheletrici o mummificati (dati primari), che dall'analisi di testimonianze iconografiche o documentarie (dati secondari)⁷⁵.

Di seguito verranno riportate le patologie riscontrate sul campione di individui analizzati in questo studio, mentre per le immagini relative alle patologie riscontrate sulle ossa degli individui studiati si rimanda all'appendice⁷⁶.

9.1 Malattie articolari

La categoria delle malattie articolari comprende tutte quelle patologie che vanno a interessare le articolazioni e i dischi intervertebrali, ovvero le cosiddette artropatie. Queste si possono manifestare sia sotto forma di proliferazione ossea, che sotto forma di erosione delle superfici articolari, con conseguente eburneazione dell'osso. Non sono stati individuati casi di ossa con eburneazione tra gli individui studiati.

La forma più comune di artropatia è l'osteoartrite, che è stata rilevata grazie soprattutto agli osteofiti ai margini delle articolazioni, dovuti ai processi riparativi e di rimodellamento a fronte di stress biomeccanici, predisposizione genetica o età avanzata⁷⁷. Nel campione analizzato si sono rilevate tracce di osteoartrosi su 24 individui, 10 di sesso maschile e 14 di sesso femminile. Per quanto riguarda i maschi, 4 individui⁷⁸ presentano artrosi lieve, 5 individui⁷⁹ presentano artrosi moderata (soprattutto a carico della colonna vertebrale) e un individuo⁸⁰ presenta artrosi grave, localizzata sulle vertebre toraciche. Riguardo gli individui

74 Roberts, Manchester 2005.

75 Ibid.

76 Da p. 483.

77 Canci, Minozzi 2005.

78 Tombe 7, 9, 40, 58.

79 Tombe 13, 25, 46, 57 individuo B, 91.

80 Tomba 57, individuo A.

di sesso femminile, 10 individui⁸¹ presentano artrosi lieve, 3 individui⁸² presentano artrosi moderata, e un individuo⁸³ presenta artrosi grave localizzata sulle vertebre lombari e sulla sinfisi pubica. È bene notare che, nei casi di osteoartrosi moderata o grave, non tutte le ossa del corpo ne sono colpite allo stesso modo, e molte presentano artrosi lieve.

Un'altra malattia articolare molto comune tra gli individui esaminati sono le cosiddette ernie di Schmörl. Queste sono delle alterazioni che avvengono sulla spina dorsale in seguito al sollevamento ripetuto di carichi pesanti⁸⁴, ed è più comunemente riscontrabile sulle vertebre toraciche e lombari. Le ernie si presentano come delle depressioni circolari o ellittiche sui corpi vertebrali, spesso in associazione a delle corone osteofitiche sui bordi delle vertebre stesse. Si sono riscontrate ernie di Schmörl su 15 individui adulti, di cui 5⁸⁵ di sesso maschile e 10⁸⁶ di sesso femminile. I maschi presentano un numero di ernie variabile tra 2 (tombe 7 e 57, individuo B) e 13 (tomba 57, individuo A), localizzate sulle vertebre toraciche e sulle vertebre lombari. Per quanto riguarda le femmine, invece, il numero di ernie di Schmörl varia da una (tombe 8 e 77) a 7 (tomba 53), sempre sulle vertebre toraciche e sulle vertebre lombari. Infine è stato rilevato un unico caso di spondilite anchilosante, una patologia che causa la fusione di alcuni corpi vertebrali tra loro a causa della gran produzione di osteofiti: l'individuo di tomba 60 presenta l'atlante e l'epistrofeo fusi insieme.

9.2 Fratture

In seguito a dei traumi, le ossa si possono crepare o rompere, dando origine alle cosiddette fratture. Ne esistono di diversi tipi, sintetizzati magistralmente da Canci e Minozzi⁸⁷ (fig. 2.7). Sulle ossa degli individui studiati sono state rilevate fratture in due casi. Sull'osso parietale destro dell'individuo di sesso femminile di Tomba 22 è presente una probabile frattura perimortale di forma tondeggiante, che presenta un diametro di un paio di centimetri. La seconda frattura riscontrabile si trova all'epifisi distale del radio destro dell'individuo di sesso femminile di Tomba 42, ed è probabilmente dovuta a un forte trauma al polso.

81 Tombe 17 individuo B, 21, 23, 33, 37, 39, 42, 45, 49, 60.

82 Tombe 43, 53, 77.

83 Tomba 17 individuo A.

84 Capasso *et al.* 1999.

85 Tombe 7, 9, 13, 57 individuo A, 57 individuo B.

86 Tombe 8, 17 individuo A, 17 individuo B, 21, 22, 23, 37, 42, 53, 77.

87 Canci, Minozzi 2005.



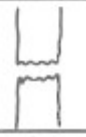




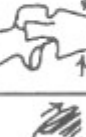

TIPOLOGIA FRATTURA	DESCRIZIONE	
Frattura chiusa	L'osso è fratturato ma la pelle rimane intatta	
Frattura aperta	La pelle è lacerata e l'osso è esposto all'ambiente esterno	
Frattura completa	L'intero osso, sia lungo che piatto, è spezzato	
Frattura incompleta	La rottura non si estende all'intero osso. Nota anche come "frattura a legno verde".	
Frattura trasversa, obliqua, trasversa-obliqua, a spirale	Questi termini indicano le direzioni delle linee di forza che provocano la frattura.	
Frattura comminuta	L'osso si frantuma in più frammenti a seguito di un trauma particolarmente violento. Poco comune in resti scheletrici di interesse archeologico.	
Frattura da impatto	Uno dei frammenti è spinto dentro il frammento opposto a seguito della dinamica del trauma.	
Frattura da compressione	Causata da forze compressive. Ad esempio lo schiacciamento di una vertebra a seguito di una caduta.	
Frattura da trazione/avulsione	Si verifica a seguito di una improvvisa e violenta contrazione muscolare che asporta un frammento d'osso.	

Fig. 2.7⁸⁸ – Tipologie di fratture

88 Canci, Minozzi 2005, p. 167.

9.3 Patologie dentarie

Nella categoria delle patologie dentarie rientrano quelle affezioni che interessano le cavità alveolari e i denti, nello specifico carie, tartaro, ascessi, parodontosi e ipoplasia dello smalto.

Per quanto riguarda l'analisi della dentizione, ci si è basati sugli individui che hanno conservato la dentatura, anche solo in parte. Il campione è risultato così composto da 20 individui, di cui 6 di sesso maschile, 13 di sesso femminile e uno di sesso non determinabile.

La carie è dovuta alla demineralizzazione dello smalto dentario causata dall'azione dei batteri presenti nel cavo orale, e può essere accelerata dal consumo di zuccheri, da una igiene orale manchevole e anche da alterazioni della flora batterica intestinale⁸⁹. Nelle schede dentarie realizzate⁹⁰ si è indicata la localizzazione della carie, o la presenza di una carie destrudente, ovvero una carie che ha consumato il dente fino alla radice.

Nel campione analizzato, la carie è stata rilevata su 13 individui adulti, 4 di sesso maschile, 8 di sesso femminile e uno di sesso indeterminato. Considerando la distribuzione della patologia a seconda delle classi di età, si può notare che il picco di individui affetti si colloca tra le femmine di età compresa tra i 18 e i 25 anni, mentre per i maschi il numero rimane pressoché costante in tutte le classi di età. Per quanto riguarda invece i denti più colpiti, per entrambi i sessi spiccano i molari mandibolari.

Il tartaro è la mineralizzazione della placca batterica presente sui denti, e peggiora se associato a una scarsa igiene orale, a una dieta ricca di carboidrati e al pH della saliva⁹¹. La patologia è stata rilevata su un totale di 19 individui, di cui 5 di sesso maschile, 13 di sesso femminile e uno di sesso indeterminato. In quasi tutti gli individui affetti si presenta in forma leggera, ma su un individuo di sesso maschile⁹² e su 3 di sesso femminile⁹³ si presenta anche in forma massiva.

Per quanto concerne gli ascessi, è stato rilevato un solo ascesso apicale fistolizzato, in corrispondenza del primo premolare mascellare sinistro dell'individuo di sesso femminile di Tomba 33.

89 Canci, Minozzi 2005.

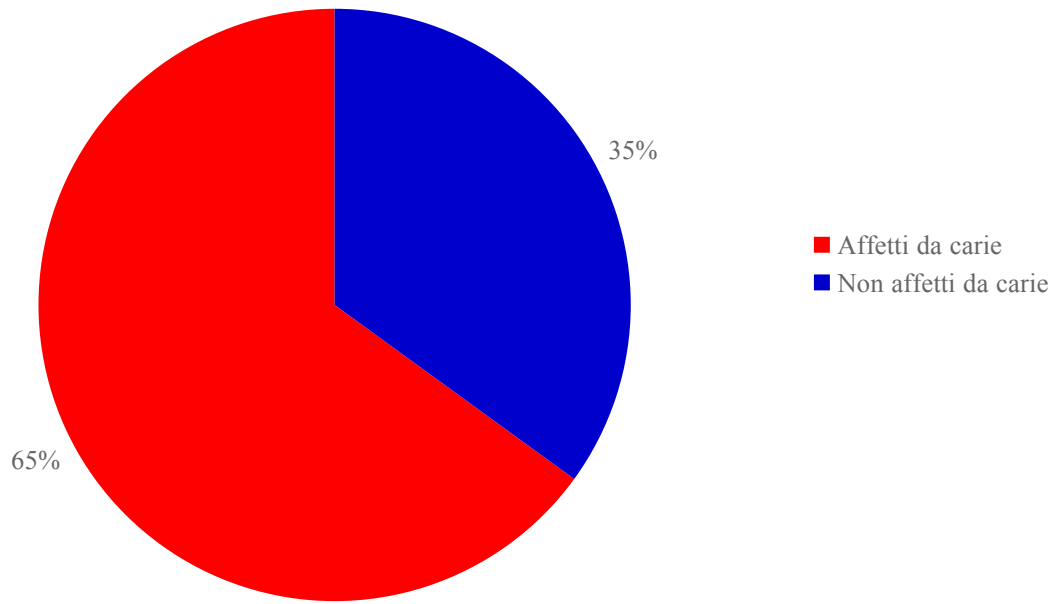
90 Vedi capitolo 5.

91 Canci, Minozzi 2005.

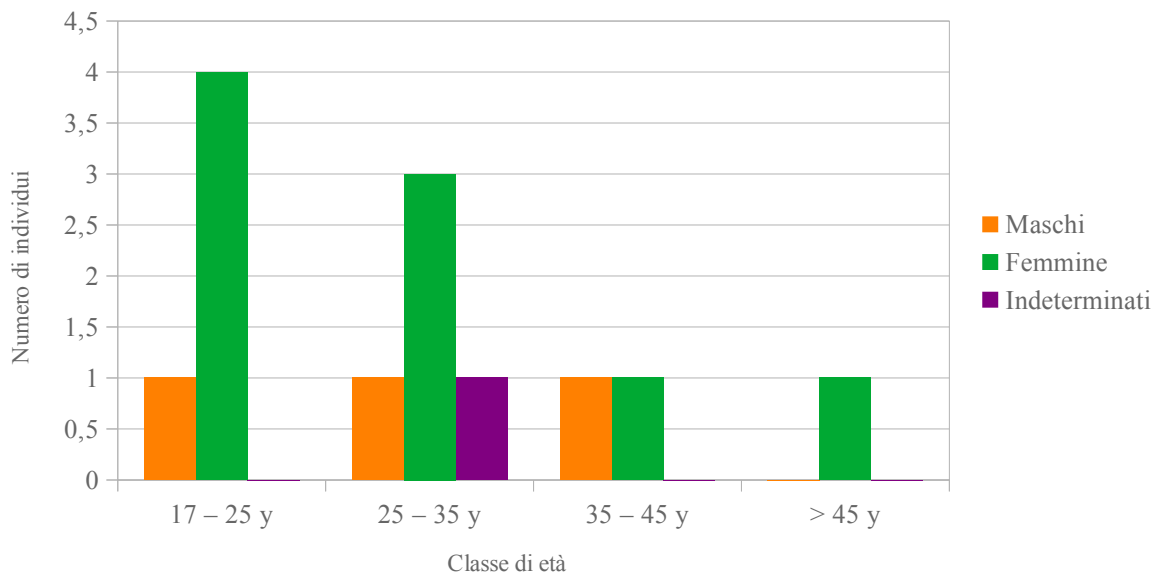
92 Tomba 3.

93 Tombe 17 individuo B, 53, 77.

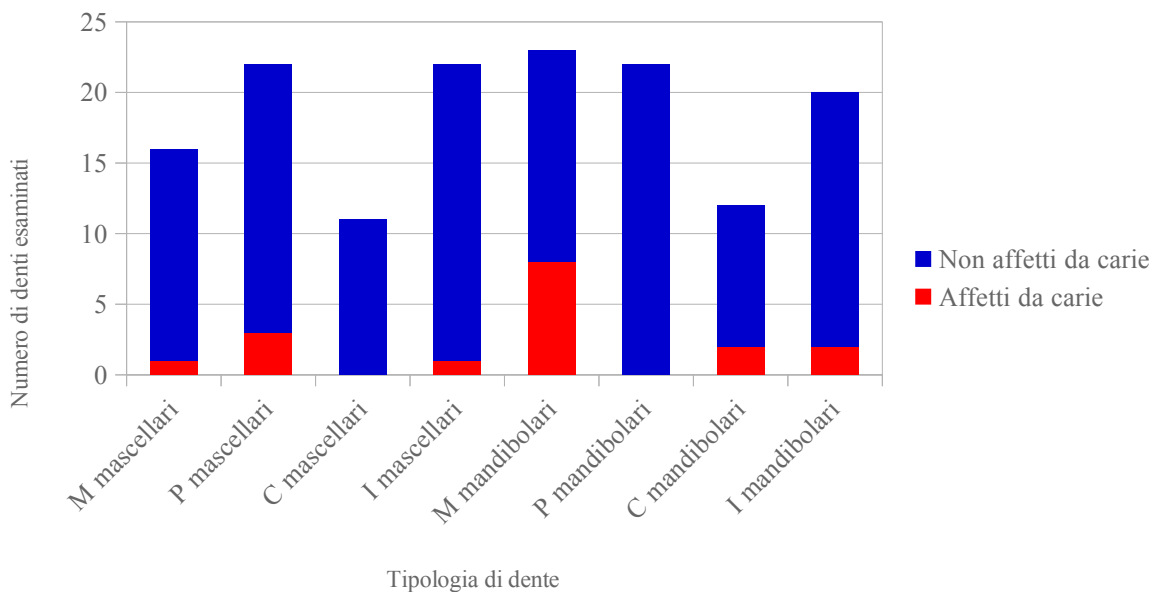
Incidenza della carie sul campione analizzato



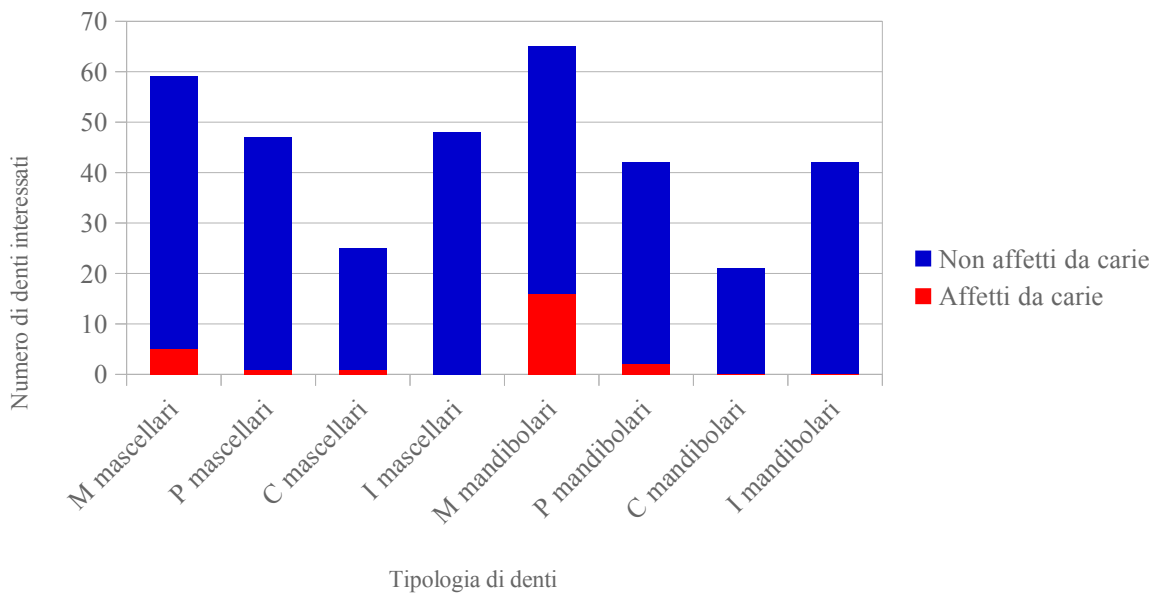
Distribuzione della carie per classi di età



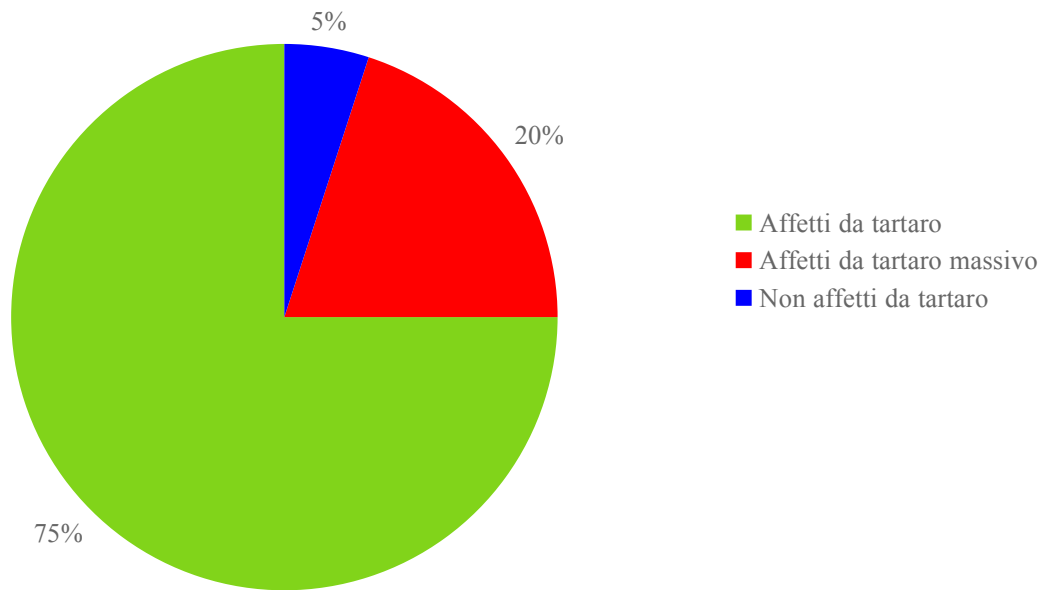
Incidenza della carie sui diversi denti del campione maschile



Incidenza della carie sui diversi denti del campione femminile



Incidenza del tartaro sul campione analizzato



La parodontosi è una patologia dentaria che porta alla consunzione del legamento peridontale e alla retrazione del margine alveolare, causando l'esposizione delle radici dentali, con probabile conseguente perdita dei denti. Questa patologia è causata dall'accumulo di placca batterica negli spazi interstiziali tra i denti e i tessuti che formano le gengive⁹⁴.

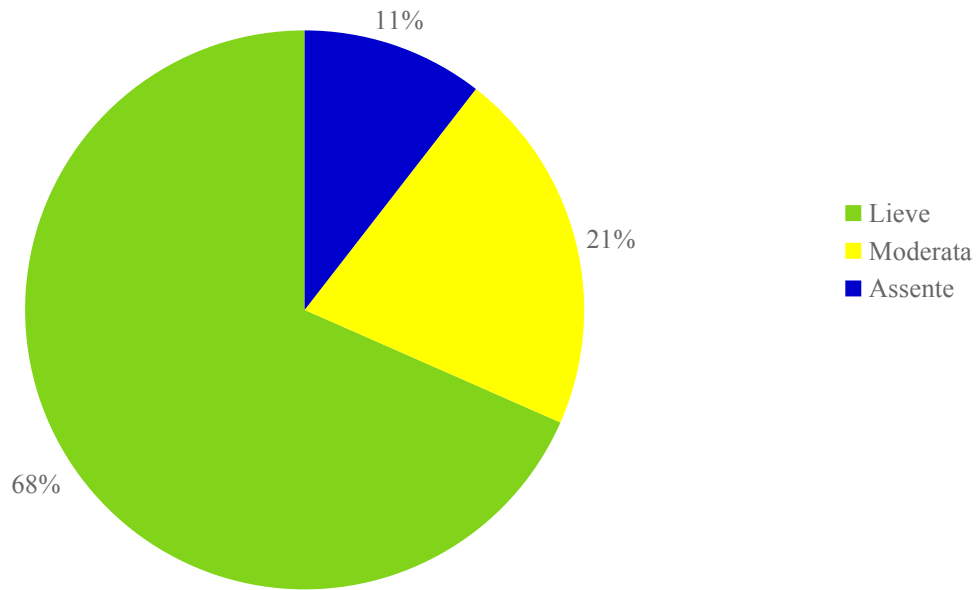
Nel campione analizzato è stata rilevata su un totale di 17 individui. Di questi, 12⁹⁵ presentano una parodontosi lieve e 5⁹⁶ una parodontosi moderata.

94 Roberts, Manchester 2005.

95 Tombe 7, 9, 13, 17 individuo A, 22, 37, 42, 45, 53, 60, 77, 91.

96 Tombe 17 individuo B, 21, 23, 25, 33.

Incidenza della parodontosi sul campione esaminato



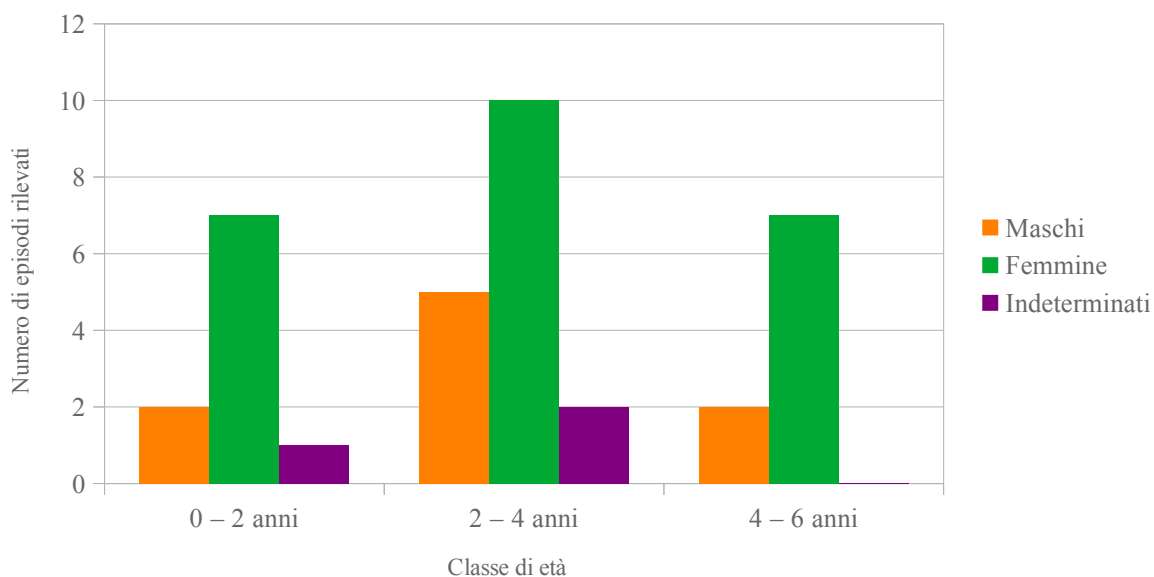
L'ultima patologia dentaria che è stata rilevata sul campione analizzato è l'ipoplasia dello smalto, che si presenta come delle linee orizzontali osservabili sulla superficie buccale dello smalto dentario. Queste linee sono causate da uno o più rallentamenti o interruzioni del normale processo di deposizione dello smalto durante la crescita dei denti (tra la nascita e i 7 anni di età circa). Questi rallentamenti o interruzioni sono a loro volta causati da stress di diverso tipo, come malattie o malnutrizione⁹⁷. Nel campione analizzato l'ipoplasia dello smalto è stata rilevata sulla dentatura di 21 individui⁹⁸, alcuni dei quali presentavano alcuni denti con più di una singola linea di ipoplasia sullo smalto: questo porta il numero di episodi di ipoplasia rilevati a 36. Nel seguente grafico si sono suddivisi gli episodi a seconda dell'età ad essi attribuibile secondo la classificazione operata da Roberts e Manchester⁹⁹.

97 Canci, Minozzi 2005.

98 Tombe 5, 7, 8, 9, 10, 13, 17 individui A e B, 21, 22, 23, 25, 33, 37, 40, 42, 45, 53, 60, 77, 91.

99 Roberts, Manchester 2005.

Insorgenza degli episodi di ipoplasia per classe di età



9.4 Tracce di anemie

Le anemie da carenza di ferro si possono manifestare sulle ossa, specialmente sul cranio, dove si possono riscontrare sotto forma di *cribra orbitalia* o di iperostosi porotica. Queste alterazioni sono riconoscibili come delle porosità concentrate sulle orbite (i *cribra orbitalia*) o sulla volta cranica (iperostosi porotica, o *cribra cranii*), come rappresentato nella figura 2.8.

Nel campione analizzato l'iperostosi porotica è stata rilevata su due individui¹⁰⁰, mentre i *cribra orbitalia* sono stati rilevati, in forma lieve, sulle orbite di 6 individui¹⁰¹, mentre in forma moderata solo sulle orbite dell'individuo di Tomba 23.

9.5 Periostite

La periostite è un'inflammazione che interessa la membrana che riveste le ossa, chiamata periostio. La periostite può essere causata da un trauma contundente, con conseguente formazione di ematomi, o da un'infezione. Questa patologia lascia dei segni sulle ossa (in particolare sugli arti inferiori), sotto forma di fitti solchi verticali sulla superficie ossea.

¹⁰⁰ Tombe 5, 42.

¹⁰¹ Tombe 13, 17 individuo B, 22, 25, 40, 53.

Nel campione analizzato, la periostite è stata rilevata, solo in forma lieve, sulle ossa lunghe di 8 individui¹⁰².

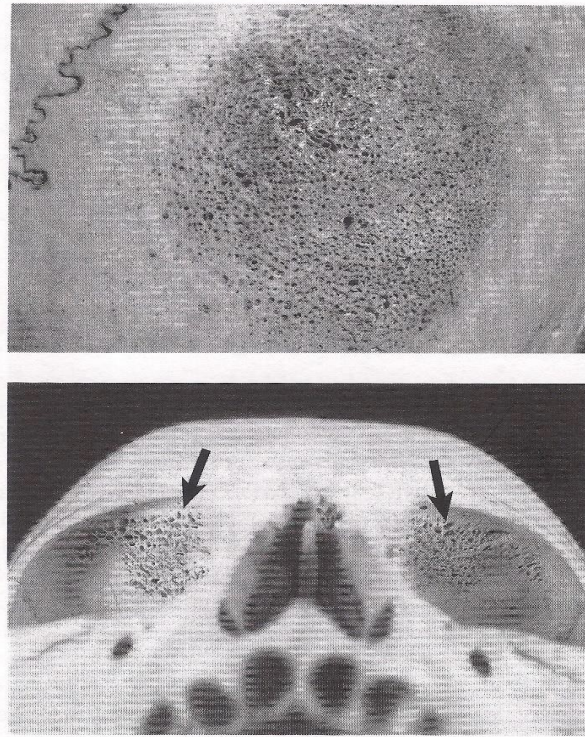


Fig. 2.8¹⁰³ - Esempio di iperostosi porotica (in alto) e cribra orbitalia (in basso).

9.6 Displasie scheletriche ereditarie

Le displasie scheletriche ereditarie sono delle patologie ereditarie che comportano uno sviluppo anomalo delle ossa interessate. Nel campione di individui analizzato, si sono riscontrati due casi di displasie scheletriche: il primo riguarda l'individuo di sesso femminile di Tomba 51, che presenta una displasia all'anca destra, caratterizzata da una malformazione della cavità acetabolare; il secondo riguarda l'individuo B, di sesso femminile, di Tomba 17, che presenta una perforazione al corpo dello sterno¹⁰⁴.

9.7 Altre patologie

L'individuo di sesso femminile di Tomba 42 presenta una patologia che esula dalle categorie sopra descritte: si tratta di un rigonfiamento dei turbinati nasali denominato *concha bullosa*.

102 Tombe 22, 23, 25, 31, 42, 43, 45, 57 individuo B.

103 Roberts, Manchester 2005, p.231.

104 Per le foto delle displasie citate, si rimanda all'appendice, da p. 483.

Questa potrebbe essere una semplice variante anatomica (anche considerando il fatto che se ne osserva un solo caso), però normalmente se ne riscontra una prevalenza in soggetti che praticano immersioni in acqua fredda¹⁰⁵: la reazione infiammatoria connessa a uno stato di ipotermia cronica, conseguente al contatto delle mucose nasali con l'acqua fredda, può innescare una reattività ossea che porta all'iperpneumatizzazione dei turbinati, con alta probabilità di sviluppo di sinusite¹⁰⁶.



Fig. 2.9¹⁰⁷ – Esempio di concha bullosa.

105 Canci, Minozzi 2005.

106 Canci, Minozzi 2005; Blaugrund 1989.

107 Canci, Minozzi 2005.

10. Usure strumentali

Una categoria a parte è occupata dalle usure strumentali, ovvero delle tracce sulle ossa o sui denti riconducibili a un uso particolare e prolungato. Nel campione analizzato sono state rilevate delle usure strumentali solo su alcuni individui, e solo sui denti. La dentatura, infatti, rappresenta un ottimo strumento in sostituzione di pinze, morse, coltelli¹⁰⁸.

Nello specifico, le usure strumentali che sono stati rilevate sono:

- Tomba 9, sul lato oclusale del primo incisivo superiore sinistro, sul lato oclusale del canino superiore destro e sul lato buccale del canino superiore sinistro;
- Tomba 23, sul lato oclusale dei primi incisivi superiori e inferiori;
- Tomba 45, sul lato oclusale secondo molare superiore sinistro;
- Tomba 91, sul lato buccale del secondo premolare destro.

Per le immagini relative alle usure strumentali descritte, si rimanda all'appendice¹⁰⁹.

108 Canci, Minozzi 2005.

109 Da p. 483.

III

CONFRONTI E CONCLUSIONI

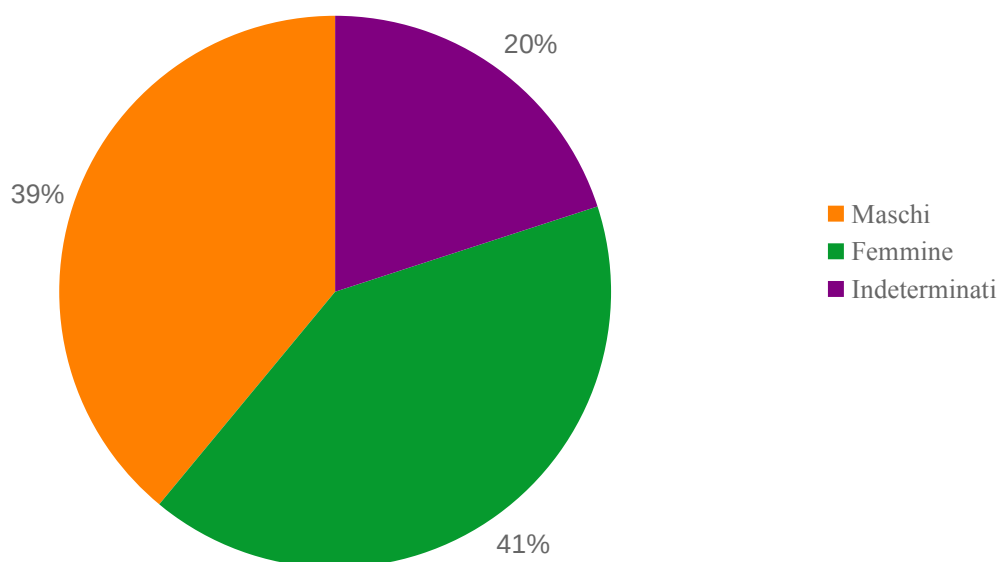
Lo studio effettuato in questa sede va a unirsi a quello già effettuato da Francesco Ostuni Minuzzi¹¹⁰, che a sua volta ha analizzato 45 individui del sito di San Francesco, portando quindi a 90 il numero di individui studiati, su un totale di 131. I dati raccolti da Ostuni Minuzzi sono stati quindi integrati a quelli rilevati in questo studio, e i risultati di questa integrazione sono illustrati nei grafici e nelle tabelle seguenti.

In seguito, verranno confrontati i dati con quelli provenienti da altri scavi coevi nella medesima area geografica.

1. Integrazione dei dati disponibili

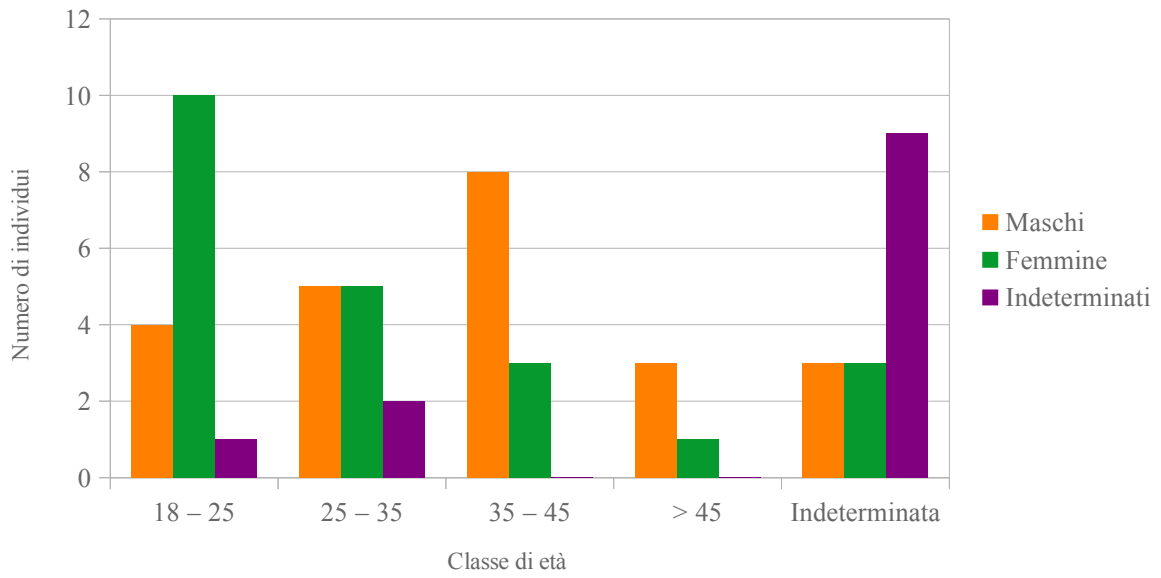
1.1 Sesso ed età

Composizione del campione di individui adulti

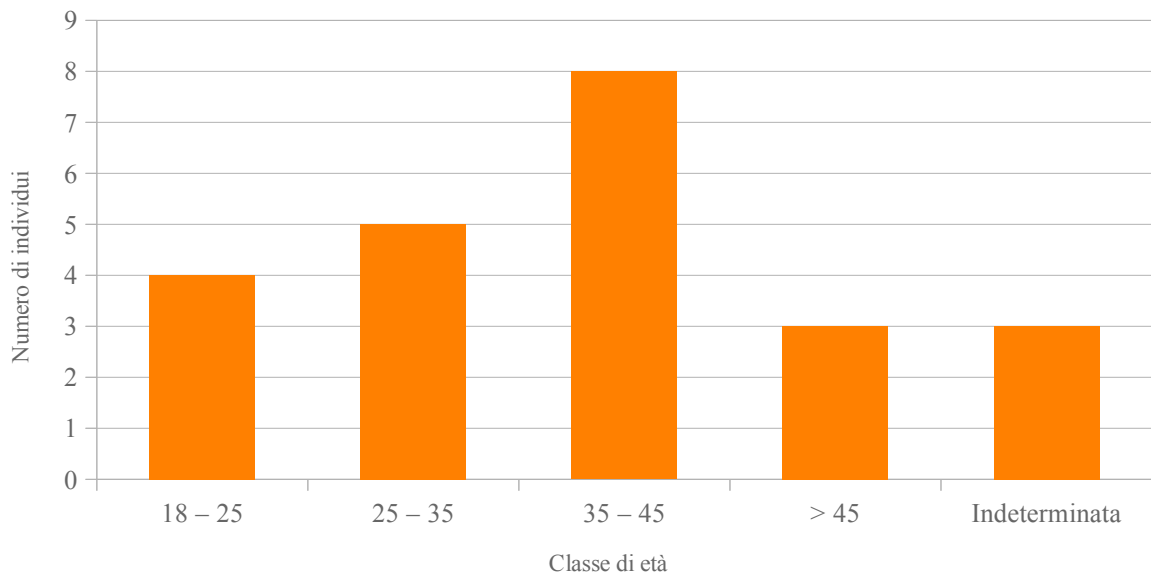


110 Ostuni Minuzzi 2019.

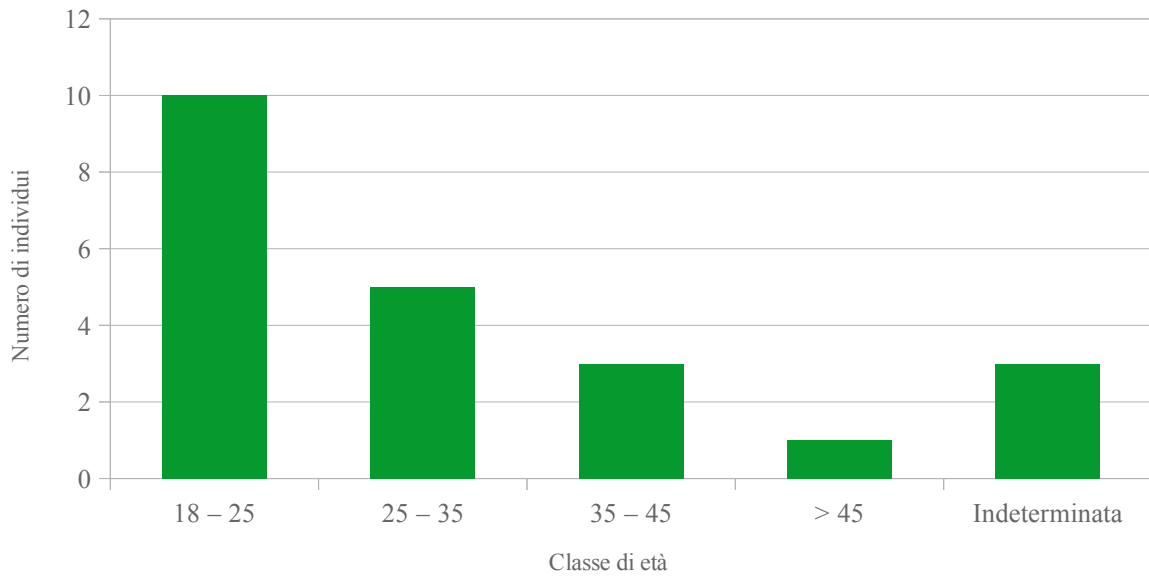
Distribuzione degli individui adulti per classe di età



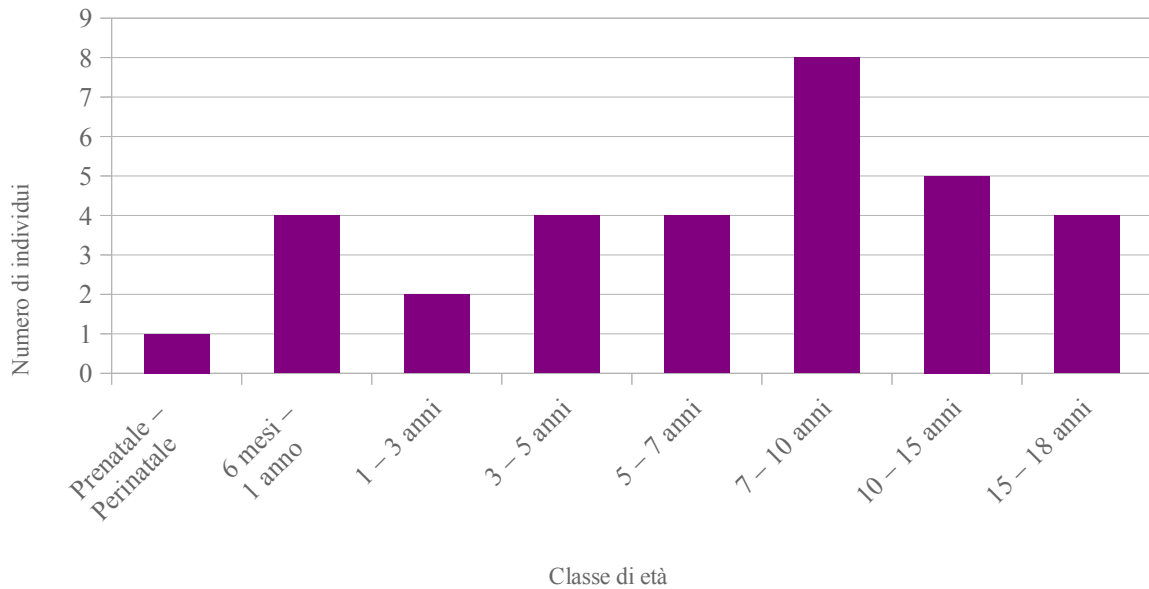
Distribuzione dei maschi adulti per classe di età



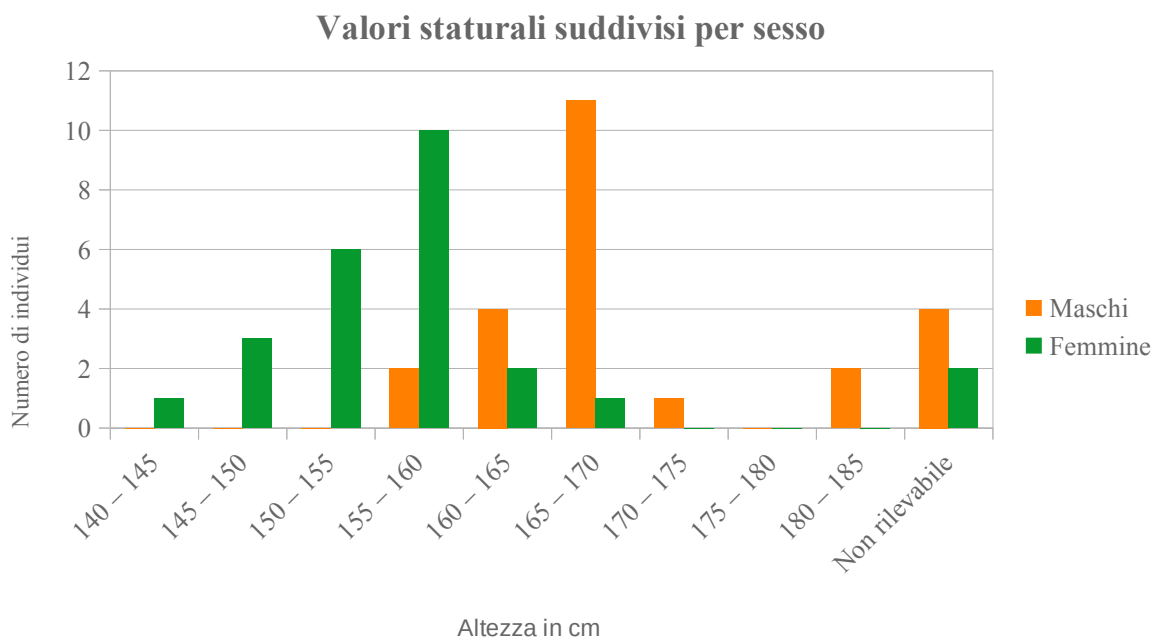
Distribuzione delle femmine adulte per classe di età



Distribuzione degli individui subadulti per classe di età



1.2 Statura



1.3 Caratteri metrici e morfometrici cranici

<i>Indice cranico orizzontale</i>					
Maschi			Femmine		
	n.	%		n.	%
Ultradolicocranio	0	0	Ultradolicocranio	0	0
Iperdolicocranio	0	0	Iperdolicocranio	0	0
Dolicocranio	1	16,7	Dolicocranio	0	0
Mesocranio	1	16,7	Mesocranio	2	28,6
Brachicranio	4	66,6	Brachicranio	3	42,8
Iperbrachicranio	0	0	Iperbrachicranio	1	14,3
Ultrabrachicranio	0	0	Ultrabrachicranio	1	14,3
Tot.	6	100	Tot.	7	100

<i>Indice vertico-longitudinale</i>					
Maschi			Femmine		
	n.	%		n.	%
Camecranio	0	0	Camecranio	0	0
Ortocranio	2	50	Ortocranio	2	66,7
Ipsicranio	2	50	Ipsicranio	1	33,3
Tot.	4	100	Tot.	3	100

<i>Indice vertico-trasversale</i>					
Maschi			Femmine		
	n.	%		n.	%
Tapeinocranio	1	20	Tapeinocranio	2	50
Metriocranio	4	80	Metriocranio	2	50
Acrocranio	0	0	Acrocranio	0	0
Tot.	5	100	Tot.	4	100

<i>Indice auricolo-verticale</i>					
Maschi			Femmine		
	n.	%		n.	%
Camocranio	0	0	Camocranio	0	0
Ortocranio	2	40	Ortocranio	2	40
Ipsicranio	3	60	Ipsicranio	3	60
Tot.	5	100	Tot.	5	100

<i>Indice auricolo-verticale trasversale</i>					
Maschi			Femmine		
	n.	%		n.	%
Tapeinocranio	2	33,3	Tapeinocranio	4	66,6
Metriocranio	3	50	Metriocranio	1	16,7
Acrocranio	1	16,7	Acrocranio	1	16,7
Tot.	6	100	Tot.	6	100

<i>Indice frontale trasverso</i>					
Maschi			Femmine		
	n.	%		n.	%
Fronte molto divergente	1	16,7	Fronte molto divergente	0	0
Fronte mediamente divergente	5	83,3	Fronte mediamente divergente	9	100
Fronte poco divergente	0	0	Fronte poco divergente	0	0
Tot.	6	100	Tot.	9	100

<i>Indice fronto-parietale</i>					
Maschi			Femmine		
	n.	%		n.	%
Stenometopico	1	14,3	Stenometopico	1	11,1
Metriometopico	4	57,1	Metriometopico	4	44,4
Eurimetopico	2	28,6	Eurimetopico	4	44,4
Tot.	7	100	Tot.	9	100

<i>Indice gnatico</i>					
Maschi			Femmine		
	n.	%		n.	%
Ortognato	2	100	Ortognato	3	100
Mesognato	0	0	Mesognato	0	0
Prognato	0	0	Prognato	0	0
Tot.	2	100	Tot.	3	100

<i>Indice di altezza facciale superiore</i>					
Maschi			Femmine		
	n.	%		n.	%
Ipereurieno	0	0	Ipereurieno	1	25
Eurieno	0	0	Eurieno	1	25
Meseno	1	100	Meseno	0	0
Lepteno	0	0	Lepteno	1	25
Iperlepteno	0	0	Iperlepteno	1	25
Tot.	1	100	Tot.	4	100

<i>Indice orbitario destro</i>					
Maschi			Femmine		
	n.	%		n.	%
Cameconco	0	0	Cameconco	1	16,7
Mesoconco	1	33,3	Mesoconco	1	16,7
Ipsiconco	3	66,7	Ipsiconco	4	66,6
Tot.	4	100	Tot.	6	100

<i>Indice orbitario sinistro</i>					
Maschi			Femmine		
	n.	%		n.	%
Cameconco	0	0	Cameconco	0	0
Mesoconco	2	40	Mesoconco	3	60
Ipsiconco	3	60	Ipsiconco	2	40
Tot.	5	100	Tot.	5	100

<i>Indice nasale</i>					
Maschi			Femmine		
	n.	%		n.	%
Leptorrino	2	40	Leptorrino	2	40
Mesorrino	1	20	Mesorrino	0	0
Camerrino	2	40	Camerrino	2	40
Ipercamerrino	0	0	Ipercamerrino	1	20
Tot.	5	100	Tot.	5	100

<i>Indice maxillo-alveolare</i>					
Maschi			Femmine		
	n.	%		n.	%
Dolicouranico	4	36,4	Dolicouranico	2	22,2
Mesouranico	0	0	Mesouranico	2	22,2
Brachiuranico	7	63,6	Brachiuranico	5	55,6
Tot.	11	100	Tot.	9	100

<i>Indice palatale</i>					
Maschi			Femmine		
	n.	%		n.	%
Leptostafilino	3	33,3	Leptostafilino	4	40
Mesostafilino	2	22,2	Mesostafilino	4	40
Brachistafilino	4	44,4	Brachistafilino	2	20
Tot.	9	100	Tot.	10	100

1.4 Caratteri metrici e morfometrici dello scheletro postcraniale

<i>Indice di robustezza della clavicola</i>									
Maschi					Femmine				
	n. dx	%	n. sx	%		n. dx	%	n. sx	%
Gracile	1	10	1	7,7	Gracile	1	9,1	1	7,7
Medio	3	30	2	15,3	Medio	0	0	5	38,5
Robusto	6	60	10	77	Robusto	10	90,9	7	53,8
Tot.	10	100	13	100	Tot.	11	100	13	100

<i>Indice di robustezza dell'omero</i>									
Maschi					Femmine				
	n. dx	%	n. sx	%		n. dx	%	n. sx	%
Gracile	3	37,5	6	42,8	Gracile	3	27,3	3	27,2
Medio	3	37,5	4	28,6	Medio	3	27,3	4	36,4
Robusto	2	25	4	28,6	Robusto	5	45,4	4	36,4
Tot.	8	100	14	100	Tot.	11	100	11	100

<i>Indice diafisario dell'omero</i>									
Maschi					Femmine				
	n. dx	%	n. sx	%		n. dx	%	n. sx	%
Platibrachia	6	42,8	4	25	Platibrachia	6	42,8	6	37,5
Euribrachia	8	57,2	12	75	Euribrachia	8	57,2	10	62,5
Tot.	14	100	16	100	Tot.	14	100	16	100

<i>Indice di robustezza del radio</i>									
Maschi					Femmine				
	n. dx	%	n. sx	%		n. dx	%	n. sx	%
Gracile	6	46,1	8	53,3	Gracile	9	60	7	53,8
Medio	3	23,1	2	13,3	Medio	4	26,7	2	15,4
Robusto	4	30,8	5	33,3	Robusto	2	13,3	4	30,8
Tot.	13	100	15	100	Tot.	15	100	13	100

<i>Indice di robustezza dell'ulna</i>									
Maschi					Femmine				
	n. dx	%	n. sx	%		n. dx	%	n. sx	%
Gracile	0	0	0	0	Gracile	0	0	0	0
Medio	0	0	0	0	Medio	0	0	0	0
Robusto	13	100	14	100	Robusto	10	100	13	100
Tot.	13	100	14	100	Tot.	10	100	13	100

<i>Indice olenico dell'ulna</i>									
Maschi					Femmine				
	n. dx	%	n. sx	%		n. dx	%	n. sx	%
Platolenia	2	12,5	1	5,6	Platolenia	5	29,4	5	29,4
Eurolenia	10	62,5	12	66,7	Eurolenia	10	58,8	10	58,8
Ipereurolenia	4	25	5	27,7	Ipereurolenia	2	11,8	2	11,8
Tot.	16	100	18	100	Tot.	17	100	17	100

<i>Indice di robustezza del femore</i>									
Maschi					Femmine				
	n. dx	%	n. sx	%		n. dx	%	n. sx	%
Gracile	4	26,7	3	20	Gracile	2	18,2	6	40
Medio	5	33,3	5	33,3	Medio	5	45,4	5	33,3
Robusto	6	40	7	46,7	Robusto	4	36,4	4	26,7
Tot.	15	100	15	100	Tot.	11	100	15	100

<i>Indice pilastrico del femore</i>									
Maschi					Femmine				
	n. dx	%	n. sx	%		n. dx	%	n. sx	%
Pilastro nullo	6	33,3	5	26,3	Pilastro nullo	2	14,3	4	25
Pilastro debole	8	44,4	11	57,9	Pilastro debole	5	35,7	8	50
Pilastro medio	3	16,7	3	15,8	Pilastro medio	4	28,6	1	6,2
Pilastro forte	1	5,6	0	0	Pilastro forte	3	21,4	3	18,8
Tot.	18	100	19	100	Tot.	14	100	16	100

<i>Indice merico del femore</i>									
Maschi					Femmine				
	n. dx	%	n. sx	%		n. dx	%	n. sx	%
Iperplatimeria	0	0	1	5,6	Iperplatimeria	3	25	1	9,1
Platimeria	10	62,5	6	33,3	Platimeria	5	41,7	8	72,7
Eurimeria	4	25	9	50	Eurimeria	4	33,3	2	18,2
Ipereurimeria	2	12,5	2	11,1	Ipereurimeria	0	0	0	0
Tot.	16	100	18	100	Tot.	12	100	11	100

<i>Indice di robustezza della tibia</i>									
Maschi					Femmine				
	n. dx	%	n. sx	%		n. dx	%	n. sx	%
Gracile	1	7,7	1	6,6	Gracile	4	36,4	3	30
Medio	4	30,8	7	46,7	Medio	4	36,4	4	40
Robusto	8	61,5	7	46,7	Robusto	3	27,2	3	30
Tot.	13	100	15	100	Tot.	11	100	10	100

<i>Indice cnemico della tibia</i>									
Maschi					Femmine				
	n. dx	%	n. sx	%		n. dx	%	n. sx	%
Iperplaticnemia	0	0	0	0	Iperplaticnemia	0	0	0	0
Platicnemia	0	0	2	10,5	Platicnemia	0	0	0	0
Mesocnemia	8	50	7	36,9	Mesocnemia	2	14,3	1	7,1
Euricnemia	8	50	10	52,6	Euricnemia	12	85,7	13	92,9
Tot.	16	100	19	100	Tot.	14	100	14	100

<i>Indice clavicolo-omeroale</i>									
Maschi					Femmine				
	n. dx	%	n. sx	%		n. dx	%	n. sx	%
Clavicola breve	3	60	9	81,8	Clavicola breve	7	70	8	61,5
Clavicola media	1	20	1	9,1	Clavicola media	1	10	3	23,1
Clavicola lunga	1	20	1	9,1	Clavicola lunga	2	20	2	15,4
Tot.	5	100	11	100	Tot.	10	100	13	100

<i>Indice brachiale</i>									
Maschi					Femmine				
	n. dx	%	n. sx	%		n. dx	%	n. sx	%
Brachicherchia	3	37,5	3	25	Brachicherchia	8	66,7	7	70
Mesaticherchia	5	62,5	9	75	Mesaticherchia	4	33,3	3	30
Dolicocherchia	0	0	0	0	Dolicocherchia	0	0	0	0
Tot.	8	100	12	100	Tot.	12	100	10	100

<i>Indice crurale</i>									
Maschi					Femmine				
	n. dx	%	n. sx	%		n. dx	%	n. sx	%
Brachicnemia	6	50	7	53,8	Brachicnemia	3	33,3	4	44,4
Mesocnemia	0	0	0	0	Mesocnemia	0	0	0	0
Dolicocnemia	6	50	6	46,2	Dolicocnemia	6	66,7	5	55,6
Tot.	12	100	13	100	Tot.	9	100	9	100

1.5 Caratteri discontinui cranici

<i>Ossicini coronali</i>									
Maschi					Femmine				
	d.	%	s.	%		d.	%	s.	%
Presente	0	0	0	0	Presente	3	23,1	1	7,7
Assente	9	100	9	100	Assente	10	76,9	12	92,3
Tot.	9	100	9	100	Tot.	13	100	13	100

<i>Ossio bregmatico</i>					
Maschi			Femmine		
	n.	%		n.	%
Presente	0	0	Presente	0	0
Assente	10	100	Assente	13	100
Tot.	10	100	Tot.	13	100

<i>Ossicini sagittali</i>					
Maschi			Femmine		
	n.	%		n.	%
Presente	2	20	Presente	3	23,1
Assente	8	80	Assente	10	76,9
Tot.	10	100	Tot.	13	100

<i>Fori obelici</i>									
Maschi					Femmine				
	d.	%	s.	%		d.	%	s.	%
Presente	7	70	7	63,6	Presente	8	57,1	5	35,7
Assente	3	30	4	36,4	Assente	6	42,9	9	64,3
Tot.	10	100	11	100	Tot.	14	100	14	100

<i>Ossio epipterico</i>									
Maschi					Femmine				
	d.	%	s.	%		d.	%	s.	%
Presente	0	0	0	0	Presente	0	0	0	0
Assente	8	100	9	100	Assente	12	100	12	100
Tot.	8	100	9	100	Tot.	12	100	12	100

<i>Osso a intacco parietale</i>									
Maschi					Femmine				
	d.	%	s.	%		d.	%	s.	%
Presente	0	0	0	0	Presente	0	0	0	0
Assente	9	100	10	100	Assente	9	100	11	100
Tot.	9	100	10	100	Tot.	9	100	11	100

<i>Osso al lambda</i>					
Maschi			Femmine		
	n.	%		n.	%
Presente	1	10	Presente	1	8,3
Assente	9	90	Assente	11	91,7
Tot.	10	100	Tot.	12	100

<i>Ossa wormiane lungo la sutura lambdoidea</i>									
Maschi					Femmine				
	d.	%	s.	%		d.	%	s.	%
Presente	5	50	5	55,6	Presente	7	53,8	4	36,4
Assente	5	50	4	44,4	Assente	6	46,2	7	63,6
Tot.	10	100	9	100	Tot.	13	100	11	100

<i>Osso epactale</i>					
Maschi			Femmine		
	n.	%		n.	%
Presente	1	10	Presente	0	0
Assente	9	90	Assente	12	100
Tot.	10	100	Tot.	12	100

<i>Osso asterico</i>									
Maschi					Femmine				
	d.	%	s.	%		d.	%	s.	%
Presente	0	0	0	0	Presente	0	0	0	0
Assente	10	100	10	100	Assente	9	100	10	100
Tot.	10	100	10	100	Tot.	9	100	10	100

<i>Linea nucale suprema</i>					
Maschi			Femmine		
	n.	%		n.	%
Presente	5	100	Presente	6	60
Assente	0	0	Assente	4	40
Tot.	5	100	Tot.	10	100

<i>Apertura del canale condiloideo posteriore</i>									
Maschi					Femmine				
	d.	%	s.	%		d.	%	s.	%
Presente	1	33,3	1	33,3	Presente	0	0	0	0
Assente	3	66,7	3	66,7	Assente	5	100	5	100
Tot.	4	100	4	100	Tot.	5	100	5	100

<i>Sdoppiamento della faccetta condiloidea</i>									
Maschi					Femmine				
	d.	%	s.	%		d.	%	s.	%
Presente	0	0	0	0	Presente	0	0	0	0
Assente	7	100	7	100	Assente	6	100	6	100
Tot.	7	100	7	100	Tot.	6	100	6	100

<i>Tubercolo precondiloideo</i>									
Maschi					Femmine				
	d.	%	s.	%		d.	%	s.	%
Presente	0	0	0	0	Presente	0	0	0	0
Assente	5	100	5	100	Assente	4	100	4	100
Tot.	5	100	5	100	Tot.	4	100	4	100

<i>Tubercolo faringeo</i>					
Maschi			Femmine		
	n.	%		n.	%
Presente	5	83,3	Presente	0	0
Assente	1	16,7	Assente	3	100
Tot.	6	100	Tot.	3	100

<i>Sutura metopica</i>					
Maschi			Femmine		
	n.	%		n.	%
Presente	1	8,3	Presente	4	26,7
Assente	11	91,7	Assente	11	73,3
Tot.	12	100	Tot.	15	100

<i>Forame sopraorbitario completo</i>									
Maschi					Femmine				
	d.	%	s.	%		d.	%	s.	%
Presente	5	55,6	3	33,3	Presente	6	42,9	5	38,5
Assente	4	44,4	6	66,7	Assente	8	57,1	8	61,5
Tot.	9	100	9	100	Tot.	14	100	13	100

<i>Forame frontale</i>									
Maschi					Femmine				
	d.	%	s.	%		d.	%	s.	%
Presente	0	0	1	10	Presente	0	0	0	0
Assente	11	100	9	90	Assente	14	100	14	100
Tot.	11	100	10	100	Tot.	14	100	14	100

<i>Forame infraorbitario accessorio</i>									
Maschi					Femmine				
	d.	%	s.	%		d.	%	s.	%
Presente	0	0	1	12,5	Presente	0	0	1	10
Assente	9	100	7	87,5	Assente	9	100	9	90
Tot.	9	100	8	100	Tot.	9	100	10	100

<i>Forame zigomatico</i>									
Maschi					Femmine				
	d.	%	s.	%		d.	%	s.	%
Presente	4	57,1	3	42,9	Presente	2	20	0	0
Assente	3	42,9	4	57,1	Assente	8	80	9	100
Tot.	7	100	7	100	Tot.	10	100	9	100

<i>Cli-nocefalia</i>					
Maschi			Femmine		
	n.	%		n.	%
Presente	0	0	Presente	5	41,7
Assente	12	100	Assente	7	58,3
Tot.	12	100	Tot.	12	100

<i>Batrocefalia</i>					
Maschi			Femmine		
	n.	%		n.	%
Presente	5	45,5	Presente	4	33,3
Assente	6	54,5	Assente	8	66,7
Tot.	11	100	Tot.	12	100

<i>Toro palatino</i>					
Maschi			Femmine		
	n.	%		n.	%
Presente	0	0	Presente	0	0
Assente	13	100	Assente	13	100
Tot.	13	100	Tot.	13	100

<i>Toro mandibolare</i>					
Maschi			Femmine		
	n.	%		n.	%
Presente	0	0	Presente	0	0
Assente	12	100	Assente	17	100
Tot.	12	100	Tot.	17	100

<i>Toro mascellare</i>					
Maschi			Femmine		
	n.	%		n.	%
Presente	0	0	Presente	0	0
Assente	13	100	Assente	16	100
Tot.	13	100	Tot.	16	100

1.6 Caratteri discontinui dello scheletro postcraniale

<i>Solco circonflesso della scapola</i>														
Maschi					Femmine					Non determinabili				
	d.	%	s.	%		d.	%	s.	%		d.	%	s.	%
Presente	1	8,3	2	16,7	Presente	0	0	0	0	Presente	0	0	0	0
Assente	11	92,7	10	83,3	Assente	10	100	10	100	Assente	0	0	0	0
Tot.	12	100	12	100	Tot.	10	100	10	100	Tot.	0	0	0	0

<i>Apertura del setto della fossa olecranica dell'omero</i>														
Maschi					Femmine					Non determinabili				
	d.	%	s.	%		d.	%	s.	%		d.	%	s.	%
Presente	0	0	0	0	Presente	7	50	5	27,8	Presente	0	0	0	0
Assente	16	100	16	100	Assente	7	50	13	72,2	Assente	0	0	0	0
Tot.	16	100	16	100	Tot.	14	100	18	100	Tot.	0	0	0	0

<i>Processo sopracondiloideo dell'omero</i>														
Maschi					Femmine					Non determinabili				
	d.	%	s.	%		d.	%	s.	%		d.	%	s.	%
Presente	0	0	0	0	Presente	0	0	0	0	Presente	0	0	0	0
Assente	15	100	16	100	Assente	15	100	18	100	Assente	0	0	0	0
Tot.	15	100	16	100	Tot.	15	100	18	100	Tot.	0	0	0	0

<i>Solco sul fondo dell'acetabolo del coxale</i>														
Maschi					Femmine					Non determinabili				
	d.	%	s.	%		d.	%	s.	%		d.	%	s.	%
Presente	0	0	0	0	Presente	0	0	0	0	Presente	0	0	0	0
Assente	13	100	13	100	Assente	16	100	16	100	Assente	0	0	0	0
Tot.	13	100	13	100	Tot.	16	100	16	100	Tot.	0	0	0	0

<i>Terzo trocantere del femore</i>														
Maschi					Femmine					Non determinabili				
	d.	%	s.	%		d.	%	s.	%		d.	%	s.	%
Presente	3	17,7	3	16,7	Presente	3	23,1	2	11,8	Presente	1	100	0	0
Assente	14	82,3	15	83,3	Assente	10	76,9	15	88,2	Assente	0	0	1	100
Tot.	17	100	18	100	Tot.	13	100	17	100	Tot.	1	100	1	100

<i>Ossso trigono dell'astragalo</i>														
Maschi					Femmine					Non determinabili				
	d.	%	s.	%		d.	%	s.	%		d.	%	s.	%
Presente	1	5,9	2	11,8	Presente	0	0	0	0	Presente	0	0	0	0
Assente	16	94,1	15	88,2	Assente	14	100	14	100	Assente	7	100	8	100
Tot.	24	100	24	100	Tot.	14	100	14	100	Tot.	7	100	8	100

<i>Faccetta sul collo dell'astragalo</i>														
Maschi					Femmine					Non determinabili				
	d.	%	s.	%		d.	%	s.	%		d.	%	s.	%
Presente	2	11,8	0	0	Presente	2	13,3	2	13,3	Presente	0	0	0	0
Assente	15	88,2	16	100	Assente	13	86,7	13	86,7	Assente	7	100	8	100
Tot.	17	100	16	100	Tot.	15	100	15	100	Tot.	7	100	8	100

<i>Faccetta calcaneare sdoppiata</i>														
Maschi					Femmine					Non determinabili				
	d.	%	s.	%		d.	%	s.	%		d.	%	s.	%
Presente	1	6,3	0	0	Presente	3	21,4	4	28,6	Presente	4	57,1	4	50
Assente	15	93,7	16	100	Assente	11	78,6	10	71,4	Assente	3	42,9	4	50
Tot.	16	100	16	100	Tot.	14	100	14	100	Tot.	7	100	8	100

<i>Tubercolo peroneale del calcagno</i>														
Maschi					Femmine					Non determinabili				
	d.	%	s.	%		d.	%	s.	%		d.	%	s.	%
Presente	2	14,3	4	25	Presente	5	35,7	5	35,7	Presente	1	14,3	5	62,5
Assente	12	85,7	12	75	Assente	9	64,3	9	64,3	Assente	6	85,7	3	37,5
Tot.	14	100	16	100	Tot.	14	100	14	100	Tot.	7	100	8	100

1.7 Caratteri ergonomici

<i>Notch-like defect della clavicola</i>														
Maschi					Femmine					Indeterminati				
	d.	%	s.	%		d.	%	s.	%		d.	%	s.	%
Presente	7	53,8	5	33,3	Presente	6	42,9	8	53,3	Presente	0	0	0	0
Assente	6	46,2	10	66,7	Assente	8	57,1	7	46,7	Assente	0	0	0	0
Tot.	13	100	15	100	Tot.	14	100	15	100	Tot.	0	0	0	0

<i>Inserzione del grande pettorale sulla clavicola</i>									
Maschi					Femmine				
	d.	%	s.	%		d.	%	s.	%
Lieve	9	64,3	9	60	Lieve	14	93,3	14	93,3
Medio	5	35,7	6	40	Medio	1	6,7	1	6,7
Grave	0	0	0	0	Grave	0	0	0	0
Tot.	14	100	15	100	Tot.	15	100	15	100

<i>Doccia bicibitale dell'omero</i>									
Maschi					Femmine				
	d.	%	s.	%		d.	%	s.	%
Lieve	9	81,8	9	60	Lieve	13	92,9	15	88,2
Medio	2	18,2	6	40	Medio	1	7,1	2	11,8
Grave	0	0	0	0	Grave	0	0	0	0
Tot.	11	100	15	100	Tot.	14	100	17	100

<i>Tuberosità deltoidea dell'omero</i>									
Maschi					Femmine				
	d.	%	s.	%		d.	%	s.	%
Lieve	9	64,3	10	62,5	Lieve	13	86,7	14	87,5
Medio	5	35,7	6	37,5	Medio	2	13,3	2	12,5
Grave	0	0	0	0	Grave	0	0	0	0
Tot.	14	100	16	100	Tot.	15	100	16	100

<i>Esostosi dell'epicondilo mediale dell'omero</i>														
Maschi				Femmine				Indeterminati						
	d.	%	s.	%		d.	%	s.	%		d.	%	s.	%
Presente	2	12,5	2	11,8	Presente	1	7,1	3	16,7	Presente	0	0	0	0
Assente	14	87,5	15	88,2	Assente	13	92,9	15	83,3	Assente	0	0	0	0
Tot.	16	100	17	100	Tot.	14	100	18	100	Tot.	0	0	0	0

<i>Entesofiti sulla tuberosità bicipitale del radio</i>														
Maschi				Femmine				Indeterminati						
	d.	%	s.	%		d.	%	s.	%		d.	%	s.	%
Presente	10	62,5	11	61,1	Presente	6	35,3	5	31,3	Presente	1	100	1	100
Assente	6	37,5	7	38,9	Assente	11	64,7	11	68,7	Assente	0	0	0	0
Tot.	16	100	18	100	Tot.	17	100	16	100	Tot.	1	100	1	100

<i>Entesofiti sul margine superiore dell'olecrano dell'ulna</i>														
Maschi				Femmine				Indeterminati						
	d.	%	s.	%		d.	%	s.	%		d.	%	s.	%
Presente	9	56,3	11	61,1	Presente	2	11,8	4	22,2	Presente	1	100	1	100
Assente	7	43,7	7	38,9	Assente	15	88,2	14	77,8	Assente	0	0	0	0
Tot.	16	100	18	100	Tot.	17	100	18	100	Tot.	1	100	1	100

<i>Entesofiti sul margine inferiore dell'incisura radiale dell'ulna</i>														
Maschi					Femmine					Indeterminati				
	d.	%	s.	%		d.	%	s.	%		d.	%	s.	%
Presente	2	12,5	1	6,3	Presente	4	22,2	4	25	Presente	0	0	0	0
Assente	14	87,5	15	93,7	Assente	14	77,8	12	75	Assente	1	100	1	100
Tot.	16	100	16	100	Tot.	18	100	16	100	Tot.	1	100	1	100

<i>Faccette articolari accessorie del sacro</i>														
Maschi					Femmine					Indeterminati				
	d.	%	s.	%		d.	%	s.	%		d.	%	s.	%
Presente	3	23,1	3	21,4	Presente	4	36,4	3	27,3	Presente	0	0	0	0
Assente	10	76,9	11	78,6	Assente	7	63,6	8	72,7	Assente	0	0	0	0
Tot.	13	100	14	100	Tot.	11	100	11	100	Tot.	0	0	0	0

<i>Faccette articolari accessorie del bacino</i>														
Maschi					Femmine					Indeterminati				
	d.	%	s.	%		d.	%	s.	%		d.	%	s.	%
Presente	3	25	3	25	Presente	4	28,6	3	25	Presente	0	0	0	0
Assente	9	75	9	75	Assente	10	71,4	9	75	Assente	0	0	0	0
Tot.	12	100	12	100	Tot.	14	100	12	100	Tot.	0	0	0	0

<i>Inserzione del grande gluteo sul femore</i>														
Maschi					Femmine									
	d.	%	s.	%		d.	%	s.	%					
Lieve	9	47,4	9	47,4	Lieve	8	53,3	10	58,8					
Medio	6	31,6	7	36,8	Medio	7	46,7	7	41,2					
Grave	4	21	3	15,8	Grave	0	0	0	0					
Tot.	19	100	19	100	Tot.	15	100	17	100					

<i>Faccetta di Poirier / Placca sul collo del femore</i>														
Maschi					Femmine					Indeterminati				
	d.	%	s.	%		d.	%	s.	%		d.	%	s.	%
Presente	5	33,3	4	25	Presente	2	18,2	4	26,7	Presente	0	0	0	0
Assente	10	66,7	12	75	Assente	9	81,8	11	73,3	Assente	0	0	1	100
Tot.	15	100	16	100	Tot.	11	100	15	100	Tot.	0	0	1	100

<i>Fossa di Allen sul femore</i>														
Maschi					Femmine					Indeterminati				
	d.	%	s.	%		d.	%	s.	%		d.	%	s.	%
Presente	0	0	1	6,3	Presente	1	8,3	1	6,7	Presente	0	0	0	0
Assente	15	100	15	93,7	Assente	11	91,7	14	93,3	Assente	0	0	1	100
Tot.	15	100	16	100	Tot.	12	100	15	100	Tot.	0	0	1	100

<i>Esostosi nella fossa trocanterica del femore</i>														
Maschi					Femmine					Indeterminati				
	d.	%	s.	%		d.	%	s.	%		d.	%	s.	%
Presente	5	33,3	7	41,2	Presente	4	33,3	4	25	Presente	0	0	0	0
Assente	10	66,7	10	58,8	Assente	8	66,7	12	75	Assente	0	0	2	100
Tot.	15	100	17	100	Tot.	12	100	16	100	Tot.	0	0	2	100

<i>Intacco del vasto sulla patella</i>														
Maschi					Femmine					Indeterminati				
	d.	%	s.	%		d.	%	s.	%		d.	%	s.	%
Presente	7	46,7	8	47,1	Presente	9	69,2	9	64,3	Presente	2	100	2	100
Assente	8	53,3	9	52,9	Assente	4	30,8	5	35,7	Assente	0	0	0	0
Tot.	15	100	17	100	Tot.	13	100	14	100	Tot.	2	100	2	100

<i>Linea poplitea della tibia</i>									
Maschi					Femmine				
	d.	%	s.	%		d.	%	s.	%
Lieve	11	64,7	10	52,6	Lieve	14	87,5	13	86,6
Medio	6	35,3	8	42,1	Medio	1	6,25	1	6,7
Grave	0	0	1	5,3	Grave	1	6,25	1	6,7
Tot.	17	100	19	100	Tot.	16	100	15	100

<i>Squatting facets sulla tibia</i>														
Maschi					Femmine					Indeterminati				
	d.	%	s.	%		d.	%	s.	%		d.	%	s.	%
Presente	2	11,1	1	5,4	Presente	4	30,8	3	23,1	Presente	2	25	2	22,2
Assente	16	88,9	18	94,7	Assente	9	69,2	10	76,9	Assente	6	75	7	77,8
Tot.	18	100	19	100	Tot.	13	100	13	100	Tot.	8	100	9	100

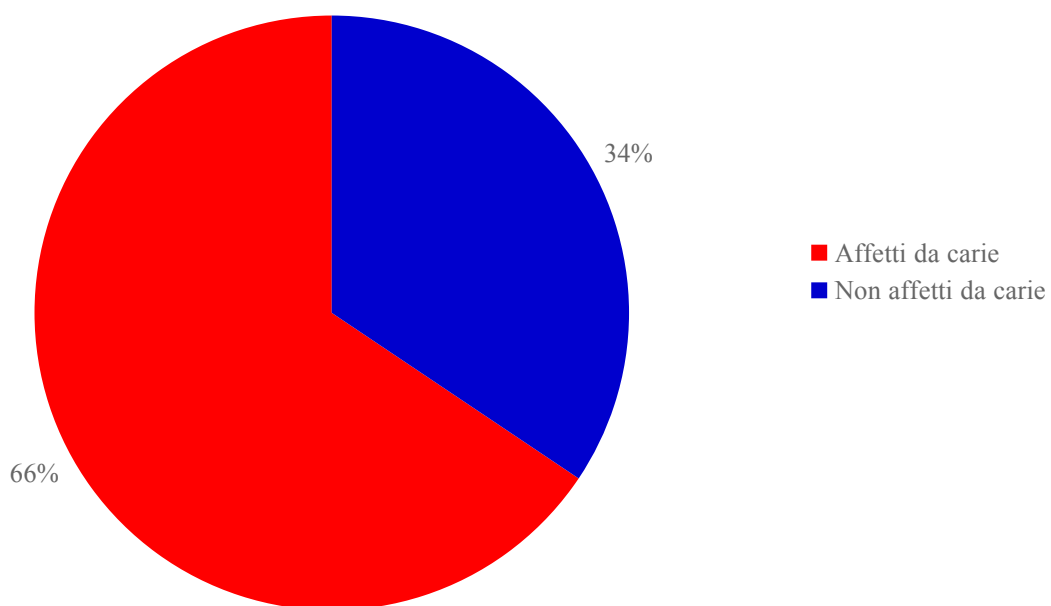
<i>Scanalature della diafisi della fibula</i>									
Maschi					Femmine				
	d.	%	s.	%		d.	%	s.	%
Lieve	12	70,6	13	68,4	Lieve	11	73,3	11	78,6
Medio	5	29,4	6	31,6	Medio	3	20	2	14,3
Grave	0	0	0	0	Grave	1	6,7	1	7,1
Tot.	17	100	19	100	Tot.	15	100	14	100

<i>Esostosi dell'inserzione del tendine d'Achille sul calcagno</i>														
Maschi					Femmine					Indeterminati				
	d.	%	s.	%		d.	%	s.	%		d.	%	s.	%
Presente	15	83,3	16	100	Presente	10	76,9	10	66,7	Presente	7	87,5	7	77,8
Assente	3	16,7	0	0	Assente	3	23,1	5	33,3	Assente	1	12,5	2	22,2
Tot.	18	100	16	100	Tot.	13	100	15	100	Tot.	8	100	9	100

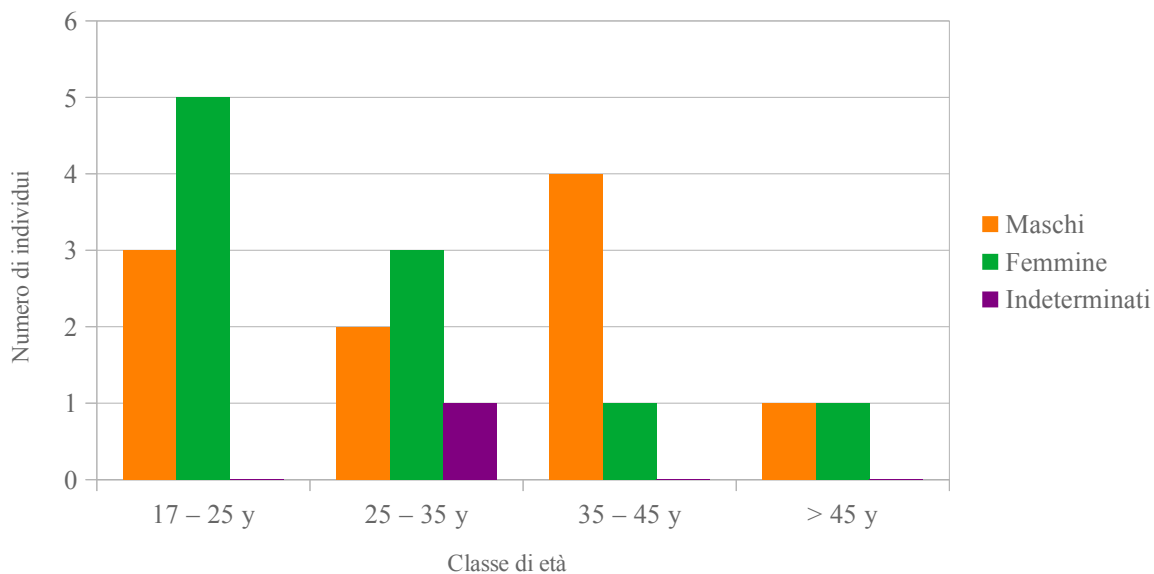
<i>Sperone calcaneare</i>														
Maschi					Femmine					Indeterminati				
	d.	%	s.	%		d.	%	s.	%		d.	%	s.	%
Presente	2	11,1	2	12,5	Presente	2	14,3	2	13,3	Presente	0	0	0	0
Assente	16	88,9	14	87,5	Assente	12	85,7	13	86,7	Assente	8	100	10	100
Tot.	18	100	16	100	Tot.	14	100	15	100	Tot.	8	100	10	100

1.8 Patologie dentarie

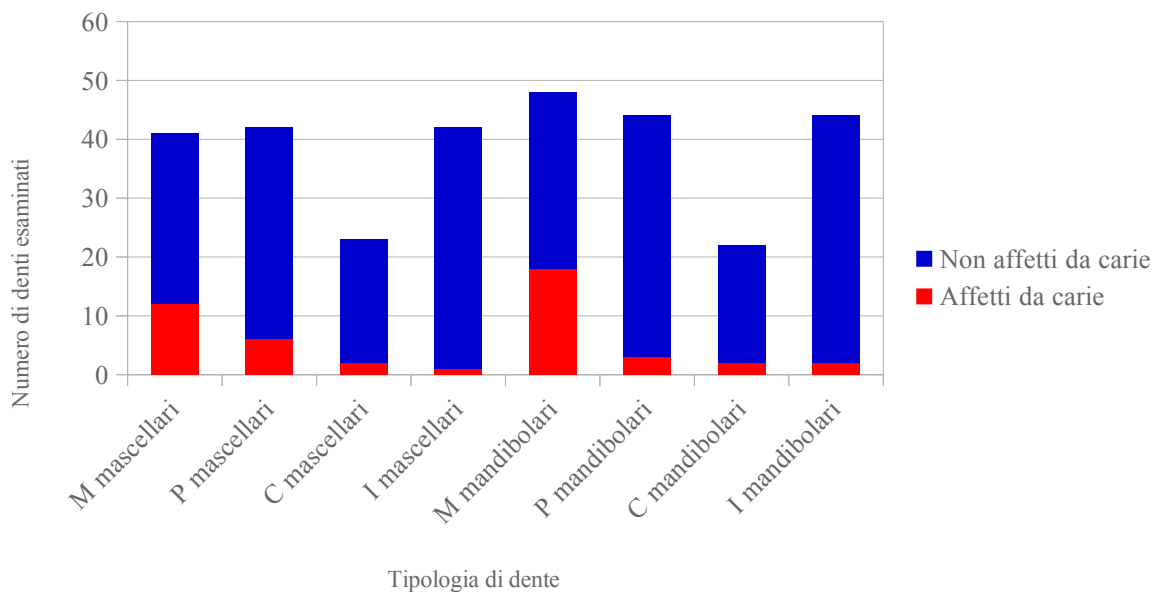
Incidenza della carie sul campione analizzato



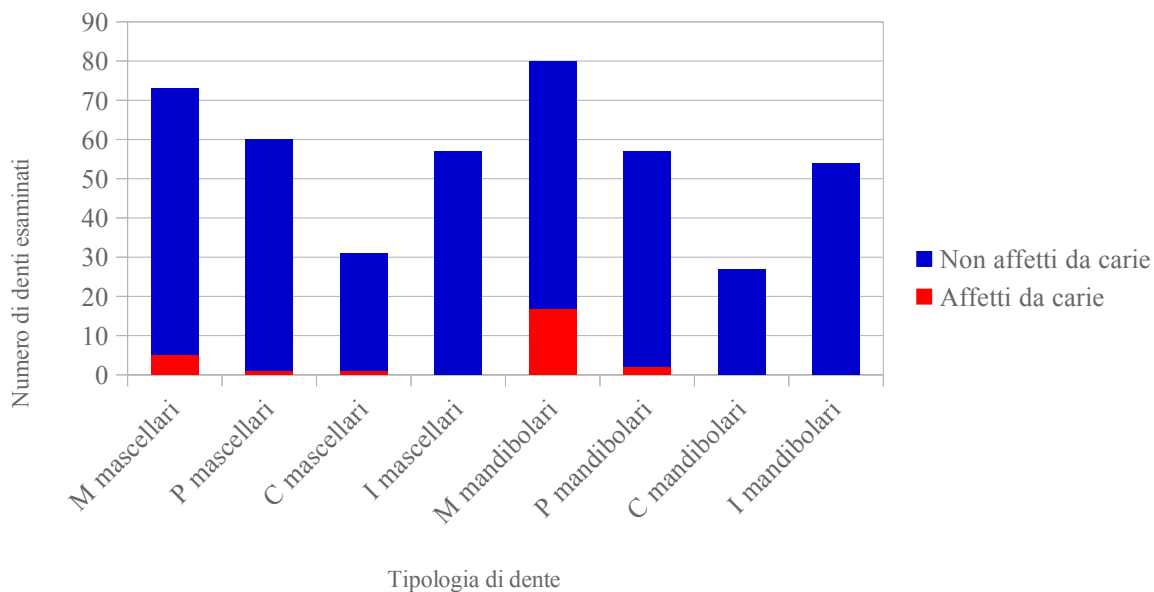
Distribuzione della carie per classi di età



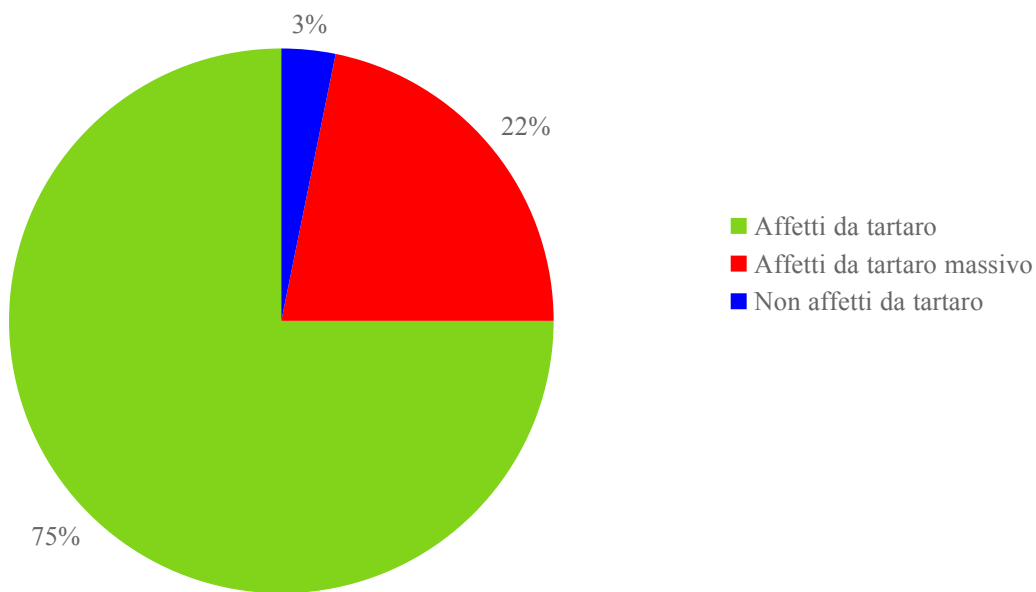
Incidenza della carie sui diversi denti del campione maschile



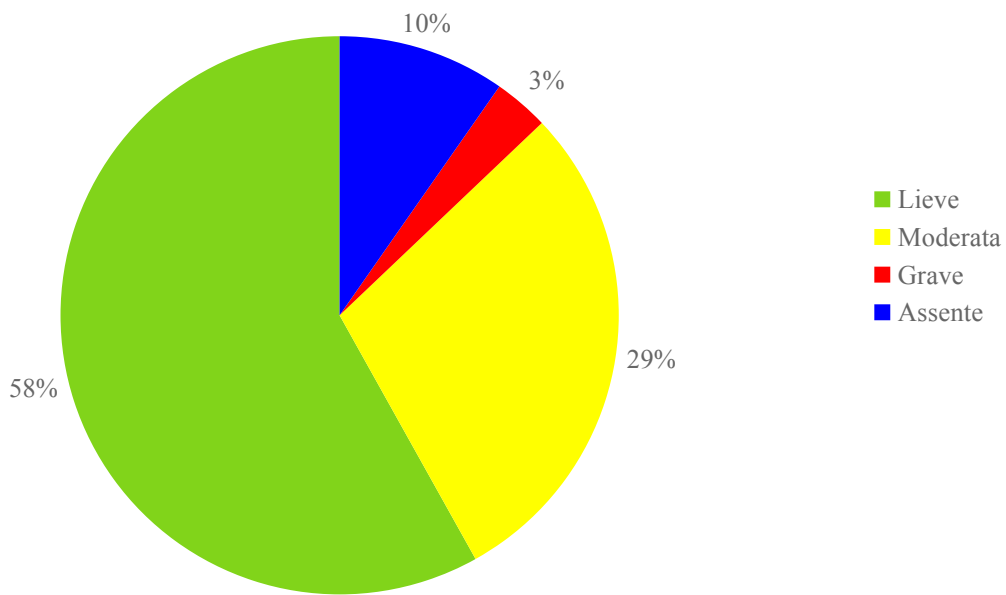
Incidenza della carie sui diversi denti del campione femminile



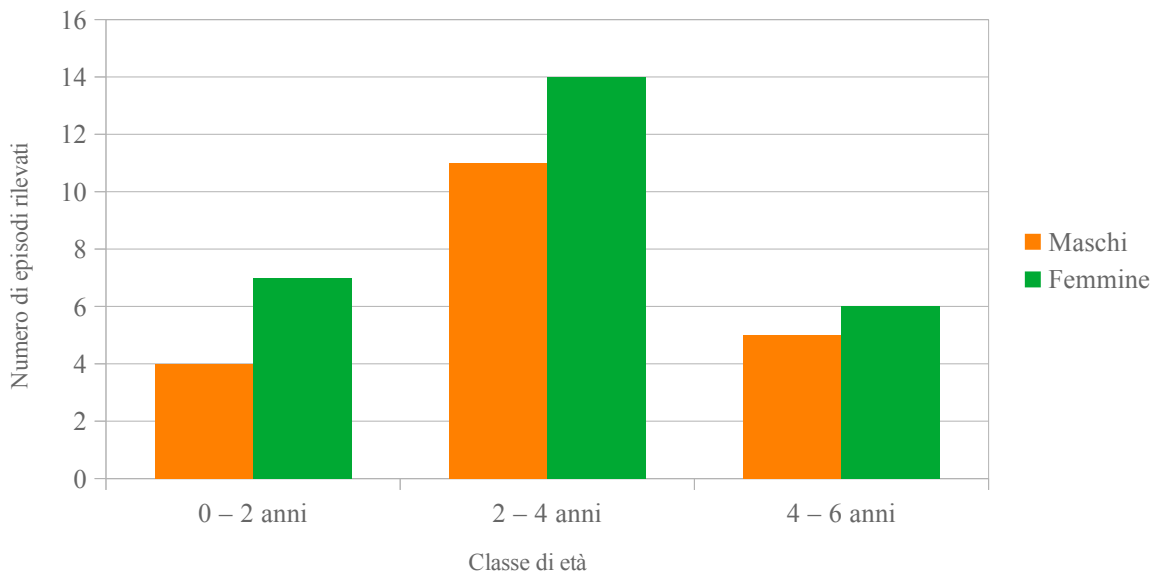
Incidenza del tartaro sul campione analizzato



Incidenza della parodontosi sul campione esaminato



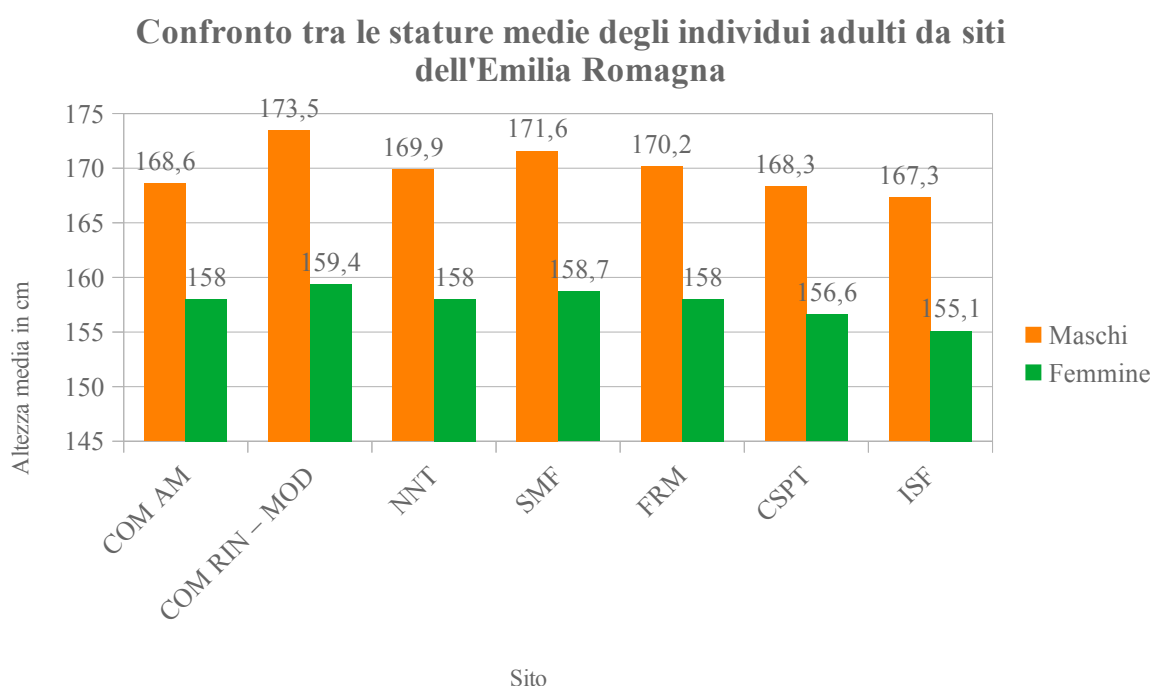
Insorgenza degli episodi di ipoplasia per classe di età



2. Confronto con altri siti coevi in Emilia Romagna

Nonostante i dati sul cimitero medievale di San Francesco di Imola non siano ancora completi, è comunque possibile effettuare una comparazione tra i dati raccolti da questo sito e quelli provenienti da altre indagini archeologiche effettuate dall'Università Ca' Foscari di Venezia, riguardanti altri cimiteri medievali in Emilia Romagna: i siti di Comacchio¹¹¹ (FE), Santa Maria del Faro¹¹² (RA), Nonantola¹¹³ (MO), Formigine¹¹⁴ (MO) e Castel San Pietro Terme (BO)¹¹⁵.

Innanzitutto si è operato un confronto riguardo ai dati riguardanti la statura media. Da ciò si evince che la popolazione sepolta a Imola risulta quella caratterizzata dalla statura media più bassa tra i vari siti presi in considerazione.



Successivamente si sono confrontati i valori percentuali relativi agli indici morfometrici postcraniali, ai caratteri discontinui cranici, ai caratteri discontinui postcraniali e ai caratteri ergonomici postcraniali, riportati nelle tabelle alla fine di questo capitolo.

111 Bertoldi, Cilli, Bullegato, Ghezzi, Lora, Rasia 2009.

112 Bertoldi, Bestetti, Brighi, Leoni 2007

113 Bertoldi, Librenti 2007.

114 Grandi, Librenti 2013.

115 Sisalli 2012.

Analizzando i dati relativi alla forma del cranio, si può notare una netta maggioranza di soggetti brachicranici nel campione di individui analizzato; questo dato trova riscontro anche negli studi riguardanti i cimiteri coevi sopracitati. Spostando la nostra attenzione sui caratteri discontinui del cranio (tab. 3.1), dai confronti emergono dei valori percentuali abbastanza elevati riguardanti l'assenza dei fori obelici, la presenza di forami sopraorbitari completi e la presenza della sutura metopica non riassorbita; al contrario, vi sono delle percentuali quasi nulle riguardo la presenza di ossa soprannumerarie¹¹⁶, lo sdoppiamento della faccetta condiloidea e la presenza del forame frontale. Una volta che si sarà completato lo studio di tutti gli individui del cimitero di S. Francesco a Imola, questi dati potranno essere utilizzati per verificare se la presenza di tali caratteri possa corrispondere alla presenza di gruppi di tombe afferenti a individui imparentati tra loro.

L'analisi dei caratteri morfometrici dello scheletro postcraniale (tab. 3.2) ha mostrato anch'essa dati nel complesso analoghi a quelli dei siti coevi: l'indice diafisario dell'omero ha mostrato che, nei soggetti di Imola le percentuali si allineano a quelle degli altri siti considerati, come si può notare anche per quelle relative all'indice olenico dell'ulna. Le percentuali riguardanti l'indice merico del femore mostrano che i femori platimerici sono i più rappresentati nel campione sia negli individui di sesso maschile che in quelli di sesso femminile; confrontando le percentuali di S. Francesco con quelle degli altri siti coevi si nota che quelle di Imola sono sensibilmente maggiori¹¹⁷. La platimeria indica uno schiacciamento dell'osso in senso antero-posteriore del terzo prossimale della diafisi del femore, e viene correlata a un forte sviluppo trocanterico originato da stress biomeccanici¹¹⁸. Negli individui di sesso femminile si nota anche una percentuale del 25% di iperplatimeria¹¹⁹ sui femori sinistri, che risulta due volte più elevata rispetto alla percentuale dei siti coevi in Emilia Romagna.

Per quanto riguarda l'indice cnemico della tibia, nei maschi di Imola si nota una divisione pressoché paritaria tra tibie euricnemiche e tibie mesocnemiche, mentre negli individui di sesso femminile si nota una maggioranza schiacciante di tibie euricnemiche. I dati sono in linea con quelli provenienti dagli altri siti considerati.

116 Ossicini coronali, osso epipterico, osso a intacco parietale, osso al lambda, osso asterico.

117 Solo quelle riguardanti gli individui femminili dei siti di Nonantola e di Castel San Pietro sono paragonabili a quelle degli individui femminili di S. Francesco.

118 Canci, Minozzi 2005, p. 153.

119 Ibid.

Riguardo i caratteri discontinui del postcraniale (tab. 3.3), questi andranno a unirsi ai sopracitati caratteri discontinui cranici per identificare gruppi di tombe di tipo familiare una volta raccolti tutti i dati ottenuti dallo studio completo del cimitero imolese.

Analizzando i caratteri ergonomici dello scheletro postcraniale (tab. 3.4), si può notare che i dati emersi trovano parallelismi soprattutto con i siti di Comacchio, Castel San Pietro, Nonantola e Formigine, tutti caratterizzati da individui che presentavano un grado medio di stress occupazionali, riscontrabili maggiormente negli individui di sesso maschile. Nel campione di inumati imolesi si nota una percentuale maggiore di faccette articolari accessorie delle ossa coxali, presenti in circa un quarto degli individui esaminati, sia maschi che femmine; anche nel caso delle esostosi sull'inserzione del tendine d'Achille dei calcagni si può notare una percentuale di presenza leggermente maggiore rispetto a quelle dei siti coevi¹²⁰. Al contrario, è interessante notare che la percentuale di incidenza delle *squatting facets*¹²¹ sulle tibie degli individui di S. Francesco risulta di molto inferiore rispetto alle percentuali riscontrate negli altri siti considerati. Un ultimo dato che merita di essere menzionato è quello riguardante il *notch-like defect* della clavicola: questo marker è importante in quanto la sua presenza è associabile a lavori pesanti spesso di tipo agricolo, per esempio l'aratura¹²². La percentuale riscontrata a Imola è leggermente più alta della media degli altri siti, trovando riscontro nei valori percentuali del sito di Formigine, che sappiamo essere afferente a una comunità di tipo rurale¹²³.

Infine, alla luce dei nuovi dati, quanto già affermato da Ostuni Minuzzi¹²⁴ (cioè che le persone inumate nel cimitero di S. Francesco di Imola fossero occupati in attività lavorative non troppo gravose per il corpo, da collegarsi a una popolazione cittadina, e non contadina e rurale) potrebbe non essere corretto. La popolazione sepolta a San Francesco potrebbe essere stata sì cittadina, ma anche occupata in attività lavorative abbastanza pesanti da lasciare il segno sulle ossa degli individui esaminati.¹²⁵

120 Questo tipo di esostosi si forma in relazione a una intensa attività deambulatoria.

121 Sono delle faccette articolari che si formano quando un individuo assume frequentemente e a lungo una posizione accucciata.

122 Capasso *et al.* 1999, p. 52.

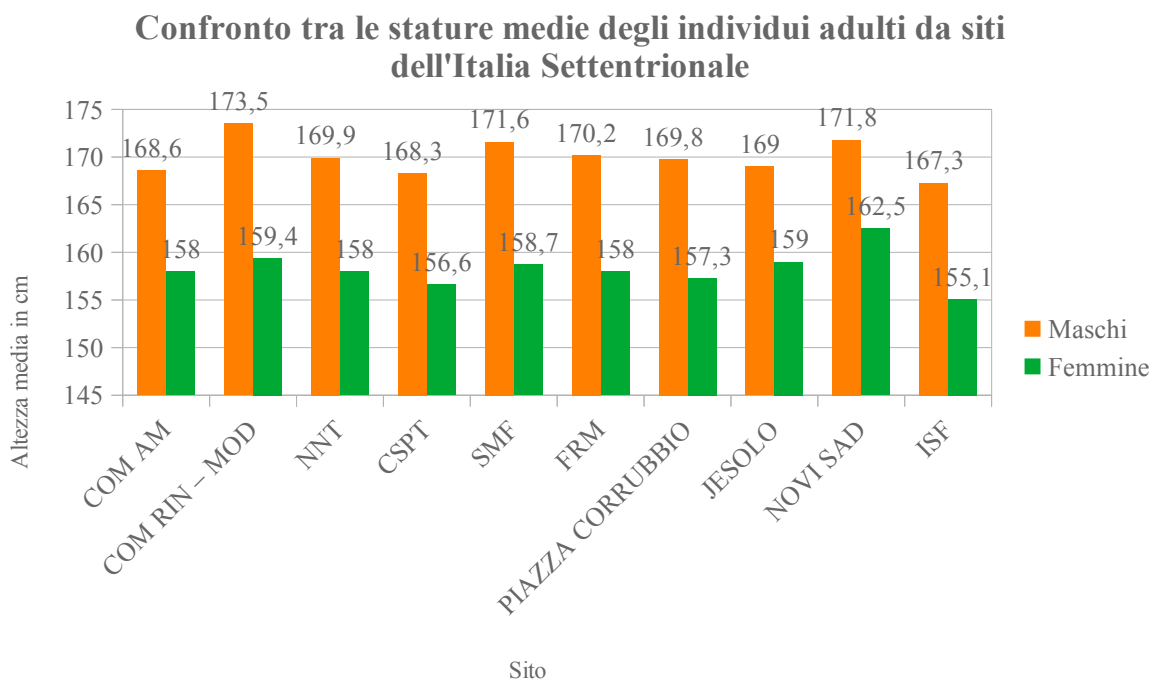
123 Ostuni minuzzi 2019, pp. 324-325.

124 Ostuni minuzzi 2019, pp. 324-325.

125 Sottolineiamo che questa resta un'ipotesi basta sui dati in nostro possesso, che potrebbe essere smentita una volta che si avranno i dati completi degli inumati sepolti a Imola.

3. La statura degli inumati imolesi in confronto con altri siti dell'Italia settentrionale

Grazie a dei dati preliminari forniti dalla Professoressa Bertoldi e dal collega Lorenzo Bigo, si sono potute anche confrontare le stature medie degli individui sepolti nel cimitero di S. Francesco con altri siti¹²⁶ di età tardoantica e medievale.



¹²⁶ Nello specifico quelli di Piazza Corrubbio a Verona (VR), di Jesolo (VE) e dell'Archeopark Novi Sad, nel modenese.

4. Conclusioni

Il lavoro di analisi sulle sepolture intrapreso in questa sede ha consentito di rafforzare l'ipotesi che gli individui sepolti nel cimitero di San Francesco facessero parte di un ceto locale, forse benestante, a stretto contatto con i frati del convento. Ai fini di conoscere appieno l'intero campione di popolazione rappresentato nell'area sepolcrale del monastero, si auspica che le ultime sepolture rimaste possano essere studiate. Così facendo si potranno operare confronti più puntuali con siti coevi in Emilia Romagna, e si potranno pianificare una serie di analisi paleobiologiche che potranno, per esempio, consentire di verificare il tipo di alimentazione, permettendo di suffragare o, perché no, contraddire le ipotesi già formulate.

Inoltre, appena tutti gli individui del complesso cimiteriale di San Francesco saranno stati studiati, sarà possibile integrare i dati di Imola nel database del Laboratorio di Antropologia Fisica dell'Università Ca' Foscari di Venezia¹²⁷, contenente oltre 1500 scheletri già analizzati nell'ambito del progetto sul popolamento dell'Italia medievale, a cura degli insegnamenti di Archeologia Medievale e di Antropologia Fisica.

127 Bertoldi, Lora 2008.

	COMAM - %		COMRIN - MOD - %		NNT - %		SMF - %		FRM - %		CSPT - %		ISF - %	
	Maschi	Femmine	Maschi	Femmine	Maschi	Femmine	Maschi	Femmine	Maschi	Femmine	Maschi	Femmine	Maschi	Femmine
Ossicini coronali	37,5	44,4	66,6	100	11,1	0	2	0,0	3,6	0	46,7	26,3	0	23,1
Fori obelici assenti	100	44,4	83,3	100	77,7	79,2	38,5	51,4	67,7	40	33,3	67,7	36,4	64,3
Osso epipterico	0	12,5	0	0	0	11,1	6,1	33,3	0	0	0	0	0	0
Osso a intacco parietale	0	12,5	33,3	0	8,3	11,1	13,7	0	15,4	0	3,6	9,1	0	0
Osso al lambda	55,5	70	66,6	100	47,8	28	61,5	57,1	33,3	38,5	63	65,2	10	8,3
Osso asterico	25	0	0	0	13,6	5,3	16,4	10,3	16	0	9,7	7,1	0	0
Faccetta condiloidea sdoppiata	0	0	25	0	0	20	16,7	10	20	0	0	0	0	0
Sutura metopica	0	11,1	12,5	0	6,7	0	8,8	15,8	0	7,7	8,3	20	8,3	26,7
Forame sopraorbitario	37,5	25	25	25	30	21,7	27,3	41,2	25	36,8	16,7	50	55,6	42,9
Forame frontale	0	0	40	50	11,1	17,4	4,6	10	13	0	0	6,7	10	0

Tab. 3.1 - Caratteri discontinui cranici

	COMAM - %				COMRIN - MOD - %				NNT - %				SMF - %				FRM - %				CSPT - %				ISF - %				
	Maschi		Femmine		Maschi		Femmine		Maschi		Femmine		Maschi		Femmine		Maschi		Femmine		Maschi		Femmine		Maschi		Femmine		
	d.	s.	d.	s.	d.	s.	d.	s.	d.	s.	d.	s.	d.	s.	d.	s.	d.	s.	d.	s.	d.	s.	d.	s.	d.	s.	d.	s.	
Omero																													
<i>Indice diafisario</i>																													
<i>Euribacchie</i>	77	87,5	54	50	95	85,7	71,4	78,5	61,9	73,6	63,6	56,0	77,9	79,1	60,0	89,2	87,5	70,6	57,9	56,5	77,8	70	73,3	66,7	57,2	75	57,2	62,5	
<i>Platibrachia</i>	23	12,5	46	50	5	14,3	28,6	21,5	38,1	26,3	36,3	44	22,1	20,9	40	10,8	12,5	29,4	42,1	43,5	22,2	30	26,7	33,3	42,8	25	42,8	37,5	
Ulna																													
<i>Indice olenico</i>																													
<i>Ipocrotolia</i>	42,8	22,2	10	11,1	5	4,8	0	8,4	13	22,7	14,3	31,8	28,6	28,4	17,7	25	9,5	17,6	33,3	25	0	4,8	7,7	0	25	27,7	11,8	11,8	
<i>Eurolenia</i>	57,1	66,6	50	44,4	85	95,2	66,6	91,6	82,6	63,6	80,9	59	65	61,2	79,4	66,7	57,1	70,6	61,1	65	88,2	85,7	61,5	76,9	62,5	66,7	58,8	58,8	
<i>Platolelia</i>	0	11,1	40	44,4	10	0	33,4	0	4,3	13,6	4,7	9	6,4	10,4	2,9	8,3	33,3	11,8	5,6	10	11,8	9,5	30,8	23,1	12,5	5,6	29,4	29,4	
Femore																													
<i>Indice merico</i>																													
<i>Ipocrotometria</i>	0	20	7,1	8,3	11,5	7,1	8,3	0	0	4	0	0	29,7	20,8	34,1	22,7	5,9	6,5	0	0	0	4,3	10,6	10	12,5	11,1	0	0	
<i>Eurimetria</i>	50	60	71,4	41,6	42,3	60,8	41,6	72,7	59,2	44	26,3	22,7	41,9	43	50	36,4	35,3	48,4	44	32	58,3	43,5	36,8	55	25	50	33,3	18,2	
<i>Platimetria</i>	37,5	20	14,2	41,6	34,7	25	41,6	27,3	33,3	48	63,1	63,6	20,3	30,6	13,6	36,4	55,9	41,9	40	48	41,7	52,2	52,6	35	62,5	33,3	41,7	72,7	
<i>Ipocrotimetria</i>	12,5	0	7,1	8,3	11,5	7,1	8,3	0	7,4	4	10,5	13,6	8,1	5,6	2,3	4,5	2,9	3,2	16	16	/	/	/	/	/	0	5,6	25	9,1
Tibia																													
<i>Indice cnemico</i>																													
<i>Euricnemie</i>	66,6	75	90,9	88,8	70,8	65,2	71,4	68,7	71,4	75	86,7	71,4	75,5	72,9	88,9	85,7	95,2	86,4	78	85,7	62,5	64,7	76,5	83,3	50	52,6	85,7	92,9	
<i>Mesocnemie</i>	33,3	25	9,1	11,1	12,5	17,3	21,4	18,7	23,8	20,8	13,3	28,5	22,4	25	8,3	14,3	4,8	13,6	21,1	14,3	37,5	29,4	23,5	16,7	50	36,9	14,3	7,1	
<i>Platicnemie</i>	0	0	0	0	12,5	17,3	7,1	12,5	0	4,2	0	0	2	2,1	2,8	0	0	0	0	0	0	0	5,9	0	0	0	10,5	0	0
<i>Ipocroticnemie</i>	0	0	0	0	4,1	0	0	0	4,8	0	0	0	0	0	0	0	0	0	0	0	0	0	0	0	0	0	0	0	0

Tab. 3.2 – Indici morfometrici postcraniali

	COMAM - %				COMRIN - MOD %				NNT - %				SMS - %				FRM - %				CSPT - %				ISF - %			
	Maschi		Femmine		Maschi		Femmine		Maschi		Femmine		Maschi		Femmine		Maschi		Femmine		Maschi		Femmine		Maschi		Femmine	
	d.	s.	d.	s.	d.	s.	d.	s.	d.	s.	d.	s.	d.	s.	d.	s.	d.	s.	d.	s.	d.	s.	d.	s.	d.	s.	d.	s.
Scapola																												
Solco circonflesso	50	33,3	25	37,5	28,5	35,7	50	60	50	50	33	37,5	46	52	47	32	61,1	58,8	30	35,7	33,3	33,3	12,5	12,5	8,3	16,7	0	0
Omero																												
Apertura del setto della fossa olecranica	22,2	25	0	0	4,7	18,1	12,5	0	10,5	6,3	22,2	8	14	34	28	0	10,5	17,7	5,9	9,5	14,3	12,5	18,8	0	0	50	27,8	
Femore																												
Terzo trocantere	57,1	40	7,6	8,3	9,5	13,6	7,1	14,2	29,6	32	17,4	14,3	18	15	25	24	26,3	23,3	13	8,7	7,4	11,5	13	12,5	17,7	16,7	23,1	11,8
Patella																												
Intacco del vasto	20	20	60	75	36,3	31,5	41,6	44,4	35,2	36,3	6,2	14,3	30	31	13	18	31,3	31,6	8,3	33,3	33,3	44,4	40	50	46,7	47,1	69,2	64,3
Astragalo																												
Osso trigono	75	50	40	37,5	36,8	60	40	70	42,1	57	50	50	9	6	15	8	21,7	19,1	30,8	23,5	26,7	25	43,7	52,6	5,9	11,8	0	0
Calcagno																												
Faccetta calcaneare Sdoppiata	22,2	25	44,4	37,5	56,5	43,4	61,5	58,3	61,1	55	23,6	29,4	39	38	54	52	50	47,6	47,1	50	35,7	42,9	57,9	50	6,3	0	21,4	28,6
Tubercolo pterale	50	50	40	33,3	64,2	75	0	11,1	75	70	60	66,7	85	78	41	50	91,7	85,7	44,4	55,6	83,3	66,7	54,5	50	14,3	25	35,7	35,7

Tab. 3.3 – Caratteri discontinui postcraniali

	COMAM - %				COMRIN - MOD %				NNT - %				SMF - %				FRM - %				CSPT - %				ISF - %			
	Maschi		Femmine		Maschi		Femmine		M	F	M	F	M	F	M	F	M	F	M	F	M	F	M	F	M	F		
	d.	s.	d.	s.	d.	s.	d.	s.	d.	s.	d.	s.	d.	s.	d.	s.	d.	s.	d.	s.	d.	s.	d.	s.	d.	s.		
Clavicola																												
Notch-like defect																												
50	44,4	55,5	37,5	42,1	42,8	21,4	7,6	36,8	13,3	40	16	60	38	41,2	9,1	53,8	33,3	42,9	53,3									
Coxale																												
Faccette articolari Accessorie																												
0	0	0	0	0	0	14,2	0	0	15,4	9	10	28	/	/	/	25	25	28,6	25									
Femore																												
Placca sul collo																												
42,8	25	23	20	75	57,8	9	18,1	22	3	34	14	14,8	7	43,2	10,5	33,3	25	18,2	26,7									
Esostosi della fossa Trocanterica																												
0	10	8,3	15,3	38,8	38,8	50	38,4	32	48	42	39	66	55,3	30,4	24,4	33,3	41,2	33,3	25									
Tibia																												
Squatting facets																												
28,5	37,5	77,7	62,5	61,1	66,6	66,6	50	35	76	54	70	36,6	81,3	73,5	66,7	11,1	5,4	30,8	23,1									
Calcagno																												
Esostosi sull'inserzione Del tendine d'Achille																												
71,3	62,3	66	75	70	70	41,6	50	94,1	86,7	79	68	85	71,4	68,7	41	83,3	100	76,9	66,7									
Sperone calcaneare																												
0	12,5	25	25	11,7	18,7	25	22,2	57,1	23	0	4	15	16,7	9,8	7,8	11,1	12,5	14,3	13,3									

Tab. 3.4 – Caratteri ergonomici postcraniali

IV

SCHEDE DI CATALOGO

SITO ARCHEOLOGICO	Isf 06
Tomba	3
Sesso	-
Età	Circa 4 anni

CALVARIO	Si presenta frammentario, con alcuni frammenti integrabili. L'arcata dentaria mascellare si conserva quasi integra.
MANDIBOLA	In due frammenti integrabili. Priva di entrambi i rami ascendenti.
GABBIA TORACICA	Lo sterno si presenta frammentario. Rimangono frammenti di corpi e spine vertebrali. Le coste si presentano frammentarie.
CINTO SCAPOLARE	Entrambe le clavicole e la scapola sinistra sono mancanti. Si ha un frammento della scapola destra, in cui si conserva la cavità glenoidea.
LATO DESTRO	Omero privo di una porzione diafisaria; ulna completa; radio privo di una parte diafisaria distale. Femore frammentario e fibula assente, mentre la tibia è priva di una porzione diafisaria distale. Vi sono 5 metacarpali o metatarsali
LATO SINISTRO	L'arto superiore è mancante. Femore e tibia sono integri, mentre la tibia è priva di una porzione prossimale. Vi sono 5 metacarpali o metatarsali e 4 falangi.
CINTO PELVICO	<i>Destro:</i> ileo integro, ischio frammentario, pube non integro; <i>Sinistro:</i> ileo e ischio integri, pube frammentario.
OSSERVAZIONI	Si nota la presenza di una scapola di un altro individuo subadulto, più giovane.

SITO ARCHEOLOGICO	Isf 06
Tomba	5
Sesso	-
Età	Circa 8 anni

CALVARIO	Privo di entrambi i temporali e della quasi totalità del parietale sinistro. Frontale, occipitale e parietale destro non completi. Lo splancnocranio si trova in frammenti non integrabili. Si conserva buona parte dell'arcata alveolare mascellare.
MANDIBOLA	Priva del ramo ascendente sinistro.
GABBIA TORACICA	Coste e sterno frammentari. <i>Cervicali: 5 integre, le altre frammentarie</i> <i>Toraciche: 2 danneggiate, le altre frammentarie</i> <i>Lombari: 5 integre</i>
CINTO SCAPOLARE	Clavicole integre; scapole incomplete, prive della metà mediale.
ARTI SUPERIORI	<i>Destro:</i> omero e ulna integri, radio privo di una parte distale; si hanno un metacarpale e 14 falangi; <i>Sinistro:</i> omero, radio e ulna completi; si hanno 4 carpali, 4 metacarpali e 13 falangi.
CINTO PELVICO	Sacro completo in tre vertebre non saldate; bacino completo con ischio e pube ormai saldati.
ARTI INFERIORI	<i>Destro:</i> femore, tibia, patella e fibula completi; si hanno 7 tarsali, 5 metatarsali e 9 falangi; <i>Sinistro:</i> femore, tibia, fibula, patella completi; si hanno 5 tarsali, 5 metatarsali e 8 falangi.
OSSERVAZIONI	

SITO ARCHEOLOGICO	Isf 06
Tomba	6
Sesso	-
Età	Circa 2 anni

CALVARIO	Mancante
MANDIBOLA	Mancante
GABBIA TORACICA	Due coste integre, le altre frammentarie. Dello sterno si conserva solo il manubrio non integro. Vi sono i corpi di 13 vertebre.
CINTO SCAPOLARE	<i>Destro:</i> clavicola mancante, scapola quasi completa; <i>Sinistro:</i> si ha solo un frammento di scapola.
ARTI SUPERIORI	<i>Destro:</i> omero e radio completi; ulna danneggiata; vi sono 3 metacarpali danneggiati e 5 falangi; <i>Sinistro:</i> omero danneggiato; radio e ulna completi; si ha un frammento di falange.
CINTO PELVICO	<i>Destro:</i> ileo completo, ischio e pube danneggiati; <i>Sinistro:</i> ileo e ischio danneggiati, pube mancante. Ci sono tre vertebre sacrali.
ARTI INFERIORI	<i>Destro:</i> femore privo di parte distale, tibia danneggiata, fibula in frammenti non integrabili; si hanno tre tarsali frammentari, due metatarsali frammentari e 5 falangi. <i>Sinistro:</i> femore privo del terzo distale, tibia danneggiata, fibula in frammenti non integrabili; vi sono due tarsali, 4 metatarsali frammentari e tre falangi.
OSSERVAZIONI	

SITO ARCHEOLOGICO	Isf 06
Tomba	7
Sesso	M
Età	Circa 30 anni

CALVARIO	Si presenta frammentario, anche se in frammenti grossomodo integrabili. Mancano parti di splancnocranio.
MANDIBOLA	Quasi completa,, tranne che per il condilo sinistro e i quattro incisivi. Si nota una carie occlusale su M ₂ destro e M ₃ sinistro.
GABBIA TORACICA	<i>Coste:</i> si presentano in maniera molto frammentaria, come anche lo sterno; <i>Cervicali:</i> atlante, epistrofeo, 3 ^a e 4 ^a cervicale sono complete. Si hanno poi due corpi vertebrali e altri frammenti non integrabili; <i>Toraciche:</i> si hanno i corpi di tutte e 12 le vertebre, più frammenti di spine vertebrali non integrabili; <i>Lombari:</i> una quasi integra, una mancante, si hanno i corpi di altre tre, più frammenti di spine vertebrali.
CINTO SCAPOLARE	<i>Destro:</i> clavicola integra, scapola frammentaria ma con la cavità glenoidea integra; <i>Sinistro:</i> clavicola in due frammenti integrabili, scapola frammentaria ma con la cavità glenoidea integra.
ARTI SUPERIORI	<i>Destro:</i> omero, radio e ulna completi; si hanno 7 carpali, 5 metacarpali e 13 falangi; <i>Sinistro:</i> omero e ulna completi; radio integro in due frammenti integrabili; si hanno 6 carpali, 5 metacarpali e 14 falangi.
CINTO PELVICO	Osso sacro integro, mentre i coxali sono in frammenti integrabili ma incompleti. Si conservano tuttavia entrambe le sinfisi pubiche e le grandi incisive ischiatiche.
ARTI INFERIORI	<i>Destro:</i> femore, tibia e patella completi; fibula integra in due frammenti integrabili; si hanno 7 tarsali, 5 metatarsali e 14 falangi; <i>Sinistro:</i> patella assente; femore e tibia completi; fibula in due frammenti integrabili; si hanno 7 tarsali, 4 metatarsali e 7 falangi. Vi è anche la metà prossimale di un metatarsali.
OSSERVAZIONI	

SITO ARCHEOLOGICO	Isf 06
Tomba	8
Sesso	F
Età	Circa 25

CALVARIO	Si hanno i parietali in connessione con il frontale, quali completo, e con l'occipitale, privo della porzione basale. Il temporale destro è integro, mentre il sinistro è in due frammenti integrabili. Dello splancnocranio si conservano parte delle orbite e l'arcata alveolare mascellare con tutti i denti.
MANDIBOLA	Completa. Sono presenti rotazioni e malposizionamenti dentali, su P ₂ e C destri, e su I ₂ e C sinistri. Sul lato sinistro si ha la permanenza del secondo molare deciduo.
GABBIA TORACICA	Le coste sono frammentarie, mentre lo sterno si conserva quasi integro. <i>Cervicali:</i> atlante quasi integro, epistrofeo privo di dente; la 3 ^a si conserva completa, e delle rimanenti si conservano i corpi e frammenti di spine vertebrali; <i>Toraciche:</i> 5 integre, una incompleta, più altri 4 corpi vertebrali e frammenti di spine vertebrali <i>Lombari:</i> mancanti
CINTO SCAPOLARE	<i>Destro:</i> clavicola integra; <i>Sinistro:</i> clavicola mancante. Le scapole sono in frammenti non integrabili né lateralizzabili.
ARTI SUPERIORI	<i>Destro:</i> omero e radio completi, ulna in due frammenti integrabili; <i>Sinistro:</i> omero mancante, ulna completa, radio in due frammenti integrabili. Vi sono 12 carpali, 8 metacarpali e 14 falangi non lateralizzati.
CINTO PELVICO	Mancante
ARTI INFERIORI	Mancanti
OSSERVAZIONI	

SITO ARCHEOLOGICO	Isf 06
Tomba	9
Sesso	M
Età	40 – 45 anni

CALVARIO	Neurocranio quasi completo, tranne la porzione basale dell'occipitale e il temporale destro. Lo splancnocranio si presenta estremamente frammentario, ma si conserva la quasi totalità del palato con l'arcata alveolare, e parte dell'osso zigomatico. Il cranio presenta una morfologia particolare.
MANDIBOLA	Completa tranne che per il ramo ascendente destro.
GABBIA TORACICA	Lo sterno si presenta completo. Vi sono 4 coste integre, mentre le altre sono frammentarie. <i>Cervicali:</i> atlante mancante, epistrofeo frammentario, e ve ne sono altre 4 danneggiate <i>Toraciche:</i> 11 lievemente danneggiate, una mancante <i>Lombari:</i> 5 lievemente danneggiate
CINTO SCAPOLARE	<i>Destro:</i> clavicola completa, scapola priva del margine mediale superiore <i>Sinistro:</i> scapola quasi completa, clavicola con epifisi sternale danneggiata
ARTI SUPERIORI	<i>Destro:</i> omero in due frammenti integrabili e privo di parte dell'epifisi prossimale; ulna in due frammenti integrabili; radio integro; vi sono 7 carpali, 5 metacarpali e 13 falangi; <i>Sinistro:</i> omero completo; radio privo di parte dell'epifisi distale; ulna incompleta in 2 frammenti integrabili; radio integro; vi sono 3 carpali, 4 metacarpali incompleti e 3 falangi incomplete.
CINTO PELVICO	Sacro completo <i>Destro:</i> coxale frammentario <i>Sinistro:</i> in due frammenti integrabili
ARTI INFERIORI	<i>Destro:</i> femore in due frammenti integrabili; tibia e patella integre; fibula priva di epifisi; vi sono 6 tarsali, 5 metatarsali e 5 falangi. <i>Sinistro:</i> femore, tibia e patella integri; fibula priva di epifisi; vi sono 6 tarsali, 5 metatarsali frammentari e una falange.
OSSERVAZIONI	

SITO ARCHEOLOGICO	Isf 06
Tomba	10
Sesso	-
Età	Circa 8 anni

CALVARIO	Frammentario. Frontale e occipitale sono quasi integri. I parietali si conservano, incompleti, in frammenti integrabili. I temporali sono quasi completi. Si conservano le emiarcate alveolari mascellari e parte delle ossa zigomatiche.
MANDIBOLA	Priva di entrambi i condili.
GABBIA TORACICA	Due coste integre, le altre frammentarie. Sterno mancante. <i>Cervicali:</i> atlante mancante, le altre cervicali sono integre; <i>Toraciche:</i> 5 complete, più 7 corpi vertebrali e frammenti di spine vertebrali; <i>Lombari:</i> 2 complete, le altre frammentarie.
CINTO SCAPOLARE	<i>Destro:</i> clavicola completa, scapola priva di parte mediale; <i>Sinistro:</i> clavicola completa, scapola priva di parte mediale.
ARTI SUPERIORI	<i>Destro:</i> omero, radio e ulna completi; si hanno 4 carpali, 3 metacarpali e 12 falangi; <i>Sinistro:</i> omero, radio e ulna completi, il resto è mancante.
CINTO PELVICO	<i>Destro:</i> ileo e pube completi, ischio mancante; <i>Sinistro:</i> pube completo, ileo danneggiato, ischio mancante.
ARTI INFERIORI	<i>Destro:</i> femore privo di una parte diafisaria distale; tibia priva del quarto prossimale; fibula incompleta; vi sono 6 tarsali, 5 metatarsali e 8 falangi. <i>Sinistro:</i> femore completo; tibia in due frammenti integrabili; fibula priva di una parte diafisaria distale; vi sono 3 tarsali, 5 metatarsali e 2 falangi.
OSSERVAZIONI	

SITO ARCHEOLOGICO	Isf 06
Tomba	13
Sesso	M
Età	Circa 50

CALVARIO	Parietale sinistro quasi completo, in connessione con parte del frontale. Il temporale sinistro si conserva quasi completo, mentre si ha solo parte dell'occipitale. Si conserva anche il palato con tutta l'arcata alveolare mascellare, assieme a parte dell'osso zigomatico e dell'orbita sinistra. Vi sono altri frammenti non integrabili. Presenti cribra orbitali.
MANDIBOLA	Priva di ramo ascendente destro.
GABBIA TORACICA	Le coste si conservano frammentarie, a parte una integra. Lo sterno si presenta danneggiato. Le vertebre si conservano tutte, leggermente danneggiate.
CINTO SCAPOLARE	<i>Destro:</i> si conserva parte della diafisi della clavicola e parte del margine mediale della scapola; <i>Sinistro:</i> clavicola completa, scapola priva di parte della spina e del margine mediale.
ARTI SUPERIORI	<i>Destro:</i> omero mancante, radio e ulna privi di epifisi prossimale; vi sono due carpali, 4 metacarpali e 7 falangi; <i>Sinistro:</i> omero, radio e ulna integri; vi sono 8 carpali, 4 metacarpali e 7 falangi.
CINTO PELVICO	Entrambi i coxali si trovano in due frammenti integrabili; osso sacro completo.
ARTI INFERIORI	<i>Destro:</i> femore e tibia integri; fibula in due frammenti integrabili; patella mancante; vi sono 6 tarsali, 5 metatarsali e 3 falangi; <i>Sinistro:</i> femore, tibia, patella e fibula completi; vi sono 6 tarsali, 5 metatarsali e 3 falangi.
OSSERVAZIONI	

SITO ARCHEOLOGICO	Isf 06
Tomba	14
Sesso	-
Età	15 ± 2 anni

CALVARIO	Mancante
MANDIBOLA	Mancante
GABBIA TORACICA	Mancante
CINTO SCAPOLARE	Mancante
ARTI SUPERIORI	Mancanti
CINTO PELVICO	Mancante
ARTI INFERIORI	Destro: femore mancante; patella mancante; tibia integra; fibula in due frammenti integrabili; vi sono 5 tarsali e 3 metatarsali. Sinistro: femore, tibia e fibula integri; patella mancante; vi sono 4 tarsali, un metatarsale e 2 falangi.
OSSERVAZIONI	I dati raccolti sono appena sufficienti per formulare un'ipotesi sull'età del soggetto.

SITO ARCHEOLOGICO	Isf 06
Tomba	15
Sesso	-
Età	Prenatale

CALVARIO	Frammentario.
MANDIBOLA	Frammentaria.
GABBIA TORACICA	Sterno mancante. Coste frammentarie. Vi sono i corpi e le spine di quasi tutte le vertebre.
CINTO SCAPOLARE	Completo.
ARTI SUPERIORI	Destro: omero completo; radio e ulna incompleti. Sinistro: omero e ulna completi; radio incompleto.
CINTO PELVICO	Completo.
ARTI INFERIORI	Destro: femore, tibia e fibula completi; patella mancante. Sinistro: femore, tibia e fibula completi; patella mancante. Vi sono tarsali, metatarsali e falangi non lateralizzati.
OSSERVAZIONI	Tutte le ossa si presentano con le epifisi o altre parti non fuse.

SITO ARCHEOLOGICO	Isf 06
Tomba	16
Sesso	Probabile F
Età	Circa 16 anni

CALVARIO	Parietali quasi completi in connessione con parte dell'occipitale e del frontale. Si riconoscono parti dell'arcata alveolare mascellare e le ossa temporali incomplete. La frammentarietà non consente di effettuare misurazioni e calcolare indici.
MANDIBOLA	In due frammenti integrabili, e priva del condilo sinistro.
GABBIA TORACICA	Sterno incompleto, si conserva il manubrio completo e parte del corpo. Vi sono 3 coste integre, le altre sono frammentarie. <i>Cervicali:</i> 7 complete. <i>Toraciche:</i> 9 complete più tre corpi vertebrali. <i>Lombari:</i> 4 complete, una danneggiata.
CINTO SCAPOLARE	<i>Destro:</i> clavicola integra; scapola priva di margine inferiore. <i>Sinistro:</i> si conserva la metà laterale della clavicola; la scapola è frammentaria.
ARTI SUPERIORI	<i>Destro:</i> omero e radio completi; ulna priva di terzo distale; c'è un metacarpale e due falangi. <i>Sinistro:</i> omero integro; radio incompleto in due frammenti integrabili; ulna incompleta in due frammenti integrabili.
CINTO PELVICO	Sacro danneggiato. <i>Destro:</i> incompleto in due frammenti integrabili. <i>Sinistro:</i> incompleto, privo di pube.
ARTI INFERIORI	<i>Destro:</i> femore, tibia, patella e fibula integri; vi sono 6 tarsali, 5 metatarsali e una falange. <i>Sinistro:</i> femore in due frammenti integrabili; tibia danneggiata in due frammenti integrabili; fibula in 4 frammenti integrabili; patella danneggiata; vi sono 8 tarsali, 5 metatarsali e 10 falangi.
OSSERVAZIONI	Vi sono metacarpali e falangi non lateralizzati.

SITO ARCHEOLOGICO	Isf 06
Tomba	17 – Ind. A
Sesso	F
Età	45 – 50 anni

CALVARIO	Completo
MANDIBOLA	Completa
GABBIA TORACICA	Si conserva parte dell'osso ioide. Si conservano due coste integre, le altre frammentarie. Sterno frammentario. <i>Cervicali:</i> atlante integro, epistrofeo frammentario; le altre 5 sono integre. <i>Toraciche:</i> 9 corpi vertebrali, il resto frammentario. <i>Lombari:</i> 4 danneggiate.
CINTO SCAPOLARE	<i>Destro:</i> clavicola priva di parte dell'epifisi laterale; scapola quasi integra. <i>Sinistro:</i> clavicola integra; scapola frammentaria, ma si conservano il margine laterale e una porzione che include la cavità glenoidea.
ARTI SUPERIORI	<i>Destro:</i> omero, radio e ulna completi; si conservano 8 carpali, 5 metacarpali e 12 falangi. <i>Sinistro:</i> omero, radio e ulna completi; vi sono 7 carpali, 4 metacarpali e 9 falangi.
CINTO PELVICO	Sacro privo di alcune porzioni posteriori. <i>Destro:</i> coxale il 3 frammenti non integrabili; si conserva la sinfisi pubica. <i>Sinistro:</i> coxale privo di una parte di cresta iliaca e privo di sinfisi pubica.
ARTI INFERIORI	<i>Destro:</i> femore e tibia completi; patella mancante; fibula priva di alcune porzioni di epifisi; vi sono 7 tarsali, 5 metatarsali e 3 falangi. <i>Sinistro:</i> femore in due frammenti integrabili; e tibia leggermente danneggiata; patella integra; fibula priva di parti di epifisi distale; vi sono 5 tarsali, 3 metatarsali e 2 falangi.
OSSERVAZIONI	Si nota lo schiacciamento in due vertebre lombari. Sull'epifisi distale dell'omero vi sono dei segni di sollecitazione dell'articolazione sotto forma di strappi e usure.

SITO ARCHEOLOGICO	Isf 06
Tomba	17 ind. B
Sesso	F
Età	30 – 35 anni

CALVARIO	Quasi integro, tranne che per la parte inferiore dell'occipitale.
MANDIBOLA	Completa.
GABBIA TORACICA	Una costa integra, le altre frammentarie. Sterno incompleto in tre frammenti integrabili. <i>Cervicali:</i> atlante ed epistrofeo integri; 4 complete; una frammentaria. <i>Toraciche:</i> 9 danneggiate; 3 corpi vertebrali; frammenti di spine. <i>Lombari:</i> 3 complete; una incompleta in due frammenti integrabili; frammenti di spine.
CINTO SCAPOLARE	<i>Destro:</i> clavicola integra; scapola priva di margine mediale. <i>Sinistro:</i> clavicola integra; scapola incompleta in due frammenti integrabili.
ARTI SUPERIORI	<i>Destro:</i> omero danneggiato; radio e ulna completi; vi sono 5 carpali, 4 metacarpali e 13 falangi. <i>Sinistro:</i> omero danneggiato; radio e ulna completi; vi sono 7 carpali, 5 metacarpali e 8 falangi.
CINTO PELVICO	Sacro danneggiato. <i>Destro:</i> coxale incompleto in due frammenti integrabili <i>Sinistro:</i> incompleto in due frammenti non integrabili.
ARTI INFERIORI	<i>Destro:</i> femore, tibia e fibula integri; patella assente; vi sono 7 tarsali, 5 metatarsali e una falange. <i>Sinistro:</i> femore in due frammenti integrabili; tibia integra; fibula priva di epifisi prossimale; patella integra; vi sono 7 tarsali, 3 metatarsali integri, 2 metatarsali frammentari e tre falangi.
OSSERVAZIONI	Lo sterno presenta una fusione tra manubrio e corpo, e un foro centimetrico nella parte distale del corpo. Oltre al foro obelico sinistro, vi è un ulteriore forame sul parietale sinistro. Le clavicole presentano la faccetta articolare mediale estesa posteriormente. 8 falangi destre presentano un colore verde.

SITO ARCHEOLOGICO	Isf 06
Tomba	18
Sesso	-
Età	Circa 6 anni

CALVARIO	Frontale incompleto, con la sutura metopica non completa; i parietali sono completi e in connessione con l'occipitale, incompleto; i temporali sono incompleti; lo splancnocranio è mancante.
MANDIBOLA	Incompleta, in 3 frammenti.
GABBIA TORACICA	Sei coste complete, il resto è frammentario. Sterno mancante. <i>Cervicali:</i> atlante ed epistrofeo incompleti; una cervicale saldata danneggiata; 3 corpi vertebrali e 4 spine. <i>Toraciche:</i> 2 integre e saldate; 7 corpi vertebrali e 8 spine. <i>Lombari:</i> 3 lombari danneggiate e saldate. Vi sono inoltre frammenti.
CINTO SCAPOLARE	<i>Destro:</i> clavicola leggermente danneggiata; della scapola si conserva la metà laterale. <i>Sinistro:</i> clavicola incompleta; scapola priva di margine mediale.
ARTI SUPERIORI	<i>Destro:</i> omero completo; radio e ulna privi di una porzione distale; vi sono 5 carpali, 2 metacarpali e 3 falangi. <i>Sinistro:</i> omero, radio e ulna completi; vi sono 4 carpali, 4 metacarpali e 4 falangi.
CINTO PELVICO	Tre vertebre sacrali integre, le altre frammentarie. <i>Destro:</i> ileo, ischio e pube danneggiati. <i>Sinistro:</i> ileo, ischio e pube danneggiati.
ARTI INFERIORI	<i>Destro:</i> femore, tibia e fibula completi; patella mancante; astragalo, calcagno e due tarsali danneggiati; vi sono 3 metatarsali danneggiati. <i>Sinistro:</i> femore completo; tibia e fibula danneggiate; patella mancante; astragalo, calcagno e 4 tarsali danneggiati; vi è un frammento di metatarsale. Si hanno 6 metatarsali e 4 falangi non lateralizzati.
OSSERVAZIONI	Le spine vertebrali sono in via di saldatura. Se non specificato, le epifisi sono da considerarsi tutte non saldate.

SITO ARCHEOLOGICO	Isf 06
Tomba	19
Sesso	-
Età	Circa 7 anni

CALVARIO	Frammentario, si riconoscono parti di tutte le ossa. Si conservano le emiarcate mascellari.
MANDIBOLA	Priva di condilo sinistro.
GABBIA TORACICA	Si conserva, danneggiato, il manubrio dello sterno. Coste frammentarie. <i>Cervicali:</i> atlante incompleto in due frammenti integrabili; le altre complete. <i>Toraciche:</i> 2 danneggiate, più 10 corpi vertebrali danneggiati e frammenti di spine. <i>Lombari:</i> 5 danneggiate.
CINTO SCAPOLARE	<i>Destro:</i> clavicola e scapola frammentarie. <i>Sinistro:</i> clavicola completa danneggiata; scapola priva di una parte del margine mediale.
ARTI SUPERIORI	<i>Destro:</i> omero danneggiato; radio incompleto; ulna incompleta; vi sono 2 metacarpali frammentari e 7 falangi. <i>Sinistro:</i> omero danneggiato; ulna incompleta; radio incompleto; vi sono 5 metacarpali incompleti e 7 falangi danneggiate.
CINTO PELVICO	5 vertebre sacrali danneggiate. <i>Destro:</i> ileo danneggiato; ischio e pube integri. <i>Sinistro:</i> ileo, ischio e pube completi.
ARTI INFERIORI	<i>Destro:</i> femore completo; tibia incompleta in due frammenti integrabili; fibula incompleta; patella mancante. <i>Sinistro:</i> femore completo; tibia incompleta in due frammenti integrabili; fibula incompleta in due frammenti integrabili; patella mancante. Sono presenti un astragalo e altri frammenti ossei non lateralizzati.
OSSERVAZIONI	A meno che non diversamente specificato, le epifisi di tutte le ossa sono da considerarsi non fuse.

SITO ARCHEOLOGICO	Isf 06
Tomba	20
Sesso	-
Età	10 – 11 anni

CALVARIO	Splancnocranio danneggiato; neurocranio frammentario, di cui si riconoscono parti di parietali, temporali e occipitale.
MANDIBOLA	Priva di entrambi i rami ascendenti.
GABBIA TORACICA	Coste frammentarie. Si conservano due sternebrae. Cervicali: atlante frammentario; una integra, 3 incomplete. Toraciche: 4 danneggiate, 4 corpi danneggiati e frammenti di corpi e spine vertebrali. Lombari: un corpo danneggiato, più frammenti di corpi e spine vertebrali.
CINTO SCAPOLARE	<i>Destro:</i> scapola mancante; clavicola priva di metà laterale. <i>Sinistro:</i> si ha il terzo mediale della scapola; clavicola integra
ARTI SUPERIORI	<i>Destro:</i> omero incompleto; ulna in due frammenti non integrabili; radio incompleto; vi sono 6 carpali, 4 metacarpali e 7 falangi. <i>Sinistro:</i> omero, radio e ulna completi; vi sono 6 carpali, 5 metacarpali e 4 falangi.
CINTO PELVICO	Due vertebre sacrali, due integre. <i>Destro:</i> ileo danneggiato; ischio e pube completi. <i>Sinistro:</i> ileo, ischio e pube completi.
ARTI INFERIORI	<i>Destro:</i> femore e fibula completi; tibia incompleta in due frammenti integrabili; astragalo integro; calcagno danneggiato; 2 tarsali integri, 2 danneggiati, uno incompleto; vi sono 4 metatarsali. <i>Sinistro:</i> femore, tibia e fibula completi; 3 tarsali integri, uno danneggiato, uno frammentario; vi è un metatarsale. Sono presenti un metatarsale e dei frammenti di altri non lateralizzati.
OSSERVAZIONI	Se non specificato diversamente, tutte le epifisi sono da considerarsi non saldate.

SITO ARCHEOLOGICO	Isf 06
Tomba	21
Sesso	Indeterminato tendente a F
Età	30 – 35 anni

CALVARIO	Frammentario. Si distinguono i temporali quasi integri, un frammento di sfenoide e frammenti di altre ossa del neurocranio. L'arcata alveolare mascellare si presenta in due frammenti integrabili, in connessione con parti delle ossa zigomatiche.
MANDIBOLA	Completa.
GABBIA TORACICA	Coste frammentarie. Si ha un frammento di corpo dello sterno. <i>Cervicali:</i> atlante ed epistrofeo completi, più 4 complete e una frammentaria. <i>Toraciche:</i> 4 integre; 6 prive di arco e spina; una in 2 frammenti integrabili; una frammentaria. <i>Lombari:</i> una quasi integra; 2 in frammenti integrabili; 1 corpo vertebrale,
CINTO SCAPOLARE	<i>Destro:</i> clavicola priva di epifisi mediale; scapola incompleta in due frammenti integrabili, comprendenti la cavità glenoidea. <i>Sinistro:</i> clavicola integra; scapola incompleta, si conserva la cavità glenoidea.
ARTI SUPERIORI	<i>Destro:</i> omero in due frammenti integrabili; radio in due frammenti integrabili; ulna incompleta in due frammenti integrabili; vi sono 2 carpali e 3 metacarpali. <i>Sinistro:</i> omero, radio e ulna completi; si hanno 4 carpali e 4 metacarpali.
CINTO PELVICO	Si conserva una vertebra sacrale. <i>Destro:</i> frammentario; si ha quasi tutta la cresta iliaca e la grande incisura ischiatica. <i>Sinistro:</i> si conserva la cresta iliaca con l'auricola del sacro.
ARTI INFERIORI	Mancanti.
OSSERVAZIONI	Gli omeri presentano la fossa olecranica aperta. La statura non è determinabile in quanto la sessuazione dell'individuo è indeterminabile.

SITO ARCHEOLOGICO	Isf 06
Tomba	22
Sesso	F
Età	20 – 25 anni

CALVARIO	Frontale e parietali completi e in connessione; si conserva parte dell'occipitale; temporali incompleti; si conserva l'arcata mascellare in connessione con parte dell'osso mascellare e zigomatico.
MANDIBOLA	Completa.
GABBIA TORACICA	Coste frammentarie. Sterno mancante. <i>Cervicali:</i> atlante incompleto con faccette sdoppiate; epistrofeo incompleto; le altre 5 cervicali danneggiate. <i>Toraciche:</i> 6 danneggiate; 4 molto danneggiate; le altre frammentarie. <i>Lombari:</i> 3 danneggiate.
CINTO SCAPOLARE	<i>Destro:</i> clavicola danneggiata; si conserva la metà laterale della scapola. <i>Sinistro:</i> clavicola danneggiata; si conserva la metà laterale della scapola.
ARTI SUPERIORI	<i>Destro:</i> omero completo; radio danneggiato; ulna priva di epifisi distale; vi sono due carpali danneggiati, 2 metacarpali incompleti e 7 falangi danneggiate. <i>Sinistro:</i> omero, radio e ulna completi; vi sono 7 carpali danneggiati, 3 metacarpali integri, uno danneggiato e uno frammentario, più due falangi.
CINTO PELVICO	Coxali privi di pube. Sacro incompleto.
ARTI INFERIORI	<i>Destro:</i> femore completo; tibia incompleta in due frammenti integrabili; fibula incompleta in due frammenti non integrabili; patella completa; astragalo e calcagno completi; vi sono 5 tarsali, 5 metatarsali, 11 falangi e un sesamoide. <i>Sinistro:</i> femore, tibia, fibula e patella completi; astragalo e calcagno completi; vi sono 5 tarsali, 5 metatarsali e 4 falangi.
OSSERVAZIONI	Cranio ultrabrachicranico.

SITO ARCHEOLOGICO	Isf 06
Tomba	23
Sesso	F
Età	20 – 25 anni

CALVARIO	Quasi integro, tranne per parte dell'occipitale e della parte posteriore dello splancnocranio.
MANDIBOLA	Completa. È presente una parodontosi moderata.
GABBIA TORACICA	Sterno completo. 4 coste integre, le altre frammentarie. <i>Cervicali:</i> atlante incompleto, le altre complete. <i>Toraciche:</i> 12 complete. <i>Lombari:</i> 5 complete.
CINTO SCAPOLARE	<i>Destro:</i> scapola e clavicola complete. <i>Sinistro:</i> clavicola integra, scapola danneggiata. L'epifisi mediale di entrambe le clavicole è in via di fusione.
ARTI SUPERIORI	<i>Destro:</i> omero, radio, ulna completi; vi sono 7 carpali, 3 metacarpali e 3 falangi. <i>Sinistro:</i> omero, radio e ulna completi; vi sono 7 carpali, 5 metacarpali e 11 falangi. Su entrambe le epifisi del radio destro si notano le linee di fusione.
CINTO PELVICO	Sacro danneggiato, e su di esso si nota una parziale esposizione del canale sacrale. <i>Destro:</i> incompleto, privo di pube. <i>Sinistro:</i> incompleto in due frammenti integrabili, privo di pube.
ARTI INFERIORI	<i>Destro:</i> femore, tibia e patella completi; fibula incompleta in due frammenti integrabili; vi sono 7 tarsali, 4 metatarsali e 5 falangi; si ha anche un metatarsale frammentario. <i>Sinistro:</i> femore, tibia, fibula e patella completi; vi sono 7 tarsali, 5 metatarsali e 6 falangi. Sulla testa del femore destro è visibile la linea di fusione.
OSSERVAZIONI	È presente usura strumentale su I1 destri e sinistri, superiori e inferiori.

SITO ARCHEOLOGICO	Isf 06
Tomba	24
Sesso	Indeterminato
Età	Indeterminata

CALVARIO	Mancante.
MANDIBOLA	Mancante.
GABBIA TORACICA	Vi sono 3 frammenti di coste.
CINTO SCAPOLARE	Mancante.
ARTI SUPERIORI	Mancante.
CINTO PELVICO	Mancante.
ARTI INFERIORI	<i>Destro:</i> femore e patella mancanti; tibia integra; fibula in due frammenti integrabili; vi sono 7 tarsali, 5 metatarsali, 7 falangi e due sesamoidi. <i>Sinistro:</i> femore e patella mancanti; tibia e fibula integre; vi sono 7 tarsali, 5 metatarsali, 7 falangi e due sesamoidi.
OSSERVAZIONI	I dati disponibili non permettono di formulare un'ipotesi riguardo al sesso e all'età dell'individuo. Non conoscendo il sesso, è anche impossibile determinare la statura.

SITO ARCHEOLOGICO	Isf 06
Tomba	25
Sesso	M
Età	50 + anni

CALVARIO	Frammentario. Si riconoscono il frontale quasi integro; vi sono parti di parietali e temporali, e parte dell'arcata alveolare mascellare.
MANDIBOLA	Priva di gonion e ramo ascendente destri. M2 sinistro presenta carie occlusale, mesiale e distale.
GABBIA TORACICA	Sterno completo con manubrio danneggiato. Coste frammentarie. <i>Cervicali</i> : due danneggiate; si hanno un corpo vertebrale e frammenti di corpi e spine vertebrali. <i>Toraciche</i> : 6 danneggiate; vi sono 4 corpi vertebrali e frammenti di corpi e spine vertebrali. <i>Lombari</i> : una danneggiata; si hanno un corpo vertebrale e frammenti di corpi e spine vertebrali.
CINTO SCAPOLARE	<i>Destro</i> : clavicola danneggiata; scapola frammentaria. <i>Sinistro</i> : clavicola con epifisi danneggiate; scapola priva di margini mediale e superiore.
ARTI SUPERIORI	<i>Destro</i> : omero incompleto in due frammenti integrabili; ulna completa; radio incompleto; vi sono 6 carpali, 5 metacarpali e 14 falangi. <i>Sinistro</i> : omero completo; radio incompleto; ulna incompleta in 3 frammenti integrabili; vi sono 6 carpali, 5 metacarpali e 14 falangi.
CINTO PELVICO	Sacro e coxali frammentari.
ARTI INFERIORI	<i>Destro</i> : femore incompleto in 4 frammenti; tibia incompleta in due frammenti integrabili; fibula incompleta; patella integra; astragalo danneggiato più 5 tarsali integri; un metatarsale integro, gli altri frammentari; vi sono 4 falangi. <i>Sinistro</i> : tibia, fibula e patella integre; femore incompleto in 3 frammenti integrabili; vi sono 7 tarsali danneggiati, un metatarsale completo e 4 frammentari, e 11 falangi.
OSSERVAZIONI	Su M ₂ sinistro vi sono più carie: una mesiale, una distale e una occlusale.

SITO ARCHEOLOGICO	Isf 06
Tomba	27
Sesso	-
Età	Circa 12 anni

CALVARIO	Mancante
MANDIBOLA	Mancante
GABBIA TORACICA	Coste frammentarie. Si conservano 3 corpi vertebrali danneggiati, il resto è frammentario. Sterno mancante.
CINTO SCAPOLARE	<i>Destro:</i> mancante. <i>Sinistro:</i> rimangono un frammento di clavicola e uno di scapola.
ARTI SUPERIORI	<i>Destro:</i> frammento di radio; 2 carpali; un metacarpale integro e uno frammentario; 13 falangi complete e una frammentaria. <i>Sinistro:</i> si hanno solo 3 carpali, un metacarpale e una falange.
CINTO PELVICO	Si hanno una vertebra sacrale danneggiata e il frammento di un'altra. <i>Destro:</i> ileo incompleto in 3 frammenti non integrabili; ischio e pube danneggiati. <i>Sinistro:</i> ileo, ischio e pube danneggiati.
ARTI INFERIORI	<i>Destro:</i> femore incompleto; tibia, fibula e patella complete; astragalo, calcagno e 2 tarsali completi, e uno danneggiato; vi sono 5 metatarsali e una falange. <i>Sinistro:</i> femore, tibia, fibula e patella completi; astragalo e calcagno danneggiati; vi sono 5 tarsali danneggiati, 5 metatarsali e 5 falangi.
OSSERVAZIONI	

SITO ARCHEOLOGICO	Isf 06
Tomba	28
Sesso	-
Età	8 – 9 anni

CALVARIO	Molto frammentario, con solo alcuni frammenti integrabili. Frontale e parietale sinistro sono quasi integri; rimane la metà anteriore del parietale destro; rimane una piccola porzione di occipitale.
MANDIBOLA	Incompleta, in 3 frammenti non integrabili.
GABBIA TORACICA	Coste frammentarie. Sterno mancante. <i>Cervicali</i> : una danneggiata. <i>Toraciche</i> : 3 integre, 5 danneggiate. <i>Lombari</i> : una danneggiata. Vi sono frammenti di corpi e spine vertebrali.
CINTO SCAPOLARE	<i>Destro</i> : scapola e clavicola danneggiate. <i>Sinistro</i> : scapola integra; clavicola incompleta.
ARTI SUPERIORI	<i>Destro</i> : omero e radio completi; ulna in due frammenti integrabili; vi sono 2 carpali, 4 metacarpali e 3 falangi. <i>Sinistro</i> : omero e radio completi; ulna in due frammenti integrabili
CINTO PELVICO	<i>Destro</i> : ileo danneggiato, ischio danneggiato, pube mancante. <i>Sinistro</i> : ileo e ischio danneggiati, pube mancante. Vi sono 4 vertebre sacrali incomplete.
ARTI INFERIORI	<i>Destro</i> : femore e tibia completi; fibula in 3 frammenti integrabili; patella danneggiata; astragalo, calcagno e 4 tarsali danneggiate; vi sono 5 metatarsali e 2 falangi. <i>Sinistro</i> : femore danneggiato in due frammenti integrabili; tibia e patella complete; fibula in due frammenti integrabili; vi sono 7 tarsali danneggiate, 5 metatarsali e 8 falangi.
OSSERVAZIONI	Se non diversamente indicato, tutte le epifisi delle ossa sono da considerarsi non fuse.

SITO ARCHEOLOGICO	Isf 06
Tomba	29
Sesso	-
Età	Circa 5 anni

CALVARIO	<p>Frammentario. L'occipitale è quasi completo. Parietale sinistro incompleto in due frammenti integrabili; parietale destro completo. Frontale in frammenti non sempre integrabili. Temporale destro completo; temporale sinistro incompleto. Splanocranio frammentario, di cui si riconoscono parte dello sfenoide e le emiarcate mascellari.</p>
MANDIBOLA	Priva di condilo sinistro.
GABBIA TORACICA	<p>2 coste integre, le altre frammentarie. Dello sterno si conserva una sternebra danneggiata. <i>Cervicali</i>: atlante incompleto; epistrofeo mancante; una completa, più 4 corpi vertebrali e frammenti di spine vertebrali. <i>Toraciche</i>: una completa, più 11 corpi danneggiati e frammenti di spine vertebrali. <i>Lombari</i>: una completa, più tre corpi danneggiati e frammenti di spine vertebrali.</p>
CINTO SCAPOLARE	<p><i>Destro</i>: scapola danneggiata; clavicola in due frammenti integrabili. <i>Sinistro</i>: scapola incompleta, priva di margine mediale; clavicola danneggiata.</p>
ARTI SUPERIORI	<p><i>Destro</i>: omero e radio completi; ulna incompleta. <i>Sinistro</i>: omero incompleto; ulna frammentaria; radio incompleto in due frammenti integrabili.</p>
CINTO PELVICO	In frammenti non integrabili.
ARTI INFERIORI	Mancanti.
OSSERVAZIONI	Se non diversamente specificato, tutte le epifisi delle ossa sono da considerarsi non fuse.

SITO ARCHEOLOGICO	Isf 06
Tomba	30
Sesso	-
Età	6 ± 6 mesi

CALVARIO	Frammentario. Si riconoscono parti di parietali, di occipitale e del temporale sinistro.
MANDIBOLA	Mancante.
GABBIA TORACICA	3 coste integre, le altre frammentarie. Dello sterno si conserva il manubrio. Si conservano 25 corpi vertebrali e frammenti di corpi e spine. Vi sono 6 probabili corpi di cervicali, 12 probabili corpi di toraciche, 4 probabili corpi di lombari e 3 probabili corpi di sacrali.
CINTO SCAPOLARE	<i>Destro:</i> scapola danneggiata, clavicola mancante. <i>Sinistro:</i> scapola incompleta in due frammenti integrabili; clavicola mancante.
ARTI SUPERIORI	<i>Destro:</i> omero incompleto; ulna incompleta in due frammenti integrabili; vi sono 2 metacarpali e una falange; ci sono frammenti non determinabili. <i>Sinistro:</i> omero danneggiato; ulna incompleta.
CINTO PELVICO	<i>Destro:</i> ileo, ischio e pube completi. <i>Sinistro:</i> ileo e ischio completi; pube mancante.
ARTI INFERIORI	<i>Destro:</i> femore incompleto; tibia e fibula integre; vi è un metatarsale frammentario; vi sono frammenti non integrabili delle altre ossa. <i>Sinistro:</i> femore incompleto; fibula incompleta; vi sono 2 metatarsali; vi sono frammenti non integrabili delle varie ossa.
OSSERVAZIONI	Le ossa sono tutte non fuse.

SITO ARCHEOLOGICO	Isf 06
Tomba	31
Sesso	Indeterminato
Età	18 – 23 anni

CALVARIO	Mancante.
MANDIBOLA	Mancante.
GABBIA TORACICA	Mancante.
CINTO SCAPOLARE	Mancante.
ARTI SUPERIORI	Mancante.
CINTO PELVICO	Mancante.
ARTI INFERIORI	<i>Destro:</i> femore incompleto in due frammenti integrabili, con la testa non saldata; tibia danneggiata, sulla cui epifisi prossimale si nota la linea di fusione; patella danneggiata; fibula incompleta in due frammenti integrabili; vi sono 7 tarsali, 5 metatarsali e 5 falangi. <i>Sinistro:</i> femore mancante; tibia completa; fibula incompleta; vi sono 6 tarsali, 5 metatarsali e 8 falangi.
OSSERVAZIONI	La quantità di dati disponibili non permette di formulare ipotesi circa il sesso del soggetto.

SITO ARCHEOLOGICO	Isf 06
Tomba	32
Sesso	-
Età	Circa 9 – 10 anni

CALVARIO	Frammentario. Le ossa del neurocranio sono riconoscibili in frammenti non sempre integrabili. Lo splancnocranio è privo di parte dello sfenoide.
MANDIBOLA	Completa.
GABBIA TORACICA	Coste frammentarie. Dello sterno si conserva il manubrio incompleto. <i>Cervicali</i> : 7 complete. <i>Toraciche</i> : 2 complete, più 5 corpi vertebrali e frammenti vari. <i>Lombari</i> : frammentarie.
CINTO SCAPOLARE	<i>Destro</i> : scapola incompleta in due frammenti integrabili; clavicola completa. <i>Sinistro</i> : clavicola integra; scapola incompleta.
ARTI SUPERIORI	<i>Destro</i> : omero e ulna completi; radio incompleto; vi sono 2 carpali e 10 falangi. <i>Sinistro</i> : omero e ulna completi; radio in due frammenti integrabili; vi sono 7 carpali, 4 metacarpali e 10 falangi.
CINTO PELVICO	4 sacrali danneggiate, una incompleta. <i>Destro</i> : ileo incompleto; ischio e pube danneggiati. <i>Sinistro</i> : ileo integro; ischio e pube danneggiati.
ARTI INFERIORI	<i>Destro</i> : femore, tibia, fibula e patella completi; vi sono 7 tarsali danneggiati, 5 metatarsali e 5 falangi. <i>Sinistro</i> : femore, tibia, fibula e patella completi; vi sono 7 tarsali danneggiati, 5 metatarsali e 7 falangi.
OSSERVAZIONI	Se non diversamente specificato, le epifisi delle ossa sono da considerarsi non fuse.

SITO ARCHEOLOGICO	Isf 06
Tomba	33
Sesso	Probabile F
Età	Circa 40 anni

CALVARIO	Completo.
MANDIBOLA	In due frammenti integrabili.
GABBIA TORACICA	Vi sono frammenti di coste. Sterno mancante. Si conserva l'epistroteo completo, mentre le altre vertebre sono frammentarie.
CINTO SCAPOLARE	Mancante.
ARTI SUPERIORI	Mancanti.
CINTO PELVICO	Mancante.
ARTI INFERIORI	Mancanti.
OSSERVAZIONI	

SITO ARCHEOLOGICO	Isf 06
Tomba	37
Sesso	F
Età	Circa 25 anni

CALVARIO	Frammentario. Frontale incompleto in 4 frammenti integrabili; temporali danneggiati; occipitale incompleto in due frammenti integrabili; parietale destro incompleto in 4 frammenti integrabili; temporale sinistro incompleto in 3 frammenti integrabili; sfenoide frammentario; emiarcata mascellare destra completa, sinistra incompleta.
MANDIBOLA	Priva del condilo sinistro. Il canino inferiore destro si presenta ruotato.
GABBIA TORACICA	4 coste integre, le altre frammentarie. Dello sterno si conservano il manubrio e parte del corpo. <i>Cervicali:</i> atlante incompleto, le altre complete. <i>Toraciche:</i> vi sono 6 complete, 4 danneggiate e due corpi vertebrali. <i>Lombari:</i> 5 danneggiate.
CINTO SCAPOLARE	<i>Destro:</i> clavicola completa; scapola priva di margine mediale e superiore. <i>Sinistro:</i> clavicola completa; scapola priva di margine mediale e superiore.
ARTI SUPERIORI	<i>Destro:</i> omero completo; radio in due frammenti integrabili; ulna incompleta; vi sono 3 carpali. <i>Sinistro:</i> omero, radio e ulna completi; vi sono 8 carpali e 5 metacarpali.
CINTO PELVICO	Sacro completo. <i>Destro:</i> incompleto in 4 frammenti non tutti integrabili. <i>Sinistro:</i> incompleto in 3 frammenti non tutti integrabili.
ARTI INFERIORI	Mancanti.
OSSERVAZIONI	

SITO ARCHEOLOGICO	Isf 06
Tomba	39
Sesso	F
Età	45 – 50 anni

CALVARIO	Mancante.
MANDIBOLA	Mancante.
GABBIA TORACICA	È presente solo una vertebra lombare.
CINTO SCAPOLARE	Mancante.
ARTI SUPERIORI	Mancanti.
CINTO PELVICO	Sacro quasi completo. <i>Destro:</i> in frammenti integrabili. <i>Sinistro:</i> completo.
ARTI INFERIORI	<i>Destro:</i> femore in due frammenti integrabili; tibia, fibula e patella integre; vi sono 7 tarsali, 5 metatarsali, 6 falangi e un sesamoide. <i>Sinistro:</i> femore in due frammenti integrabili; tibia e patella integre; fibula danneggiata in due frammenti integrabili; vi sono 7 tarsali, 4 metatarsali, 7 falangi e un sesamoide.
OSSERVAZIONI	

SITO ARCHEOLOGICO	Isf 06
Tomba	40
Sesso	M
Età	Circa 17 anni

CALVARIO	Frammentario. Si conserva il frontale quasi completo; si riconoscono parti dei temporali con processo mastoideo e rocca petrosa, parti dei parietali e dell'occipitale. Si conserva l'intera arcata mascellare.
MANDIBOLA	Danneggiata e priva di condilo sinistro.
GABBIA TORACICA	Coste frammentarie. Sterno frammentario. <i>Cervicali</i> : complete. <i>Toraciche</i> : 8 complete, più 4 corpi vertebrali e 3 spine vertebrali. <i>Lombari</i> : 2 complete, 3 danneggiate.
CINTO SCAPOLARE	<i>Destro</i> : scapola frammentaria e incompleta; clavicola incompleta. <i>Sinistro</i> : clavicola danneggiata; scapola incompleta.
ARTI SUPERIORI	<i>Destro</i> : omero completo; radio incompleto in due frammenti integrabili; ulna incompleta. <i>Sinistro</i> : omero completo; radio e ulna incompleti.
CINTO PELVICO	Si conserva una sacrale frammentaria.
ARTI INFERIORI	Mancanti.
OSSERVAZIONI	M3 sia mascellari che mandibolari si presentano in eruzione.

SITO ARCHEOLOGICO	Isf 06
Tomba	42
Sesso	F
Età	30 – 35 anni

CALVARIO	Completo. Sul frontale si può notare della porosità; sul parietale sinistro si ha il segno di una forte contusione; il setto nasale risulta deviato, e in entrambe le cavità nasali si nota <i>concha bullosa</i> .
MANDIBOLA	Completa.
GABBIA TORACICA	Sterno frammentario. Due coste integre, le altre frammentarie. <i>Cervicali</i> : atlante, epistrofeo e altre 3 integre; si ha un corpo vertebrale integro e uno in due frammenti integrabili. <i>Toraciche</i> : 7 integre e 5 corpi vertebrali. Si nota lo schiacciamento di T11. <i>Lombari</i> : 3 integre, una danneggiata e un corpo vertebrale. Vi sono vari frammenti di spine vertebrali.
CINTO SCAPOLARE	<i>Destro</i> : clavicola integra; scapola incompleta, priva di buona parte della fossa infraspinata e del margine mediale. Mancano parte del margine superiore, dell'acromion e del processo coracoideo. <i>Sinistro</i> : clavicola integra; scapola incompleta. La clavicola presenta inserzioni muscolari molto sviluppate sulla porzione laterale inferiore.
ARTI SUPERIORI	<i>Destro</i> : omero e radio completi; ulna incompleta in due frammenti non integrabili; vi sono 6 carpali, 5 metacarpali e 13 falangi. Vi è una possibile frattura in ricomposizione all'epifisi distale del radio. <i>Sinistro</i> : omero, radio e ulna integri; vi sono 7 carpali, 5 metacarpali e 10 falangi.
CINTO PELVICO	Sacro completo. <i>Destro</i> : in 3 frammenti non integrabili. <i>Sinistro</i> : in 3 frammenti non integrabili.
ARTI INFERIORI	<i>Destro</i> : femore in due frammenti integrabili; tibia e fibula prive della metà distale; patella integra. <i>Sinistro</i> : femore e patella integri; tibia e fibula priva di metà distale.
OSSERVAZIONI	

SITO ARCHEOLOGICO	Isf 06
Tomba	43
Sesso	Probabile F
Età	40 – 45 anni

CALVARIO	Mancante.
MANDIBOLA	Mancante.
GABBIA TORACICA	Si hanno solo frammenti di coste, di cui due presentano le epifisi mediali con artrosi.
CINTO SCAPOLARE	<i>Destro:</i> si ha un frammento di clavicola. <i>Sinistro:</i> clavicola frammentaria; della scapola si conserva solo la cavità glenoidea.
ARTI SUPERIORI	<i>Destro:</i> si conserva un frammento di ulna; vi sono 4 carpali integri, uno frammentario; 4 metacarpali integri, uno frammentario; 12 falangi, di cui 6 presentano colore verdastro. <i>Sinistro:</i> omero privo di quarto prossimale; ulna priva di metà distale; radio incompleto in due frammenti non integrabili.
CINTO PELVICO	<i>Destro:</i> si conserva solo la sinfisi pubica. <i>Sinistro:</i> frammentario; si riconoscono la sinfisi pubica e parte del coxale.
ARTI INFERIORI	<i>Destro:</i> femore frammentario; tibia e patella integre; fibula incompleta in due frammenti non integrabili; vi sono 7 tarsali, 5 metatarsali e 6 falangi. Le ossa del primo dito presentano artrosi moderata. <i>Sinistro:</i> femore danneggiato in due frammenti integrabili; tibia integra; fibula in due frammenti integrabili; vi sono 7 tarsali, 5 metatarsali, 6 falangi e 2 sesamoidi.
OSSERVAZIONI	La determinazione di sesso ed età di questo individuo non sono certe a causa dei pochi dati utilizzabili.

SITO ARCHEOLOGICO	Isf 06
Tomba	45
Sesso	F
Età	Circa 20 anni

CALVARIO	Frammentario. Si riconoscono parti di temporale sinistro con la rocca petrosa; si conserva l'intero frontale, l'intero mascellare con tutta l'arcata alveolare; la sutura metopica non è riassorbita. Vi è usura strumentale su M ² sinistro.
MANDIBOLA	In tre frammenti integrabili, priva di entrambi i condili.
GABBIA TORACICA	Sterno mancante. Coste molto frammentarie. <i>Cervicali</i> : si ha solo l'epistrofeo. <i>Lombari</i> : 3 con corpo danneggiato. Tutte le altre vertebre sono frammentarie.
CINTO SCAPOLARE	<i>Destro</i> : clavicola incompleta; scapola incompleta. <i>Sinistro</i> : clavicola con epifisi danneggiate; scapola incompleta.
ARTI SUPERIORI	<i>Destro</i> : omero, radio e ulna completi; vi sono 8 carpali, 5 metacarpali e 11 falangi. <i>Sinistro</i> : omero privo di epifisi prossimale; radio e ulna completi; vi sono 8 carpali, un metacarpale incompleto e 4 falangi.
CINTO PELVICO	Sacro incompleto. <i>Destro</i> : coxale privo di ramo ischio-pubico e di sinfisi pubica. <i>Sinistro</i> : coxale con cresta iliaca danneggiata, privo di ramo ischio-pubico e di sinfisi.
ARTI INFERIORI	<i>Destro</i> : femore e patella mancanti; tibia incompleta in 3 frammenti non integrabili; fibula frammentaria; si hanno 7 tarsali, 5 metatarsali, 4 falangi e un sesamoide. <i>Sinistro</i> : femore in due frammenti non integrabili; tibia in due frammenti integrabili; patella danneggiata; fibula frammentaria; vi sono 7 tarsali, 4 metatarsali completi e uno in due frammenti integrabili, 9 falangi.
OSSERVAZIONI	

SITO ARCHEOLOGICO	Isf 06
Tomba	46
Sesso	M
Età	50 + anni

CALVARIO	Mancante.
MANDIBOLA	Mancante.
GABBIA TORACICA	Presenti solo L4 e L5, complete.
CINTO SCAPOLARE	Mancante.
ARTI SUPERIORI	<i>Destro:</i> omero mancante; radio incompleto; vi sono 2 carpali danneggiati, 4 metacarpali danneggiati e 12 falangi di cui 7 danneggiate. <i>Sinistro:</i> omero mancante; ulna completa; radio danneggiato; vi sono 7 carpali danneggiati, 5 metacarpali di cui 4 danneggiati, e 7 falangi.
CINTO PELVICO	Sacro incompleto. <i>Destro:</i> danneggiato. <i>Sinistro:</i> incompleto, privo di cresta iliaca.
ARTI INFERIORI	<i>Destro:</i> femore, tibia e fibula completi; patella danneggiata; vi sono 7 tarsali, 3 metatarsali completi più 2 in frammenti integrabili, 6 falangi e un sesamoide. <i>Sinistro:</i> femore completo; patella danneggiata; tibia in due frammenti integrabili con la linea poplitea molto sviluppata; fibula in due frammenti integrabili; vi sono 7 tarsali, 5 metatarsali e 10 falangi integre, più una incompleta.
OSSERVAZIONI	Sui calcagni si può notare una piccola cresta ossea sulla parte inferiore.

SITO ARCHEOLOGICO	Isf 06
Tomba	49
Sesso	Probabile F
Età	21 +

CALVARIO	Mancante.
MANDIBOLA	Mancante
GABBIA TORACICA	Mancante.
CINTO SCAPOLARE	Mancante.
ARTI SUPERIORI	Mancante.
CINTO PELVICO	Rimangono solo due frammenti del coxale destro.
ARTI INFERIORI	Destro: femore privo di quarto prossimale; tibia e patella integre; fibula in 3 frammenti integrabili; vi sono 7 tarsali, 5 metatarsali, 12 falangi e 2 sesamoidi. Sinistro: femore, tibia e fibula completi; patella danneggiata; vi sono 7 tarsali, 5 metatarsali, 14 falangi e due sesamoidi. Due falangi sono quasi fuse tra loro.
OSSERVAZIONI	La determinazione di sesso ed età non è da ritenersi affidabile a causa degli scarsi dati disponibili.

SITO ARCHEOLOGICO	Isf 06
Tomba	51
Sesso	F
Età	16 – 18 anni

CALVARIO	Mancante.
MANDIBOLA	Mancante.
GABBIA TORACICA	Mancante
CINTO SCAPOLARE	Mancante.
ARTI SUPERIORI	<i>Destro:</i> omero mancante; radio danneggiato in due frammenti integrabili; ulna incompleta in due frammenti non integrabili; vi sono 8 carpali, 3 metacarpi danneggiati più due incompleti. Si hanno 4 epifisi dissaldate. <i>Sinistro:</i> molto frammentario. Vi sono falangi non lateralizzate; 14 integre, 6 danneggiate, 2 frammentarie. 6 falangi presentano colore verdastro.
CINTO PELVICO	Sacro frammentario. <i>Destro:</i> privo di pube; si nota displasia dell'anca. <i>Sinistro:</i> si ha solo l'ischio con parte della cavità acetabolare.
ARTI INFERIORI	<i>Destro:</i> femore in due frammenti integrabili, con epifisi distale non saldata; tibia completa con epifisi prossimale non saldata; fibula in 3 frammenti integrabili con entrambe le epifisi dissaldate; patella danneggiata; astragalo e calcagno incompleti; vi sono 3 metatarsali danneggiati e 2 incompleti, e un frammento di falange. <i>Sinistro:</i> femore in due frammenti integrabili, con epifisi distale non saldata; tibia integra con epifisi prossimale non saldata; astragalo e calcagno incompleti; vi sono 4 tarsali danneggiati, 3 metatarsali danneggiati e uno incompleto.
OSSERVAZIONI	Alle tibia mancano strati superficiali di tessuto osseo. L'altezza del soggetto non è determinabile.

SITO ARCHEOLOGICO	Isf 06
Tomba	53
Sesso	F
Età	20 – 25 anni

CALVARIO	Frammentario. Rimangono i parietali integri, il frontale danneggiato (con sutura metopica non riassorbita), l'arcata mascellare in connessione con parte dello sfenoide. I due temporali sono incompleti, e l'occipitale è frammentario. Frontale, parietali, parte dell'occipitale e i temporali sono integrabili.
MANDIBOLA	Condilo sinistro danneggiato. Priva di I ₁ , I ₂ e C, destri. I ₁ destro è ruotato di circa 30° in senso antiorario.
GABBIA TORACICA	Sterno completo. Coste frammentarie, tranne una completa. <i>Cervicali</i> : atlante frammentario, epistrofeo danneggiato, più 3 complete e due incomplete. <i>Toraciche</i> : 3 complete, 8 incomplete, più un corpo vertebrale. <i>Lombari</i> : 5 incomplete.
CINTO SCAPOLARE	<i>Destro</i> : scapola incompleta; clavicola danneggiata. <i>Sinistro</i> : clavicola priva di parte dell'epifisi laterale; scapola incompleta.
ARTI SUPERIORI	<i>Destro</i> : omero e radio completi; ulna in due frammenti integrabili; vi sono 5 carpali, 3 metacarpali e 13 falangi. <i>Sinistro</i> : omero, radio e ulna completi; vi sono 8 carpali, 4 metacarpali completi più uno in due frammenti integrabili, e 10 falangi complete più una incompleta.
CINTO PELVICO	Sacro frammentario. <i>Destro</i> : in due frammenti integrabili, privo di pube e ramo superiore. <i>Sinistro</i> : privo di rame e ramo superiore.
ARTI INFERIORI	<i>Destro</i> : femore, fibula e patella completi; tibia incompleta in due frammenti integrabili; si hanno astragalo, calcagno e 2 tarsali completi, più 5 metatarsali. <i>Sinistro</i> : patella completa; femore danneggiato in due frammenti integrabili; tibia incompleta in 3 frammenti; fibula incompleta in due frammenti integrabili; si ha l'astragalo danneggiato; calcagno e 2 tarsali integri, più 5 metatarsali e 5 falangi.
OSSERVAZIONI	

SITO ARCHEOLOGICO	Isf 06
Tomba	56
Sesso	Indeterminato
Età	24 – 30 anni

CALVARIO	Si hanno solo un frammento di neurocranio e uno di rocca petrosa, per cui è impossibile effettuare misurazioni e calcolare indici.
MANDIBOLA	Rimane solo P ₁ sinistro.
GABBIA TORACICA	Rimangono solo 3 frammenti di coste.
CINTO SCAPOLARE	Mancante.
ARTI SUPERIORI	Mancanti.
CINTO PELVICO	Si ha un frammento di sacro e 2 frammenti integrabili di cresta iliaca sinistra.
ARTI INFERIORI	Destro: femore mancante; tibia in due frammenti integrabili; fibula in due frammenti integrabili; patella completa; vi sono 5 tarsali, 4 metatarsali completi e uno incompleto, e una falange. Sinistro: femore privo di testa; patella completa; tibia in due frammenti integrabili; fibula incompleta in 3 frammenti non integrabili; vi sono 7 tarsali, 4 metatarsali completi e uno incompleto, e 4 falangi.
OSSERVAZIONI	Le determinazioni di sesso ed età sono da ritenersi poco affidabili data la scarsità di dati disponibili.

SITO ARCHEOLOGICO	Isf 06
Tomba	57 Ind. A
Sesso	M
Età	36 – 44 anni

CALVARIO	Mancante.
MANDIBOLA	Mancante.
GABBIA TORACICA	<p>Coste frammentarie. Sterno mancante. <i>Cervicali</i>: atlante completo con faccette articolari sdoppiate; vi sono 2 corpi vertebrali integri e uno frammentario. Su uno si nota schiacciamento vertebrale. <i>Toraciche</i>: 11 incomplete; T3 mancante, T12 in due frammenti integrabili. Artrosi grave su T8, T9 e T10. <i>Lombari</i>: tutte e 5 in due frammenti integrabili. Si notano in totale 13 ernie di Schmorl.</p>
CINTO SCAPOLARE	<p><i>Destro</i>: frammentario. <i>Sinistro</i>: scapola frammentaria; clavicola incompleta priva di epifisi laterale.</p>
ARTI SUPERIORI	<p><i>Destro</i>: omero frammentario; radio incompleto in 4 frammenti integrabili; ulna incompleta in 3 frammenti integrabili; vi sono 8 carpali, un metacarpale e 11 falangi. <i>Sinistro</i>: omero mancante; ulna danneggiata; radio incompleto; vi sono 2 metacarpali completi e uno frammentario, e 2 falangi.</p>
CINTO PELVICO	<p>Del sacro rimane solo la prima vertebra, che presenta un'ernia. <i>Destro</i>: frammentario; si conservano parte del coxale e il corpo dell'ischio. <i>Sinistro</i>: coxale incompleto in due frammenti integrabili; si conserva la sinfisi pubica.</p>
ARTI INFERIORI	<p><i>Destro</i>: femore incompleto in 3 frammenti integrabili; patella completa; tibia incompleta in due frammenti integrabili; fibula incompleta in 3 frammenti non integrabili; calcagno incompleto; astragalo danneggiato; vi sono 4 tarsali, 5 metatarsali, 12 falangi e un sesamoide. <i>Sinistro</i>: patella completa; femore incompleto in vari frammenti integrabili; tibia in due frammenti integrabili; fibula priva di epifisi prossimale; astragalo completo; calcagno danneggiato; vi sono 5 tarsali, 5 metatarsali, 7 falangi e due sesamoidi.</p>
OSSERVAZIONI	La stima dell'età è poco affidabile a causa dei pochi dati disponibili.

SITO ARCHEOLOGICO	Isf 06
Tomba	57 Individuo B
Sesso	M
Età	Circa 25 anni

CALVARIO	Mancante
MANDIBOLA	Mancante.
GABBIA TORACICA	<p>Sterno danneggiato. Coste frammentarie. <i>Cervicali</i>: una integra. <i>Toraciche</i>: una quasi integra, più 10 corpi vertebrali di cui uno in due frammenti integrabili. <i>Lombari</i>: 3 integre, 2 prive di spina e una in due frammenti integrabili.</p>
CINTO SCAPOLARE	<p><i>Destro</i>: clavicola incompleta in due frammenti integrabili, con l'epifisi mediale non saldata; scapola incompleta in due frammenti integrabili. <i>Sinistro</i>: clavicola in due frammenti integrabili, con epifisi mediale in fusione; scapola in frammenti non integrabili.</p>
ARTI SUPERIORI	<p><i>Destro</i>: omero, radio e ulna completi; vi sono 5 carpali, 5 metacarpali e 14 falangi. <i>Sinistro</i>: omero completo; radio in due frammenti integrabili; ulna in due frammenti integrabili; vi sono 6 carpali, 5 metacarpali e 14 falangi.</p>
CINTO PELVICO	<p>Sacro danneggiato. <i>Destro</i>: incompleto in frammenti integrabili. <i>Sinistro</i>: incompleto, in due frammenti non integrabili.</p>
ARTI INFERIORI	<p><i>Destro</i>: femore in due frammenti integrabili; tibia e patella complete; fibula incompleta in 3 frammenti integrabili; astragalo e 5 tarsali completi; calcagno danneggiato; vi sono 5 tarsali, 5 metatarsali e 5 falangi. <i>Sinistro</i>: femore in 2 frammenti integrabili; tibia danneggiata; fibula priva di epifisi prossimale; patella completa; astragalo e 5 tarsali completi; calcagno danneggiato; vi sono 5 tarsali, 5 metatarsali e 7 falangi.</p>
OSSERVAZIONI	

SITO ARCHEOLOGICO	Isf 06
Tomba	58
Sesso	Probabile M
Età	16+ anni

CALVARIO	Mancante.
MANDIBOLA	Mancante.
GABBIA TORACICA	Mancante.
CINTO SCAPOLARE	Mancante.
ARTI SUPERIORI	Mancante.
CINTO PELVICO	Mancante.
ARTI INFERIORI	<p><i>Destro:</i> femore incompleto privo di quarto prossimale; tibia danneggiata; fibula incompleta priva di parte dell'epifisi distale; patella mancante; vi sono 7 tarsali danneggiati, 4 metatarsali danneggiati e uno incompleto, e 5 falangi danneggiate.</p> <p><i>Sinistro:</i> femore incompleto in 4 frammenti integrabili; tibia incompleta priva di parte dell'epifisi prossimale, e presenta una concrezione sul terzo distale della cresta tibiale; patella mancante; fibula danneggiata; vi sono 7 tarsali danneggiati, 5 metatarsali danneggiati, una falange integra e 5 danneggiate.</p>
OSSERVAZIONI	Le determinazioni di sesso ed età sono poco affidabili a causa della scarsità di dati disponibili.

SITO ARCHEOLOGICO	Isf 06
Tomba	60
Sesso	F
Età	18 – 20 anni

CALVARIO	Frammentario. Si conservano parti del frontale, dei temporali, dei temporali e dell'occipitale. L'arcata alveolare e l'osso mascellare non sono completi.
MANDIBOLA	Danneggiata. I ₁ sinistro presenta una rotazione di circa 30° in senso antiorario.
GABBIA TORACICA	Coste frammentarie. Sterno danneggiato in due frammenti integrabili. <i>Cervicali</i> : atlante ed epistrofeo fusi insieme, più 2 integre e 3 danneggiate. <i>Toraciche</i> : 12 prive di spina o danneggiate. <i>Lombari</i> : 2 integre, più 3 danneggiate.
CINTO SCAPOLARE	<i>Destro</i> : clavicola integra; scapola frammentaria. <i>Sinistro</i> : clavicola completa, scapola incompleta. Entrambe le clavicole presentano l'epifisi mediale in via di fusione.
ARTI SUPERIORI	<i>Destro</i> : omero, radio e ulna completi; vi sono 8 carpali, 5 metacarpali e 8 falangi. <i>Sinistro</i> : omero completo; ulna incompleta e con una cresta ossea sul lato mediale dell'epifisi prossimale; radio incompleto; vi sono 7 carpali, 2 metacarpali e 9 falangi.
CINTO PELVICO	Sacro incompleto. <i>Destro</i> : incompleto in due frammenti integrabili; si conserva la sinfisi pubica. <i>Sinistro</i> : incompleto.
ARTI INFERIORI	<i>Destro</i> : femore, tibia e fibula completi; patella mancante; ci sono 3 tarsali completi, più astragalo, calcagno e un altro tarsale danneggiati; si hanno 3 metatarsali completi e uno frammentario. <i>Sinistro</i> : femore e tibia completi; fibula in due frammenti integrabili; patella mancante; vi sono 6 tarsali e 5 metatarsali.
OSSERVAZIONI	

SITO ARCHEOLOGICO	Isf 06
Tomba	77
Sesso	F
Età	Circa 30 anni

CALVARIO	Calva completa. Si conserva l'arcata alveolare mascellare e parte dell'osso mascellare.
MANDIBOLA	Presenta il corpo completo, ma l'arcata alveolare danneggiata.
GABBIA TORACICA	Sterno incompleto e privo di manubrio. Vi sono 3 coste integre, le altre sono frammentarie. <i>Cervicali:</i> 7 complete. <i>Toraciche:</i> 6 complete, più 2 danneggiate e 4 corpi vertebrali. Ernia su T7. <i>Lombari:</i> 2 danneggiate.
CINTO SCAPOLARE	<i>Destro:</i> clavicola completa; scapola incompleta e frammentaria. <i>Sinistro:</i> clavicola completa; scapola danneggiata.
ARTI SUPERIORI	<i>Destro:</i> omero completo; radio e ulna incompleti privi di epifisi distale. <i>Sinistro:</i> omero completo; radio e ulna incompleti.
CINTO PELVICO	Rimane solo un frammenti di cresta iliaca.
ARTI INFERIORI	Mancanti.
OSSERVAZIONI	Si ha un frammento di osso ioide.

SITO ARCHEOLOGICO	Isf 06
Tomba	91
Sesso	M
Età	18 – 20 anni

CALVARIO	Splancnocranio quasi completo. Mancano parti dello sfenoide. Ossa temporali incomplete. Frontale incompleto in 2 frammenti integrabili, in connessione con i parietali incompleti. Occipitale in due frammenti non integrabili. Si conservano il corpo e il grande corno destro dell'osso ioide. Vi è un probabile <i>chipping</i> su P ² destro.
MANDIBOLA	Incompleta in 3 frammenti parzialmente integrabili.
GABBIA TORACICA	Vi sono 3 coste integre, le altre frammentarie. Corpo dello sterno incompleto in due frammenti integrabili; manubrio incompleto. <i>Cervicali</i> : atlante incompleto in 2 frammenti integrabili, le altre 6 complete. <i>Toraciche</i> : 12 danneggiate. <i>Lombari</i> : 5 complete, con schiacciamento su L5.
CINTO SCAPOLARE	<i>Destro</i> : clavicola integra; scapola incompleta in due frammenti integrabili. <i>Sinistro</i> : clavicola danneggiata; scapola incompleta.
ARTI SUPERIORI	<i>Destro</i> : omero in due frammenti integrabili; radio completo; ulna in 2 frammenti integrabili; vi sono 8 carpali, 5 metacarpali e 11 falangi. <i>Sinistro</i> : omero, radio e ulna completi; vi sono 8 carpali, 3 metacarpali e 11 falangi.
CINTO PELVICO	Sacro danneggiato. <i>Destro</i> : incompleto in due frammenti integrabili. <i>Sinistro</i> : incompleto in 7 frammenti non tutti integrabili.
ARTI INFERIORI	<i>Destro</i> : femore in due frammenti integrabili; patella danneggiata; tibia incompleta; fibula incompleta in 2 frammenti integrabili. <i>Sinistro</i> : femore in due frammenti integrabili; tibia incompleta; patella integra; fibula incompleta; vi sono 2 metatarsali e una falange.
OSSERVAZIONI	

V

SCHEDE DI RILEVAMENTO

SITO ARCHEOLOGICO	Isf 06
Tomba	3
Sesso	-
Età	Circa 4 anni

MISURE SCHELETRICHE DI INDIVIDUI SUBADULTI

	DX	SX
OMERO		
Lunghezza massima	NR	NR
RADIO		
Lunghezza massima	NR	NR
ULNA		
Lunghezza massima	116	NR
FEMORE		
Lunghezza massima	NR	186
TIBIA		
Lunghezza massima	148	NR
FIBULA		
Lunghezza massima	NR	145

SALDATURA EPIFISI

NR = Non rilevabile; 0 = Assenza unione; 1 = Unione parziale; 2 = Unione con linea di fusione visibile; 3 = Unione completa

	DX	SX		DX	SX
SCAPOLA			PELVI		
Acromion	0	NR	Elementi primari	0	0
Margine vertebrale	NR	NR	Cresta iliaca	0	0
Angolo inferiore	NR	NR	Tuberosità ischiatica	0	NR
CLAVICOLA			FEMORE		
Epifisi sternale	NR	NR	Testa	0	0
Epifisi acromiale	NR	NR	Grande trocantere	0	0
OMERO			Piccolo trocantere	0	0
Testa	0	NR	Epifisi distale	NR	0
Epifisi distale	0	NR	TIBIA		
Epicondilo mediale	NR	NR	Epifisi prossimale	0	NR
RADIO			Epifisi distale	0	0
Epifisi prossimale	NR	NR	OSSERVAZIONI		
Epifisi distale	NR	NR			
ULNA					
Epifisi prossimale	0	NR			
Epifisi distale	0	NR			

PATOLOGIE E DETERMINAZIONE DELL'ETÀ DI INDIVIDUI SUBADULTI

PATOLOGIE DENTARIE	A	P	NR
Ipoplasia			X
Età insorgenza ipoplasia			
PATOLOGIE SCHELETRICHE	A	P	NR
Cribra			X
Iperostosi porotica			X

CLASSE DI ETÀ

Perinatale	
6 mesi – 1 anno	
1 – 3 anni	
3 – 5 anni	X
5 – 7 anni	
7 – 10 anni	
10 – 15 anni	
15 – 18 anni	
	ETÀ IN MESI O ANNI
ETÀ SCHELETRICA	3-4 anni
ETÀ DENTARIA	4 anni
CRITERI UTILIZZATI / OSSERVAZIONI	
<p>Lunghezza delle epifisi delle ossa lunghe; Eruzione dentaria (M1 non ancora erotti, si nota bene il grado di crescita delle gemme dentarie di M1 e degli incisivi).</p>	

SITO ARCHEOLOGICO	Isf 06
Tomba	5
Sesso	-
Età	Circa 8 anni

MISURE SCHELETRICHE DI INDIVIDUI SUBADULTI

	DX	SX
OMERO		
Lunghezza massima	204	205
RADIO		
Lunghezza massima	NR	146
ULNA		
Lunghezza massima	160	159
FEMORE		
Lunghezza massima	268	270
TIBIA		
Lunghezza massima	221	224
FIBULA		
Lunghezza massima	218	220

SALDATURA EPIFISI

NR = Non rilevabile; 0 = Assenza unione; 1 = Unione parziale; 2 = Unione con linea di fusione visibile; 3 = Unione completa

	DX	SX		DX	SX
Scapola			Pelvi		
Acromion	0	0	Elementi primari	1	1
Margine vertebrale	0	NR	Cresta iliaca	0	0
Angolo inferiore	NR	NR	Tuberosità ischiatica	1	1
Clavicola			Femore		
Epifisi sternale	0	0	Testa	0	0
Epifisi acromiale	0	0	Grande trocantere	0	0
Omero			Piccolo trocantere	0	0
Testa	0	0	Epifisi distale	0	0
Epifisi distale	0	0	Tibia		
Epicondilo mediale	0	0	Epifisi prossimale	0	0
Radio			Epifisi distale	0	0
Epifisi prossimale	0	0	Osservazioni		
Epifisi distale	NR	0			
Ulna					
Epifisi prossimale	0	0			
Epifisi distale	0	0			

PATOLOGIE E DETERMINAZIONE DELL'ETÀ DI INDIVIDUI SUBADULTI

PATOLOGIE DENTARIE	A	P	NR
Ipoplasia		X	
Età insorgenza ipoplasia	2-3 anni		
PATOLOGIE SCHELETRICHE	A	P	NR
Cribrà			X
Iperostosi porotica		X	
OSSERVAZIONI			
Sopra M ¹ e C ⁷ destro e sinistro si può notare della porosità, forse dovuta a iperostosi porotica.			

CLASSE DI ETÀ

Perinatale	
6 mesi – 1 anno	
1 – 3 anni	
3 – 5 anni	
5 – 7 anni	
7 – 10 anni	X
10 – 15 anni	
15 – 18 anni	
	ETÀ IN MESI O ANNI
ETÀ SCHELETRICA	8 anni
ETÀ DENTARIA	7-8 anni
CRITERI UTILIZZATI / OSSERVAZIONI	
Caratteri metrici Eruzione e usura dentaria (M1 e I1 sono erotti, si notano le gemme dentarie di M ₂).	

SITO ARCHEOLOGICO	Isf 06
Tomba	6
Sesso	-
Età	Circa 2 anni

MISURE SCHELETRICHE DI INDIVIDUI SUBADULTI

	DX	SX
OMERO		
Lunghezza massima	119	118
RADIO		
Lunghezza massima	85	84
ULNA		
Lunghezza massima	NR	93
FEMORE		
Lunghezza massima	NR	NR
TIBIA		
Lunghezza massima	NR	124
FIBULA		
Lunghezza massima	NR	NR

SALDATURA EPIFISI

NR = Non rilevabile; 0 = Assenza unione; 1 = Unione parziale; 2 = Unione con linea di fusione visibile; 3 = Unione completa

	DX	SX		DX	SX
Scapola			Pelvi		
Acromion	0	0	Elementi primari	0	0
Margine vertebrale	0	0	Cresta iliaca	0	0
Angolo inferiore	0	0	Tuberosità ischiatica	0	0
Clavicola			Femore		
Epifisi sternale	NR	NR	Testa	0	0
Epifisi acromiale	NR	NR	Grande trocantere	0	0
Omero			Piccolo trocantere	0	0
Testa	0	0	Epifisi distale		
Epifisi distale	0	0	Tibia	0	0
Epicondilo mediale	0	0	Epifisi prossimale	0	0
Radio			Epifisi distale	0	0
Epifisi prossimale	0	0	Osservazioni		
Epifisi distale	0	0			
Ulna					
Epifisi prossimale	0	0			
Epifisi distale	0	0			

PATOLOGIE E DETERMINAZIONE DELL'ETÀ DI INDIVIDUI SUBADULTI

PATOLOGIE DENTARIE	A	P	NR
Ipoplasia			X
Età insorgenza ipoplasia			
PATOLOGIE SCHELETRICHE	A	P	NR
Cribrà			X
Iperostosi porotica			X

CLASSE DI ETÀ

Perinatale	
6 mesi – 1 anno	
1 – 3 anni	X
3 – 5 anni	
5 – 7 anni	
7 – 10 anni	
10 – 15 anni	
15 – 18 anni	
	ETÀ IN MESI O ANNI
ETÀ SCHELETRICA	Circa 24 mesi
ETÀ DENTARIA	NR
CRITERI UTILIZZATI / OSSERVAZIONI	
Lunghezza delle diafisi delle ossa lunghe.	

SITO ARCHEOLOGICO	Isf 06
Tomba	7
Sesso	M
Età	Circa 30 anni

CARATTERI METRICI, MORFOMETRICI, MORFOLOGICI, DISCONTINUI ED ERGONOMICI CRANICI

CALVARIO

1. Lunghezza massima	NR	
5. Distanza nasion – basion	NR	
8. Larghezza massima	NR	
9. Diametro frontale minimo	NR	
10. Diametro frontale massimo	NR	
17. Altezza basion – bregma	NR	
19(3). Distanza porion – bregma	d. NR	s. NR
19(4). Distanza porion – porion	NR	
20. Altezza porion – bregma	NR	
26. Arco nasion – bregma	NR	
29. Corda nasion – bregma	NR	
38. Capacità cranica al porion	NR	
38. Capacità cranica al basion	NR	
40. Distanza basion – prosthion	NR	
44(a). Corda naso – malare	NR	
44(1). Arco naso – malare	NR	
45. Larghezza massima della faccia	NR	
47. Altezza massima della faccia	NR	
48. Altezza superiore della faccia	NR	
51. Larghezza orbitaria	d. NR	s. NR
52. Altezza orbitaria	d. NR	s. NR
54. Larghezza nasale	NR	
55. Altezza nasale	NR	
60. Lunghezza dell'arcata alveolare	40	
61. Larghezza dell'arcata alveolare	62	
62. Lunghezza del palato	32	
63. Larghezza del palato	39,5	

MANDIBOLA

65. Larghezza bicondiloidea	NR	
66. Larghezza bigoniacca	100	
67. Distanza fori mentonieri	46,5	
68. Profondità del corpo	NR	
69. Altezza alla sinfisi	NR	
69(1). Altezza al foro mentoniero	d. 30	s. 31
69(3). Spessore minimo al foro ment.	d. 7	s. 8,5

INDICI

8/1. Cranico orizzontale	NR	
17/1. Vertico – longitudinale	NR	
17/8. Vertico – trasversale	NR	
20/1. Auricolo – verticale	NR	
20/8. Auricolo – verticale trasversale	NR	
9/10. Frontale trasverso	NR	
9/8. Fronto – parietale	NR	
29/26. Indice di curvatura frontale	NR	
40/5. Gnatico	NR	
44(1)/44(a). Naso – malare	NR	
47/45. Facciale totale	NR	
48/45. Facciale superiore	NR	
52/51. Orbitario	d. NR	s. NR
54/55. Nasale	NR	
61/60. Maxillo – alveolare	155	
63/62. Palatale	123,43	

CARATTERI DISCONTINUI

		DX	SX
NORMA SUPERIORE	Ossicini coronali	NR	NR
	Osso bregmatico	A	
	Ossicini sagittali	NR	
	Fori obelici	P	P
NORMA LATERALE	Osso epipterico	NR	NR
	Osso ad intacco parietale	A	NR
NORMA POSTERIORE	Osso al lambda	NR	
	Ossa wormiane lungo la sutura lambdoidea	NR	NR
	Osso epactale	NR	
	Osso asterico	NR	NR
	Linea nucale suprema	Lieve	
NORMA INFERIORE	Apertura del canale condiloideo posteriore	NR	NR
	Sdoppiamento della faccetta condiloidea	NR	NR
	Tubercolo precondiloideo	NR	NR
	Tubercolo faringeo	NR	NR
NORMA ANTERIORE	Sutura metopica	A	
	Forame sopraorbitario completo	NR	NR
	Forame frontale	NR	NR
	Forame infraorbitario accessorio	NR	NR
	Forame zigomatico	NR	NR

CARATTERI MORFOLOGICI

Cliноcefalia	A
Batrocefalia	A

CARATTERI ERGONOMICI

	DX	SX
Toro palatino	A	
Toro mandibolare	A	A
Toro mascellare	A	A

SCHEDA DENTARIA

MASCELLARE

DX													SX		
M3	M2	M1	P2	P1	C	I2	I1	I1	I2	C	P1	P2	M1	M2	M3
-	/ 4	/ 4	/ 4	/ 4	/ 5	/ 5	/ 5	/ 5	/ 5	/ 5	/ 4	/ 4	-	/ 5	-
	t	t	t	T	T	T	T	T	T	T	t	t		t	

MANDIBOLARE

DX													SX		
M3	M2	M1	P2	P1	C	I2	I1	I1	I2	C	P1	P2	M1	M2	M3
-	C o 6	-	/ 4	/ 4	/ 4	(-)	(-)	(-)	(-)	/ 4	/ 4	/ 4	/ 5	/ 4	Co 4
	t i		t i	t	t i					t i	t i	t	t	t i	t /

ETÀ INSORGENZA IPOPLASIA (y = anni; m = mesi)

	M2	M1	P2	P1	C'	I2	I1	I1	I2	C'	P1	P2	M1	M2
MASCELLARE														
MANDIBOLARE	4 y		3-4 y		3-4 y			3-4 y			4 y			5 y

ARTROSI TEMPORO-MANDIBOLARE

	Sì	No	NR
Fossetta DX		X	
Condilo DX		X	
Fossetta SX		X	
Condilo SX			X

+	Dente <i>in situ</i>	A	Ascesso alveolare fistolizzato (parete alveolare distrutta)
-	Dente caduto <i>intra vitam</i>		
(-)	Dente caduto <i>post mortem</i>	g	Granuloma (dente perduto e fondo alveolare slargato)
O	Dente agenesiaco		
Incl.	Dente incluso	CD	Carie distruente
...	Tratto alveolare mancante	Cm	Carie mesiale
1-7	Usura	Cd	Carie distale
t	Tartaro	Cl	Carie linguale
T	Tartaro massivo	Cv	Carie vestibolare
TT	Tartaro che ingloba il dente	Co	Carie oclusale
i	Ipoplasia dello smalto	Cclt	Carie al colletto

**CARATTERI METRICI, MORFOMETRICI, MORFOLOGICI, DISCONTINUI ED
ERGONOMICI DEL CINTO SCAPOLARE E DELL'ARTO SUPERIORE**

CLAVICOLA	DX	SX
1. Lunghezza massima	161	162
6. Circonferenza mediana	41	39
6/1. Indice di robustezza	25,4	24,07
Notch-like defect	A	A
Inserzione del grande pettorale	Moderata	Moderata
Porosità della superficie articolare per l'acromion	Lieve	Lieve
SCAPOLA	DX	SX
Solco circonflesso	A	A
OMERO	DX	SX
1. Lunghezza massima	368	361
2. Lunghezza totale	360	353
5. Diametro massimo a metà diafisi	26	25
6. Diametro minimo a metà diafisi	22	22
7. Circonferenza minima	71	74
7/1. Indice di robustezza	19,2	20,4
6/5. Indice diafisario	84,6	88
Apertura setto fossa olecranica	A	A
Processo sopracondiloideo	A	A
Doccia bicipitale	Lieve	Lieve
Tuberosità deltoidea	Lieve	Lieve
Esostosi dell'epicondilo mediale	A	A
RADIO	DX	SX
1. Lunghezza massima	270	266
2. Lunghezza fisiologica	255	252
3. Circonferenza minima	47	43
3/2. Indice di robustezza	18,4	17,06
Entesofiti sulla tuberosità bicipitale	A	A
ULNA	DX	SX
1. Lunghezza massima	293	291
2. Lunghezza fisiologica	259	257
3. Circonferenza minima	44	42
13. Diametro trasversale superiore	20	18
14. Diametro dorso – volare superiore	16	16
3/2. Indice di robustezza	16,9	16,3
13/14. Indice olenico	125	112,5
Entesofiti sul margine superiore olecrano	A	A
Entesofiti sul margine inferiore incisura radiale	A	A

INDICI

	DX	SX
1Cl/1Om. Clavicolo – omerale	43,7	44,8
1Ra/2Om. Radio – omerale	75	75,3

STATURA (in cm)

	DX	SX	D.S.
OMERO	183,7	181,65	± 4,05
RADIO	181,07	179,55	± 4,32
ULNA	183,31	182,57	± 4,32
FEMORE	181,12	180,64	± 3,27
TIBIA	182,44	181,94	± 3,37
FEMORE+TIBIA	182,85	182,33	± 2,99
FIBULA	NR	179,78	± 3,29
STATURA MEDIA		181,76	± 3,65

**CARATTERI METRICI, MORFOMETRICI, MORFOLOGICI, DISCONTINUI ED
ERGONOMICI DEL CINTO PELVICO E DELL'ARTO INFERIORE**

SACRO

	DX	SX
Faccette articolari accessorie	A	A

COXALE

	DX	SX
14(1). Diametro cotilo – sciatico	NR	38
15(1). Altezza sciatica	NR	NR
15(1)/14(1). Indice cotilo – sciatico	NR	NR
Solco sul fondo dell'acetabolo	A	A

BACINO

	DX	SX
Faccette articolari accessorie	NR	NR
2. Larghezza massima	175	
5. Larghezza antero – superiore	NR	
23. Diametro sagittale	NR	
24. Diametro trasversale	NR	
23/24. Indice di ingresso	NR	

FEMORE

	DX	SX
1. Lunghezza massima	503	501
2. Lunghezza fisiologica	500	499
6. Diametro sagittale	29,5	30
7. Diametro trasversale	31	33,5
9. Diametro trasversale superiore	37	38,5
10. Diametro sagittale superiore	30	29
(6+7)/2. Indice di robustezza	12,1	12,7
6/7. Indice pilastrico	95,1	89,5
10/9. Indice merico	81,1	75,3
Terzo trocantere	A	A
Inserzione del grande gluteo	Lieve	Lieve
Faccetta di Poirier	A	P
Placca sul collo	A	A
Fossa di Allen	A	A
Esostosi della fossa trocanterica	P	P

PATELLA

	DX	SX
Intacco del vasto	A	Lieve

TIBIA

	DX	SX
1. Lunghezza massima	412	410
8a. Diametro sagittale al foro nutrizio	38,5	39
9a. Diametro trasversale al foro nutrizio	26,5	26,5
10b. Circonferenza minima	85	84
10b/1. Indice di robustezza	20,2	20,5
9a/8a. Indice cnemico	68,8	67,9
Faccette bordo anteriore epifisi distale	A	A
Linea poplitea	Lieve	Lieve

FIBULA

	DX	SX
1. Lunghezza massima	NR	403
4a. Circonferenza minima	40	36
4a/1. Indice di robustezza	NR	8,9
Scanalature della diafisi	Lievi	Lievi

ASTRAGALO

	DX	SX
Osso trigono	A	A
Faccetta sul collo	A	A

CALCAGNO

	DX	SX
Faccetta calcaneare sdoppiata	A	A
Tubercolo peroneale	A	A
Esostosi inserzione tendine d'Achille	Moderata	Moderata
Sperone calcaneare	A	A

INDICI

	DX	SX
1Ti/2Fem Indice crurale	82,4	82,1

INDICI DI SESSUAZIONE DEL CRANIO E DEL BACINO

CRANIO

	Valore W	-2	-1	0	1	2	NR	Valore Wx
Glabella	3						X	/
Processo mastoideo	3				X			3
Rilievi del piano nucale	3				X			3
Processo zigomatico del temporale	3						X	/
Mandibola	3				X			3
Mento	2			X				0
Arco sopraciliare	2						X	/
Osso zigomatico	2						X	/
TOT	11							9

BACINO

	Valore W	-2	-1	0	1	2	NR	Valore Wx
Solco preauricolare	3						X	/
Grande incisura ischiatica	3				X			3
Angolo sottopubico	3					X		6
Forame otturato	2						X	/
Osso dell'anca	2						X	/
Arco composto	2						X	/
Corpo dell'ischio	2				X			2
Cresta iliaca	1				X			1
TOT	9							12

CRANIO

	F	I tendente F	I	I tendente M	M
$M = W_x/W = 9/11 = 0,8$				X	

BACINO

	F	I tendente F	I	I tendente M	M
$M = W_x/W =$					X

DETERMINAZIONE DEL SESSO TRAMITE CARATTERI METRICI

	DX	SX	F	I - F	I	I - M	M
STERNO							
Lunghezza	NR						
SCAPOLA							
Lunghezza cavità glenoidea	NR	35			X		
CLAVICOLA							
Lunghezza	161	162					X
OMERO							
Diametro verticale della testa	46	44			X		
FEMORE							
Diametro verticale della testa	50	50					X
Diametro massimo della testa	51	51					X
Lunghezza fisiologica	500	499					X
Circonferenza a metà diafisi	98	102					X
Larghezza bicondiloidea	86	86					X

F	I tendente F	I	I tendente M	M
				X

SCHEMA DI RILEVAMENTO PATOLOGICO

	A	P	NR	LIEVE	MODERATA	GRAVE
PATOLOGIE DENTARIE						
Ipoplasia		X				
Età insorgenza ipoplasia	Circa 4 anni					
Parodontosi		X		X		
Usura strumentale	X					
Malposizionamenti	X					
Caratteri dentari	X					
PATOLOGIE SCHELETRICHE						
Cribrà			X			
Iperostosi parotica	X					
Ernie di Schmorl		2		1 toracica, 1 lombare		
Periostiti	X					
Fratture	X					
Osteite ischiatica	X					
ARTROSI						
Atlanto – occipitale	X					
Spondiloartrosi		X		X		
Cervicali		X		X		
Toraciche		X		X		
Lombari		X		X		
Sacrali		X		X		
Spalla	X					
Gomito	X					
Polso	X					
Mano	X					
Sterno – clavicolare	X					
Sterno – costale			X			
Costo – vertebrale			X			
Sacro – iliaca		X		X		
Coxartrosi	X					
Ginocchio	X					
Caviglia	X					
Piede	X					

CRITERI PER LA DETERMINAZIONE DI SESSO ED ETÀ

DETERMINAZIONE DEL SESSO

CRANIO	Morfologia dei punti più caratterizzanti (processi mastoidei, forma della mandibola, rilievi del piano nucale)
BACINO	Morfologia dei punti più caratterizzanti (angolo sottopubico, grande incisura ischiatica, cresta iliaca) Morfologia generale del bacino
ALTRO	Caratteri metrici

DETERMINAZIONE DELL'ETÀ

CRANIO	Usura ed eruzione dentaria
BACINO	Morfologia delle sinfisi pubiche
ALTRO	Morfologia delle terminazioni sternali delle coste Fusione delle epifisi medialì delle clavicole

SITO ARCHEOLOGICO	Isf 06
Tomba	8
Sesso	F
Età	Circa 25

CARATTERI METRICI, MORFOMETRICI, MORFOLOGICI, DISCONTINUI ED ERGONOMICI CRANICI

CALVARIO

1. Lunghezza massima	163	
5. Distanza nasion – basion	NR	
8. Larghezza massima	138	
9. Diametro frontale minimo	92	
10. Diametro frontale massimo	114	
17. Altezza basion – bregma	NR	
19(3). Distanza porion – bregma	d. NR	s. NR
19(4). Distanza porion – porion	NR	
20. Altezza porion – bregma	NR	
26. Arco nasion – bregma	NR	
29. Corda nasion – bregma	NR	
38. Capacità cranica al porion	NR	
38. Capacità cranica al basion	NR	
40. Distanza basion – prosthion	NR	
44(a). Corda naso – malare	NR	
44(1). Arco naso – malare	NR	
45. Larghezza massima della faccia	NR	
47. Altezza massima della faccia	NR	
48. Altezza superiore della faccia	NR	
51. Larghezza orbitaria	d. NR	s. NR
52. Altezza orbitaria	d. NR	s. NR
54. Larghezza nasale	NR	
55. Altezza nasale	NR	
60. Lunghezza dell'arcata alveolare	NR	
61. Larghezza dell'arcata alveolare	NR	
62. Lunghezza del palato	NR	
63. Larghezza del palato	NR	

MANDIBOLA

65. Larghezza bicondiloidea	112	
66. Larghezza bigoniaca	106	
67. Distanza fori mentonieri	45	
68. Profondità del corpo	NR	
69. Altezza alla sinfisi	NR	
69(1). Altezza al foro mentoniero	d. 28	s. 27
69(3). Spessore minimo al foro ment.	d. 8	s. 8

INDICI

8/1. Cranico orizzontale	84,6	
17/1. Vertico – longitudinale	NR	
17/8. Vertico – trasversale	NR	
20/1. Auricolo – verticale	NR	
20/8. Auricolo – verticale trasversale	NR	
9/10. Frontale trasverso	80,7	
9/8. Fronto – parietale	66,6	
29/26. Indice di curvatura frontale	NR	
40/5. Gnatico	NR	
44(1)/44(a). Naso – malare	NR	
47/45. Facciale totale	NR	
48/45. Facciale superiore	NR	
52/51. Orbitario	d. NR	s. NR
54/55. Nasale	NR	
61/60. Maxillo – alveolare	NR	
63/62. Palatale	NR	

CARATTERI DISCONTINUI

		DX	SX
NORMA SUPERIORE	Ossicini coronali	P	A
	Osso bregmatico	A	
	Ossicini sagittali	A	
	Fori obelici	A	A
NORMA LATERALE	Osso epipterico	NR	NR
	Osso ad intacco parietale	NR	NR
NORMA POSTERIORE	Osso al lambda	A	
	Ossa wormiane lungo la sutura lambdoidea	P	P
	Osso epactale	A	
	Osso asterico	A	A
	Linea nucale suprema	A	
NORMA INFERIORE	Apertura del canale condiloideo posteriore	NR	NR
	Sdoppiamento della faccetta condiloidea	NR	NR
	Tubercolo precondiloideo	NR	NR
	Tubercolo faringeo	NR	NR
NORMA ANTERIORE	Sutura metopica	A	
	Forame sopraorbitario completo	A	A
	Forame frontale	A	A
	Forame infraorbitario accessorio	NR	NR
	Forame zigomatico	NR	NR

CARATTERI MORFOLOGICI

Cliноcefalia	Lieve
Batrocefalia	A

CARATTERI ERGONOMICI

	DX	SX
Toro palatino	NR	
Toro mandibolare	A	A
Toro mascellare	A	A

SCHEDA DENTARIA

MASCELLARE

DX													SX		
M3	M2	M1	P2	P1	C'	I2	I1	I1	I2	C'	P1	P2	M1	M2	M3
(-)	/ 2	^C _m 3	/ 3	/ 3	/ 3	/ 3	/ 4	/ 4	/ 3	/ 2	/ 3	/ 3	/ 3	/ 2	/ 1
	/ /	/ /	/ /	/ /	/ /	/ /	/ i	/ i	/ /	/ i	/ /	/ /	/ /	/ /	/ /

MANDIBOLARE

DX													SX		
M3	M2	M1	P2	P1	C'	I2	I1	I1	I2	C'	P1	P2	M1	M2	M3
/ 2	/ 3	/ 3	/ 2	/ 3	/ 3			/ 3	/ 3	/ 3	/ 3		/ 3	/ 3	
/ /	/ i	/ i	/ i	/ i	t i	(-)	(-)	t i	t /	t i	/ /	O	/ /	/ i	(-)

ETÀ INSORGENZA IPOPLASIA (y = anni, m = mesi)

	M2	M1	P2	P1	C'	I2	I1	I1	I2	C'	P1	P2	M1	M2
MASCELLARE	NR	NR	NR	NR	NR	NR	2y	2-3y	NR	A	A	A	A	A
MANDIBOLARE	5-6y	2y	5y	3-4y 5y	2y	A	A	2-3y	NR	2-3y 4y	A	NR	A	4y 5y

ARTROSI TEMPORO-MANDIBOLARE

	Sì	No	NR
Fossetta DX		X	
Condilo DX	X		
Fossetta SX		X	
Condilo SX		X	

+	Dente <i>in situ</i>	A	Ascesso alveolare fistolizzato (parete alveolare distrutta)
-	Dente caduto <i>intra vitam</i>		
(-)	Dente caduto <i>post mortem</i>	g	Granuloma (dente perduto e fondo alveolare slargato)
O	Dente agenesiaco		
Incl.	Dente incluso	CD	Carie distruente
...	Tratto alveolare mancante	Cm	Carie mesiale
1-7	Usura	Cd	Carie distale
t	Tartaro	Cl	Carie linguale
T	Tartaro massivo	Cv	Carie vestibolare
TT	Tartaro che ingloba il dente	Co	Carie occlusale
i	Ipoplasia dello smalto	Cclt	Carie al colletto

**CARATTERI METRICI, MORFOMETRICI, MORFOLOGICI, DISCONTINUI ED
ERGONOMICI DEL CINTO SCAPOLARE E DELL'ARTO SUPERIORE**

CLAVICOLA	DX	SX
1. Lunghezza massima	NR	118
6. Circonferenza mediana	NR	32
6/1. Indice di robustezza	NR	27,1
Notch-like defect	NR	P
Inserzione del grande pettorale	NR	Lieve
Porosità della superficie articolare per l'acromion	NR	Lieve
SCAPOLA	DX	SX
Solco circonflesso	NR	NR
OMERO	DX	SX
1. Lunghezza massima	NR	274
2. Lunghezza totale	NR	267
5. Diametro massimo a metà diafisi	NR	20
6. Diametro minimo a metà diafisi	NR	14
7. Circonferenza minima	NR	53
7/1. Indice di robustezza	NR	19,3
6/5. Indice diafisario	NR	70
Apertura setto fossa olecranica	NR	A
Processo sopracondiloideo	NR	A
Doccia bicipitale	NR	Lieve
Tuberosità deltoidea	NR	Lieve
Esostosi dell'epicondilo mediale	NR	A
RADIO	DX	SX
1. Lunghezza massima	204	206
2. Lunghezza fisiologica	194	197
3. Circonferenza minima	36	37
3/2. Indice di robustezza	18,5	18,7
Entesofiti sulla tuberosità bicipitale	P	A
ULNA	DX	SX
1. Lunghezza massima	228	224
2. Lunghezza fisiologica	200	197
3. Circonferenza minima	32	32
13. Diametro trasversale superiore	14	13
14. Diametro dorso – volare superiore	14	14
3/2. Indice di robustezza	16	16,2
13/14. Indice olenico	100	92,8
Entesofiti sul margine superiore olecrano	A	A
Entesofiti sul margine inferiore incisura radiale	A	A

INDICI

	DX	SX
1Cl/1Om. Clavicolo – omerale	NR	43,06
1Ra/2Om. Radio – omerale	NR	77,1

STATURA (in cm)

	DX	SX	D.S.
OMERO	NR	150,03	± 4,45
RADIO	151,62	152,57	± 4,24
ULNA	155,11	153,40	± 4,3
FEMORE	NR	NR	±
TIBIA	NR	NR	±
FEMORE+TIBIA	NR	NR	±
FIBULA	NR	NR	±

STATURA MEDIA		152,54	± 4,3
----------------------	--	--------	-------

INDICI DI SESSUAZIONE DEL CRANIO E DEL BACINO

CRANIO

	Valore W	-2	-1	0	1	2	NR	Valore Wx
Glabella	3			X				0
Processo mastoideo	3		X					-3
Rilievi del piano nucale	3				X			+3
Processo zigomatico del temporale	3						X	/
Mandibola	3		X					-3
Mento	2		X					-2
Arco sopraciliare	2			X				0
Osso zigomatico	2						X	/
TOT:	16							TOT: -5

BACINO

	Valore W	-2	-1	0	1	2	NR	Valore Wx
Solco preauricolare	3						X	
Grande incisura ischiatica	3						X	
Angolo sottopubico	3						X	
Forame otturato	2						X	
Osso dell'anca	2						X	
Arco composto	2						X	
Corpo dell'ischio	2						X	
Cresta iliaca	1						X	
TOT								TOT

CRANIO

	F	I tendente F	I	I tendente M	M
$M = W_x/W =$					

BACINO

	F	I tendente F	I	I tendente M	M
$M = W_x/W = -5/16 = -0,3$		X			

DETERMINAZIONE DEL SESSO TRAMITE CARATTERI METRICI

	DX	SX	F	I - F	I	I - M	M
STERNO							
Lunghezza	134			X			
SCAPOLA							
Lunghezza cavità glenoidea	NR	NR					
CLAVICOLA							
Lunghezza	118	NR	X				
OMERO							
Diametro verticale della testa	37	NR	X				
FEMORE							
Diametro verticale della testa	NR	NR					
Diametro massimo della testa	NR	NR					
Lunghezza fisiologica	NR	NR					
Circonferenza a metà diafisi	NR	NR					
Larghezza bicondiloidea	NR	NR					

F	I tendente F	I	I tendente M	M
X				

SCHEDA DI RILEVAMENTO PATOLOGICO

	A	P	NR	LIEVE	MODERATA	GRAVE
PATOLOGIE DENTARIE						
Ipoplasia		X				
Età insorgenza ipoplasia	Un episodio a circa 2 anni, un altro tra i 3 e i 5 anni					
Parodontosi	X					
Usura strumentale	X					
Malposizionamenti						
Caratteri dentari		X				
PATOLOGIE SCHELETRICHE						
Cribra	X					
Iperostosi porotica	X					
Ernie di Schmorl		1		Toracica		
Periostiti	X					
Fratture	X					
Osteite ischiatica	X					
ARTROSI						
Atlanto – occipitale	X					
Spondiloartrosi	X					
Cervicali	X					
Toraciche	X					
Lombari	X					
Sacrali	X					
Spalla	X					
Gomito	X					
Polso	X					
Mano	X					
Sterno – clavicolare	X					
Sterno – costale	X					
Costo – vertebrale	X					
Sacro – iliaca	X					
Coxartrosi	X					
Ginocchio	X					
Caviglia	X					
Piede	X					

CRITERI PER LA DETERMINAZIONE DI SESSO ED ETÀ

DETERMINAZIONE DEL SESSO

CRANIO	Morfologia dei punti più caratterizzanti (processi mastoidei, glabella, rilievi nucai, mandibola, mento).
BACINO	Mancante.
ALTRO	Caratteri metrici.

DETERMINAZIONE DELL'ETÀ

CRANIO	Eruzione e usura dentaria.
BACINO	Mancante.
ALTRO	Epifisi mediale della clavicola destra non saldata completamente.

SITO ARCHEOLOGICO	Isf 06
Tomba	9
Sesso	M
Età	40 – 45 anni

CARATTERI METRICI, MORFOMETRICI, MORFOLOGICI, DISCONTINUI ED ERGONOMICI CRANICI

CALVARIO

1. Lunghezza massima	NR	
5. Distanza nasion – basion	NR	
8. Larghezza massima	151	
9. Diametro frontale minimo	100	
10. Diametro frontale massimo	125	
17. Altezza basion – bregma	NR	
19(3). Distanza porion – bregma	d. NR	s. NR
19(4). Distanza porion – porion	NR	
20. Altezza porion – bregma	NR	
26. Arco nasion – bregma	NR	
29. Corda nasion – bregma	NR	
38. Capacità cranica al porion	NR	
38. Capacità cranica al basion	NR	
40. Distanza basion – prosthion	NR	
44(a). Corda naso – malare	NR	
44(1). Arco naso – malare	NR	
45. Larghezza massima della faccia	NR	
47. Altezza massima della faccia	NR	
48. Altezza superiore della faccia	NR	
51. Larghezza orbitaria	d. NR	s. NR
52. Altezza orbitaria	d. NR	s. NR
54. Larghezza nasale	NR	
55. Altezza nasale	NR	
60. Lunghezza dell'arcata alveolare	53	
61. Larghezza dell'arcata alveolare	68	
62. Lunghezza del palato	NR	
63. Larghezza del palato	42	

MANDIBOLA

65. Larghezza bicondiloidea	NR	
66. Larghezza bigoniaca	106	
67. Distanza fori mentonieri	46	
68. Profondità del corpo	74	
69. Altezza alla sinfisi	29	
69(1). Altezza al foro mentoniero	d. 10	s. 11
69(3). Spessore minimo al foro ment.	d. 8	s. 8

INDICI

8/1. Cranico orizzontale	NR	
17/1. Vertico – longitudinale	NR	
17/8. Vertico – trasversale	NR	
20/1. Auricolo – verticale	NR	
20/8. Auricolo – verticale trasversale	NR	
9/10. Frontale trasverso	80	
9/8. Fronto – parietale	66,2	
29/26. Indice di curvatura frontale	NR	
40/5. Gnatico	NR	
44(1)/44(a). Naso – malare	NR	
47/45. Facciale totale	NR	
48/45. Facciale superiore	NR	
52/51. Orbitario	d. NR	s. NR
54/55. Nasale	NR	
61/60. Maxillo – alveolare	128,3	
63/62. Palatale	NR	

CARATTERI DISCONTINUI

		DX	SX
NORMA SUPERIORE	Ossicini coronali	A	A
	Osso bregmatico	A	
	Ossicini sagittali	P	
	Fori obelici	P	P
NORMA LATERALE	Osso epipterico	NR	A
	Osso ad intacco parietale	NR	A
NORMA POSTERIORE	Osso al lambda	A	
	Ossa wormiane lungo la sutura lambdoidea	A	A
	Osso epactale	A	
	Osso asterico	A	A
	Linea nucale suprema	NR	
NORMA INFERIORE	Apertura del canale condiloideo posteriore	NR	NR
	Sdoppiamento della faccetta condiloidea	NR	NR
	Tubercolo precondiloideo	NR	NR
	Tubercolo faringeo	NR	NR
NORMA ANTERIORE	Sutura metopica	A	
	Forame sopraorbitario completo	P	P
	Forame frontale	A	A
	Forame infraorbitario accessorio	NR	NR
	Forame zigomatico	NR	NR

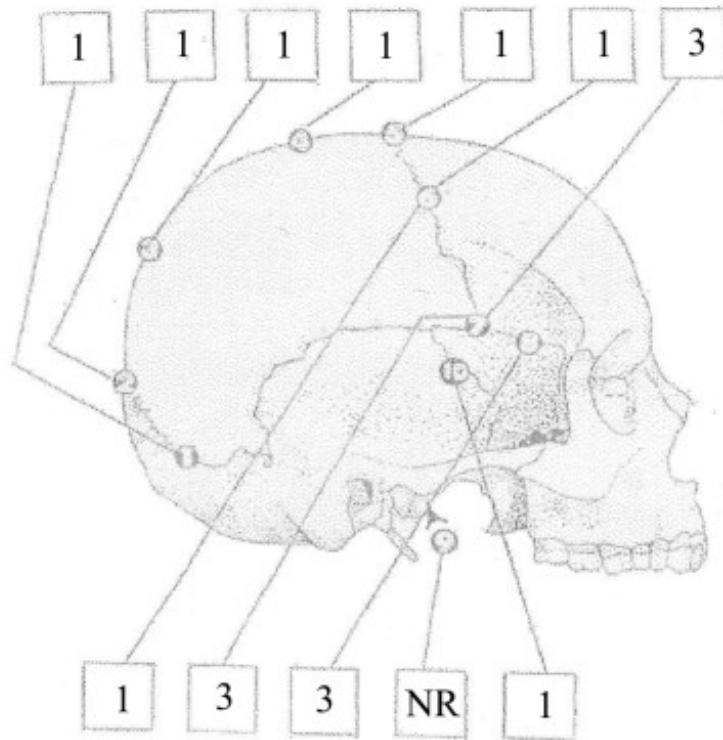
CARATTERI MORFOLOGICI

Cliноcefalia	A
Batrocefalia	Lieve

CARATTERI ERGONOMICI

	DX	SX
Toro palatino	A	
Toro mandibolare	A	A
Toro mascellare	A	A

SINOSTOSI DELLE SUTURE CRANICHE



Legenda	
Ogni punto considera un'area di 1 cm, classificata in uno stadio di sinostosi tra i seguenti	
0	Sinostosi aperta, nessuna traccia di sinostosi ectocranica
1	Sinostosi minima, da un singolo ponte osseo al 50% di sinostosi
2	Sinostosi significativa, superiore al 50% di sinostosi
3	Sinostosi completa, con totale oblitterazione della sutura

Sistema della volta					Sistema laterale anteriore				
Punti	Età media	S. D.	Int. dec.	Range	Punti	Età media	S. D.	Int. dec.	Range
0	-	-	< 35	< 49	0	-	-	< 43	< 50
1 - 2	30,5	9,6	19 - 44	18 - 45	1	32	8,3	21 - 42	19 - 48
3 - 4 - 5 - 6	34,7	7,8	23 - 45	22 - 48	2	36,2	6,2	29 - 44	25 - 49
7 - 8 - 9 - 10 - 11	39,4	9,1	28 - 44	24 - 60	3 - 4 - 5	41,1	10	28 - 52	23 - 68
12 - 13 - 14 - 15	45,2	12,6	31 - 65	24 - 75	6	43,4	10,7	30 - 54	23 - 63
16 - 17 - 18	48,8	10,5	35 - 60	30 - 71	7 - 8	45,5	8,9	35 - 57	32 - 65
19 - 20	51,5	12,6	34 - 63	23 - 76	9 - 10	51,9	12,5	39 - 69	33 - 76
21	-	-	> 43	> 40	11 - 12 - 13 - 14	56,2	8,5	49 - 65	34 - 68
					15	-	-	-	-

Sistema	Punti	Età media	S. D.	Int. dec.	Range
Volta	9	39,4	9,1	28 - 44	24 - 60
Laterale anteriore	NR	NR	NR	NR	NR

SCHEDA DENTARIA

MASCELLARE

DX													SX			
M3	M2	M1	P2	P1	C'	I2	I1	I1	I2	C'	P1	P2	M1	M2	M3	
/	3	/	4	-	/	5	/	5	/	5	/	5	/	4	3	
/	/	/	/	/	/	/	/	/	/	/	/	/	/	/	/	

MANDIBOLARE

DX													SX			
M3	M2	M1	P2	P1	C'	I2	I1	I1	I2	C'	P1	P2	M1	M2	M3	
/	3	/	3	/	4	/	4	/	4	/	5	/	5	/	5	
/	/	/	/	/	/	/	/	/	/	/	/	/	/	/	/	

ETÀ INSORGENZA IPOPLASIA (y = anni; m = mesi)

	M2	M1	P2	P1	C	I2	I1	I1	I2	C	P1	P2	M1	M2
MASCELLARE					2-3 y		10 m			2 y				
MANDIBOLARE					3 y	2-3 y		2 y		2 y				

ARTROSI TEMPORO-MANDIBOLARE

	Sì	No	NR
Fossetta DX		X	
Condilo DX	X		
Fossetta SX			X
Condilo SX			X

+	Dente <i>in situ</i>	A	Ascesso alveolare fistolizzato (parete alveolare distrutta)
-	Dente caduto <i>intra vitam</i>		
(-)	Dente caduto <i>post mortem</i>	g	Granuloma (dente perduto e fondo alveolare slargato)
O	Dente agenesiaco		
Incl.	Dente incluso	CD	Carie destruyente
...	Tratto alveolare mancante	Cm	Carie mesiale
1-7	Usura	Cd	Carie distale
t	Tartaro	Cl	Carie linguale
T	Tartaro massivo	Cv	Carie vestibolare
TT	Tartaro che ingloba il dente	Co	Carie oclusale
i	Ipoplasi dello smalto	Cclt	Carie al colletto

**CARATTERI METRICI, MORFOMETRICI, MORFOLOGICI, DISCONTINUI ED
ERGONOMICI DEL CINTO SCAPOLARE E DELL'ARTO SUPERIORE**

CLAVICOLA	DX	SX
1. Lunghezza massima	142	150
6. Circonferenza mediana	39	40
6/1. Indice di robustezza	27,4	26,6
Notch-like defect	P	P
Inserzione del grande pettorale	Moderata	Lieve
Porosità della superficie articolare per l'acromion	Moderata	Lieve
SCAPOLA	DX	SX
Solco circonflesso	A	A
OMERO	DX	SX
1. Lunghezza massima	NR	314
2. Lunghezza totale	NR	307
5. Diametro massimo a metà diafisi	22	23
6. Diametro minimo a metà diafisi	17	17
7. Circonferenza minima	60	60
7/1. Indice di robustezza	NR	19,1
6/5. Indice diafisario	77,2	73,9
Apertura setto fossa olecranica	A	A
Processo sopracondiloideo	A	A
Doccia bicipitale	Lieve	Lieve
Tuberosità deltoidea	Lieve	Moderata
Esostosi dell'epicondilo mediale	A	A
RADIO	DX	SX
1. Lunghezza massima	234	NR
2. Lunghezza fisiologica	223	221
3. Circonferenza minima	39	38
3/2. Indice di robustezza	17,4	17,1
Entesofiti sulla tuberosità bicipitale	P	P
ULNA	DX	SX
1. Lunghezza massima	260	NR
2. Lunghezza fisiologica	227	NR
3. Circonferenza minima	39	NR
13. Diametro trasversale superiore	20	21
14. Diametro dorso – volare superiore	23	22
3/2. Indice di robustezza	17,1	NR
13/14. Indice olenico	86,9	95,4
Entesofiti sul margine superiore olecrano	A	P
Entesofiti sul margine inferiore incisura radiale	P	NR

INDICI

	DX	SX
1Cl/1Om. Clavicolo – omerale	NR	47,7
1Ra/2Om. Radio – omerale	NR	NR

OSSERVAZIONI

Sulla clavicola destra vi è una forte entesopatia vicino all'epifisi mediale (fossa romboide).

STATURA (in cm)

	DX	SX	D.S.
OMERO	NR	167,16	± 4,05
RADIO	167,46	NR	± 4,32
ULNA	171,1	NR	± 4,32
FEMORE	168,98	169,46	± 3,27
TIBIA	169,34	168,83	± 3,37
FEMORE+TIBIA	169,46	169,46	± 2,99
FIBULA	NR	NR	±
STATURA MEDIA (con adattamento età)		168,12	± 3,55

**CARATTERI METRICI, MORFOMETRICI, MORFOLOGICI, DISCONTINUI ED
ERGONOMICI DEL CINTO PELVICO E DELL'ARTO INFERIORE**

SACRO

	DX	SX
Faccette articolari accessorie	NR	NR

COXALE

	DX	SX
14(1). Diametro cotilo – sciatico	38	NR
15(1). Altezza sciatica	NR	NR
15(1)/14(1). Indice cotilo – sciatico	NR	NR
Solco sul fondo dell'acetabolo	NR	NR

BACINO

	DX	SX
Faccette articolari accessorie	NR	NR
2. Larghezza massima	NR	
5. Larghezza antero – superiore	NR	
23. Diametro sagittale	NR	
24. Diametro trasversale	NR	
23/24. Indice di ingresso	NR	

FEMORE

	DX	SX
1. Lunghezza massima	452	454
2. Lunghezza fisiologica	445	448
6. Diametro sagittale	27	27
7. Diametro trasversale	30	26
9. Diametro trasversale superiore	34	31
10. Diametro sagittale superiore	26	27
(6+7)/2. Indice di robustezza	12,8	11,8
6/7. Indice pilastrico	90	103,8
10/9. Indice merico	76,4	87,1
Terzo trocantere	A	A
Inserzione del grande gluteo	Lieve	Lieve
Faccetta di Poirier	A	A
Placca sul collo	A	P
Fossa di Allen	A	A
Esostosi della fossa trocanterica	P	P

PATELLA

	DX	SX
Intacco del vasto	Lieve	Moderata

TIBIA

	DX	SX
1. Lunghezza massima	360	358
8a. Diametro sagittale al foro nutrizio	33	34
9a. Diametro trasversale al foro nutrizio	23	23
10b. Circonferenza minima	76	75
10b/1. Indice di robustezza	21,1	20,9
9a/8a. Indice cnemico	69,6	67,6
Faccette bordo anteriore epifisi distale	A	A
Linea poplitea	Lieve	Lieve

FIBULA

	DX	SX
1. Lunghezza massima	NR	NR
4a. Circonferenza minima	NR	NR
4a/1. Indice di robustezza	NR	NR
Scanalature della diafisi	Moderata	Lieve

ASTRAGALO

	DX	SX
Osso trigono	A	A
Faccetta sul collo	A	A

CALCAGNO

	DX	SX
Faccetta calcaneare sdoppiata	A	A
Tubercolo peroneale	A	A
Esostosi inserzione tendine d'Achille	Lieve	Lieve
Sperone calcaneare	A	A

INDICI

	DX	SX
1Ti/2Fem Indice crurale	80,8	79,9

INDICI DI SESSUAZIONE DEL CRANIO E DEL BACINO

CRANIO

	Valore W	-2	-1	0	1	2	NR	Valore Wx
Glabella	3						X	/
Processo mastoideo	3				X			3
Rilievi del piano nucale	3				X			3
Processo zigomatico del temporale	3							/
Mandibola	3				X			3
Mento	2					X		4
Arco sopraciliare	2				X			2
Osso zigomatico	2						X	/
TOT:	13							TOT: 15

BACINO

	Valore W	-2	-1	0	1	2	NR	Valore Wx
Solco preauricolare	3				X			3
Grande incisura ischiatica	3				X			3
Angolo sottopubico	3						X	/
Forame otturato	2				X			2
Osso dell'anca	2				X			2
Arco composto	2				X			2
Corpo dell'ischio	2				X			2
Cresta iliaca	1				X			1
TOT:	15							TOT: 15

CRANIO

	F	I tendente F	I	I tendente M	M
$M = W_x/W = 15/13 = 1,15$					X

BACINO

	F	I tendente F	I	I tendente M	M
$M = W_x/W = 15/15 = 1$					X

DETERMINAZIONE DEL SESSO TRAMITE CARATTERI METRICI

	DX	SX	F	I - F	I	I - M	M
STERNO							
Lunghezza	197						X
SCAPOLA							
Lunghezza cavità glenoidea	37	39					X
CLAVICOLA							
Lunghezza	142	150			X		
OMERO							
Diametro verticale della testa	NR	45			X		
FEMORE							
Diametro verticale della testa	47	47					X
Diametro massimo della testa	48	47				X	
Lunghezza fisiologica	445	448				X	
Circonferenza a metà diafisi	88	84					X
Larghezza bicondiloidea	80	80					X

F	I tendente F	I	I tendente M	M
				X

SCHEDA DI RILEVAMENTO PATOLOGICO

	A	P	NR	LIEVE	MODERATA	GRAVE
PATOLOGIE DENTARIE						
Ipoplasia		X				
Età insorgenza ipoplasia	2-3 anni					
Parodontosi		X		X		
Usura strumentale	X					
Malposizionamenti		X				
Caratteri dentari		X				
PATOLOGIE SCHELETRICHE						
Cribrà			X			
Iperostosi parotica	X					
Ernie di Schmorl		5		Toraciche		
Periostiti	X					
Fratture	X					
Osteite ischiatica	X					
ARTROSI						
Atlanto – occipitale			X			
Spondiloartrosi		X				
Cervicali	X					
Toraciche		X		X		
Lombari	X					
Sacrali	X					
Spalla	X					
Gomito		X		X		
Polso			X			
Mano			X			
Sterno – clavicolare		X		X		
Sterno – costale		X		X		
Costo – vertebrale	X					
Sacro – iliaca	X					
Coxartrosi	X					
Ginocchio	X					
Caviglia	X					
Piede	X					

CRITERI PER LA DETERMINAZIONE DI SESSO ED ETÀ

DETERMINAZIONE DEL SESSO

CRANIO	Morfologia dei punti più caratterizzanti (arco sopraciliare, processo mastoideo, mento, mandibola)
BACINO	Morfologia dei punti più caratterizzanti (solco preauricolare, cresta iliaca, grande incisura ischiatica, forame otturato, ramo ischio-pubico, corpo dell'ischio)
ALTRO	Caratteri metrici

DETERMINAZIONE DELL'ETÀ

CRANIO	Usura dentaria Sinostosi delle suture craniche
BACINO	Morfologia della sinfisi pubica
ALTRO	Terminazioni sternali delle coste

SITO ARCHEOLOGICO	Isf 06
Tomba	10
Sesso	-
Età	Circa 8 anni

MISURE SCHELETRICHE DI INDIVIDUI SUBADULTI

	DX	SX
OMERO		
Lunghezza massima	184	183
RADIO		
Lunghezza massima	140	139
ULNA		
Lunghezza massima	154	NR
FEMORE		
Lunghezza massima	248	250
TIBIA		
Lunghezza massima	210	206
FIBULA		
Lunghezza massima	205	NR

SALDATURA EPIFISI

NR = Non rilevabile; 0 = Assenza unione; 1 = Unione parziale; 2 = Unione con linea di fusione visibile; 3 = Unione completa

	DX	SX		DX	SX
Scapola			Pelvi		
Acromion	0	0	Elementi primari	0	0
Margine vertebrale	0	0	Cresta iliaca	0	0
Angolo inferiore	0	0	Tuberosità ischiatica	0	0
Clavicola			Femore		
Epifisi sternale	0	0	Testa	0	0
Epifisi acromiale	0	0	Grande trocantere	0	0
Omero			Piccolo trocantere	0	0
Testa	0	0	Epifisi distale	0	0
Epifisi distale	0	0	Tibia		
Epicondilo mediale	0	0	Epifisi prossimale	0	0
Radio			Epifisi distale	0	0
Epifisi prossimale	0	0	Osservazioni		
Epifisi distale	0	0			
Ulna					
Epifisi prossimale	0	0			
Epifisi distale	0	0			

PATOLOGIE E DETERMINAZIONE DELL'ETÀ DI INDIVIDUI SUBADULTI

PATOLOGIE DENTARIE	A	P	NR
Ipoplasia		X	
Età insorgenza ipoplasia	Due episodi, uno a circa un anno, uno a circa 3 anni di età		
PATOLOGIE SCHELETRICHE	A	P	NR
Cribra	X		
Iperostosi porotica	X		

CLASSE DI ETÀ

Perinatale	
6 mesi – 1 anno	
1 – 3 anni	
3 – 5 anni	
5 – 7 anni	
7 – 10 anni	X
10 – 15 anni	
15 – 18 anni	
	ETÀ IN MESI O ANNI
ETÀ SCHELETRICA	8 ± 1 anno
ETÀ DENTARIA	7 ± 2 anni
CRITERI UTILIZZATI / OSSERVAZIONI	
<p>Lunghezza diafisaria delle ossa lunghe. Eruzione dentaria (M1 erotti, I₁ erotti, si nota bene il livello di crescita della gemma di M² sinistro).</p>	

SITO ARCHEOLOGICO	Isf 06
Tomba	13
Sesso	M
Età	Circa 50

CARATTERI METRICI, MORFOMETRICI, MORFOLOGICI, DISCONTINUI ED ERGONOMICI CRANICI

CALVARIO

1. Lunghezza massima	NR	
5. Distanza nasion – basion	NR	
8. Larghezza massima	NR	
9. Diametro frontale minimo	NR	
10. Diametro frontale massimo	NR	
17. Altezza basion – bregma	NR	
19(3). Distanza porion – bregma	d. NR	s. NR
19(4). Distanza porion – porion	NR	
20. Altezza porion – bregma	NR	
26. Arco nasion – bregma	NR	
29. Corda nasion – bregma	NR	
38. Capacità cranica al porion	NR	
38. Capacità cranica al basion	NR	
40. Distanza basion – prosthion	NR	
44(a). Corda naso – malare	NR	
44(1). Arco naso – malare	NR	
45. Larghezza massima della faccia	NR	
47. Altezza massima della faccia	NR	
48. Altezza superiore della faccia	NR	
51. Larghezza orbitaria	d. NR	s. NR
52. Altezza orbitaria	d. NR	s. NR
54. Larghezza nasale	NR	
55. Altezza nasale	NR	
60. Lunghezza dell'arcata alveolare	NR	
61. Larghezza dell'arcata alveolare	NR	
62. Lunghezza del palato	NR	
63. Larghezza del palato	NR	

MANDIBOLA

65. Larghezza bicondiloidea	NR	
66. Larghezza bigonica	104	
67. Distanza fori mentonieri	42	
68. Profondità del corpo	72	
69. Altezza alla sinfisi	28	
69(1). Altezza al foro mentoniero	d. 11	s. 12
69(3). Spessore minimo al foro ment.	d. 8	s. 8

INDICI

8/1. Cranico orizzontale	NR	
17/1. Vertico – longitudinale	NR	
17/8. Vertico – trasversale	NR	
20/1. Auricolo – verticale	NR	
20/8. Auricolo – verticale trasversale	NR	
9/10. Frontale trasverso	NR	
9/8. Fronto – parietale	NR	
29/26. Indice di curvatura frontale	NR	
40/5. Gnatico	NR	
44(1)/44(a). Naso – malare	NR	
47/45. Facciale totale	NR	
48/45. Facciale superiore	NR	
52/51. Orbitario	d. NR	s. NR
54/55. Nasale	NR	
61/60. Maxillo – alveolare	NR	
63/62. Palatale	NR	

CARATTERI DISCONTINUI

		DX	SX
NORMA SUPERIORE	Ossicini coronali	NR	NR
	Osso bregmatico	NR	
	Ossicini sagittali	P	
	Fori obelici	NR	A
NORMA LATERALE	Osso epipterico	NR	NR
	Osso ad intacco parietale	NR	A
NORMA POSTERIORE	Osso al lambda	P	
	Ossa wormiane lungo la sutura lambdoidea	P	P
	Osso epactale	A	
	Osso asterico	A	A
	Linea nucale suprema	Lieve	
NORMA INFERIORE	Apertura del canale condiloideo posteriore	NR	NR
	Sdoppiamento della faccetta condiloidea	NR	NR
	Tubercolo precondiloideo	NR	NR
	Tubercolo faringeo	NR	NR
NORMA ANTERIORE	Sutura metopica	NR	
	Forame sopraorbitario completo	NR	NR
	Forame frontale	NR	NR
	Forame infraorbitario accessorio	NR	NR
	Forame zigomatico	NR	NR

CARATTERI MORFOLOGICI

Cliноcefalia	A
Batrocefalia	Lieve

CARATTERI ERGONOMICI

	DX	SX
Toro palatino	A	
Toro mandibolare	A	A
Toro mascellare	A	A

SCHEDA DENTARIA

MASCELLARE

DX													SX		
M3	M2	M1	P2	P1	C'	I2	I1	I1	I2	C'	P1	P2	M1	M2	M3
-	-	-	/ 6	/ 7	/ 6	(-)	/ 6	/ 6	(-)	/ 6	/ 6	/ 6	-
			/ /	/ /	/ /		/ i	/ i		/ i	/ i	/ i			

MANDIBOLARE

DX													SX		
M3	M2	M1	P2	P1	C'	I2	I1	I1	I2	C'	P1	P2	M1	M2	M3
-	/ 6	-	/ 6	/ 6	/ 6	/ 6	/ 6	/ 6	/ 6	/ 6	/ 6	/ 6	-	-	-
	/ /		/ i	/ i	/ i	/ i	t	t	t	/ i	t	/ / / i			

ETÀ INSORGENZA IPOPLASIA (y = anni; m = mesi)

	M2	M1	P2	P1	C'	I2	I1	I1	I2	C'	P1	P2	M1	M2
MASCELLARE							3 y	3 y		4 y	4 y	4 y		
MANDIBOLARE			5 y	5 y	2 y 3 y	3 y	3 y		2 y 3 y	2 y 3 y		5 y		

ARTROSI TEMPORO-MANDIBOLARE

	Si	No	NR
Fossetta DX			X
Condilo DX			X
Fossetta SX	X		
Condilo SX	X		

+	Dente <i>in situ</i>	A	Ascesso alveolare fistolizzato (parete alveolare distrutta)
-	Dente caduto <i>intra vitam</i>		
(-)	Dente caduto <i>post mortem</i>	g	Granuloma (dente perduto e fondo alveolare slargato)
O	Dente agenesiaco		
Incl.	Dente incluso	CD	Carie distruente
...	Tratto alveolare mancante	Cm	Carie mesiale
1-7	Usura	Cd	Carie distale
t	Tartaro	Cl	Carie linguale
T	Tartaro massivo	Cv	Carie vestibolare
TT	Tartaro che ingloba il dente	Co	Carie oclusale
i	Ipoplasia dello smalto	Cclt	Carie al colletto

**CARATTERI METRICI, MORFOMETRICI, MORFOLOGICI, DISCONTINUI ED
ERGONOMICI DEL CINTO SCAPOLARE E DELL'ARTO SUPERIORE**

CLAVICOLA	DX	SX
1. Lunghezza massima	NR	139
6. Circonferenza mediana	NR	35
6/1. Indice di robustezza	NR	25,1
Notch-like defect	NR	P
Inserzione del grande pettorale	NR	Moderata
Porosità della superficie articolare per l'acromion	NR	Lieve
SCAPOLA	DX	SX
Solco circonflesso	NR	A
OMERO	DX	SX
1. Lunghezza massima	NR	320
2. Lunghezza totale	NR	310
5. Diametro massimo a metà diafisi	NR	23
6. Diametro minimo a metà diafisi	NR	18
7. Circonferenza minima	NR	67
7/1 Indice di robustezza	NR	20,9
6/5 Indice diafisario	NR	78,2
Apertura setto fossa olecranica	NR	A
Processo sopracondiloideo	NR	A
Doccia bicipitale	NR	Moderata
Tuberosità deltoidea	NR	Moderata
Esostosi dell'epicondilo mediale	NR	A
RADIO	DX	SX
1. Lunghezza massima	NR	243
2. Lunghezza fisiologica	NR	232
3. Circonferenza minima	43	42
3/2. Indice di robustezza	NR	18,1
Entesofiti sulla tuberosità bicipitale	P	P
ULNA	DX	SX
1. Lunghezza massima	NR	266
2. Lunghezza fisiologica	NR	232
3. Circonferenza minima	39	44
13. Diametro trasversale superiore	NR	25
14. Diametro dorso – volare superiore	NR	24
3/2. Indice di robustezza	NR	18,9
13/14. Indice olenico	NR	104,1
Entesofiti sul margine superiore olecrano	NR	P
Entesofiti sul margine inferiore incisura radiale	NR	P

INDICI

	DX	SX
1Cl/1Om. Clavicolo – omerale	NR	43,4
1Ra/2Om. Radio – omerale	NR	78,3

OSSERVAZIONI

La clavicola sinistra presenta la fossa romboide.

STATURA (in cm)

	DX	SX	D.S.
OMERO	NR	169,01	± 4,05
RADIO	NR	170,86	± 4,32
ULNA	NR	176,32	± 4,32
FEMORE	163,51	166,84	± 3,27
TIBIA	170,09	171,1	± 3,37
FEMORE+TIBIA	166,86	169,2	± 2,99
FIBULA	174,83	174,83	± 3,29

STATURA MEDIA (con adattamento età)		168,84	± 3,5
--	--	--------	-------

**CARATTERI METRICI, MORFOMETRICI, MORFOLOGICI, DISCONTINUI ED
ERGONOMICI DEL CINTO PELVICO E DELL'ARTO INFERIORE**

SACRO

	DX	SX
Faccette articolari accessorie	P	P

COXALE

	DX	SX
14(1). Diametro cotilo – sciatico	41	42
15(1). Altezza sciatica	44	46
15(1)/14(1). Indice cotilo – sciatico	107,3	109,5
Solco sul fondo dell'acetabolo	A	NR

BACINO

	DX	SX
Faccette articolari accessorie	P	P
2. Larghezza massima	272	NR
5. Larghezza antero – superiore	245	NR
23. Diametro sagittale	125	NR
24. Diametro trasversale	134	NR
23/24. Indice di ingresso	93,2	NR

FEMORE

	DX	SX
1. Lunghezza massima	429	443
2. Lunghezza fisiologica	420	440
6. Diametro sagittale	30	30
7. Diametro trasversale	29	28
9. Diametro trasversale superiore	40	37
10. Diametro sagittale superiore	32	32
(6+7)/2. Indice di robustezza	14	13,1
6/7. Indice pilastrico	103,4	107,1
10/9. Indice merico	80	86,4
Terzo trocantere	A	A
Inserzione del grande gluteo	Moderata	Moderata
Faccetta di Poirier	A	A
Placca sul collo	P	P
Fossa di Allen	A	A
Esostosi della fossa trocanterica	A	A

PATELLA

	DX	SX
Intacco del vasto	NR	Lieve

TIBIA

	DX	SX
1. Lunghezza massima	363	367
8a. Diametro sagittale al foro nutrizio	34	36
9a. Diametro trasversale al foro nutrizio	23	23
10b. Circonferenza minima	80	78
10b/1. Indice di robustezza	22	21,2
9a/8a. Indice cnemico	67,6	63,8
Faccette bordo anteriore epifisi distale	A	A
Linea poplitea	Moderata	Moderata

FIBULA

	DX	SX
1. Lunghezza massima	359	359
4a. Circonferenza minima	38	35
4a/1. Indice di robustezza	10,5	9,7
Scanalature della diafisi	Moderate	Moderate

ASTRAGALO

	DX	SX
Osso trigono	A	A
Faccetta sul collo	A	A

CALCAGNO

	DX	SX
Faccetta calcaneare sdoppiata	P	A
Tubercolo peroneale	P	A
Esostosi inserzione tendine d'Achille	Moderate	Moderate
Sperone calcaneare	A	A

INDICI

	DX	SX
1Ti/2Fem Indice crurale	86,4	82,8

INDICI DI SESSUAZIONE DEL CRANIO E DEL BACINO

CRANIO

	Valore W	-2	-1	0	1	2	NR	Valore Wx
Glabella	3						X	/
Processo mastoideo	3			X				0
Rilievi del piano nucale	3				X			3
Processo zigomatico del temporale	3						X	/
Mandibola	3				X			3
Mento	2					X		4
Arco sopraciliare	2						X	/
Osso zigomatico	2						X	/
TOT:	11							TOT: 10

BACINO

	Valore W	-2	-1	0	1	2	NR	Valore Wx
Solco preauricolare	3				X			3
Grande incisura ischiatica	3			X				0
Angolo sottopubico	3					X		6
Forame otturato	2					X		4
Osso dell'anca	2				X			2
Arco composto	2				X			2
Corpo dell'ischio	2				X			1
Cresta iliaca	1			X				0
TOT:	18							TOT: 18

CRANIO

	F	I tendente F	I	I tendente M	M
$M = W_x/W = 10/11 = 0,9$				X	

BACINO

	F	I tendente F	I	I tendente M	M
$M = W_x/W = 18/18 = 1$					X

DETERMINAZIONE DEL SESSO TRAMITE CARATTERI METRICI

	DX	SX	F	I - F	I	I - M	M
STERNO							
Lunghezza	155				X		
SCAPOLA							
Lunghezza cavità glenoidea	NR	37					X
CLAVICOLA							
Lunghezza	NR	139	X				
OMERO							
Diametro verticale della testa	NR	47					X
FEMORE							
Diametro verticale della testa	49	48					X
Diametro massimo della testa	50	50					X
Lunghezza fisiologica	420	440			X		
Circonferenza a metà diafisi	94	92					X
Larghezza bicondiloidea	83	83					X

F	I tendente F	I	I tendente M	M
				X

SCHEDA DI RILEVAMENTO PATOLOGICO

	A	P	NR	LIEVE	MODERATA	GRAVE
PATOLOGIE DENTARIE						
Ipoplasia		X				
Età insorgenza ipoplasia	Due episodi, uno a 2-3 anni, uno a circa 5 anni.					
Parodontosi		X		X		
Usura strumentale	X					
Malposizionamenti	X					
Caratteri dentari	X					
PATOLOGIE SCHELETRICHE						
Cribrà		X		X		
Iperostosi porotica	X					
Ernie di Schmorl		6		T5, T6, T7, T12, L1, L2		
Periostiti		X		X		
Fratture	X					
Osteite ischiatica		X		X		
ARTROSI						
Atlanto – occipitale		X		X		
Spondiloartrosi		X				
Cervicali		X			X	
Toraciche		X			X	
Lombari		X			X	
Sacrali	X					
Spalla		X		X		
Gomito	X					
Polso		X		X		
Mano		X		X		
Sterno – clavicolare	X					
Sterno – costale	X					
Costo – vertebrale	X					
Sacro – iliaca		X			X	
Coxartrosi		X			X	
Ginocchio		X		X		
Caviglia		X		X		
Piede		X		X		

CRITERI PER LA DETERMINAZIONE DI SESSO ED ETÀ

DETERMINAZIONE DEL SESSO

CRANIO	Morfologia dei punti più caratterizzanti (processo mastoideo, rilievi nucali, mandibola, mento).
BACINO	Morfologia dei punti più caratterizzanti (solco preauricolare, grande incisura ischiatica, angolo sottopubico, forame otturato, osso dell'anca, arco composito, corpo dell'ischio, cresta iliaca).
ALTRO	Caratteri metrici.

DETERMINAZIONE DELL'ETÀ

CRANIO	Usura dentaria.
BACINO	Morfologia delle sinfisi pubiche.
ALTRO	Usura delle articolazioni. Morfologia delle estremità sternali delle coste.

SITO ARCHEOLOGICO	Isf 06
Tomba	14
Sesso	-
Età	15 ± 2 anni

MISURE SCHELETRICHE DI INDIVIDUI SUBADULTI

	DX	SX
OMERO		
Lunghezza massima	NR	NR
RADIO		
Lunghezza massima	NR	NR
ULNA		
Lunghezza massima	NR	NR
FEMORE		
Lunghezza massima	NR	362
TIBIA		
Lunghezza massima	290	291
FIBULA		
Lunghezza massima	285	289

SALDATURA EPIFISI

NR = Non rilevabile 0 = Assenza unione 1 = Unione parziale 2 = Unione con linea di fusione visibile 3 = Unione completa

	DX	SX		DX	SX
Scapola			Pelvi		
Acromion	NR	NR	Elementi primari	NR	NR
Margine vertebrale	NR	NR	Cresta iliaca	NR	NR
Angolo inferiore	NR	NR	Tuberosità ischiatica	NR	NR
Clavicola			Femore		
Epifisi sternale	NR	NR	Testa		
Epifisi acromiale	NR	NR	Grande trocantere	NR	0
Omero			Piccolo trocantere	NR	0
Testa	NR	NR	Epifisi distale	NR	0
Epifisi distale	NR	NR	Tibia		
Epicondilo mediale	NR	NR	Epifisi prossimale	0	0
Radio			Epifisi distale	0	0
Epifisi prossimale	NR	NR	Osservazioni		
Epifisi distale	NR	NR			
Ulna					
Epifisi prossimale	NR	NR			
Epifisi distale	NR	NR			

PATOLOGIE E DETERMINAZIONE DELL'ETÀ DI INDIVIDUI SUBADULTI

PATOLOGIE DENTARIE	A	P	NR
Ipoplasia			X
Età insorgenza ipoplasia			
PATOLOGIE SCHELETRICHE	A	P	NR
Cribrà			X
Iperostosi porotica			X

CLASSE DI ETÀ

Perinatale	
6 mesi – 1 anno	
1 – 3 anni	
3 – 5 anni	
5 – 7 anni	
7 – 10 anni	
10 – 15 anni	X
15 – 18 anni	X
	ETÀ IN MESI O ANNI
ETÀ SCHELETRICA	15 ± 2 anni
ETÀ DENTARIA	NR
CRITERI UTILIZZATI / OSSERVAZIONI	
Lunghezza diafisaria delle ossa lunghe.	

SITO ARCHEOLOGICO	Isf 06
Tomba	15
Sesso	-
Età	Prenatale

MISURE SCHELETRICHE DI INDIVIDUI SUBADULTI

	DX	SX
OMERO		
Lunghezza massima	64	62
RADIO		
Lunghezza massima	NR	NR
ULNA		
Lunghezza massima	NR	56
FEMORE		
Lunghezza massima	70	70
TIBIA		
Lunghezza massima	62	63
FIBULA		
Lunghezza massima	58	59

SALDATURA EPIFISI

NR = Non rilevabile; 0 = Assenza unione; 1 = Unione parziale; 2 = Unione con linea di fusione visibile; 3 = Unione completa

	DX	SX		DX	SX
Scapola			Pelvi		
Acromion	0	0	Elementi primari	0	0
Margine vertebrale	0	0	Cresta iliaca	0	0
Angolo inferiore	0	0	Tuberosità ischiatica	0	0
Clavicola			Femore		
Epifisi sternale	0	0	Testa	0	0
Epifisi acromiale	0	0	Grande trocantere	0	0
Omero			Piccolo trocantere	0	0
Testa	0	0	Epifisi distale	0	0
Epifisi distale	0	0	Tibia		
Epicondilo mediale	0	0	Epifisi prossimale	0	0
Radio			Epifisi distale	0	0
Epifisi prossimale	0	0	Osservazioni		
Epifisi distale	0	0			
Ulna					
Epifisi prossimale	0	0			
Epifisi distale	0	0			

PATOLOGIE E DETERMINAZIONE DELL'ETÀ DI INDIVIDUI SUBADULTI

PATOLOGIE DENTARIE	A	P	NR
Ipoplasia	X		
Età insorgenza ipoplasia			
PATOLOGIE SCHELETRICHE	A	P	NR
Cribrà	X		
Iperostosi porotica	X		

CLASSE DI ETÀ

Perinatale	X
6 mesi – 1 anno	
1 – 3 anni	
3 – 5 anni	
5 – 7 anni	
7 – 10 anni	
10 – 15 anni	
15 – 18 anni	
	ETÀ IN MESI O ANNI
ETÀ SCHELETRICA	Perinatale
ETÀ DENTARIA	NR
CRITERI UTILIZZATI / OSSERVAZIONI	
Lunghezza diafisaria delle ossa lunghe.	

SITO ARCHEOLOGICO	Isf 06
Tomba	16
Sesso	Probabile F
Età	Circa 16 anni

CARATTERI DISCONTINUI, MORFOLOGICI ED ERGONOMICI CRANICI

CARATTERI DISCONTINUI

		DX	SX
NORMA SUPERIORE	Ossicini coronali	P	A
	Osso bregmatico	A	
	Ossicini sagittali	P	
	Fori obelici	A	P
NORMA LATERALE	Osso epipterico	A	A
	Osso ad intacco parietale	NR	NR
NORMA POSTERIORE	Osso al lambda	A	
	Ossa wormiane lungo la sutura lambdoidea	P	A
	Osso epactale	A	
	Osso asterico	NR	NR
	Linea nucale suprema	Lieve	
NORMA INFERIORE	Apertura del canale condiloideo posteriore	NR	NR
	Sdoppiamento della faccetta condiloidea	NR	NR
	Tubercolo precondiloideo	NR	NR
	Tubercolo faringeo	NR	NR
NORMA ANTERIORE	Sutura metopica	A	
	Forame sopraorbitario completo	NR	A
	Forame frontale	A	A
	Forame infraorbitario accessorio	NR	NR
	Forame zigomatico	NR	NR

CARATTERI MORFOLOGICI

Cliноcefalia	Lieve
Batrocefalia	Lieve

CARATTERI ERGONOMICI

	DX	SX
Toro palatino	NR	
Toro mandibolare	A	A
Toro mascellare	A	A

MISURE SCHELETRICHE DI INDIVIDUI SUBADULTI

	DX	SX
OMERO		
Lunghezza massima	258	248
RADIO		
Lunghezza massima	193	NR
ULNA		
Lunghezza massima	NR	NR
FEMORE		
Lunghezza massima	369	371
TIBIA		
Lunghezza massima	310	312
FIBULA		
Lunghezza massima	301	296

SALDATURA EPIFISI

NR = Non rilevabile; 0 = Assenza unione; 1 = Unione parziale; 2 = Unione con linea di fusione visibile; 3 = Unione completa

	DX	SX		DX	SX
Scapola			Pelvi		
Acromion	0	NR	Elementi primari	3	3
Margine vertebrale	0	NR	Cresta iliaca	0	0
Angolo inferiore	NR	NR	Tuberosità ischiatica	2	2
Clavicola			Femore		
Epifisi sternale	0	0	Testa	2	2
Epifisi acromiale	0	0	Grande trocantere	2	2
Omero			Piccolo trocantere	3	3
Testa	0	0	Epifisi distale	0	0
Epifisi distale	3	3	Tibia		
Epicondilo mediale	3	2	Epifisi prossimale	2	2
Radio			Epifisi distale	2	2
Epifisi prossimale	3	3	Osservazioni		
Epifisi distale	0	NR	Fossa olecranica dell'omero sinistro aperta.		
Ulna					
Epifisi prossimale	3	3			
Epifisi distale	NR	0			

INDICI DI SESSUAZIONE DEL CRANIO E DEL BACINO

CRANIO

	Valore W	-2	-1	0	1	2	NR	Valore Wx
Glabella	3						X	/
Processo mastoideo	3		X					-3
Rilievi del piano nucale	3			X				0
Processo zigomatico del temporale	3						X	/
Mandibola	3		X					-3
Mento	2			X				0
Arco sopraciliare	2			X				0
Osso zigomatico	2						X	/
TOT:	13							TOT: -6

BACINO

	Valore W	-2	-1	0	1	2	NR	Valore Wx
Solco preauricolare	3			X				0
Grande incisura ischiatica	3		X					-3
Angolo sottopubico	3						X	/
Forame otturato	2		X					-2
Osso dell'anca	2			X				0
Arco composto	2		X					-2
Corpo dell'ischio	2		X					-2
Cresta iliaca	1		X					-1
TOT:	15							TOT: -10

CRANIO

	F	I tendente F	I	I tendente M	M
$M = W_x/W = -6/13 = -0,46$		X			

BACINO

	F	I tendente F	I	I tendente M	M
$M = W_x/W = -10/15 = -0,6$		X			

PATOLOGIE E DETERMINAZIONE DELL'ETÀ DI INDIVIDUI SUBADULTI

PATOLOGIE DENTARIE	A	P	NR
Ipoplasia			X
Età insorgenza ipoplasia			
PATOLOGIE SCHELETRICHE	A	P	NR
Cribrà			X
Iperostosi porotica			X

CLASSE DI ETÀ

Perinatale	
6 mesi – 1 anno	
1 – 3 anni	
3 – 5 anni	
5 – 7 anni	
7 – 10 anni	
10 – 15 anni	
15 – 18 anni	X
	ETÀ IN MESI O ANNI
ETÀ SCHELETRICA	15 ± 1 anni
ETÀ DENTARIA	NR
CRITERI UTILIZZATI / OSSERVAZIONI	
Statura media (utilizzando tibia e fibula) = 149,39 ± 3,61 cm	

SITO ARCHEOLOGICO	Isf 06
Tomba	17 – Ind. A
Sesso	F
Età	45 – 50 anni

CARATTERI METRICI, MORFOMETRICI, MORFOLOGICI, DISCONTINUI ED ERGONOMICI CRANICI

CALVARIO

1. Lunghezza massima	172	
5. Distanza nasion – basion	95	
8. Larghezza massima	146	
9. Diametro frontale minimo	101	
10. Diametro frontale massimo	124	
17. Altezza basion – bregma	127	
19(3). Distanza porion – bregma	d. 126	s. 125
19(4). Distanza porion – porion	118	
20. Altezza porion – bregma	110,3	
26. Arco nasion – bregma	120	
29. Corda nasion – bregma	103	
38. Capacità cranica al porion	1370,33 cm ³	
38. Capacità cranica al basion	1372,9 cm ³	
40. Distanza basion – prosthion	90	
44(a). Corda naso – malare	101	
44(1). Arco naso – malare	107	
45. Larghezza massima della faccia	132	
47. Altezza massima della faccia	111	
48. Altezza superiore della faccia	73	
51. Larghezza orbitaria	d. 41	s. 41
52. Altezza orbitaria	d. 36	s. 36
54. Larghezza nasale	22	
55. Altezza nasale	28	
60. Lunghezza dell'arcata alveolare	47	
61. Larghezza dell'arcata alveolare	58	
62. Lunghezza del palato	39	
63. Larghezza del palato	35	

MANDIBOLA

65. Larghezza bicondiloidea	120	
66. Larghezza bigoniaca	94	
67. Distanza fori mentonieri	43	
68. Profondità del corpo	58	
69. Altezza alla sinfisi	30	
69(1). Altezza al foro mentoniero	d. 12	s. 12
69(3). Spessore minimo al foro ment.	d. 9	s. 9

INDICI

8/1. Cranico orizzontale	84,8	
17/1. Vertico – longitudinale	73,8	
17/8. Vertico – trasversale	86,9	
20/1. Auricolo – verticale	64,1	
20/8. Auricolo – verticale trasversale	75,5	
9/10. Frontale trasverso	81,4	
9/8. Fronto – parietale	69,1	
29/26. Indice di curvatura frontale	85,8	
40/5. Gnatico	94,7	
44(1)/44(a). Naso – malare	105,9	
47/45. Facciale totale	84,4	
48/45. Facciale superiore	55,3	
52/51. Orbitario	d. 87,8	s. 87,8
54/55. Nasale	78,5	
61/60. Maxillo – alveolare	123,4	
63/62. Palatale	89,7	

CARATTERI DISCONTINUI

		DX	SX
NORMA SUPERIORE	Ossicini coronali	A	A
	Osso bregmatico	A	
	Ossicini sagittali	A	
	Fori obelici	P	A
NORMA LATERALE	Osso epipterico	A	A
	Osso ad intacco parietale	A	A
NORMA POSTERIORE	Osso al lambda	A	
	Ossa wormiane lungo la sutura lambdoidea	A	A
	Osso epactale	A	
	Osso asterico	A	A
	Linea nucale suprema	Lieve	
NORMA INFERIORE	Apertura del canale condiloideo posteriore	A	A
	Sdoppiamento della faccetta condiloidea	A	A
	Tubercolo precondiloideo	A	A
	Tubercolo faringeo	A	A
NORMA ANTERIORE	Sutura metopica	Parzialmente presente	
	Forame sopraorbitario completo	P	P
	Forame frontale	A	A
	Forame infraorbitario accessorio	A	A
	Forame zigomatico	A	A

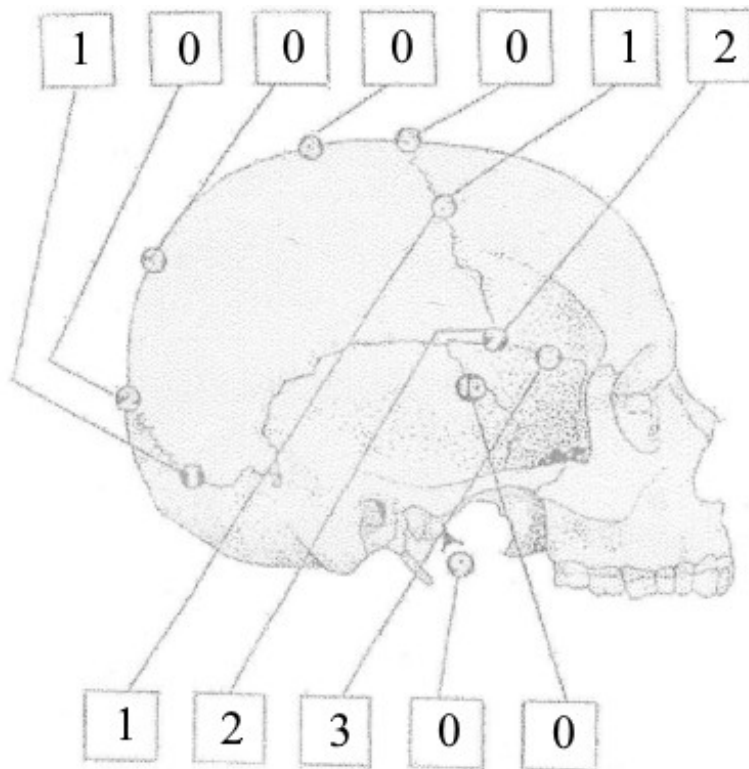
CARATTERI MORFOLOGICI

Cliноcefalia	Lieve
Batrocefalia	A

CARATTERI ERGONOMICI

	DX	SX
Toro palatino	A	
Toro mandibolare	A	A
Toro mascellare	A	A

SINOSTOSI DELLE SUTURE CRANICHE



Legenda	
Ogni punto considera un'area di 1 cm, classificata in uno stadio di sinostosi tra i seguenti	
0	Sinostosi aperta, nessuna traccia di sinostosi ectocranica
1	Sinostosi minima, da un singolo ponte osseo al 50% di sinostosi
2	Sinostosi significativa, superiore al 50% di sinostosi
3	Sinostosi completa, con totale obliterazione della sutura

Sistema della volta					Sistema laterale anteriore				
Punti	Età media	S. D.	Int. dec.	Range	Punti	Età media	S. D.	Int. dec.	Range
0	-	-	< 35	< 49	0	-	-	< 43	< 50
1 - 2	30,5	9,6	19 - 44	18 - 45	1	32	8,3	21 - 42	19 - 48
3 - 4 - 5 - 6	34,7	7,8	23 - 45	22 - 48	2	36,2	6,2	29 - 44	25 - 49
7 - 8 - 9 - 10 - 11	39,4	9,1	28 - 44	24 - 60	3 - 4 - 5	41,1	10	28 - 52	23 - 68
12 - 13 - 14 - 15	45,2	12,6	31 - 65	24 - 75	6	43,4	10,7	30 - 54	23 - 63
16 - 17 - 18	48,8	10,5	35 - 60	30 - 71	7 - 8	45,5	8,9	35 - 57	32 - 65
19 - 20	51,5	12,6	34 - 63	23 - 76	9 - 10	51,9	12,5	39 - 69	33 - 76
21	-	-	> 43	> 40	11 - 12 - 13 - 14	56,2	8,5	49 - 65	34 - 68
					15	-	-	-	-

Sistema	Punti	Età media	S. D.	Int. dec.	Range
Volta	3	34,7	7,8	23 - 45	22 - 48
Laterale anteriore	6	43,4	10,7	30 - 54	23 - 63

SCHEDA DENTARIA

MASCELLARE

DX														SX													
M3	M2	M1	P2	P1	C'	I2	I1	I1	I2	C'	P1	P2	M1	M2	M3												
O	/	6	/	6	/	4	/	4	/	5	/	5	/	5	/	5	/	5	/	4	/	4	/	6	/	6	O
	/	/	/	i	/	/	/	i	/	i	/	i	/	i	/	i	/	i	/	i	/	/	/	i	/	/	

MANDIBOLARE

DX														SX														
M3	M2	M1	P2	P1	C'	I2	I1	I1	I2	C'	P1	P2	M1	M2	M3													
O	/	6	/	6	/	5	/	5	/	5	/	5	/	5	/	5	/	5	/	5	/	5	/	6	/	6	C	
	/	/	/	/	/	/	/	/	i	/	i	/	i	/	i	/	i	/	i	/	i	/	i	/	/	/	/	o
																											4	

ETÀ INSORGENZA IPOPLASIA (y = anni; m = mesi)

	M2	M1	P2	P1	C'	I2	I1	I1	I2	C'	P1	P2	M1	M2
MASCELLARE		2 y		4 y	4 y		2 y	2 y	3 y	3 y	5 y		2 y	
MANDIBOLARE					2 y	2 y	2 y	3 y	2 y	3 y	4 y	5 y		
					4 y	3 y	3 y		3 y					

ARTROSI TEMPORO-MANDIBOLARE

	Si	No	NR
Fossetta DX		X	
Condilo DX	X		
Fossetta SX		X	
Condilo SX		X	

+	Dente <i>in situ</i>	A	Ascesso alveolare fistolizzato (parete alveolare distrutta)
-	Dente caduto <i>intra vitam</i>		
(-)	Dente caduto <i>post mortem</i>	g	Granuloma (dente perduto e fondo alveolare slargato)
O	Dente agenesiaco		
Incl.	Dente incluso	CD	Carie distruente
...	Tratto alveolare mancante	Cm	Carie mesiale
1-7	Usura	Cd	Carie distale
t	Tartaro	Cl	Carie linguale
T	Tartaro massivo	Cv	Carie vestibolare
TT	Tartaro che ingloba il dente	Co	Carie oclusale
i	Ipoplasia dello smalto	Cclt	Carie al colletto

**CARATTERI METRICI, MORFOMETRICI, MORFOLOGICI, DISCONTINUI ED
ERGONOMICI DEL CINTO SCAPOLARE E DELL'ARTO SUPERIORE**

CLAVICOLA	DX	SX
1. Lunghezza massima	137	136
6. Circonferenza mediana	35	33
6/1. Indice di robustezza	25,5	24,2
Notch-like defect	A	P
Inserzione del grande pettorale	Lieve	Lieve
Porosità della superficie articolare per l'acromion	Lieve	Lieve
SCAPOLA	DX	SX
Solco circonflesso	A	NR
OMERO	DX	SX
1. Lunghezza massima	282	280
2. Lunghezza totale	275	271
5. Diametro massimo a metà diafisi	20	20
6. Diametro minimo a metà diafisi	16	16
7. Circonferenza minima	58	55
7/1 Indice di robustezza	20,5	19,6
6/5 Indice diafisario	80	80
Apertura setto fossa olecranica	A	A
Processo sopracondiloideo	A	A
Doccia bicipitale	Lieve	Lieve
Tuberosità deltoidea	Moderata	Moderata
Esostosi dell'epicondilo mediale	A	A
RADIO	DX	SX
1. Lunghezza massima	215	210
2. Lunghezza fisiologica	210	199
3. Circonferenza minima	39	40
3/2. Indice di robustezza	18,5	20,1
Entesofiti sulla tuberosità bicipitale	A	P
ULNA	DX	SX
1. Lunghezza massima	234	231
2. Lunghezza fisiologica	206	203
3. Circonferenza minima	38	36
13. Diametro trasversale superiore	23	20
14. Diametro dorso – volare superiore	24	24
3/2. Indice di robustezza	18,4	17,7
13/14. Indice olenico	95,8	83,3
Entesofiti sul margine superiore olecrano	A	A
Entesofiti sul margine inferiore incisura radiale	P	A

INDICI

	DX	SX
1Cl/1Om. Clavicolo – omerale	48,5	48,5
1Ra/2Om. Radio – omerale	78,1	77,4

STATURA (in cm)

	DX	SX	
OMERO	152,72	152,05	± 4,45
RADIO	156,84	154,47	± 4,24
ULNA	157,67	156,39	± 4,3
FEMORE	151,66	150,92	± 3,72
TIBIA	156,65	157,23	± 3,66
FEMORE+TIBIA	153,69	153,55	± 3,55
FIBULA	155,42	154,54	± 3,57

STATURA MEDIA (con adattamento età)	153,65	± 3,92
--	--------	--------

**CARATTERI METRICI, MORFOMETRICI, MORFOLOGICI, DISCONTINUI ED
ERGONOMICI DEL CINTO PELVICO E DELL'ARTO INFERIORE**

SACRO

	DX	SX
Faccette articolari accessorie	NR	NR

COXALE

	DX	SX
14(1). Diametro cotilo – sciatico	NR	NR
15(1). Altezza sciatica	NR	NR
15(1)/14(1). Indice cotilo – sciatico	NR	NR
Solco sul fondo dell'acetabolo	NR	A

BACINO

	DX	SX
Faccette articolari accessorie	NR	NR
2. Larghezza massima	NR	
5. Larghezza antero – superiore	NR	
23. Diametro sagittale	NR	
24. Diametro trasversale	NR	
23/24. Indice di ingresso	NR	

FEMORE

	DX	SX
1. Lunghezza massima	395	392
2. Lunghezza fisiologica	390	388
6. Diametro sagittale	24	23
7. Diametro trasversale	25	25
9. Diametro trasversale superiore	31	31
10. Diametro sagittale superiore	23	24
(6+7)/2. Indice di robustezza	12,5	12,3
6/7. Indice pilastrico	96	92
10/9. Indice merico	74,1	77,4
Terzo trocantere	A	A
Inserzione del grande gluteo	Lieve	Lieve
Faccetta di Poirier	A	P
Placca sul collo	A	A
Fossa di Allen	A	A
Esostosi della fossa trocanterica	P	P

PATELLA

	DX	SX
Intacco del vasto	Lieve	Lieve

TIBIA

	DX	SX
1. Lunghezza massima	328	330
8a. Diametro sagittale al foro nutrizio	29	29
9a. Diametro trasversale al foro nutrizio	22	21
10b. Circonferenza minima	65	65
10b/1. Indice di robustezza	19,8	19,6
9a/8a. Indice cnemico	75,8	72,4
Faccette bordo anteriore epifisi distale	A	A
Linea poplitea	Lieve	Lieve

FIBULA

	DX	SX
1. Lunghezza massima	327	324
4a. Circonferenza minima	37	35
4a/1. Indice di robustezza	11,3	10,8
Scanalature della diafisi	Lievi	Lievi

ASTRAGALO

	DX	SX
Osso trigono	A	A
Faccetta sul collo	A	A

CALCAGNO

	DX	SX
Faccetta calcaneare sdoppiata	P	P
Tubercolo peroneale	P	P
Esostosi inserzione tendine d'Achille	Lieve	Lieve
Sperone calcaneare	A	A

INDICI

	DX	SX
1Ti/2Fem Indice crurale	84,1	85,05

INDICI DI SESSUAZIONE DEL CRANIO E DEL BACINO

CRANIO

	Valore W	-2	-1	0	1	2	NR	Valore Wx
Glabella	3			X				0
Processo mastoideo	3				X			3
Rilievi del piano nucale	3		X					-3
Processo zigomatico del temporale	3		X					-3
Mandibola	3				X			3
Mento	2			X				0
Arco sopraciliare	2			X				0
Osso zigomatico	2		X					-2
	TOT: 21							TOT: -2

BACINO

	Valore W	-2	-1	0	1	2	NR	Valore Wx
Solco preauricolare	3	X						-6
Grande incisura ischiatica	3	X						-6
Angolo sottopubico	3		X					-3
Forame otturato	2		X					-2
Osso dell'anca	2		X					-2
Arco composto	2						X	/
Corpo dell'ischio	2		X					-2
Cresta iliaca	1		X					-1
	TOT: 16							TOT: -22

CRANIO

	F	I tendente F	I	I tendente M	M
$M = W_x/W = -2/21 = -0,09$			X		

BACINO

	F	I tendente F	I	I tendente M	M
$M = W_x/W = -22/16 = -1,3$	X				

DETERMINAZIONE DEL SESSO TRAMITE CARATTERI METRICI

	DX	SX	F	I - F	I	I - M	M
STERNO							
Lunghezza	NR						
SCAPOLA							
Lunghezza cavità glenoidea	34	NR	X				
CLAVICOLA							
Lunghezza	137	136	X				
OMERO							
Diametro verticale della testa	40	41	X				
FEMORE							
Diametro verticale della testa	43	43	X				
Diametro massimo della testa	43	43	X				
Lunghezza fisiologica	390	388	X				
Circonferenza a metà diafisi	78	79	X				
Larghezza bicondiloidea	77	79				X	

F	I tendente F	I	I tendente M	M
X				

SCHEDA DI RILEVAMENTO PATOLOGICO

	A	P	NR	LIEVE	MODERATA	GRAVE
PATOLOGIE DENTARIE						
Ipoplasia		X				
Età insorgenza ipoplasia	Due episodi, uno a 2-3 anni, uno a 4-5 anni.					
Parodontosi		X		X		
Usura strumentale	X					
Malposizionamenti	X					
Caratteri dentari	X					
PATOLOGIE SCHELETRICHE						
Cribrà	X					
Iperostosi porotica	X					
Ernie di Schmorl		4		1 toracica, 3 lombari		
Periostiti	X					
Fratture	X					
Osteite ischiatica	X					
ARTROSI						
Atlanto – occipitale	X					
Spondiloartrosi		X				
Cervicali		X		X		
Toraciche		X		X		
Lombari		X				X
Sacrali	X					
Spalla	X					
Gomito		X		X		
Polso	X					
Mano	X					
Sterno – clavicolare	X					
Sterno – costale		X		X		
Costo – vertebrale		X		X		
Sacro – iliaca		X			X	
Coxartrosi						X
Ginocchio		X		X		
Caviglia		X		X		
Piede	X					

CRITERI PER LA DETERMINAZIONE DI SESSO ED ETÀ

DETERMINAZIONE DEL SESSO

CRANIO	Morfologia dei punti più caratterizzanti (glabella, processo mastoideo, rilievi del piano nucale, processo zigomatico del temporale, mandibola, mento, arco sopraciliare, osso zigomatico).
BACINO	Morfologia dei punti più caratterizzanti (solco preauricolare, grande incisura ischiatica, angolo sottopubico, forame otturato, osso dell'anca, corpo dell'ischio, cresta iliaca).
ALTRO	Caratteri metrici.

DETERMINAZIONE DELL'ETÀ

CRANIO	Sinostosi delle suture craniche. Usura dentaria.
BACINO	Usura della sinfisi pubica.
ALTRO	Estremità sternale delle coste. Usura articolare.

SITO ARCHEOLOGICO	Isf 06
Tomba	17 ind. B
Sesso	F
Età	30 – 35 anni

CARATTERI METRICI, MORFOMETRICI, MORFOLOGICI, DISCONTINUI ED ERGONOMICI CRANICI

CALVARIO

1. Lunghezza massima	170	
5. Distanza nasion – basion	NR	
8. Larghezza massima	150	
9. Diametro frontale minimo	104	
10. Diametro frontale massimo	127	
17. Altezza basion – bregma	NR	
19(3). Distanza porion – bregma	d. 130	s. 130
19(4). Distanza porion – porion	131	
20. Altezza porion – bregma	112,2	
26. Arco nasion – bregma	120	
29. Corda nasion – bregma	104	
38. Capacità cranica al porion	1403,64 cm ³	
38. Capacità cranica al basion	NR	
40. Distanza basion – prosthion	NR	
44(a). Corda naso – malare	99	
44(1). Arco naso – malare	117	
45. Larghezza massima della faccia	NR	
47. Altezza massima della faccia	114	
48. Altezza superiore della faccia	68	
51. Larghezza orbitaria	d. 43	s. 43
52. Altezza orbitaria	d. 34	s. 33
54. Larghezza nasale	21	
55. Altezza nasale	NR	
60. Lunghezza dell'arcata alveolare	60	
61. Larghezza dell'arcata alveolare	63	
62. Lunghezza del palato	56	
63. Larghezza del palato	32	

MANDIBOLA

65. Larghezza bicondiloidea	120	
66. Larghezza bigonica	103	
67. Distanza fori mentonieri	47	
68. Profondità del corpo	67	
69. Altezza alla sinfisi	27	
69(1). Altezza al foro mentoniero	d. 12	s. 12
69(3). Spessore minimo al foro ment.	d. 12	s. 11

INDICI

8/1. Cranico orizzontale	88,2	
17/1. Vertico – longitudinale	NR	
17/8. Vertico – trasversale	NR	
20/1. Auricolo – verticale	66	
20/8. Auricolo – verticale trasversale	74,8	
9/10. Frontale trasverso	81,8	
9/8. Fronto – parietale	69,3	
29/26. Indice di curvatura frontale	86,6	
40/5. Gnatico	NR	
44(1)/44(a). Naso – malare	118,1	
47/45. Facciale totale	NR	
48/45. Facciale superiore	NR	
52/51. Orbitario	d. 79,1	s. 76,7
54/55. Nasale	NR	
61/60. Maxillo – alveolare	105	
63/62. Palatale	57,1	

CARATTERI DISCONTINUI

		DX	SX
NORMA SUPERIORE	Ossicini coronali	A	A
	Osso bregmatico	A	
	Ossicini sagittali	A	
	Fori obelici	A	P
NORMA LATERALE	Osso epipterico	A	A
	Osso ad intacco parietale	A	A
NORMA POSTERIORE	Osso al lambda	A	
	Ossa wormiane lungo la sutura lambdoidea	P	P
	Osso epactale	A	
	Osso asterico	A	A
	Linea nucale suprema	A	
NORMA INFERIORE	Apertura del canale condiloideo posteriore	NR	NR
	Sdoppiamento della faccetta condiloidea	NR	NR
	Tubercolo precondiloideo	NR	NR
	Tubercolo faringeo	NR	NR
NORMA ANTERIORE	Sutura metopica	A	
	Forame sopraorbitario completo	A	A
	Forame frontale	A	A
	Forame infraorbitario accessorio	A	A
	Forame zigomatico	A	A

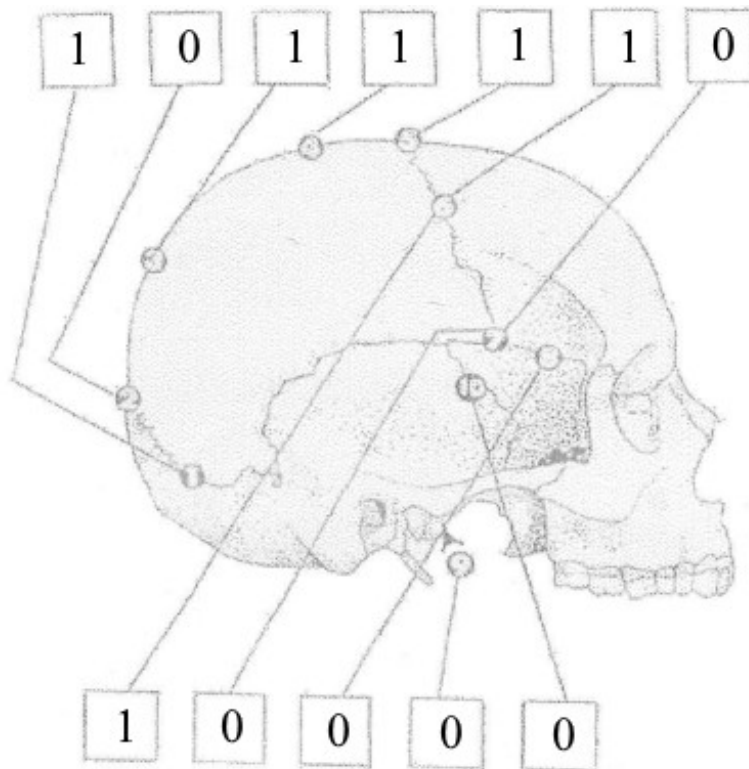
CARATTERI MORFOLOGICI

Clinocefalia	A
Batrocefalia	A

CARATTERI ERGONOMICI

	DX	SX
Toro palatino	A	
Toro mandibolare	A	A
Toro mascellare	A	A

SINOSTOSI DELLE SUTURE CRANICHE



Legenda	
Ogni punto considera un'area di 1 cm, classificata in uno stadio di sinostosi tra i seguenti	
0	Sinostosi aperta, nessuna traccia di sinostosi ectocranica
1	Sinostosi minima, da un singolo ponte osseo al 50% di sinostosi
2	Sinostosi significativa, superiore al 50% di sinostosi
3	Sinostosi completa, con totale obliterazione della sutura

Sistema della volta					Sistema laterale anteriore				
Punti	Età media	S. D.	Int. dec.	Range	Punti	Età media	S. D.	Int. dec.	Range
0	-	-	< 35	< 49	0	-	-	< 43	< 50
1 - 2	30,5	9,6	19 - 44	18 - 45	1	32	8,3	21 - 42	19 - 48
3 - 4 - 5 - 6	34,7	7,8	23 - 45	22 - 48	2	36,2	6,2	29 - 44	25 - 49
7 - 8 - 9 - 10 - 11	39,4	9,1	28 - 44	24 - 60	3 - 4 - 5	41,1	10	28 - 52	23 - 68
12 - 13 - 14 - 15	45,2	12,6	31 - 65	24 - 75	6	43,4	10,7	30 - 54	23 - 63
16 - 17 - 18	48,8	10,5	35 - 60	30 - 71	7 - 8	45,5	8,9	35 - 57	32 - 65
19 - 20	51,5	12,6	34 - 63	23 - 76	9 - 10	51,9	12,5	39 - 69	33 - 76
21	-	-	> 43	> 40	11 - 12 - 13 - 14	56,2	8,5	49 - 65	34 - 68
					15	-	-	-	-

Sistema	Punti	Età media	S. D.	Int. dec.	Range
Volta	5	34,7	7,8	23-45	22-48
Laterale anteriore	1	32	8,3	21-42	19-48

SCHEDA DENTARIA

MASCELLARE

DX														SX																		
M3	M2	M1	P2	P1	C'	I2	I1	I1	I2	C'	P1	P2	M1	M2	M3																	
/	4	/	4	/	5	CD	4	/	4	/	5	/	6	/	6	/	7	/	6	/	5	/	4	/	4	/	5	/	4	/	4	
t	/	t	/	t	/	i	t	/	T	i	T	/	T	/	T	/	T	/	T	i	t	i	t	/	t	/	t	/	t	/	t	/

MANDIBOLARE

DX														SX																	
M3	M2	M1	P2	P1	C'	I2	I1	I1	I2	C'	P1	P2	M1	M2	M3																
C	4	/	5	/	6	/	4	/	4	/	5	/	5	/	6	/	6	/	5	/	5	/	4	/	4	/	6	/	5	/	5
t	/	t	/	t	/	t	/	t	/	t	i	t	/	t	i	t	/	t	i	t	/	t	i	t	/	t	/	t	/	t	/

ETÀ INSORGENZA IPOPLASIA (y = anni; m = mesi)

	M2	M1	P2	P1	C'	I2	I1	I1	I2	C'	P1	P2	M1	M2
MASCELLARE			5 y		3 y					2 y	2 y	3 y		
MANDIBOLARE					3-4 y		10 m	10 m			3 y			

ARTROSI TEMPORO-MANDIBOLARE

	Sì	No	NR
Fossetta DX		X	
Condilo DX		X	
Fossetta SX		X	
Condilo SX		X	

+	Dente <i>in situ</i>	A	Ascesso alveolare fistolizzato (parete alveolare distrutta)
-	Dente caduto <i>intra vitam</i>		
(-)	Dente caduto <i>post mortem</i>	g	Granuloma (dente perduto e fondo alveolare slargato)
O	Dente agenesiaco		
Incl.	Dente incluso	CD	Carie distruttrice
...	Tratto alveolare mancante	Cm	Carie mesiale
1-7	Usura	Cd	Carie distale
t	Tartaro	Cl	Carie linguale
T	Tartaro massivo	Cv	Carie vestibolare
TT	Tartaro che ingloba il dente	Co	Carie oclusale
i	Ipoplasia dello smalto	Cclt	Carie al colletto

**CARATTERI METRICI, MORFOMETRICI, MORFOLOGICI, DISCONTINUI ED
ERGONOMICI DEL CINTO SCAPOLARE E DELL'ARTO SUPERIORE**

CLAVICOLA	DX	SX
1. Lunghezza massima	138	137
6. Circonferenza mediana	36	37
6/1. Indice di robustezza	26	27
Notch-like defect	P	P
Inserzione del grande pettorale	Lieve	Lieve
Porosità della superficie articolare per l'acromion	Lieve	NR
SCAPOLA	DX	SX
Solco circonflesso	A	A
OMERO	DX	SX
1. Lunghezza massima	305	303
2. Lunghezza totale	299	298
5. Diametro massimo a metà diafisi	24	23
6. Diametro minimo a metà diafisi	17	17
7. Circonferenza minima	61	62
7/1. Indice di robustezza	20	20,4
6/5. Indice diafisario	70,8	73,9
Apertura setto fossa olecranica	P	A
Processo sopracondiloideo	A	A
Doccia bicipitale	Lieve	Lieve
Tuberosità deltoidea	Lieve	Lieve
Esostosi dell'epicondilo mediale	P	P
RADIO	DX	SX
1. Lunghezza massima	220	220
2. Lunghezza fisiologica	208	207
3. Circonferenza minima	39	38
3/2. Indice di robustezza	15,3	18,3
Entesofiti sulla tuberosità bicipitale	A	A
ULNA	DX	SX
1. Lunghezza massima	242	237
2. Lunghezza fisiologica	212	209
3. Circonferenza minima	37	37
13. Diametro trasversale superiore	18	22
14. Diametro dorso – volare superiore	23	23
3/2. Indice di robustezza	17,4	17,7
13/14. Indice olenico	78,2	95,6
Entesofiti sul margine superiore olecrano	P	P
Entesofiti sul margine inferiore incisura radiale	P	P

INDICI

	DX	SX
1Cl/1Om. Clavicolo – omerale	45,2	45,2
1Ra/2Om. Radio – omerale	73,5	73,8

STATURA

	DX	SX	
OMERO	160,45	159,77	± 4,45
RADIO	159,21	159,21	± 4,24
ULNA	161,09	158,95	± 4,3
FEMORE	154,35	155,12	± 3,72
TIBIA	163,03	163,03	± 3,66
FEMORE+TIBIA	158,14	158,7	± 3,55
FIBULA	156,3	NR	± 3,57
STATURA MEDIA (con adattamento età)		158,72	± 4,22

**CARATTERI METRICI, MORFOMETRICI, MORFOLOGICI, DISCONTINUI ED
ERGONOMICI DEL CINTO PELVICO E DELL'ARTO INFERIORE**

SACRO

	DX	SX
Faccette articolari accessorie	P	P

COXALE

	DX	SX
14(1). Diametro cotilo – sciatico	38	36
15(1). Altezza sciatica	53	65
15(1)/14(1). Indice cotilo – sciatico	139,4	180,5
Solco sul fondo dell'acetabolo	A	A

BACINO

	DX	SX
Faccette articolari accessorie	P	NR
2. Larghezza massima	NR	NR
5. Larghezza antero – superiore	NR	NR
23. Diametro sagittale	NR	NR
24. Diametro trasversale	NR	NR
23/24. Indice di ingresso	NR	NR

FEMORE

	DX	SX
1. Lunghezza massima	405	409
2. Lunghezza fisiologica	402	406
6. Diametro sagittale	30	31
7. Diametro trasversale	25	25
9. Diametro trasversale superiore	30	29
10. Diametro sagittale superiore	26	25
(6+7)/2. Indice di robustezza	13,6	13,7
6/7. Indice pilastrico	120	124
10/9. Indice merico	86,6	86,2
Terzo trocantere	A	A
Inserzione del grande gluteo	Moderata	Moderata
Faccetta di Poirier	A	P
Placca sul collo	A	A
Fossa di Allen	P	A
Esostosi della fossa trocanterica	P	P

PATELLA

	DX	SX
Intacco del vasto	NR	Lieve

TIBIA

	DX	SX
1. Lunghezza massima	350	350
8a. Diametro sagittale al foro nutrizio	30	30
9a. Diametro trasversale al foro nutrizio	26	24
10b. Circonferenza minima	74	72
10b/1. Indice di robustezza	21,1	20,5
9a/8a. Indice cnemico	86,6	80
Faccette bordo anteriore epifisi distale	A	A
Linea poplitea	Moderata	Moderata

FIBULA

	DX	SX
1. Lunghezza massima	330	NR
4a. Circonferenza minima	35	32
4a/1. Indice di robustezza	10,6	NR
Scanalature della diafisi	Moderate	Moderate

ASTRAGALO

	DX	SX
Osso trigono	NR	NR
Faccetta sul collo	A	P

CALCAGNO

	DX	SX
Faccetta calcaneare sdoppiata	A	P
Tubercolo peroneale	A	P
Esostosi inserzione tendine d'Achille	Lievi	Lievi
Sperone calcaneare	A	A

INDICI

	DX	SX
1Ti/2Fem Indice crurale	87	86,2

INDICI DI SESSUAZIONE DEL CRANIO E DEL BACINO

CRANIO

	Valore W	-2	-1	0	1	2	NR	Valore Wx
Glabella	3			X				0
Processo mastoideo	3		X					-1
Rilievi del piano nucale	3			X				0
Processo zigomatico del temporale	3						X	/
Mandibola	3			X				0
Mento	2			X				0
Arco sopraciliare	2			X				0
Osso zigomatico	2						X	/
TOT:	16							TOT: -1

BACINO

	Valore W	-2	-1	0	1	2	NR	Valore Wx
Solco preauricolare	3	X						-6
Grande incisura ischiatica	3	X						-6
Angolo sottopubico	3	X						-6
Forame otturato	2		X					-2
Osso dell'anca	2			X				0
Arco composto	2						X	/
Corpo dell'ischio	2		X					-2
Cresta iliaca	1			X				0
TOT:	16							TOT: -22

CRANIO

	F	I tendente F	I	I tendente M	M
$M = W_x/W = -1/16 = -0,06$			X		

BACINO

	F	I tendente F	I	I tendente M	M
$M = W_x/W = -22/16 = -1,37$	X				

DETERMINAZIONE DEL SESSO TRAMITE CARATTERI METRICI

	DX	SX	F	I - F	I	I - M	M
STERNO							
Lunghezza	142				X		
SCAPOLA							
Lunghezza cavità glenoidea	32	33	X				
CLAVICOLA							
Lunghezza	138	137	X				
OMERO							
Diametro verticale della testa	39	40	X				
FEMORE							
Diametro verticale della testa	41	40	X				
Diametro massimo della testa	41	41	X				
Lunghezza fisiologica	402	406		X			
Circonferenza a metà diafisi	87	88					X
Larghezza bicondiloidea	75	75			X		

F	I tendente F	I	I tendente M	M
X				

SCHEDA DI RILEVAMENTO PATOLOGICO

	A	P	NR	LIEVE	MODERATA	GRAVE
PATOLOGIE DENTARIE						
Ipoplasia		X				
Età insorgenza ipoplasia	Due episodi, uno a 10 mesi, uno tra i 2 e i 3 anni.					
Parodontosi		X			X	
Usura strumentale	X					
Malposizionamenti	X					
Caratteri dentari	X					
PATOLOGIE SCHELETRICHE						
Cribrà		X		X		
Iperostosi porotica	X					
Ernie di Schmorl		4		L1, L2, L3, L5		
Periostiti	X					
Fratture	X					
Osteite ischiatica	X					
ARTROSI						
Atlanto – occipitale		X		X		
Spondiloartrosi		X				
Cervicali		X		X		
Toraciche		X		X		
Lombari		X		X		
Sacrali		X		X		
Spalla		X		X		
Gomito		X		X		
Polso	X					
Mano	X					
Sterno – clavicolare		X		X		
Sterno – costale	X					
Costo – vertebrale	X					
Sacro – iliaca		X		X		
Coxartrosi		X		X		
Ginocchio		X		X		
Caviglia		X		X		
Piede		X		X		

CRITERI PER LA DETERMINAZIONE DI SESSO ED ETÀ

DETERMINAZIONE DEL SESSO

CRANIO	Morfologia dei punti più caratterizzanti (glabella, processo mastoideo, rilievi del piano nucale, mandibola, mento)
BACINO	Morfologia dei punti più caratterizzanti (grande incisura ischiatica, ramo ischio pubico, forame otturato, angolo sottopubico, cresta iliaca)
ALTRO	Caratteri metrici.

DETERMINAZIONE DELL'ETÀ

CRANIO	Usura dentaria. Sinostosi delle suture craniche.
BACINO	Morfologia della sinfisi pubica.
ALTRO	Usura articolare. Morfologia delle epifisi sternali delle coste.

SITO ARCHEOLOGICO	Isf 06
Tomba	18
Sesso	-
Età	Circa 6 anni

MISURE SCHELETRICHE DI INDIVIDUI SUBADULTI

	DX	SX
OMERO		
Lunghezza massima	169	169
RADIO		
Lunghezza massima	NR	124
ULNA		
Lunghezza massima	NR	138
FEMORE		
Lunghezza massima	230	231
TIBIA		
Lunghezza massima	190	193
FIBULA		
Lunghezza massima	187	189

SALDATURA EPIFISI

NR = Non rilevabile; 0 = Assenza unione; 1 = Unione parziale; 2 = Unione con linea di fusione visibile; 3 = Unione completa

	DX	SX		DX	SX
Scapola			Pelvi		
Acromion	0	0	Elementi primari	0	0
Margine vertebrale	NR	NR	Cresta iliaca	0	0
Angolo inferiore	NR	NR	Tuberosità ischiatica	0	0
Clavicola			Femore		
Epifisi sternale	0	0	Testa	0	0
Epifisi acromiale	0	0	Grande trocantere	0	0
Omero			Piccolo trocantere	0	0
Testa	0	0	Epifisi distale	0	0
Epifisi distale	0	0	Tibia		
Epicondilo mediale	0	0	Epifisi prossimale	0	0
Radio			Epifisi distale	0	0
Epifisi prossimale	0	0	Osservazioni		
Epifisi distale	NR	0			
Ulna					
Epifisi prossimale	0	0			
Epifisi distale	NR	0			

PATOLOGIE E DETERMINAZIONE DELL'ETÀ DI INDIVIDUI SUBADULTI

PATOLOGIE DENTARIE	A	P	NR
Ipoplasia	X		
Età insorgenza ipoplasia			
PATOLOGIE SCHELETRICHE	A	P	NR
Cribrà	X		
Iperostosi porotica	X		

CLASSE DI ETÀ

Perinatale	
6 mesi – 1 anno	
1 – 3 anni	
3 – 5 anni	
5 – 7 anni	X
7 – 10 anni	
10 – 15 anni	
15 – 18 anni	
	ETÀ IN MESI O ANNI
ETÀ SCHELETRICA	6 – 7 anni
ETÀ DENTARIA	6 ± 2 anni
CRITERI UTILIZZATI / OSSERVAZIONI	
<p>Lunghezza diafisaria. Eruzione dentaria. NOTA: si conserva integra solo l'emiarcata alveolare inferiore sinistra, in cui il primo molare è eretto. Si conservano molte gemme dentarie non <i>in situ</i>.</p>	

SITO ARCHEOLOGICO	Isf 06
Tomba	19
Sesso	-
Età	Circa 7 anni

MISURE SCHELETRICHE DI INDIVIDUI SUBADULTI

	DX	SX
OMERO		
Lunghezza massima	174	172
RADIO		
Lunghezza massima	NR	NR
ULNA		
Lunghezza massima	NR	NR
FEMORE		
Lunghezza massima	240	240
TIBIA		
Lunghezza massima	NR	NR
FIBULA		
Lunghezza massima	NR	NR

SALDATURA EPIFISI

NR = Non rilevabile; 0 = Assenza unione; 1 = Unione parziale; 2 = Unione con linea di fusione visibile; 3 = Unione completa

	DX	SX		DX	SX
Scapola			Pelvi		
Acromion	NR	0	Elementi primari	0	0
Margine vertebrale	NR	NR	Cresta iliaca	0	0
Angolo inferiore	NR	0	Tuberosità ischiatica	0	0
Clavicola			Femore		
Epifisi sternale	NR	0	Testa	0	0
Epifisi acromiale	NR	0	Grande trocantere	0	0
Omero			Piccolo trocantere	0	0
Testa	0	0	Epifisi distale	0	0
Epifisi distale	0	0	Tibia		
Epicondilo mediale	0	0	Epifisi prossimale	NR	NR
Radio			Epifisi distale	NR	NR
Epifisi prossimale	0	NR	Osservazioni		
Epifisi distale	NR	NR			
Ulna					
Epifisi prossimale	0	0			
Epifisi distale	NR	NR			

PATOLOGIE E DETERMINAZIONE DELL'ETÀ DI INDIVIDUI SUBADULTI

PATOLOGIE DENTARIE	A	P	NR
Ipoplasia	X		
Età insorgenza ipoplasia			
PATOLOGIE SCHELETRICHE	A	P	NR
Cribrà			X
Iperostosi porotica	X		

CLASSE DI ETÀ

Perinatale	
6 mesi – 1 anno	
1 – 3 anni	
3 – 5 anni	
5 – 7 anni	
7 – 10 anni	X
10 – 15 anni	
15 – 18 anni	
	ETÀ IN MESI O ANNI
ETÀ SCHELETRICA	7 ± 1 anno
ETÀ DENTARIA	6 ± 2 anni
CRITERI UTILIZZATI / OSSERVAZIONI	
Lunghezza delle diafisi delle ossa lunghe. Eruzione dentaria (gli incisivi inferiori sono in eruzione; tutti i M1 sono erotti).	

SITO ARCHEOLOGICO	Isf 06
Tomba	20
Sesso	-
Età	10 – 11 anni

MISURE SCHELETRICHE DI INDIVIDUI SUBADULTI

	DX	SX
OMERO		
Lunghezza massima	NR	216
RADIO		
Lunghezza massima	NR	153
ULNA		
Lunghezza massima	NR	169
FEMORE		
Lunghezza massima	289	297
TIBIA		
Lunghezza massima	236	235
FIBULA		
Lunghezza massima	233	234

SALDATURA EPIFISI

NR = Non rilevabile; 0 = Assenza unione; 1 = Unione parziale; 2 = Unione con linea di fusione visibile; 3 = Unione completa

	DX	SX		DX	SX
Scapola			Pelvi		
Acromion	NR	NR	Elementi primari	0	0
Margine vertebrale	NR	0	Cresta iliaca	0	0
Angolo inferiore	NR	NR	Tuberosità ischiatica	0	0
Clavicola			Femore		
Epifisi sternale	0	0	Testa	0	0
Epifisi acromiale	NR	0	Grande trocantere	0	0
Omero			Piccolo trocantere	0	0
Testa	NR	0	Epifisi distale	0	0
Epifisi distale	0	0	Tibia		
Epicondilo mediale	0	0	Epifisi prossimale	0	0
Radio			Epifisi distale	0	0
Epifisi prossimale	NR	0	Osservazioni		
Epifisi distale	0	0			
Ulna					
Epifisi prossimale	0	0			
Epifisi distale	0	0			

PATOLOGIE E DETERMINAZIONE DELL'ETÀ DI INDIVIDUI SUBADULTI

PATOLOGIE DENTARIE	A	P	NR
Ipoplasia	X		
Età insorgenza ipoplasia			
PATOLOGIE SCHELETRICHE	A	P	NR
Cribrà	X		
Iperostosi porotica	X		

CLASSE DI ETÀ

Perinatale	
6 mesi – 1 anno	
1 – 3 anni	
3 – 5 anni	
5 – 7 anni	
7 – 10 anni	
10 – 15 anni	X
15 – 18 anni	
	ETÀ IN MESI O ANNI
ETÀ SCHELETRICA	10 anni
ETÀ DENTARIA	10 ± 2,5 anni
CRITERI UTILIZZATI / OSSERVAZIONI	
<p>Lunghezza diafisaria delle ossa lunghe. Eruzione dentaria (incisivi inferiori definitivi erotti, M2 in eruzione avanzata, premolari e canini erotti o in eruzione).</p>	

SITO ARCHEOLOGICO	Isf 06
Tomba	21
Sesso	Indeterminato tendente a F
Età	30 – 35 anni

CARATTERI METRICI, MORFOMETRICI, MORFOLOGICI, DISCONTINUI ED ERGONOMICI CRANICI

CALVARIO

1. Lunghezza massima	NR	
5. Distanza nasion – basion	NR	
8. Larghezza massima	NR	
9. Diametro frontale minimo	NR	
10. Diametro frontale massimo	NR	
17. Altezza basion – bregma	NR	
19(3). Distanza porion – bregma	d. NR	s. NR
19(4). Distanza porion – porion	NR	
20. Altezza porion – bregma	NR	
26. Arco nasion – bregma	NR	
29. Corda nasion – bregma	NR	
38. Capacità cranica al porion	NR	
38. Capacità cranica al basion	NR	
40. Distanza basion – prosthion	NR	
44(a). Corda naso – malare	NR	
44(1). Arco naso – malare	NR	
45. Larghezza massima della faccia	NR	
47. Altezza massima della faccia	NR	
48. Altezza superiore della faccia	NR	
51. Larghezza orbitaria	d. NR	s. NR
52. Altezza orbitaria	d. NR	s. NR
54. Larghezza nasale	23	
55. Altezza nasale	NR	
60. Lunghezza dell'arcata alveolare	51	
61. Larghezza dell'arcata alveolare	NR	
62. Lunghezza del palato	48	
63. Larghezza del palato	36	

MANDIBOLA

65. Larghezza bicondiloidea	114	
66. Larghezza bigoniaca	94	
67. Distanza fori mentonieri	43	
68. Profondità del corpo	78	
69. Altezza alla sinfisi	28	
69(1). Altezza al foro mentoniero	d. 12	s. 12
69(3). Spessore minimo al foro ment.	d. 10	s. 11

INDICI

8/1. Cranico orizzontale	NR	
17/1. Vertico – longitudinale	NR	
17/8. Vertico – trasversale	NR	
20/1. Auricolo – verticale	NR	
20/8. Auricolo – verticale trasversale	NR	
9/10. Frontale trasverso	NR	
9/8. Fronto – parietale	NR	
29/26. Indice di curvatura frontale	NR	
40/5. Gnatico	NR	
44(1)/44(a). Naso – malare	NR	
47/45. Facciale totale	NR	
48/45. Facciale superiore	NR	
52/51. Orbitario	d. NR	s. NR
54/55. Nasale	NR	
61/60. Maxillo – alveolare	NR	
63/62. Palatale	75	

CARATTERI DISCONTINUI

		DX	SX
NORMA SUPERIORE	Ossicini coronali	NR	NR
	Osso bregmatico	NR	
	Ossicini sagittali	NR	
	Fori obelici	NR	NR
NORMA LATERALE	Osso epipterico	A	A
	Osso ad intacco parietale	NR	NR
NORMA POSTERIORE	Osso al lambda	NR	
	Ossa wormiane lungo la sutura lambdoidea	NR	NR
	Osso epactale	NR	
	Osso asterico	NR	NR
	Linea nucale suprema	NR	
NORMA INFERIORE	Apertura del canale condiloideo posteriore	NR	NR
	Sdoppiamento della faccetta condiloidea	NR	NR
	Tubercolo precondiloideo	NR	NR
	Tubercolo faringeo	NR	NR
NORMA ANTERIORE	Sutura metopica	NR	
	Forame sopraorbitario completo	A	NR
	Forame frontale	NR	NR
	Forame infraorbitario accessorio	NR	NR
	Forame zigomatico	NR	NR

CARATTERI MORFOLOGICI

Cliноcefalia	NR
Batrocefalia	NR

CARATTERI ERGONOMICI

	DX	SX
Toro palatino	A	
Toro mandibolare	A	A
Toro mascellare	A	A

SCHEDA DENTARIA

MASCELLARE

DX													SX		
M3	M2	M1	P2	P1	C'	I2	I1	I1	I2	C'	P1	P2	M1	M2	M3
...	...	/ 6	/ 5	/ 5	/ 5	/ 5	/ 5	/ 5	/ 5	/ 5	/ 5	/ 5	-	/ 6	/ 5
t	i	t	i	t	i	t	i	t	i	t	i	t	i	t	/

MANDIBOLARE

DX													SX		
M3	M2	M1	P2	P1	C'	I2	I1	I1	I2	C'	P1	P2	M1	M2	M3
/ 4	/ 5	/ 5	/ 5	/ 5	/ 5	/ 5	/ 5	/ 5	/ 5	/ 5	/ 5	/ 5	/ 6	/ 6	/ 4
t /	t /	t i	t i	t i	t i	t i	t i	t i	t i	t i	t i	t i	t i	t i	/

ETÀ INSORGENZA IPOPLASIA (y = anni; m = mesi)

	M2	M1	P2	P1	C'	I2	I1	I1	I2	C'	P1	P2	M1	M2
MASCELLARE		2 y	4-5 y	4 y	2-3 y 3-4 y	2-3 y	2 y	2 y	3 y	4 y	3 y	3-4 y		2 y
MANDIBOLARE		2 y	3-4 y 5 y	4 y	2-3 y 4 y	2 y	2 y	2 y	2 y	2-3 y	3 y	3-4 y	2 y	5 y

ARTROSI TEMPORO-MANDIBOLARE

	Sì	No	NR
Fossetta DX		X	
Condilo DX		X	
Fossetta SX		X	
Condilo SX		X	

+	Dente <i>in situ</i>	A	Ascesso alveolare fistolizzato (parete alveolare distrutta)
-	Dente caduto <i>intra vitam</i>		
(-)	Dente caduto <i>post mortem</i>	g	Granuloma (dente perduto e fondo alveolare slargato)
O	Dente agenesiaco		
Incl.	Dente incluso	CD	Carie distruente
...	Tratto alveolare mancante	Cm	Carie mesiale
1-7	Usura	Cd	Carie distale
t	Tartaro	Cl	Carie linguale
T	Tartaro massivo	Cv	Carie vestibolare
TT	Tartaro che ingloba il dente	Co	Carie occlusale
i	Ipoplasia dello smalto	Cclt	Carie al colletto

**CARATTERI METRICI, MORFOMETRICI, MORFOLOGICI, DISCONTINUI ED
ERGONOMICI DEL CINTO SCAPOLARE E DELL'ARTO SUPERIORE**

CLAVICOLA	DX	SX
1. Lunghezza massima	NR	143
6. Circonferenza mediana	33	36
6/1. Indice di robustezza	NR	25,1
Notch-like defect	NR	P
Inserzione del grande pettorale	Lieve	Lieve
Porosità della superficie articolare per l'acromion	NR	Moderata
SCAPOLA	DX	SX
Solco circonflesso	A	A
OMERO	DX	SX
1. Lunghezza massima	293	291
2. Lunghezza totale	285	285
5. Diametro massimo a metà diafisi	20	21
6. Diametro minimo a metà diafisi	19	18
7. Circonferenza minima	56	57
7/1 Indice di robustezza	19,1	19,5
6/5 Indice diafisario	95	85,7
Apertura setto fossa olecranica	P	P
Processo sopracondiloideo	A	A
Doccia bicipitale	Moderata	Moderata
Tuberosità deltoidea	Lieve	Lieve
Esostosi dell'epicondilo mediale	A	A
RADIO	DX	SX
1. Lunghezza massima	210	210
2. Lunghezza fisiologica	196	196
3. Circonferenza minima	37	42
3/2. Indice di robustezza	18,8	21,4
Entesofiti sulla tuberosità bicipitale	A	A
ULNA	DX	SX
1. Lunghezza massima	NR	230
2. Lunghezza fisiologica	NR	203
3. Circonferenza minima	NR	37
13. Diametro trasversale superiore	20	24
14. Diametro dorso – volare superiore	24	23
3/2. Indice di robustezza	NR	18,2
13/14. Indice olenico	83,3	104,3
Entesofiti sul margine superiore olecrano	NR	A
Entesofiti sul margine inferiore incisura radiale	A	A

INDICI

	DX	SX
1Cl/1Om. Clavicolo – omerale	NR	49,1
1Ra/2Om. Radio – omerale	71,6	73,6

STATURA (in cm)

	DX	SX	D.S.
OMERO	156,41	155,74	± 4,45
RADIO	154,47	154,47	± 4,24
ULNA	NR	155,97	± 4,3
FEMORE	NR	NR	-
TIBIA	NR	NR	-
FEMORE+TIBIA	NR	NR	-
FIBULA	NR	NR	-

STATURA MEDIA (con adattamento età)	155,11	± 4,33
--	--------	--------

**CARATTERI METRICI, MORFOMETRICI, MORFOLOGICI, DISCONTINUI ED
ERGONOMICI DEL CINTO PELVICO E DELL'ARTO INFERIORE**

SACRO

	DX	SX
Faccette articolari accessorie	NR	NR

COXALE

	DX	SX
14(1). Diametro cotilo – sciatico	37	NR
15(1). Altezza sciatica	52	NR
15(1)/14(1). Indice cotilo – sciatico	140,5	NR
Solco sul fondo dell'acetabolo	A	A

BACINO

	DX	SX
Faccette articolari accessorie	A	A
2. Larghezza massima	NR	
5. Larghezza antero – superiore	NR	
23. Diametro sagittale	NR	
24. Diametro trasversale	NR	
23/24. Indice di ingresso	NR	

FEMORE

	DX	SX
1. Lunghezza massima	NR	NR
2. Lunghezza fisiologica	NR	NR
6. Diametro sagittale	NR	NR
7. Diametro trasversale	NR	NR
9. Diametro trasversale superiore	NR	NR
10. Diametro sagittale superiore	NR	NR
(6+7)/2. Indice di robustezza	NR	NR
Indice di asimmetria	NR	NR
6/7. Indice pilastrico	NR	NR
10/9. Indice merico	NR	NR
Terzo trocantere	NR	NR
Inserzione del grande gluteo	NR	NR
Faccetta di Poirier	NR	NR
Placca sul collo	NR	NR
Fossa di Allen	NR	NR
Esostosi della fossa trocanterica	NR	NR
Linea poplitea	NR	NR

INDICI DI SESSUAZIONE DEL CRANIO E DEL BACINO

CRANIO

	Valore W	-2	-1	0	1	2	NR	Valore Wx
Glabella	3						X	/
Processo mastoideo	3				X			3
Rilievi del piano nucale	3						X	/
Processo zigomatico del temporale	3						X	/
Mandibola	3				X			3
Mento	2			X				0
Arco sopraciliare	2						X	/
Osso zigomatico	2						X	/
TOT:	8							TOT: 6

BACINO

	Valore W	-2	-1	0	1	2	NR	Valore Wx
Solco preauricolare	3			X				0
Grande incisura ischiatica	3	X						-6
Angolo sottopubico	3						X	/
Forame otturato	2						X	/
Osso dell'anca	2						X	/
Arco composto	2						X	/
Corpo dell'ischio	2						X	/
Cresta iliaca	1			X				0
TOT:	7							TOT: -6

CRANIO

	F	I tendente F	I	I tendente M	M
$M = W_x/W = 6/8 = 0,75$				X	

BACINO

	F	I tendente F	I	I tendente M	M
$M = W_x/W = -6/7 = -0,85$		X			

DETERMINAZIONE DEL SESSO TRAMITE CARATTERI METRICI

	DX	SX	F	I - F	I	I - M	M
STERNO							
Lunghezza	NR						
SCAPOLA							
Lunghezza cavità glenoidea	34	35			X		
CLAVICOLA							
Lunghezza	NR	143	X				
OMERO							
Diametro verticale della testa	39	39	X				
FEMORE							
Diametro verticale della testa	NR	NR					
Diametro massimo della testa	NR	NR					
Lunghezza fisiologica	NR	NR					
Circonferenza a metà diafisi	NR	NR					
Larghezza bicondiloidea	NR	NR					

F	I tendente F	I	I tendente M	M
	X			

SCHEDA DI RILEVAMENTO PATOLOGICO

	A	P	NR	LIEVE	MODERATA	GRAVE
PATOLOGIE DENTARIE						
Ipoplasia		X				
Età insorgenza ipoplasia	Due episodi, uno a 2-3 anni, uno a 4-5 anni					
Parodontosi		X			X	
Usura strumentale	X					
Malposizionamenti	X					
Caratteri dentari	X					
PATOLOGIE SCHELETRICHE						
Cribra			X			
Iperostosi porotica	X					
Ernie di Schmorl		3		2 toraciche, 1 lombare		
Periostiti	X					
Fratture	X					
Osteite ischiatica	X					
ARTROSI						
Atlanto – occipitale	X					
Spondiloartrosi		X				
Cervicali		X		X		
Toraciche		X		X		
Lombari		X		X		
Sacrali			X			
Spalla	X					
Gomito		X		X		
Polso		X		X		
Mano		X		X		
Sterno – clavicolare	X					
Sterno – costale		X		X		
Costo – vertebrale	X					
Sacro – iliaca		X		X		
Coxartrosi			X			
Ginocchio			X			
Caviglia			X			
Piede			X			

CRITERI PER LA DETERMINAZIONE DI SESSO ED ETÀ

DETERMINAZIONE DEL SESSO

CRANIO	Morfologia dei punti più caratterizzanti (processo mastoideo, mento, mandibola).
BACINO	Morfologia dei punti più caratterizzanti (cresta iliaca, grande incisura ischiatica).
ALTRO	Il sesso è incerto.

DETERMINAZIONE DELL'ETÀ

CRANIO	Usura dentaria.
BACINO	Superficie auricolare.
ALTRO	Estremità sternali delle coste. Usura articolare.

SITO ARCHEOLOGICO	Isf 06
Tomba	22
Sesso	F
Età	20 – 25 anni

CARATTERI METRICI, MORFOMETRICI, MORFOLOGICI, DISCONTINUI ED ERGONOMICI CRANICI

CALVARIO

1. Lunghezza massima	153	
5. Distanza nasion – basion	NR	
8. Larghezza massima	166	
9. Diametro frontale minimo	99	
10. Diametro frontale massimo	113	
17. Altezza basion – bregma	NR	
19(3). Distanza porion – bregma	d. NR	s. NR
19(4). Distanza porion – porion	NR	
20. Altezza porion – bregma	NR	
26. Arco nasion – bregma	NR	
29. Corda nasion – bregma	NR	
38. Capacità cranica al porion	NR	
38. Capacità cranica al basion	NR	
40. Distanza basion – prosthion	NR	
44(a). Corda naso – malare	NR	
44(1). Arco naso – malare	NR	
45. Larghezza massima della faccia	NR	
47. Altezza massima della faccia	NR	
48. Altezza superiore della faccia	NR	
51. Larghezza orbitaria	d. NR	s. NR
52. Altezza orbitaria	d. NR	s. NR
54. Larghezza nasale	18	
55. Altezza nasale	NR	
60. Lunghezza dell'arcata alveolare	50	
61. Larghezza dell'arcata alveolare	58	
62. Lunghezza del palato	42	
63. Larghezza del palato	36	

MANDIBOLA

65. Larghezza bicondiloidea	120	
66. Larghezza bigoniaca	99	
67. Distanza fori mentonieri	43	
68. Profondità del corpo	57	
69. Altezza alla sinfisi	26	
69(1). Altezza al foro mentoniero	d. 12	s. 10
69(3). Spessore minimo al foro ment.	d. 11	s. 9

INDICI

8/1. Cranico orizzontale	108,4	
17/1. Vertico – longitudinale	NR	
17/8. Vertico – trasversale	NR	
20/1. Auricolo – verticale	NR	
20/8. Auricolo – verticale trasversale	NR	
9/10. Frontale trasverso	87,4	
9/8. Fronto – parietale	59,6	
29/26. Indice di curvatura frontale	NR	
40/5. Gnatico	NR	
44(1)/44(a). Naso – malare	NR	
47/45. Facciale totale	NR	
48/45. Facciale superiore	NR	
52/51. Orbitario	d. NR	s. NR
54/55. Nasale	NR	
61/60. Maxillo – alveolare	116	
63/62. Palatale	85,7	

CARATTERI DISCONTINUI

		DX	SX
NORMA SUPERIORE	Ossicini coronali	A	A
	Osso bregmatico	A	
	Ossicini sagittali	P	
	Fori obelici	P	A
NORMA LATERALE	Osso epipterico	A	A
	Osso ad intacco parietale	A	A
NORMA POSTERIORE	Osso al lambda	A	
	Ossa wormiane lungo la sutura lambdoidea	P	NR
	Osso epactale	A	
	Osso asterico	NR	NR
	Linea nucale suprema	NR	
NORMA INFERIORE	Apertura del canale condiloideo posteriore	NR	NR
	Sdoppiamento della faccetta condiloidea	A	A
	Tubercolo precondiloideo	NR	NR
	Tubercolo faringeo	NR	NR
NORMA ANTERIORE	Sutura metopica	P	
	Forame sopraorbitario completo	P	P
	Forame frontale	A	A
	Forame infraorbitario accessorio	NR	NR
	Forame zigomatico	A	NR

CARATTERI MORFOLOGICI

Clinocefalia	A
Batrocefalia	A

CARATTERI ERGONOMICI

	DX	SX
Toro palatino	A	
Toro mandibolare	A	A
Toro mascellare	A	A

SCHEDA DENTARIA

MASCELLARE

DX	M3	M2	M1	P2	P1	C'	I2	I1	I1	I2	C'	P1	P2	M1	M2	M3	SX					
	/	4	/	4	/	4	/	5	/	5	/	5	/	5	/	4	/	4	/	4	/	3
	t	i	t	i	t	i	t	i	t	i	t	i	t	i	t	i	t	i	t	i	t	/

MANDIBOLARE

DX	M3	M2	M1	P2	P1	C'	I2	I1	I1	I2	C'	P1	P2	M1	M2	M3	SX												
	/	3	/	3	/	5	/	4	/	4	/	5	/	5	/	5	/	5	/	4	/	4	/	5	/	4	/	3	
	t	/	t	i	t	/	t	i	t	/	t	i	t	/	t	i	t	/	t	/	t	/	t	/	t	/	t	/	/

ETÀ INSORGENZA IPOPLASIA (y = anni; m = mesi)

	M2	M1	P2	P1	C'	I2	I1	I1	I2	C'	P1	P2	M1	M2
MASCELLARE	5-6 y	10 m 2 y	4 y		3 y 4 y	2 y 3 y	2 y 3 y		2 y 3 y	2 y	5 y	4 y	1-2 y	3 y
MANDIBOLARE	5 y		5 y	3 y	2 y 3 y	2 y	2 y	2 y	2 y	2 y 3 y	4 y			

ARTROSI TEMPORO-MANDIBOLARE

	Sì	No	NR
Fossetta DX		X	
Condilo DX		X	
Fossetta SX		X	
Condilo SX		X	

+	Dente <i>in situ</i>	A	Ascesso alveolare fistolizzato (parete alveolare distrutta)
-	Dente caduto <i>intra vitam</i>		
(-)	Dente caduto <i>post mortem</i>	g	Granuloma (dente perduto e fondo alveolare slargato)
O	Dente agenesiaco		
Incl.	Dente incluso	CD	Carie distruente
...	Tratto alveolare mancante	Cm	Carie mesiale
1-7	Usura	Cd	Carie distale
t	Tartaro	Cl	Carie linguale
T	Tartaro massivo	Cv	Carie vestibolare
TT	Tartaro che ingloba il dente	Co	Carie oclusale
i	Ipoplasia dello smalto	Cclt	Carie al colletto

**CARATTERI METRICI, MORFOMETRICI, MORFOLOGICI, DISCONTINUI ED
ERGONOMICI DEL CINTO SCAPOLARE E DELL'ARTO SUPERIORE**

CLAVICOLA	DX	SX
1. Lunghezza massima	123	124
6. Circonferenza mediana	34	34
6/1. Indice di robustezza	27,6	27,4
Notch-like defect	P	P
Inserzione del grande pettorale	Moderata	Moderata
Superficie articolare per l'acromion	A	A
SCAPOLA	DX	SX
Solco circonflesso	NR	NR
OMERO	DX	SX
1. Lunghezza massima	282	280
2. Lunghezza totale	276	273
5. Diametro massimo a metà diafisi	20	20
6. Diametro minimo a metà diafisi	15	14
7. Circonferenza minima	53	53
7/1 Indice di robustezza	18,7	18,9
6/5 Indice diafisario	75	70
Apertura setto fossa olecranica	A	A
Processo sopracondiloideo	A	A
Doccia bicipitale	Lieve	Lieve
Tuberosità deltoidea	Lieve	Lieve
Esostosi dell'epicondilo mediale	A	A
RADIO	DX	SX
1. Lunghezza massima	195	198
2. Lunghezza fisiologica	191	191
3. Circonferenza minima	37	36
3/2. Indice di robustezza	19,3	18,8
Entesofiti sulla tuberosità bicipitale	A	A
ULNA	DX	SX
1. Lunghezza massima	NR	200
2. Lunghezza fisiologica	NR	195
3. Circonferenza minima	35	34
13. Diametro trasversale superiore	18	15
14. Diametro dorso – volare superiore	24	21
3/2. Indice di robustezza	NR	17,4
13/14. Indice olenico	75	71,4
Entesofiti sul margine superiore olecrano	A	A
Entesofiti sul margine inferiore incisura radiale	A	NR

INDICI

	DX	SX
1Cl/1Om. Clavicolo – omerale	43,6	44,2
1Ra/2Om. Radio – omerale	70,6	72,5

STATURA

	DX	SX	
OMERO	152,72	152,05	± 4,45
RADIO	147,36	148,78	± 4,24
ULNA	NR	151,7	± 4,3
FEMORE	146,47	147,96	± 3,72
TIBIA	NR	149,4	± 3,66
FEMORE+TIBIA	NR	148,13	± 3,55
FIBULA	NR	148,38	± 3,57
STATURA MEDIA		149,79	± 3,99

**CARATTERI METRICI, MORFOMETRICI, MORFOLOGICI, DISCONTINUI ED
ERGONOMICI DEL CINTO PELVICO E DELL'ARTO INFERIORE**

SACRO

	DX	SX
Faccette articolari accessorie	A	A

COXALE

	DX	SX
14(1). Diametro cotilo – sciatico	27	27
15(1). Altezza sciatica	54	54
15(1)/14(1). Indice cotilo – sciatico	200	200
Solco sul fondo dell'acetabolo	A	A

BACINO

	DX	SX
Faccette articolari accessorie	A	A
2. Larghezza massima	260	
5. Larghezza antero – superiore	231	
23. Diametro sagittale	88	
24. Diametro trasversale	126	
23/24. Indice di ingresso	69,8	

FEMORE

	DX	SX
1. Lunghezza massima	374	380
2. Lunghezza fisiologica	372	377
6. Diametro sagittale	24	24
7. Diametro trasversale	23	25
9. Diametro trasversale superiore	31	30
10. Diametro sagittale superiore	25	23
(6+7)/2. Indice di robustezza	12,6	12,9
6/7. Indice pilastrico	104,3	96
10/9. Indice merico	80,6	76,6
Terzo trocantere	P	A
Inserzione del grande gluteo	Lieve	Lieve
Faccetta di Poirier	NR	NR
Placca sul collo	NR	NR
Fossa di Allen	NR	NR
Esostosi della fossa trocanterica	NR	NR

PATELLA

	DX	SX
Intacco del vasto	Lieve	Lieve

TIBIA

	DX	SX
1. Lunghezza massima	NR	303
8a. Diametro sagittale al foro nutrizio	30	29
9a. Diametro trasversale al foro nutrizio	21	21
10b. Circonferenza minima	70	68
10b/1. Indice di robustezza	NR	22,4
9a/8a. Indice cnemico	70	72,4
Faccette bordo anteriore epifisi distale	NR	A
Linea poplitea	Lieve	Lieve

FIBULA

	DX	SX
1. Lunghezza massima	NR	303
4a. Circonferenza minima	32	33
4a/1. Indice di robustezza	NR	10,8
Scanalature della diafisi	Lievi	Lievi

ASTRAGALO

	DX	SX
Osso trigono	A	A
Faccetta sul collo	A	A

CALCAGNO

	DX	SX
Faccetta calcaneare sdoppiata	A	A
Tubercolo peroneale	A	A
Esostosi inserzione tendine d'Achille	A	A
Sperone calcaneare	A	A

INDICI

	DX	SX
1Ti/2Fem Indice crurale	NR	80,3

INDICI DI SESSUAZIONE DEL CRANIO E DEL BACINO

CRANIO

	Valore W	-2	-1	0	1	2	NR	Valore Wx
Glabella	3		X					-3
Processo mastoideo	3	X						-6
Rilievi del piano nucale	3		X					-3
Processo zigomatico del temporale	3						X	/
Mandibola	3		X					-3
Mento	2		X					-2
Arco sopraciliare	2		X					-2
Osso zigomatico	2						X	/
TOT:	13							-19

BACINO

	Valore W	-2	-1	0	1	2	NR	Valore Wx
Solco preauricolare	3			X				0
Grande incisura ischiatica	3		X					-3
Angolo sottopubico	3						X	/
Forame otturato	2						X	/
Osso dell'anca	2		X					-2
Arco composto	2						X	/
Corpo dell'ischio	2		X					-2
Cresta iliaca	1				X			1
TOT:	11							-6

CRANIO

	F	I tendente F	I	I tendente M	M
$M = W_x/W = -19/13 = -1,4$	X				

BACINO

	F	I tendente F	I	I tendente M	M
$M = W_x/W = -6/11 = -0,54$		X			

DETERMINAZIONE DEL SESSO TRAMITE CARATTERI METRICI

	DX	SX	F	I - F	I	I - M	M
STERNO							
Lunghezza	NR						
SCAPOLA							
Lunghezza cavità glenoidea	33	32	X				
CLAVICOLA							
Lunghezza	123	124	X				
OMERO							
Diametro verticale della testa	38	37	X				
FEMORE							
Diametro verticale della testa	39	38	X				
Diametro massimo della testa	39	38	X				
Lunghezza fisiologica	374	380	X				
Circonferenza a metà diafisi	76	78	X				
Larghezza bicondiloidea	71	69	X				

F	I tendente F	I	I tendente M	M
X				

SCHEDA DI RILEVAMENTO PATOLOGICO

	A	P	NR	LIEVE	MODERATA	GRAVE
PATOLOGIE DENTARIE						
Ipoplasia		X				
Età insorgenza ipoplasia	Due episodi, uno a circa 2 anni, uno a circa 4 anni.					
Parodontosi		X		X		
Usura strumentale	X					
Malposizionamenti	X					
Caratteri dentari		X				
PATOLOGIE SCHELETRICHE						
Cribrà		X		X		
Iperostosi parotica	X					
Ernie di Schmorl		3		Toraciche		
Periostiti		X		X		
Fratture		Cranio				
Osteite ischiatica	X					
ARTROSI						
Atlanto – occipitale	X					
Spondiloartrosi	X					
Cervicali	X					
Toraciche	X					
Lombari	X					
Sacrali	X					
Spalla	X					
Gomito	X					
Polso	X					
Mano	X					
Sterno – clavicolare	X					
Sterno – costale	X					
Costo – vertebrale	X					
Sacro – iliaca	X					
Coxartrosi	X					
Ginocchio	X					
Caviglia	X					
Piede	X					

CRITERI PER LA DETERMINAZIONE DI SESSO ED ETÀ

DETERMINAZIONE DEL SESSO

CRANIO	Morfologia dei punti più caratterizzanti (glabella, processo mastoideo, rilievi del piano nucale, mandibola, mento, arcata sopraciliare).
BACINO	Morfologia dei punti più caratterizzanti (solco preauricolare, grande incisura ischiatica, osso dell'anca, corpo dell'ischio, cresta iliaca).
ALTRO	Caratteri metrici.

DETERMINAZIONE DELL'ETÀ

CRANIO	Eruzione e usura dentaria.
BACINO	Morfologia della sinfisi pubica.
ALTRO	Fusione delle epifisi delle ossa lunghe. Estremità sternali delle coste.

SITO ARCHEOLOGICO	Isf 06
Tomba	23
Sesso	F
Età	20 – 25 anni

CARATTERI METRICI, MORFOMETRICI, MORFOLOGICI, DISCONTINUI ED ERGONOMICI CRANICI

CALVARIO

1. Lunghezza massima	177	
5. Distanza nasion – basion	NR	
8. Larghezza massima	140	
9. Diametro frontale minimo	101	
10. Diametro frontale massimo	115	
17. Altezza basion – bregma	NR	
19(3). Distanza porion – bregma	d. 133	s. 128
19(4). Distanza porion – porion	110	
20. Altezza porion – bregma	121	
26. Arco nasion – bregma	130	
29. Corda nasion – bregma	112	
38. Capacità cranica al porion	1420,79 cm ³	
38. Capacità cranica al basion	NR	
40. Distanza basion – prosthion	NR	
44(a). Corda naso – malare	98	
44(1). Arco naso – malare	112	
45. Larghezza massima della faccia	113	
47. Altezza massima della faccia	109	
48. Altezza superiore della faccia	70	
51. Larghezza orbitaria	d. 43	s. 42
52. Altezza orbitaria	d. 32	s. 33
54. Larghezza nasale	25	
55. Altezza nasale	49	
60. Lunghezza dell'arcata alveolare	NR	
61. Larghezza dell'arcata alveolare	61	
62. Lunghezza del palato	NR	
63. Larghezza del palato	38	

MANDIBOLA

65. Larghezza bicondiloidea	118	
66. Larghezza bigonica	97	
67. Distanza fori mentonieri	50	
68. Profondità del corpo	64	
69. Altezza alla sinfisi	31	
69(1). Altezza al foro mentoniero	d. 11	s. 10
69(3). Spessore minimo al foro ment.	d. 12	s. 12

INDICI

8/1. Cranico orizzontale	79	
17/1. Vertico – longitudinale	NR	
17/8. Vertico – trasversale	NR	
20/1. Auricolo – verticale	68,3	
20/8. Auricolo – verticale trasversale	86,4	
9/10. Frontale trasverso	87,8	
9/8. Fronto – parietale	72,1	
29/26. Indice di curvatura frontale	86,1	
40/5. Gnatico	NR	
44(1)/44(a). Naso – malare	114,2	
47/45. Facciale totale	96,4	
48/45. Facciale superiore	61,9	
52/51. Orbitario	d. 74,4	s. 78,5
54/55. Nasale	51	
61/60. Maxillo – alveolare	NR	
63/62. Palatale	NR	

CARATTERI DISCONTINUI

		DX	SX
NORMA SUPERIORE	Ossicini coronali	A	A
	Osso bregmatico	A	
	Ossicini sagittali	A	
	Fori obelici	P	P
NORMA LATERALE	Osso epipterico	A	A
	Osso ad intacco parietale	A	A
NORMA POSTERIORE	Osso al lambda	A	
	Ossa wormiane lungo la sutura lambdoidea	A	A
	Osso epactale	A	
	Osso asterico	A	A
	Linea nucale suprema	Lieve	
NORMA INFERIORE	Apertura del canale condiloideo posteriore	NR	NR
	Sdoppiamento della faccetta condiloidea	NR	NR
	Tubercolo precondiloideo	NR	NR
	Tubercolo faringeo	NR	NR
NORMA ANTERIORE	Sutura metopica	A	
	Forame sopraorbitario completo	P	P
	Forame frontale	A	A
	Forame infraorbitario accessorio	A	A
	Forame zigomatico	A	A

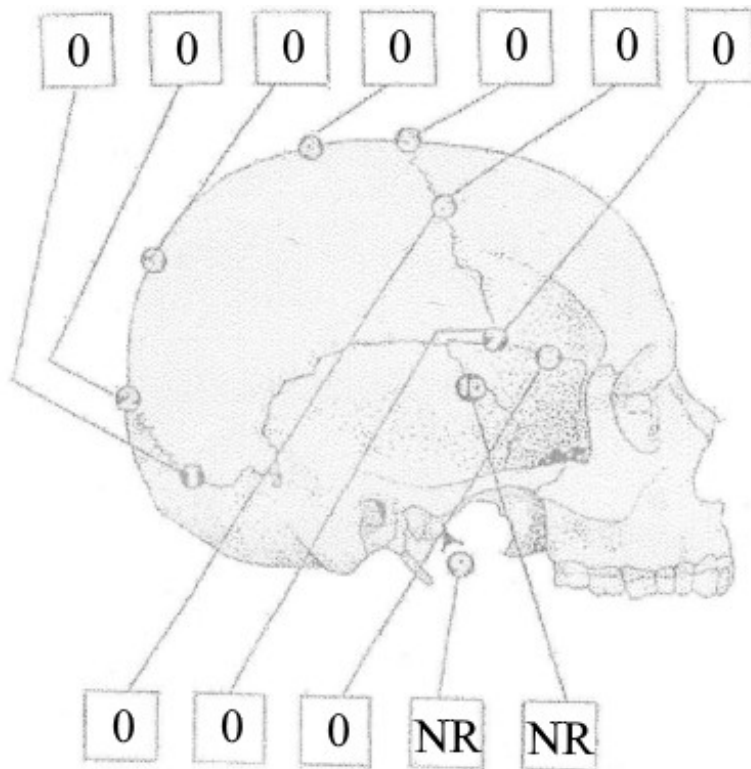
CARATTERI MORFOLOGICI

Cliноcefalia	Lieve
Batrocefalia	Lieve

CARATTERI ERGONOMICI

	DX	SX
Toro palatino	A	
Toro mandibolare	A	A
Toro mascellare	A	A

SINOSTOSI DELLE SUTURE CRANICHE



Legenda	
Ogni punto considera un'area di 1 cm, classificata in uno stadio di sinostosi tra i seguenti	
0	Sinostosi aperta, nessuna traccia di sinostosi ectocranica
1	Sinostosi minima, da un singolo ponte osseo al 50% di sinostosi
2	Sinostosi significativa, superiore al 50% di sinostosi
3	Sinostosi completa, con totale obliterazione della sutura

Sistema della volta					Sistema laterale anteriore				
Punti	Età media	S. D.	Int. dec.	Range	Punti	Età media	S. D.	Int. dec.	Range
0	-	-	< 35	< 49	0	-	-	< 43	< 50
1 - 2	30,5	9,6	19 - 44	18 - 45	1	32	8,3	21 - 42	19 - 48
3 - 4 - 5 - 6	34,7	7,8	23 - 45	22 - 48	2	36,2	6,2	29 - 44	25 - 49
7 - 8 - 9 - 10 - 11	39,4	9,1	28 - 44	24 - 60	3 - 4 - 5	41,1	10	28 - 52	23 - 68
12 - 13 - 14 - 15	45,2	12,6	31 - 65	24 - 75	6	43,4	10,7	30 - 54	23 - 63
16 - 17 - 18	48,8	10,5	35 - 60	30 - 71	7 - 8	45,5	8,9	35 - 57	32 - 65
19 - 20	51,5	12,6	34 - 63	23 - 76	9 - 10	51,9	12,5	39 - 69	33 - 76
21	-	-	> 43	> 40	11 - 12 - 13 - 14	56,2	8,5	49 - 65	34 - 68
					15	-	-	-	-

Sistema	Punti	Età media	S. D.	Int. dec.	Range
Volta	0	-	-	< 35	< 49
Laterale anteriore	NR	NR	NR	NR	NR

SCHEDA DENTARIA

MASCELLARE

DX													SX		
M3	M2	M1	P2	P1	C'	I2	I1	I1	I2	C'	P1	P2	M1	M2	M3
/	3	/	4	/	4	/	3	/	3	/	4	/	3	/	3
/	/	/	/	/	/	t	/	t	i	/	i	t	i	t	i

MANDIBOLARE

DX													SX		
M3	M2	M1	P2	P1	C'	I2	I1	I1	I2	C'	P1	P2	M1	M2	M3
/	4	/	4	/	5	/	3	/	3	/	4	/	4	/	3
t	/	t	i	t	i	t	i	t	i	t	i	t	i	t	i

ETÀ INSORGENZA IPOPLASIA (y = anni; m = mesi)

	M2	M1	P2	P1	C'	I2	I1	I1	I2	C'	P1	P2	M1	M2
MASCELLARE				5 y	4 y	3 y	3 y	3 y	3 y	3 y	3 y	5 y		
MANDIBOLARE	5 y	1,5 y	4 y	4 y	2 y					2 y	3 y	5 y	1,5 y	

ARTROSI TEMPORO-MANDIBOLARE

	Sì	No	NR
Fossetta DX		X	
Condilo DX		X	
Fossetta SX		X	
Condilo SX		X	

+	Dente <i>in situ</i>	A	Ascesso alveolare fistolizzato (parete alveolare distrutta)
-	Dente caduto <i>intra vitam</i>		
(-)	Dente caduto <i>post mortem</i>	g	Granuloma (dente perduto e fondo alveolare slargato)
O	Dente agenesiaco		
Incl.	Dente incluso	CD	Carie distruente
...	Tratto alveolare mancante	Cm	Carie mesiale
1-7	Usura	Cd	Carie distale
t	Tartaro	Cl	Carie linguale
T	Tartaro massivo	Cv	Carie vestibolare
TT	Tartaro che ingloba il dente	Co	Carie occlusale
i	Ipoplasia dello smalto	Cclt	Carie al colletto

**CARATTERI METRICI, MORFOMETRICI, MORFOLOGICI, DISCONTINUI ED
ERGONOMICI DEL CINTO SCAPOLARE E DELL'ARTO SUPERIORE**

CLAVICOLA	DX	SX
1. Lunghezza massima	125	133
6. Circonferenza mediana	33	31
6/1. Indice di robustezza	26,4	23,3
Notch-like defect	P	P
Inserzione del grande pettorale	Lieve	Lieve
Porosità della superficie articolare per l'acromion	Lieve	Lieve
SCAPOLA	DX	SX
Solco circonflesso	A	A
OMERO	DX	SX
1. Lunghezza massima	290	288
2. Lunghezza totale	285	282
5. Diametro massimo a metà diafisi	19	18
6. Diametro minimo a metà diafisi	14	14
7. Circonferenza minima	54	53
7/1 Indice di robustezza	18,6	18,4
6/5 Indice diafisario	73,6	77,7
Apertura setto fossa olecranica	P	A
Processo sopracondiloideo	A	A
Doccia bicipitale	Lieve	Lieve
Tuberosità deltoidea	Lieve	Lieve
Esostosi dell'epicondilo mediale	NR	A
RADIO	DX	SX
1. Lunghezza massima	204	202
2. Lunghezza fisiologica	194	192
3. Circonferenza minima	34	33
3/2. Indice di robustezza	17,5	17,1
Entesofiti sulla tuberosità bicipitale	A	A
ULNA	DX	SX
1. Lunghezza massima	223	219
2. Lunghezza fisiologica	196	193
3. Circonferenza minima	33	31
13. Diametro trasversale superiore	18	18
14. Diametro dorso – volare superiore	21	20
3/2. Indice di robustezza	16,8	16
13/14. Indice olenico	85,7	90
Entesofiti sul margine superiore olecrano	A	A
Entesofiti sul margine inferiore incisura radiale	A	A

INDICI

	DX	SX
1Cl/1Om. Clavicolo – omerale	43,1	46,1
1Ra/2Om. Radio – omerale	71,5	71,6

STATURA

	DX	SX	
OMERO	155,41	154,73	± 4,45
RADIO	151,62	150,67	± 4,24
ULNA	152,98	151,27	± 4,3
FEMORE	154,13	153,64	± 3,72
TIBIA	154,62	154,33	± 3,66
FEMORE+TIBIA	154,11	153,69	± 3,55
FIBULA	NR	153,07	± 3,57
STATURA MEDIA		153,4	± 3,95

**CARATTERI METRICI, MORFOMETRICI, MORFOLOGICI, DISCONTINUI ED
ERGONOMICI DEL CINTO PELVICO E DELL'ARTO INFERIORE**

SACRO

	DX	SX
Faccette articolari accessorie	P	P

COXALE

	DX	SX
14(1). Diametro cotilo – sciatico	34	29
15(1). Altezza sciatica	44	37
15(1)/14(1). Indice cotilo – sciatico	129,4	127,5
Solco sul fondo dell'acetabolo	A	A

BACINO

	DX	SX
Faccette articolari accessorie	P	P
2. Larghezza massima	NR	
5. Larghezza antero – superiore	NR	
23. Diametro sagittale	NR	
24. Diametro trasversale	NR	
23/24. Indice di ingresso	NR	

FEMORE

	DX	SX
1. Lunghezza massima	405	403
2. Lunghezza fisiologica	401	398
6. Diametro sagittale	24	24
7. Diametro trasversale	26	23
9. Diametro trasversale superiore	31	30
10. Diametro sagittale superiore	24	23
(6+7)/2. Indice di robustezza	12,4	11,8
6/7. Indice pilastrico	92,3	104,3
10/9. Indice merico	77,4	76,6
Terzo trocantere	A	A
Inserzione del grande gluteo	Lieve	Lieve
Faccetta di Poirier	A	A
Placca sul collo	A	A
Fossa di Allen	A	A
Esostosi della fossa trocanterica	A	A

PATELLA

	DX	SX
Intacco del vasto	Lieve	Lieve

TIBIA

	DX	SX
1. Lunghezza massima	321	320
8a. Diametro sagittale al foro nutrizio	29	29
9a. Diametro trasversale al foro nutrizio	20	20
10b. Circonferenza minima	65	65
10b/1. Indice di robustezza	20,7	20,3
9a/8a. Indice cnemico	68,9	68,9
Faccette bordo anteriore epifisi distale	A	A
Linea poplitea	Lieve	Lieve

FIBULA

	DX	SX
1. Lunghezza massima	NR	319
4a. Circonferenza minima	NR	30
4a/1. Indice di robustezza	NR	9,4
Scanalature della diafisi	Lievi	Lievi

ASTRAGALO

	DX	SX
Osso trigono	A	A
Faccetta sul collo	A	A

CALCAGNO

	DX	SX
Faccetta calcaneare sdoppiata	P	P
Tubercolo peroneale	P	P
Esostosi inserzione tendine d'Achille	A	A
Sperone calcaneare	A	P

INDICI

	DX	SX
1Ti/2Fem Indice crurale	80	80,4

INDICI DI SESSUAZIONE DEL CRANIO E DEL BACINO

CRANIO

	Valore W	-2	-1	0	1	2	NR	Valore Wx
Glabella	3		X					-3
Processo mastoideo	3			X				0
Rilievi del piano nucale	3		X					-3
Processo zigomatico del temporale	3		X					-3
Mandibola	3		X					-3
Mento	2			X				0
Arco sopraciliare	2		X					-2
Osso zigomatico	2		X					-2
	TOT: 21							TOT: -16

BACINO

	Valore W	-2	-1	0	1	2	NR	Valore Wx
Solco preauricolare	3			X				0
Grande incisura ischiatica	3		X					-3
Angolo sottopubico	3						X	/
Forame otturato	2						X	/
Osso dell'anca	2		X					-2
Arco composto	2						X	/
Corpo dell'ischio	2	X						-4
Cresta iliaca	1			X				0
	TOT: 11							TOT: -9

CRANIO

	F	I tendente F	I	I tendente M	M
$M = W_x/W = -16/21 = -0,76$		X			

BACINO

	F	I tendente F	I	I tendente M	M
$M = W_x/W = -9/11 = -0,81$		X			

DETERMINAZIONE DEL SESSO TRAMITE CARATTERI METRICI

	DX	SX	F	I - F	I	I - M	M
STERNO							
Lunghezza	133		X				
SCAPOLA							
Lunghezza cavità glenoidea	30	31	X				
CLAVICOLA							
Lunghezza	125	133	X				
OMERO							
Diametro verticale della testa	39	38	X				
FEMORE							
Diametro verticale della testa	39	38	X				
Diametro massimo della testa	39	39	X				
Lunghezza fisiologica	401	398		X			
Circonferenza a metà diafisi	80	74	X				
Larghezza bicondiloidea	69	67	X				

F	I tendente F	I	I tendente M	M
X				

SCHEDA DI RILEVAMENTO PATOLOGICO

	A	P	NR	LIEVE	MODERATA	GRAVE
PATOLOGIE DENTARIE						
Ipoplasia		X				
Età insorgenza ipoplasia	Almeno due episodi, uno a circa 2 anni, uno a circa 4 anni.					
Parodontosi		X				
Usura strumentale		X				
Malposizionamenti	X					
Caratteri dentari	X					
PATOLOGIE SCHELETRICHE						
Cribrà		X			X	
Iperostosi parotica	X					
Ernie di Schmorl		4		3 toraciche, 1 lombare		
Periostiti		X		X		
Fratture	X					
Osteite ischiatica	X					
ARTROSI						
Atlanto – occipitale			X			
Spondiloartrosi	X					
Cervicali	X					
Toraciche	X					
Lombari	X					
Sacrali	X					
Spalla	X					
Gomito		X		X		
Polso		X		X		
Mano	X					
Sterno – clavicolare	X					
Sterno – costale		X		X		
Costo – vertebrale	X					
Sacro – iliaca		X		X		
Coxartrosi			X			
Ginocchio		X		X		
Caviglia		X		X		
Piede		X		X		

CRITERI PER LA DETERMINAZIONE DI SESSO ED ETÀ

DETERMINAZIONE DEL SESSO

CRANIO	Morfologia dei punti più caratterizzanti (glabella, processo mastoideo, rilievi del piano nucale, processo zigomatico del temporale, mandibola, mento, arco sopraciliare, osso zigomatico).
BACINO	Morfologia dei punti più caratterizzanti (solco preauricolare, grande incisura ischiatica, osso dell'anca, corpo dell'ischio, cresta iliaca).
ALTRO	Caratteri metrici.

DETERMINAZIONE DELL'ETÀ

CRANIO	Sinostosi delle suture craniche. Usura dentaria.
BACINO	
ALTRO	Morfologia delle terminazioni sternali delle coste. Usura articolare. Grado di fusione delle epifisi.

SITO ARCHEOLOGICO	Isf 06
Tomba	24
Sesso	Indeterminato
Età	Indeterminata

CARATTERI METRICI, MORFOMETRICI, MORFOLOGICI, DISCONTINUI ED ERGONOMICI DEL CINTO PELVICO E DELL'ARTO INFERIORE

PATELLA

	DX	SX
Intacco del vasto	NR	NR

TIBIA

	DX	SX
1. Lunghezza massima	316	318
8a. Diametro sagittale al foro nutrizio	26	24
9a. Diametro trasversale al foro nutrizio	19	21
10b. Circonferenza minima	64	65
10b/1. Indice di robustezza	20,2	20,4
9a/8a. Indice cnemico	73	87,5
Faccette bordo anteriore epifisi distale	A	A

FIBULA

	DX	SX
1. Lunghezza massima	306	309
4a. Circonferenza minima	31	31
4a/1. Indice di robustezza	10,1	10
Scanalature della diafisi	Moderate	Moderate

ASTRAGALO

	DX	SX
Osso trigono	A	A
Faccetta sul collo	A	A

CALCAGNO

	DX	SX
Faccetta calcaneare sdoppiata	P	P
Tubercolo peroneale	A	P
Esostosi inserzione tendine d'Achille	Lievi	Lievi
Sperone calcaneare	A	A

INDICI

	DX	SX
1Ti/2Fem Indice crurale	NR	NR

INDICI DI SESSUAZIONE DEL CRANIO E DEL BACINO

CRANIO

	Valore W	-2	-1	0	1	2	NR	Valore Wx
Glabella	3						X	/
Processo mastoideo	3						X	/
Rilievi del piano nucale	3						X	/
Processo zigomatico del temporale	3						X	/
Mandibola	3						X	/
Mento	2						X	/
Arco sopraciliare	2						X	/
Osso zigomatico	2						X	/
TOT:								TOT:

BACINO

	Valore W	-2	-1	0	1	2	NR	Valore Wx
Solco preauricolare	3						X	/
Grande incisura ischiatica	3						X	/
Angolo sottopubico	3						X	/
Forame otturato	2						X	/
Osso dell'anca	2						X	/
Arco composto	2						X	/
Corpo dell'ischio	2						X	/
Cresta iliaca	1						X	/
TOT:								TOT:

CRANIO

	F	I tendente F	I	I tendente M	M
M = W _x /W =			X		

BACINO

	F	I tendente F	I	I tendente M	M
M = W _x /W =			X		

DETERMINAZIONE DEL SESSO TRAMITE CARATTERI METRICI

	DX	SX	F	I - F	I	I - M	M
STERNO							
Lunghezza	NR						
SCAPOLA							
Lunghezza cavità glenoidea	NR	NR					
CLAVICOLA							
Lunghezza	NR	NR					
OMERO							
Diametro verticale della testa	NR	NR					
FEMORE							
Diametro verticale della testa	NR	NR					
Diametro massimo della testa	NR	NR					
Lunghezza fisiologica	NR	NR					
Circonferenza a metà diafisi	NR	NR					
Larghezza bicondiloidea	NR	NR					

F	I tendente F	I	I tendente M	M
		X		

SCHEDA DI RILEVAMENTO PATOLOGICO

	A	P	NR	LIEVE	MODERATA	GRAVE
PATOLOGIE DENTARIE						
Ipoplasia			X			
Età insorgenza ipoplasia						
Parodontosi			X			
Usura strumentale			X			
Malposizionamenti			X			
Caratteri dentari			X			
PATOLOGIE SCHELETRICHE						
Cribrà			X			
Iperostosi porotica			X			
Ernie di Schmorl			X			
Periostiti			X			
Fratture			X			
Osteite ischiatica			X			
ARTROSI						
Atlanto – occipitale			X			
Spondiloartrosi			X			
Cervicali			X			
Toraciche			X			
Lombari			X			
Sacrali			X			
Spalla			X			
Gomito			X			
Polso			X			
Mano			X			
Sterno – clavicolare			X			
Sterno – costale			X			
Costo – vertebrale			X			
Sacro – iliaca			X			
Coxartrosi			X			
Ginocchio	X					
Caviglia	X					
Piede	X					

SITO ARCHEOLOGICO	Isf 06
Tomba	25
Sesso	M
Età	50 + anni

CARATTERI METRICI, MORFOMETRICI, MORFOLOGICI, DISCONTINUI ED ERGONOMICI CRANICI

CALVARIO

1. Lunghezza massima	181	
5. Distanza nasion – basion	NR	
8. Larghezza massima	152	
9. Diametro frontale minimo	98	
10. Diametro frontale massimo	102	
17. Altezza basion – bregma	NR	
19(3). Distanza porion – bregma	d. NR	s. NR
19(4). Distanza porion – porion	NR	
20. Altezza porion – bregma	NR	
26. Arco nasion – bregma	132	
29. Corda nasion – bregma	118	
38. Capacità cranica al porion	NR	
38. Capacità cranica al basion	NR	
40. Distanza basion – prosthion	NR	
44(a). Corda naso – malare	NR	
44(1). Arco naso – malare	NR	
45. Larghezza massima della faccia	NR	
47. Altezza massima della faccia	NR	
48. Altezza superiore della faccia	NR	
51. Larghezza orbitaria	d. NR	s. NR
52. Altezza orbitaria	d. NR	s. NR
54. Larghezza nasale	NR	
55. Altezza nasale	NR	
60. Lunghezza dell'arcata alveolare	NR	
61. Larghezza dell'arcata alveolare	NR	
62. Lunghezza del palato	NR	
63. Larghezza del palato	NR	

MANDIBOLA

65. Larghezza bicondiloidea	127	
66. Larghezza bigonica	100	
67. Distanza fori mentonieri	43	
68. Profondità del corpo	64	
69. Altezza alla sinfisi	NR	
69(1). Altezza al foro mentoniero	d. 15	s. 15
69(3). Spessore minimo al foro ment.	d. 12	s. 12

INDICI

8/1. Cranico orizzontale	83,9	
17/1. Vertico – longitudinale	NR	
17/8. Vertico – trasversale	NR	
20/1. Auricolo – verticale	NR	
20/8. Auricolo – verticale trasversale	NR	
9/10. Frontale trasverso	96	
9/8. Fronto – parietale	64,4	
29/26. Indice di curvatura frontale	89,3	
40/5. Gnatico	NR	
44(1)/44(a). Naso – malare	NR	
47/45. Facciale totale	NR	
48/45. Facciale superiore	NR	
52/51. Orbitario	d. NR	s. NR
54/55. Nasale	NR	
61/60. Maxillo – alveolare	NR	
63/62. Palatale	NR	

CARATTERI DISCONTINUI

		DX	SX
NORMA SUPERIORE	Ossicini coronali	NR	NR
	Osso bregmatico	NR	
	Ossicini sagittali	NR	
	Fori obelici	NR	NR
NORMA LATERALE	Osso epipterico	NR	NR
	Osso ad intacco parietale	NR	NR
NORMA POSTERIORE	Osso al lambda	NR	
	Ossa wormiane lungo la sutura lambdoidea	NR	NR
	Osso epactale	NR	
	Osso asterico	NR	NR
	Linea nucale suprema	NR	
NORMA INFERIORE	Apertura del canale condiloideo posteriore	NR	NR
	Sdoppiamento della faccetta condiloidea	NR	NR
	Tubercolo precondiloideo	NR	NR
	Tubercolo faringeo	NR	NR
NORMA ANTERIORE	Sutura metopica	NR	
	Forame sopraorbitario completo	NR	NR
	Forame frontale	NR	NR
	Forame infraorbitario accessorio	NR	NR
	Forame zigomatico	NR	NR

CARATTERI MORFOLOGICI

Cliноcefalia	NR
Batrocefalia	NR

CARATTERI ERGONOMICI

	DX	SX
Toro palatino	NR	
Toro mandibolare	NR	NR
Toro mascellare	NR	NR

SCHEDA DENTARIA

MASCELLARE

DX											SX				
M3	M2	M1	P2	P1	C'	I2	I1	I1	I2	C'	P1	P2	M1	M2	M3
-	-	-	-	-	/ 7 t /	/ 7 t /	Cd 7 t /	/ 7 / /	/ 8 / /	-	Co 7 t /	Cd 7 t /	-	-	-

MANDIBOLARE

DX											SX				
M3	M2	M1	P2	P1	C'	I2	I1	I1	I2	C'	P1	P2	M1	M2	M3
/ 6 t /	/ 5 t /	/ 6 t /	(-)	(-)	C d 6 t i	C d 5 t i	C d 5 t i	/ 5 / /	/ 5 / /	C m 6 t i	/ 6 t i	/ 5 t /	-	C 5 t /	-

ETÀ INSORGENZA IPOPLASIA (y = anni; m = mesi)

	M2	M1	P2	P1	C'	I2	I1	I1	I2	C'	P1	P2	M1	M2
MASCELLARE														
MANDIBOLARE					3 y	3 y	3 y		3 y	3 y	4 y			

ARTROSI TEMPORO-MANDIBOLARE

	Si	No	NR
Fossetta DX			X
Condilo DX			X
Fossetta SX		X	
Condilo SX	X		

+	Dente <i>in situ</i>	A	Ascesso alveolare fistolizzato (parete alveolare distrutta)
-	Dente caduto <i>intra vitam</i>		
(-)	Dente caduto <i>post mortem</i>	g	Granuloma (dente perduto e fondo alveolare slargato)
O	Dente agenesiaco		
Incl.	Dente incluso	CD	Carie distruente
...	Tratto alveolare mancante	Cm	Carie mesiale
1-7	Usura	Cd	Carie distale
t	Tartaro	Cl	Carie linguale
T	Tartaro massivo	Cv	Carie vestibolare
TT	Tartaro che ingloba il dente	Co	Carie oclusale
i	Ipoplasia dello smalto	Cclt	Carie al colletto

**CARATTERI METRICI, MORFOMETRICI, MORFOLOGICI, DISCONTINUI ED
ERGONOMICI DEL CINTO SCAPOLARE E DELL'ARTO SUPERIORE**

CLAVICOLA	DX	SX
1. Lunghezza massima	124	NR
6. Circonferenza mediana	38	38
6/1. Indice di robustezza	30,6	NR
Notch-like defect	NR	P
Inserzione del grande pettorale	Moderata	Moderata
Porosità della superficie articolare per l'acromion	Lieve	NR
SCAPOLA	DX	SX
Solco circonflesso	NR	A
OMERO	DX	SX
1. Lunghezza massima	NR	293
2. Lunghezza totale	NR	288
5. Diametro massimo a metà diafisi	24	23
6. Diametro minimo a metà diafisi	18	18
7. Circonferenza minima	65	63
7/1. Indice di robustezza	NR	21,5
6/5. Indice diafisario	75	78,2
Apertura setto fossa olecranica	A	A
Processo sopracondiloideo	A	A
Doccia bicipitale	NR	Moderata
Tuberosità deltoidea	Lieve	Lieve
Esostosi dell'epicondilo mediale	A	A
RADIO	DX	SX
1. Lunghezza massima	NR	220
2. Lunghezza fisiologica	206	207
3. Circonferenza minima	42	41
3/2. Indice di robustezza	20,3	19,8
Entesofiti sulla tuberosità bicipitale	P	P
ULNA	DX	SX
1. Lunghezza massima	NR	240
2. Lunghezza fisiologica	NR	NR
3. Circonferenza minima	NR	38
13. Diametro trasversale superiore	20	21
14. Diametro dorso – volare superiore	23	24
3/2. Indice di robustezza	NR	NR
13/14. Indice olenico	86,9	87,5
Entesofiti sul margine superiore olecrano	P	A
Entesofiti sul margine inferiore incisura radiale	A	A

INDICI

	DX	SX
1Cl/1Om. Clavicolo – omerale	NR	NR
1Ra/2Om. Radio – omerale	NR	76,3

STATURA

	DX	SX	D.S.
OMERO	NR	160,69	± 4,05
RADIO	NR	162,17	± 4,32
ULNA	NR	163,7	± 4,32
FEMORE	NR	158,03	± 3,27
TIBIA	NR	NR	-
FEMORE+TIBIA	NR	NR	-
FIBULA	NR	159,14	± 3,29
STATURA MEDIA (con adattamento età)		159,34	± 3,85

**CARATTERI METRICI, MORFOMETRICI, MORFOLOGICI, DISCONTINUI ED
ERGONOMICI DEL CINTO PELVICO E DELL'ARTO INFERIORE**

SACRO

	DX	SX
Faccette articolari accessorie	A	A

COXALE

	DX	SX
14(1). Diametro cotilo – sciatico	NR	32
15(1). Altezza sciatica	NR	52
15(1)/14(1). Indice cotilo – sciatico	NR	162,5
Solco sul fondo dell'acetabolo	NR	A

BACINO

	DX	SX
Faccette articolari accessorie	NR	NR
2. Larghezza massima	NR	
5. Larghezza antero – superiore	NR	
23. Diametro sagittale	NR	
24. Diametro trasversale	NR	
23/24. Indice di ingresso	NR	

FEMORE

	DX	SX
1. Lunghezza massima	NR	406
2. Lunghezza fisiologica	NR	400
6. Diametro sagittale	NR	26
7. Diametro trasversale	NR	26
9. Diametro trasversale superiore	31	31
10. Diametro sagittale superiore	26	27
(6+7)/2. Indice di robustezza	NR	13
6/7. Indice pilastrico	NR	100
10/9. Indice merico	83,8	87
Terzo trocantere	A	A
Inserzione del grande gluteo	Lieve	Lieve
Faccetta di Poirier	NR	A
Placca sul collo	NR	A
Fossa di Allen	NR	A
Esostosi della fossa trocanterica	A	NR

PATELLA

	DX	SX
Intacco del vasto	Lieve	Lieve

TIBIA

	DX	SX
1. Lunghezza massima	NR	NR
8a. Diametro sagittale al foro nutrizio	NR	NR
9a. Diametro trasversale al foro nutrizio	NR	NR
10b. Circonferenza minima	NR	NR
10b/1. Indice di robustezza	NR	NR
9a/8a. Indice cnemico	NR	NR
Faccette bordo anteriore epifisi distale	A	A
Linea poplitea	NR	NR

FIBULA

	DX	SX
1. Lunghezza massima	NR	326
4a. Circonferenza minima	NR	44
4a/1. Indice di robustezza	NR	13,4
Scanalature della diafisi	NR	Moderata

ASTRAGALO

	DX	SX
Osso trigono	A	NR
Faccetta sul collo	P	NR

CALCAGNO

	DX	SX
Faccetta calcaneare sdoppiata	A	NR
Tubercolo peroneale	A	NR
Esostosi inserzione tendine d'Achille	A	NR
Sperone calcaneare	A	NR

INDICI

	DX	SX
1Ti/2Fem Indice crurale	NR	NR

INDICI DI SESSUAZIONE DEL CRANIO E DEL BACINO

CRANIO

	Valore W	-2	-1	0	1	2	NR	Valore Wx
Glabella	3				X			3
Processo mastoideo	3				X			3
Rilievi del piano nucale	3				X			3
Processo zigomatico del temporale	3						X	/
Mandibola	3				X			3
Mento	2			X				0
Arco sopraciliare	2				X			2
Osso zigomatico	2						X	/
TOT:	16							TOT: 14

BACINO

	Valore W	-2	-1	0	1	2	NR	Valore Wx
Solco preauricolare	3					X		6
Grande incisura ischiatica	3				X			3
Angolo sottopubico	3						X	/
Forame otturato	2						X	/
Osso dell'anca	2						X	/
Arco composto	2						X	/
Corpo dell'ischio	2				X			2
Cresta iliaca	1				X			1
TOT:	9							TOT: 12

CRANIO

	F	I tendente F	I	I tendente M	M
$M = W_x/W = 14/16 = 0,87$				X	

BACINO

	F	I tendente F	I	I tendente M	M
$M = W_x/W = 12/9 = 1,3$					X

DETERMINAZIONE DEL SESSO TRAMITE CARATTERI METRICI

	DX	SX	F	I - F	I	I - M	M
STERNO							
Lunghezza	135				X		
SCAPOLA							
Lunghezza cavità glenoidea	NR	32	X				
CLAVICOLA							
Lunghezza	124	NR	X				
OMERO							
Diametro verticale della testa	NR	43			X		
FEMORE							
Diametro verticale della testa	47	45					X
Diametro massimo della testa	47	46				X	
Lunghezza fisiologica	NR	400		X			
Circonferenza a metà diafisi	NR	82					X
Larghezza bicondiloidea	NR	78					X

F	I tendente F	I	I tendente M	M
				X

SCHEDA DI RILEVAMENTO PATOLOGICO

	A	P	NR	LIEVE	MODERATA	GRAVE
PATOLOGIE DENTARIE						
Ipoplasia		X				
Età insorgenza ipoplasia	Circa 3 anni.					
Parodontosi		X			X	
Usura strumentale	X					
Malposizionamenti		X				
Caratteri dentari		X				
PATOLOGIE SCHELETRICHE						
Cribrà		X		X		
Iperostosi porotica	X					
Ernie di Schmorl	X					
Periostiti		X		X		
Fratture	X					
Osteite ischiatica	X					
ARTROSI						
Atlanto – occipitale		X		X		
Spondiloartrosi		X		X		
Cervicali		X			X	
Toraciche		X		X		
Lombari		X		X		
Sacrali		X		X		
Spalla		X		X		
Gomito		X		X		
Polso		X		X		
Mano	X					
Sterno – clavicolare		X			X	
Sterno – costale		X			X	
Costo – vertebrale	X					
Sacro – iliaca		X			X	
Coxartrosi			X			
Ginocchio		X		X		
Caviglia		X		X		
Piede		X		X		

CRITERI PER LA DETERMINAZIONE DI SESSO ED ETÀ

DETERMINAZIONE DEL SESSO

CRANIO	Morfologia dei punti più caratterizzanti (glabella, processo mastoideo, rilievi del piano nucale, mandibola, mento, arco sopraciliare).
BACINO	Morfologia dei punti più caratterizzanti (solco preauricolare, grande incisura ischiatica, corpo dell'ischio, cresta iliaca)
ALTRO	Caratteri metrici.

DETERMINAZIONE DELL'ETÀ

CRANIO	Usura dentaria.
BACINO	Morfologia della sinfisi pubica.
ALTRO	Estremità sternale delle coste. Usura delle articolazioni

SITO ARCHEOLOGICO	Isf 06
Tomba	27
Sesso	-
Età	Circa 12 anni

MISURE SCHELETRICHE DI INDIVIDUI SUBADULTI

	DX	SX
OMERO		
Lunghezza massima	NR	NR
RADIO		
Lunghezza massima	NR	NR
ULNA		
Lunghezza massima	NR	NR
FEMORE		
Lunghezza massima	NR	306
TIBIA		
Lunghezza massima	250	250
FIBULA		
Lunghezza massima	245	248

SALDATURA EPIFISI

NR = Non rilevabile; 0 = Assenza unione; 1 = Unione parziale; 2 = Unione con linea di fusione visibile; 3 = Unione completa

	DX	SX		DX	SX
Scapola			Pelvi		
Acromion	NR	NR	Elementi primari	0	0
Margine vertebrale	NR	NR	Cresta iliaca	0	0
Angolo inferiore	NR	NR	Tuberosità ischiatica	0	0
Clavicola			Femore		
Epifisi sternale	NR	NR	Testa	0	0
Epifisi acromiale	NR	NR	Grande trocantere	0	0
Omero			Piccolo trocantere	0	0
Testa	NR	NR	Epifisi distale	0	0
Epifisi distale	NR	NR	Tibia		
Epicondilo mediale	NR	NR	Epifisi prossimale	0	0
Radio			Epifisi distale	0	0
Epifisi prossimale	NR	NR	Osservazioni		
Epifisi distale	NR	NR			
Ulna					
Epifisi prossimale	NR	NR			
Epifisi distale	NR	NR			

PATOLOGIE E DETERMINAZIONE DELL'ETÀ DI INDIVIDUI SUBADULTI

PATOLOGIE DENTARIE	A	P	NR
Ipoplasia			X
Età insorgenza ipoplasia			
PATOLOGIE SCHELETRICHE	A	P	NR
Cribrà			X
Iperostosi porotica			X

CLASSE DI ETÀ

Perinatale	
6 mesi – 1 anno	
1 – 3 anni	
3 – 5 anni	
5 – 7 anni	
7 – 10 anni	
10 – 15 anni	X
15 – 18 anni	
	ETÀ IN MESI O ANNI
ETÀ SCHELETRICA	12 ± 1 anni
ETÀ DENTARIA	NR

SITO ARCHEOLOGICO	Isf 06
Tomba	28
Sesso	-
Età	8 – 9 anni

MISURE SCHELETRICHE DI INDIVIDUI SUBADULTI

	DX	SX
OMERO		
Lunghezza massima	189	186
RADIO		
Lunghezza massima	133	130
ULNA		
Lunghezza massima	146	144
FEMORE		
Lunghezza massima	254	NR
TIBIA		
Lunghezza massima	204	204
FIBULA		
Lunghezza massima	202	203

SALDATURA EPIFISI

NR = Non rilevabile; 0 = Assenza unione; 1 = Unione parziale; 2 = Unione con linea di fusione visibile; 3 = Unione completa

	DX	SX		DX	SX
Scapola			Pelvi		
Acromion	0	0	Elementi primari	0	0
Margine vertebrale	0	0	Cresta iliaca	0	0
Angolo inferiore	0	0	Tuberosità ischiatica	0	0
Clavicola			Femore		
Epifisi sternale	0	NR	Testa	0	0
Epifisi acromiale	0	0	Grande trocantere	0	0
Omero			Piccolo trocantere	0	0
Testa	0	0	Epifisi distale	0	0
Epifisi distale	0	0	Tibia		
Epicondilo mediale	0	0	Epifisi prossimale	0	0
Radio			Epifisi distale	0	0
Epifisi prossimale	0	0	Osservazioni		
Epifisi distale	0	0			
Ulna					
Epifisi prossimale	0	0			
Epifisi distale	0	0			

PATOLOGIE E DETERMINAZIONE DELL'ETÀ DI INDIVIDUI SUBADULTI

PATOLOGIE DENTARIE	A	P	NR
Ipoplasia	X		
Età insorgenza ipoplasia			
PATOLOGIE SCHELETRICHE	A	P	NR
Cribrà	X		
Iperostosi porotica	X		

CLASSE DI ETÀ

Perinatale	
6 mesi – 1 anno	
1 – 3 anni	
3 – 5 anni	
5 – 7 anni	
7 – 10 anni	X
10 – 15 anni	
15 – 18 anni	
	ETÀ IN MESI O ANNI
ETÀ SCHELETRICA	8 ± 1 anni
ETÀ DENTARIA	9 ± 2 anni
CRITERI UTILIZZATI / OSSERVAZIONI	
Lunghezza diafisaria delle ossa lunghe. Eruzione dentaria (M ₁ erotti, come anche tutti gli incisivi definitivi)	

SITO ARCHEOLOGICO	Isf 06
Tomba	29
Sesso	-
Età	Circa 5 anni

MISURE SCHELETRICHE DI INDIVIDUI SUBADULTI

	DX	SX
OMERO		
Lunghezza massima	158	NR
RADIO		
Lunghezza massima	119	NR
ULNA		
Lunghezza massima	NR	NR
FEMORE		
Lunghezza massima	NR	NR
TIBIA		
Lunghezza massima	NR	NR
FIBULA		
Lunghezza massima	NR	NR

SALDATURA EPIFISI

NR = Non rilevabile; 0 = Assenza unione; 1 = Unione parziale; 2 = Unione con linea di fusione visibile; 3 = Unione completa

	DX	SX		DX	SX
Scapola			Pelvi		
Acromion	0	0	Elementi primari	NR	NR
Margine vertebrale	0	NR	Cresta iliaca	NR	NR
Angolo inferiore	0	0	Tuberosità ischiatica	NR	NR
Clavicola			Femore		
Epifisi sternale	0	0	Testa	NR	NR
Epifisi acromiale	0	0	Grande trocantere	NR	NR
Omero			Piccolo trocantere	NR	NR
Testa	0	0	Epifisi distale	NR	NR
Epifisi distale	0	NR	Tibia		
Epicondilo mediale	0	NR	Epifisi prossimale	NR	NR
Radio			Epifisi distale	NR	NR
Epifisi prossimale	0	NR	Osservazioni		
Epifisi distale	0	NR			
Ulna					
Epifisi prossimale	NR	NR			
Epifisi distale	NR	0			

PATOLOGIE E DETERMINAZIONE DELL'ETÀ DI INDIVIDUI SUBADULTI

PATOLOGIE DENTARIE	A	P	NR
Ipoplasia	X		
Età insorgenza ipoplasia			
PATOLOGIE SCHELETRICHE	A	P	NR
Cribrà	X		
Iperostosi porotica	X		

CLASSE DI ETÀ

Perinatale	
6 mesi – 1 anno	
1 – 3 anni	
3 – 5 anni	X
5 – 7 anni	
7 – 10 anni	
10 – 15 anni	
15 – 18 anni	
	ETÀ IN MESI O ANNI
ETÀ SCHELETRICA	5 ± 1,5 anni
ETÀ DENTARIA	5 ± 1,5 anni
CRITERI UTILIZZATI / OSSERVAZIONI	
Lunghezza diafisaria delle ossa lunghe. Eruzione dentaria (M1 in eruzione).	

SITO ARCHEOLOGICO	Isf 06
Tomba	30
Sesso	-
Età	6 ± 6 mesi

MISURE SCHELETRICHE DI INDIVIDUI SUBADULTI

	DX	SX
OMERO		
Lunghezza massima	NR	90
RADIO		
Lunghezza massima	NR	NR
ULNA		
Lunghezza massima	NR	NR
FEMORE		
Lunghezza massima	NR	NR
TIBIA		
Lunghezza massima	NR	NR
FIBULA		
Lunghezza massima	88	NR

SALDATURA EPIFISI

NR = Non rilevabile; 0 = Assenza unione; 1 = Unione parziale; 2 = Unione con linea di fusione visibile; 3 = Unione completa

	DX	SX		DX	SX
Scapola			Pelvi		
Acromion	0	NR	Elementi primari	0	0
Margine vertebrale	0	NR	Cresta iliaca	0	0
Angolo inferiore	0	NR	Tuberosità ischiatica	0	0
Clavicola			Femore		
Epifisi sternale	NR	NR	Testa	0	0
Epifisi acromiale	NR	NR	Grande trocantere	0	0
Omero			Piccolo trocantere	0	0
Testa	NR	0	Epifisi distale	NR	NR
Epifisi distale	0	0	Tibia		
Epicondilo mediale	0	0	Epifisi prossimale	0	NR
Radio			Epifisi distale	0	NR
Epifisi prossimale	NR	NR	Osservazioni		
Epifisi distale	NR	NR			
Ulna					
Epifisi prossimale	0	0			
Epifisi distale	NR	NR			

PATOLOGIE E DETERMINAZIONE DELL'ETÀ DI INDIVIDUI SUBADULTI

PATOLOGIE DENTARIE	A	P	NR
Ipoplasia			X
Età insorgenza ipoplasia			
PATOLOGIE SCHELETRICHE	A	P	NR
Cribrà			X
Iperostosi porotica			X

CLASSE DI ETÀ

Perinatale	
6 mesi – 1 anno	X
1 – 3 anni	
3 – 5 anni	
5 – 7 anni	
7 – 10 anni	
10 – 15 anni	
15 – 18 anni	
	ETÀ IN MESI O ANNI
ETÀ SCHELETRICA	6 ± 6 mesi
ETÀ DENTARIA	NR
CRITERI UTILIZZATI / OSSERVAZIONI	
Lunghezza diafisaria delle ossa lunghe.	

SITO ARCHEOLOGICO	Isf 06
Tomba	31
Sesso	Indeterminato
Età	18 – 23 anni

CARATTERI METRICI, MORFOMETRICI, MORFOLOGICI, DISCONTINUI ED ERGONOMICI DEL CINTO PELVICO E DELL'ARTO INFERIORE

SACRO

	DX	SX
Faccette articolari accessorie	NR	NR

COXALE

	DX	SX
14(1). Diametro cotilo – sciatico	NR	NR
15(1). Altezza sciatica	NR	NR
15(1)/14(1). Indice cotilo – sciatico	NR	NR
Solco sul fondo dell'acetabolo	NR	NR

BACINO

	DX	SX
Faccette articolari accessorie	NR	NR
2. Larghezza massima	NR	NR
5. Larghezza antero – superiore	NR	NR
23. Diametro sagittale	NR	NR
24. Diametro trasversale	NR	NR
23/24. Indice di ingresso	NR	NR

FEMORE

	DX	SX
1. Lunghezza massima	NR	NR
2. Lunghezza fisiologica	NR	NR
6. Diametro sagittale	30	NR
7. Diametro trasversale	26	NR
9. Diametro trasversale superiore	35	NR
10. Diametro sagittale superiore	31	NR
(6+7)/2. Indice di robustezza	NR	NR
6/7. Indice pilastrico	115,4	NR
10/9. Indice merico	88,5	NR
Terzo trocantere	P	NR
Inserzione del grande gluteo	NR	NR
Faccetta di Poirier	NR	NR
Placca sul collo	NR	NR
Fossa di Allen	NR	NR
Esostosi della fossa trocanterica	NR	NR
Linea poplitea	Lieve	NR

PATELLA

	DX	SX
Intacco del vasto	Lieve	Lieve

TIBIA

	DX	SX
1. Lunghezza massima	327	330
8a. Diametro sagittale al foro nutrizio	33	32
9a. Diametro trasversale al foro nutrizio	27	25
10b. Circonferenza minima	75	73
10b/1. Indice di robustezza	22,9	22,1
9a/8a. Indice cnemico	81,8	78,1
Faccette bordo anteriore epifisi distale	A	A

FIBULA

	DX	SX
1. Lunghezza massima	NR	NR
4a. Circonferenza minima	31	32
4a/1. Indice di robustezza	NR	NR
Scanalature della diafisi	Lievi	Moderate

ASTRAGALO

	DX	SX
Osso trigono	A	A
Faccetta sul collo	A	A

CALCAGNO

	DX	SX
Faccetta calcaneare sdoppiata	A	A
Tubercolo peroneale	A	P
Esostosi inserzione tendine d'Achille	Lievi	A
Sperone calcaneare	A	A

INDICI

	DX	SX
1Ti/2Fem Indice crurale	NR	NR

STATURA E RILEVAMENTO PATOLOGICO

	DX	SX	D.S.
OMERO	NR	NR	-
RADIO	NR	NR	-
ULNA	NR	NR	-
FEMORE	NR	NR	-
TIBIA	161,02	161,78	± 3,37
FEMORE+TIBIA	NR	NR	-
FIBULA	NR	NR	-

STATURA MEDIA	161,4	± 3,37
----------------------	-------	--------

	A	P	NR	LIEVE	MODERATA	GRAVE
PATOLOGIE DENTARIE						
Ipoplasia			X			
Età insorgenza ipoplasia						
Parodontosi			X			
Usura strumentale			X			
Malposizionamenti			X			
Caratteri dentari			X			
PATOLOGIE SCHELETRICHE						
Cribrà			X			
Iperostosi porotica			X			
Ernie di Schmorl			X			
Periostiti			X			
Fratture	X					
Osteite ischiatica			X			
ARTROSI						
Atlanto – occipitale			X			
Spondiloartrosi			X			
Cervicali			X			
Toraciche			X			
Lombari			X			
Sacrali			X			
Spalla			X			
Gomito			X			
Polso			X			
Mano			X			
Sterno – clavicolare			X			
Sterno – costale			X			
Costo – vertebrale			X			
Sacro – iliaca			X			
Coxartrosi			X			
Ginocchio	X					
Caviglia	X					
Piede	X					

CRITERI PER LA DETERMINAZIONE DI SESSO ED ETÀ

DETERMINAZIONE DEL SESSO

CRANIO	Mancante.
BACINO	Mancante.
ALTRO	Mancante.

DETERMINAZIONE DELL'ETÀ

CRANIO	Mancante.
BACINO	Mancante.
ALTRO	Fusione delle epifisi degli arti inferiori.

SITO ARCHEOLOGICO	Isf 06
Tomba	32
Sesso	-
Età	Circa 9 – 10 anni

MISURE SCHELETRICHE DI INDIVIDUI SUBADULTI

	DX	SX
OMERO		
Lunghezza massima	198	196
RADIO		
Lunghezza massima	NR	135
ULNA		
Lunghezza massima	154	152
FEMORE		
Lunghezza massima	260	259
TIBIA		
Lunghezza massima	202	205
FIBULA		
Lunghezza massima	202	202

SALDATURA EPIFISI

NR = Non rilevabile; 0 = Assenza unione; 1 = Unione parziale; 2 = Unione con linea di fusione visibile; 3 = Unione completa

	DX	SX		DX	SX
Scapola			Pelvi		
Acromion	0	0	Elementi primari	0	0
Margine vertebrale	NR	0	Cresta iliaca	NR	0
Angolo inferiore	NR	0	Tuberosità ischiatica	0	0
Clavicola			Femore		
Epifisi sternale	0	0	Testa	0	0
Epifisi acromiale	0	0	Grande trocantere	0	0
Omero			Piccolo trocantere	0	0
Testa	0	0	Epifisi distale		
Epifisi distale	0	0	Tibia		
Epicondilo mediale	0	0	Epifisi prossimale	0	0
Radio			Epifisi distale	0	0
Epifisi prossimale	NR	0	Osservazioni		
Epifisi distale	NR	0			
Ulna					
Epifisi prossimale	0	0			
Epifisi distale	0	0			

PATOLOGIE E DETERMINAZIONE DELL'ETÀ DI INDIVIDUI SUBADULTI

PATOLOGIE DENTARIE	A	P	NR
Ipoplasia	X		
Età insorgenza ipoplasia			
PATOLOGIE SCHELETRICHE	A	P	NR
Cribrà			X
Iperostosi porotica	X		
OSSERVAZIONI			
Vi è una carie occlusale su P ₂ destro.			

CLASSE DI ETÀ

Perinatale	
6 mesi – 1 anno	
1 – 3 anni	
3 – 5 anni	
5 – 7 anni	
7 – 10 anni	X
10 – 15 anni	
15 – 18 anni	
	ETÀ IN MESI O ANNI
ETÀ SCHELETRICA	9 ± 1 anni
ETÀ DENTARIA	11 ± 2,5 anni
CRITERI UTILIZZATI / OSSERVAZIONI	
Lunghezza diafisaria delle ossa lunghe. Eruzione dentaria (C, in eruzione avanzata; M2 tutti in eruzione; gli altri denti sono già definitivi).	

SITO ARCHEOLOGICO	Isf 06
Tomba	33
Sesso	Probabile F
Età	Circa 40 anni

CARATTERI METRICI, MORFOMETRICI, MORFOLOGICI, DISCONTINUI ED ERGONOMICI CRANICI

CALVARIO

1. Lunghezza massima	170	
5. Distanza nasion – basion	105	
8. Larghezza massima	136	
9. Diametro frontale minimo	94	
10. Diametro frontale massimo	115	
17. Altezza basion – bregma	129	
19(3). Distanza porion – bregma	d. 123	s. 126
19(4). Distanza porion – porion	123	
20. Altezza porion – bregma	106,5	
26. Arco nasion – bregma	123	
29. Corda nasion – bregma	108	
38. Capacità cranica al porion	1219,75 cm ³	
38. Capacità cranica al basion	1277,26 cm ³	
40. Distanza basion – prosthion	97	
44(a). Corda naso – malare	92	
44(1). Arco naso – malare	108	
45. Larghezza massima della faccia	127	
47. Altezza massima della faccia	107	
48. Altezza superiore della faccia	57	
51. Larghezza orbitaria	d. 40	s. 43
52. Altezza orbitaria	d. 36	s. 35
54. Larghezza nasale	21	
55. Altezza nasale	45	
60. Lunghezza dell'arcata alveolare	48	
61. Larghezza dell'arcata alveolare	49	
62. Lunghezza del palato	44	
63. Larghezza del palato	36	

MANDIBOLA

65. Larghezza bicondiloidea	123	
66. Larghezza bigoniaca	103	
67. Distanza fori mentonieri	44	
68. Profondità del corpo	72	
69. Altezza alla sinfisi	21	
69(1). Altezza al foro mentoniero	d. 12	s. 12
69(3). Spessore minimo al foro ment.	d. 11	s. 10

INDICI

8/1. Cranico orizzontale	80	
17/1. Vertico – longitudinale	75,8	
17/8. Vertico – trasversale	94,8	
20/1. Auricolo – verticale	62,64	
20/8. Auricolo – verticale trasversale	78,3	
9/10. Frontale trasverso	81,7	
9/8. Fronto – parietale	69,11	
29/26. Indice di curvatura frontale	87,8	
40/5. Gnatico	92,3	
44(1)/44(a). Naso – malare	117,3	
47/45. Facciale totale	84,2	
48/45. Facciale superiore	44,8	
52/51. Orbitario	d. 90	s. 81,3
54/55. Nasale	46,6	
61/60. Maxillo – alveolare	102	
63/62. Palatale	81,8	

CARATTERI DISCONTINUI

		DX	SX
NORMA SUPERIORE	Ossicini coronali	A	A
	Osso bregmatico	A	
	Ossicini sagittali	A	
	Fori obelici	A	A
NORMA LATERALE	Osso epipterico	A	A
	Osso ad intacco parietale	A	A
NORMA POSTERIORE	Osso al lambda	A	
	Ossa wormiane lungo la sutura lambdoidea	A	A
	Osso epactale	A	
	Osso asterico	A	A
	Linea nucale suprema	Moderata	
NORMA INFERIORE	Apertura del canale condiloideo posteriore	A	A
	Sdoppiamento della faccetta condiloidea	A	A
	Tubercolo precondiloideo	A	A
	Tubercolo faringeo	A	A
NORMA ANTERIORE	Sutura metopica	A	
	Forame sopraorbitario completo	A	P
	Forame frontale	A	A
	Forame infraorbitario accessorio	A	A
	Forame zigomatico	P	A

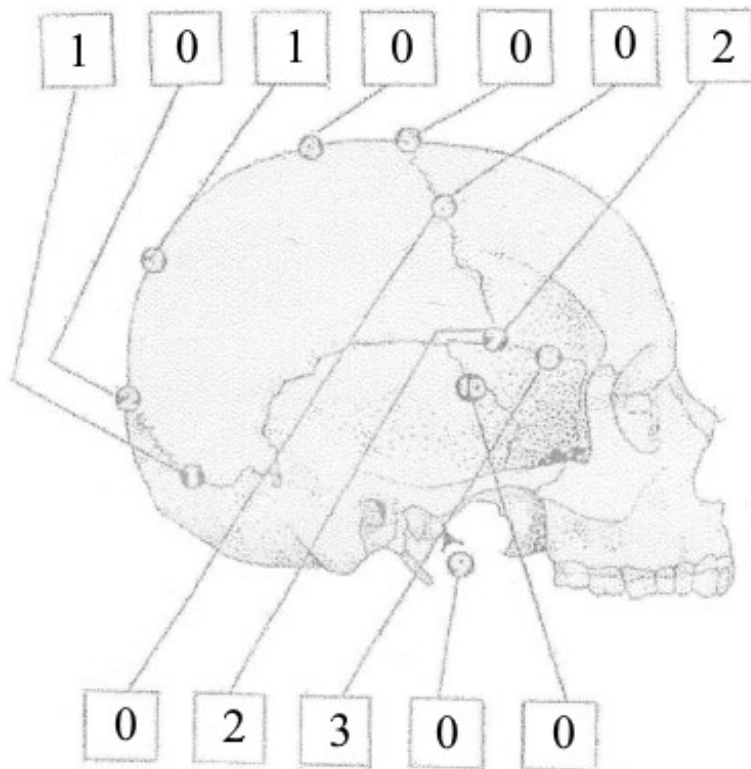
CARATTERI MORFOLOGICI

Cli노cefalia	A
Batrocefalia	Lieve

CARATTERI ERGONOMICI

	DX	SX
Toro palatino	A	
Toro mandibolare	A	A
Toro mascellare	A	A

SINOSTOSI DELLE SUTURE CRANICHE



Legenda	
Ogni punto considera un'area di 1 cm, classificata in uno stadio di sinostosi tra i seguenti	
0	Sinostosi aperta, nessuna traccia di sinostosi ectocranica
1	Sinostosi minima, da un singolo ponte osseo al 50% di sinostosi
2	Sinostosi significativa, superiore al 50% di sinostosi
3	Sinostosi completa, con totale obliterazione della sutura

Sistema della volta					Sistema laterale anteriore				
Punti	Età media	S. D.	Int. dec.	Range	Punti	Età media	S. D.	Int. dec.	Range
0	-	-	< 35	< 49	0	-	-	< 43	< 50
1 - 2	30,5	9,6	19 - 44	18 - 45	1	32	8,3	21 - 42	19 - 48
3 - 4 - 5 - 6	34,7	7,8	23 - 45	22 - 48	2	36,2	6,2	29 - 44	25 - 49
7 - 8 - 9 - 10 - 11	39,4	9,1	28 - 44	24 - 60	3 - 4 - 5	41,1	10	28 - 52	23 - 68
12 - 13 - 14 - 15	45,2	12,6	31 - 65	24 - 75	6	43,4	10,7	30 - 54	23 - 63
16 - 17 - 18	48,8	10,5	35 - 60	30 - 71	7 - 8	45,5	8,9	35 - 57	32 - 65
19 - 20	51,5	12,6	34 - 63	23 - 76	9 - 10	51,9	12,5	39 - 69	33 - 76
21	-	-	> 43	> 40	11 - 12 - 13 - 14	56,2	8,5	49 - 65	34 - 68
					15	-	-	-	-

Sistema	Punti	Età media	S. D.	Int. dec.	Range
Volta	4	34,7	7,8	23 - 45	22 - 48
Laterale anteriore	5	41,1	10	28 - 52	23 - 68

SCHEDA DENTARIA

MASCELLARE

DX											SX				
M3	M2	M1	P2	P1	C'	I2	I1	I1	I2	C'	P1	P2	M1	M2	M3
-	-	-	-	(-)	/ 5 t /	/ 5 t /	/ 5 t /	/ 5 t /	/ 5 t /	/ 5 t /	A	-	/ 4 t /	-	-

MANDIBOLARE

DX											SX				
M3	M2	M1	P2	P1	C'	I2	I1	I1	I2	C'	P1	P2	M1	M2	M3
/ 4 t /	/ 4 t /	-	(-)	/ 6 t /	(-)	/ 5 t /	/ 5 t /	(-)	/ 5 t /	(-)	(-)	(-)	-	/ 6 t /	/ 4 t /

ETÀ INSORGENZA IPOPLASIA (y = anni; m = mesi)

	M2	M1	P2	P1	C'	I2	I1	I1	I2	C'	P1	P2	M1	M2
MASCELLARE							2 y	2 y						
MANDIBOLARE						3 y			3 y					

ARTROSI TEMPORO-MANDIBOLARE

	Sì	No	NR
Fossetta DX		X	
Condilo DX		X	
Fossetta SX		X	
Condilo SX		X	

+	Dente <i>in situ</i>	A	Ascesso alveolare fistolizzato (parete alveolare distrutta)
-	Dente caduto <i>intra vitam</i>		
(-)	Dente caduto <i>post mortem</i>	g	Granuloma (dente perduto e fondo alveolare slargato)
O	Dente agenesiaco		
Incl.	Dente incluso	CD	Carie distruttrice
...	Tratto alveolare mancante	Cm	Carie mesiale
1-7	Usura	Cd	Carie distale
t	Tartaro	Cl	Carie linguale
T	Tartaro massivo	Cv	Carie vestibolare
TT	Tartaro che ingloba il dente	Co	Carie oclusale
i	Ipoplasia dello smalto	Cclt	Carie al colletto

INDICI DI SESSUAZIONE DEL CRANIO E DEL BACINO

CRANIO

	Valore W	-2	-1	0	1	2	NR	Valore Wx
Glabella	3		X					-3
Processo mastoideo	3		X					-3
Rilievi del piano nucale	3			X				0
Processo zigomatico del temporale	3		X					-3
Mandibola	3		X					-3
Mento	2		X					-2
Arco sopraciliare	2			X				0
Osso zigomatico	2		X					-2
TOT:	21							-16

BACINO

	Valore W	-2	-1	0	1	2	NR	Valore Wx
Solco preauricolare	3						X	/
Grande incisura ischiatica	3						X	/
Angolo sottopubico	3						X	/
Forame otturato	2						X	/
Osso dell'anca	2						X	/
Arco composto	2						X	/
Corpo dell'ischio	2						X	/
Cresta iliaca	1						X	/
TOT:								TOT:

CRANIO

	F	I tendente F	I	I tendente M	M
$M = W_x/W = -16/21 = -0,76$		X			

BACINO

	F	I tendente F	I	I tendente M	M
$M = W_x/W =$			X		

DETERMINAZIONE DEL SESSO TRAMITE CARATTERI METRICI

	DX	SX	F	I - F	I	I - M	M
STERNO							
Lunghezza	NR						
SCAPOLA							
Lunghezza cavità glenoidea	NR	NR					
CLAVICOLA							
Lunghezza	NR	NR					
OMERO							
Diametro verticale della testa	NR	NR					
FEMORE							
Diametro verticale della testa	NR	NR					
Diametro massimo della testa	NR	NR					
Lunghezza fisiologica	NR	NR					
Circonferenza a metà diafisi	NR	NR					
Larghezza bicondiloidea	NR	NR					

F	I tendente F	I	I tendente M	M
		X		

SCHEDA DI RILEVAMENTO PATOLOGICO

	A	P	NR	LIEVE	MODERATA	GRAVE
PATOLOGIE DENTARIE						
Ipoplasia		X				
Età insorgenza ipoplasia	Tra i 2 e i 3 anni di età.					
Parodontosi		X		X		
Usura strumentale	X					
Malposizionamenti	X					
Caratteri dentari	X					
PATOLOGIE SCHELETRICHE						
Cribra	X					
Iperostosi porotica	X					
Ernie di Schmorl			X			
Periostiti			X			
Fratture			X			
Osteite ischiatica			X			
ARTROSI						
Atlanto – occipitale		X		X		
Spondiloartrosi			X			
Cervicali			X			
Toraciche			X			
Lombari			X			
Sacrali			X			
Spalla			X			
Gomito			X			
Polso			X			
Mano			X			
Sterno – clavicolare			X			
Sterno – costale			X			
Costo – vertebrale			X			
Sacro – iliaca			X			
Coxartrosi			X			
Ginocchio			X			
Caviglia			X			
Piede			X			

CRITERI PER LA DETERMINAZIONE DI SESSO ED ETÀ

DETERMINAZIONE DEL SESSO

CRANIO	Morfologia dei punti più caratterizzanti (glabella, processo mastoideo, rilievi del piano nucale, processo zigomatico del temporale, mandibola, mento, arco sopraciliare, osso zigomatico).
BACINO	Mancante.
ALTRO	Mancante.

DETERMINAZIONE DELL'ETÀ

CRANIO	Usura dentaria. Sinostosi delle suture craniche.
BACINO	Mancante.
ALTRO	Mancante.

SITO ARCHEOLOGICO	Isf 06
Tomba	37
Sesso	F
Età	Circa 25 anni

CARATTERI METRICI, MORFOMETRICI, MORFOLOGICI, DISCONTINUI ED ERGONOMICI CRANICI

CALVARIO

1. Lunghezza massima	NR	
5. Distanza nasion – basion	NR	
8. Larghezza massima	NR	
9. Diametro frontale minimo	NR	
10. Diametro frontale massimo	NR	
17. Altezza basion – bregma	NR	
19(3). Distanza porion – bregma	d. NR	s. NR
19(4). Distanza porion – porion	NR	
20. Altezza porion – bregma	NR	
26. Arco nasion – bregma	NR	
29. Corda nasion – bregma	NR	
38. Capacità cranica al porion	NR	
38. Capacità cranica al basion	NR	
40. Distanza basion – prosthion	NR	
44(a). Corda naso – malare	NR	
44(1). Arco naso – malare	NR	
45. Larghezza massima della faccia	NR	
47. Altezza massima della faccia	NR	
48. Altezza superiore della faccia	NR	
51. Larghezza orbitaria	d. NR	s. NR
52. Altezza orbitaria	d. NR	s. NR
54. Larghezza nasale	NR	
55. Altezza nasale	NR	
60. Lunghezza dell'arcata alveolare	NR	
61. Larghezza dell'arcata alveolare	NR	
62. Lunghezza del palato	NR	
63. Larghezza del palato	NR	

MANDIBOLA

65. Larghezza bicondiloidea	NR	
66. Larghezza bigoniaca	88	
67. Distanza fori mentonieri	42	
68. Profondità del corpo	59	
69. Altezza alla sinfisi	28	
69(1). Altezza al foro mentoniero	d. 11	s. 12
69(3). Spessore minimo al foro ment.	d. 9	s. 11

INDICI

8/1. Cranico orizzontale	NR	
17/1. Vertico – longitudinale	NR	
17/8. Vertico – trasversale	NR	
20/1. Auricolo – verticale	NR	
20/8. Auricolo – verticale trasversale	NR	
9/10. Frontale trasverso	NR	
9/8. Fronto – parietale	NR	
29/26. Indice di curvatura frontale	NR	
40/5. Gnatico	NR	
44(1)/44(a). Naso – malare	NR	
47/45. Facciale totale	NR	
48/45. Facciale superiore	NR	
52/51. Orbitario	d. NR	s. NR
54/55. Nasale	NR	
61/60. Maxillo – alveolare	NR	
63/62. Palatale	NR	

CARATTERI DISCONTINUI

		DX	SX
NORMA SUPERIORE	Ossicini coronali	NR	NR
	Osso bregmatico	NR	
	Ossicini sagittali	NR	
	Fori obelici	NR	NR
NORMA LATERALE	Osso epipterico	NR	NR
	Osso ad intacco parietale	NR	NR
NORMA POSTERIORE	Osso al lambda	NR	
	Ossa wormiane lungo la sutura lambdoidea	NR	NR
	Osso epactale	NR	
	Osso asterico	NR	NR
NORMA INFERIORE	Linea nucale suprema	NR	
	Apertura del canale condiloideo posteriore	NR	NR
	Sdoppiamento della faccetta condiloidea	NR	NR
	Tubercolo precondiloideo	NR	NR
NORMA ANTERIORE	Tubercolo faringeo	NR	NR
	Sutura metopica	NR	
	Forame sopraorbitario completo	NR	NR
	Forame frontale	NR	NR
	Forame infraorbitario accessorio	NR	NR
	Forame zigomatico	NR	NR

CARATTERI MORFOLOGICI

Cliноcefalia	NR
Batrocefalia	NR

CARATTERI ERGONOMICI

	DX	SX
Toro palatino	NR	
Toro mandibolare	A	A
Toro mascellare	A	A

SCHEMA DENTARIA

MASCELLARE

DX											SX										
M3	M2	M1	P2	P1	C'	I2	I1	I1	I2	C'	P1	P2	M1	M2	M3						
/	3	/	3	/	4	/	3	/	3	/	3	/	3	/	3						
/	/	t	/	t	/	t	i	t	i	t	i	t	i	t	i						
											(-)	/	3	/	3	/	4	/	3	/	3
												t	i	t	/	t	/	t	/	t	/

MANDIBOLARE

DX											SX						
M3	M2	M1	P2	P1	C'	I2	I1	I1	I2	C'	P1	P2	M1	M2	M3		
O	/	3	/	4	-	/	3	/	3	/	3	/	3	/	2		
	/	i	/	i		/	i	/	i	/	i	/	i	/	/		
											-	/	5	/	3	/	/
												/	i	/	i	/	/

ETÀ INSORGENZA IPOPLASIA (y = anni; m = mesi)

	M2	M1	P2	P1	C'	I2	I1	I1	I2	C'	P1	P2	M1	M2
MASCELLARE				3-4 y	3-4 y	3 y	2-3 y	3 y	3 y		4-5 y			
MANDIBOLARE	4 y	10 m		4-5 y	2 y 3 y	3 y	3-4 y	3-4 y	3 y	2 y 3 y	4 y		10 m	4 y

ARTROSI TEMPORO-MANDIBOLARE

	Si	No	NR
Fossetta DX		X	
Condilo DX		X	
Fossetta SX			X
Condilo SX			X

+	Dente <i>in situ</i>	A	Ascesso alveolare fistolizzato (parete alveolare distrutta)
-	Dente caduto <i>intra vitam</i>		
(-)	Dente caduto <i>post mortem</i>	g	Granuloma (dente perduto e fondo alveolare slargato)
O	Dente agenesiaco		
Incl.	Dente incluso	CD	Carie distruttrice
...	Tratto alveolare mancante	Cm	Carie mesiale
1-7	Usura	Cd	Carie distale
t	Tartaro	Cl	Carie linguale
T	Tartaro massivo	Cv	Carie vestibolare
TT	Tartaro che ingloba il dente	Co	Carie oclusale
i	Ipoplasia dello smalto	Cclt	Carie al colletto

**CARATTERI METRICI, MORFOMETRICI, MORFOLOGICI, DISCONTINUI ED
ERGONOMICI DEL CINTO SCAPOLARE E DELL'ARTO SUPERIORE**

CLAVICOLA	DX	SX
1. Lunghezza massima	117	119
6. Circonferenza mediana	34	32
6/1. Indice di robustezza	29	26,8
Notch-like defect	A	P
Inserzione del grande pettorale	Lieve	Lieve
Porosità della superficie articolare per l'acromion	Lieve	A
SCAPOLA	DX	SX
Solco circonflesso	A	A
OMERO	DX	SX
1. Lunghezza massima	305	302
2. Lunghezza totale	300	296
5. Diametro massimo a metà diafisi	19	19
6. Diametro minimo a metà diafisi	15	15
7. Circonferenza minima	55	53
7/1. Indice di robustezza	18	17,5
6/5. Indice diafisario	78,9	78,9
Apertura setto fossa olecranica	P	A
Processo sopracondiloideo	A	A
Doccia bicipitale	Lieve	Lieve
Tuberosità deltoidea	Lieve	Lieve
Esostosi dell'epicondilo mediale	A	A
RADIO	DX	SX
1. Lunghezza massima	215	212
2. Lunghezza fisiologica	205	201
3. Circonferenza minima	35	34
3/2. Indice di robustezza	17	16,9
Entesofiti sulla tuberosità bicipitale	P	A
ULNA	DX	SX
1. Lunghezza massima	NR	230
2. Lunghezza fisiologica	NR	204
3. Circonferenza minima	NR	34
13. Diametro trasversale superiore	19	18
14. Diametro dorso – volare superiore	21	22
3/2. Indice di robustezza	NR	16,6
13/14. Indice olenico	90,4	81,8
Entesofiti sul margine superiore olecrano	A	A
Entesofiti sul margine inferiore incisura radiale	A	A

INDICI

	DX	SX
1Cl/1Om. Clavicolo – omerale	38,6	39,4
1Ra/2Om. Radio – omerale	71,6	71,6

STATURA (in cm)

	DX	SX	D.S.
OMERO	160,45	159,44	± 4,45
RADIO	156,84	155,41	± 4,24
ULNA	NR	155,97	± 4,3
FEMORE	NR	NR	-
TIBIA	NR	NR	-
FEMORE+TIBIA	NR	NR	-
FIBULA	NR	NR	-
STATURA MEDIA		157,62	± 4,33

**CARATTERI METRICI, MORFOMETRICI, MORFOLOGICI, DISCONTINUI ED
ERGONOMICI DEL CINTO PELVICO E DELL'ARTO INFERIORE**

SACRO

	DX	SX
Faccette articolari accessorie	A	A

COXALE

	DX	SX
14(1). Diametro cotilo – sciatico	35	22
15(1). Altezza sciatica	51	49
15(1)/14(1). Indice cotilo – sciatico	145,7	222,7
Solco sul fondo dell'acetabolo	A	A

BACINO

	DX	SX
Faccette articolari accessorie	A	A
2. Larghezza massima	NR	
5. Larghezza antero – superiore	NR	
23. Diametro sagittale	NR	
24. Diametro trasversale	NR	
23/24. Indice di ingresso	NR	

FEMORE

	DX	SX
1. Lunghezza massima	NR	NR
2. Lunghezza fisiologica	NR	NR
6. Diametro sagittale	NR	NR
7. Diametro trasversale	NR	NR
9. Diametro trasversale superiore	NR	NR
10. Diametro sagittale superiore	NR	NR
(6+7)/2. Indice di robustezza	NR	NR
6/7. Indice pilastrico	NR	NR
10/9. Indice merico	NR	NR
Terzo trocantere	NR	NR
Inserzione del grande gluteo	NR	NR
Faccetta di Poirier	NR	NR
Placca sul collo	NR	NR
Fossa di Allen	NR	NR
Esostosi della fossa trocanterica	NR	NR
Linea poplitea	NR	NR

INDICI DI SESSUAZIONE DEL CRANIO E DEL BACINO

CRANIO

	Valore W	-2	-1	0	1	2	NR	Valore Wx
Glabella	3			X				0
Processo mastoideo	3	X						-6
Rilievi del piano nucale	3		X					-3
Processo zigomatico del temporale	3	X						-6
Mandibola	3		X					-3
Mento	2		X					-2
Arco sopraciliare	2			X				0
Osso zigomatico	2						X	/
TOT:	14							-20

BACINO

	Valore W	-2	-1	0	1	2	NR	Valore Wx
Solco preauricolare	3	X						-6
Grande incisura ischiatica	3	X						-6
Angolo sottopubico	3	X						-6
Forame otturato	2						X	/
Osso dell'anca	2		X					-2
Arco composto	2						X	/
Corpo dell'ischio	2		X					-2
Cresta iliaca	1		X					-1
TOT:	14							-23

CRANIO

	F	I tendente F	I	I tendente M	M
$M = W_x/W = -20/14 = -1,4$	X				

BACINO

	F	I tendente F	I	I tendente M	M
$M = W_x/W = -23/14 = -1,6$	X				

DETERMINAZIONE DEL SESSO TRAMITE CARATTERI METRICI

	DX	SX	F	I - F	I	I - M	M
STERNO							
Lunghezza	NR						
SCAPOLA							
Lunghezza cavità glenoidea	33	31	X				
CLAVICOLA							
Lunghezza	117	119	X				
OMERO							
Diametro verticale della testa	39	39	X				
FEMORE							
Diametro verticale della testa	NR	NR					
Diametro massimo della testa	NR	NR					
Lunghezza fisiologica	NR	NR					
Circonferenza a metà diafisi	NR	NR					
Larghezza bicondiloidea	NR	NR					

F	I tendente F	I	I tendente M	M
X				

SCHEDA DI RILEVAMENTO PATOLOGICO

	A	P	NR	LIEVE	MODERATA	GRAVE
PATOLOGIE DENTARIE						
Ipoplasia		X				
Età insorgenza ipoplasia	Uno o più episodi tra i 3 e i 4 anni.					
Parodontosi		X		X		
Usura strumentale	X					
Malposizionamenti		X				
Caratteri dentari		X				
PATOLOGIE SCHELETRICHE						
Cribrà	X					
Iperostosi parotica	X					
Ernie di Schmorl		3		Toraciche		
Periostiti	X					
Fratture	X					
Osteite ischiatica	X					
ARTROSI						
Atlanto – occipitale		X		X		
Spondiloartrosi		X		X		
Cervicali		X		X		
Toraciche		X		X		
Lombari		X		X		
Sacrali	X					
Spalla	X					
Gomito		X		X		
Polso	X					
Mano	X					
Sterno – clavicolare	X					
Sterno – costale	X					
Costo – vertebrale	X					
Sacro – iliaca	X					
Coxartrosi	X					
Ginocchio			X			
Caviglia			X			
Piede			X			

CRITERI PER LA DETERMINAZIONE DI SESSO ED ETÀ

DETERMINAZIONE DEL SESSO

CRANIO	Morfologia dei punti più caratterizzanti (glabella, processo mastoideo, rilievi del piano nucale, processo zigomatico del temporale, mandibola, mento, arco sopraciliare).
BACINO	Morfologia dei punti più caratterizzanti (solco preauricolare, grande incisura ischiatica, angolo sottopubico, osso dell'anca, corpo dell'ischio, cresta iliaca).
ALTRO	Caratteri metrici.

DETERMINAZIONE DELL'ETÀ

CRANIO	Usura dentaria.
BACINO	Morfologia delle sinfisi pubiche.
ALTRO	L'estremità mediale della clavicola si presenta non saldata. Morfologia delle estremità sternali delle coste.

SITO ARCHEOLOGICO	Isf 06
Tomba	39
Sesso	F
Età	45 – 50 anni

CARATTERI METRICI, MORFOMETRICI, MORFOLOGICI, DISCONTINUI ED ERGONOMICI DEL CINTO PELVICO E DELL'ARTO INFERIORE

SACRO

	DX	SX
Faccette articolari accessorie	P	P

COXALE

	DX	SX
14(1). Diametro cotilo – sciatico	34	41
15(1). Altezza sciatica	54	44
15(1)/14(1). Indice cotilo – sciatico	158,8	107,3
Solco sul fondo dell'acetabolo	A	A

BACINO

	DX	SX
Faccette articolari accessorie	P	P
2. Larghezza massima	260	
5. Larghezza antero – superiore	213	
23. Diametro sagittale	123	
24. Diametro trasversale	124	
23/24. Indice di ingresso	99,1	

FEMORE

	DX	SX
1. Lunghezza massima	427	428
2. Lunghezza fisiologica	421	425
6. Diametro sagittale	26	26
7. Diametro trasversale	21	21
9. Diametro trasversale superiore	28	29
10. Diametro sagittale superiore	24	24
(6+7)/2. Indice di robustezza	11,1	11
6/7. Indice pilastrico	123,8	123,8
10/9. Indice merico	85,7	82,7
Terzo trocantere	A	A
Inserzione del grande gluteo	Moderata	Moderata
Faccetta di Poirier	P	P
Placca sul collo	A	A
Fossa di Allen	A	A
Esostosi della fossa trocanterica	P	A

PATELLA

	DX	SX
Intacco del vasto	Lieve	Lieve

TIBIA

	DX	SX
1. Lunghezza massima	350	350
8a. Diametro sagittale al foro nutrizio	28	27
9a. Diametro trasversale al foro nutrizio	22	22
10b. Circonferenza minima	64	63
10b/1. Indice di robustezza	18,2	18
9a/8a. Indice cnemico	78,5	81,4
Faccette bordo anteriore epifisi distale	A	A
Linea poplitea	Lieve	Lieve

FIBULA

	DX	SX
1. Lunghezza massima	336	339
4a. Circonferenza minima	26	25
4a/1. Indice di robustezza	7,7	7,3
Scanalature della diafisi	Lievi	Lievi

ASTRAGALO

	DX	SX
Osso trigono	A	A
Faccetta sul collo	P	A

CALCAGNO

	DX	SX
Faccetta calcaneare sdoppiata	A	A
Tubercolo peroneale	A	A
Esostosi inserzione tendine d'Achille	Lievi	Lievi
Sperone calcaneare	A	A

INDICI

	DX	SX
1Ti/2Fem Indice crurale	83,1	81,7

INDICI DI SESSUAZIONE DEL CRANIO E DEL BACINO

CRANIO

	Valore W	-2	-1	0	1	2	NR	Valore Wx
Glabella	3						X	/
Processo mastoideo	3						X	/
Rilievi del piano nucale	3						X	/
Processo zigomatico del temporale	3						X	/
Mandibola	3						X	/
Mento	2						X	/
Arco sopraciliare	2						X	/
Osso zigomatico	2						X	/
	TOT: NR							TOT: NR

BACINO

	Valore W	-2	-1	0	1	2	NR	Valore Wx
Solco preauricolare	3		X					-3
Grande incisura ischiatica	3	X						-6
Angolo sottopubico	3	X						-6
Forame otturato	2		X					-2
Osso dell'anca	2		X					-2
Arco composto	2		X					-2
Corpo dell'ischio	2		X					-2
Cresta iliaca	1		X					-1
	TOT: 18							TOT: -24

CRANIO

	F	I tendente F	I	I tendente M	M
M = W _x /W =			X		

BACINO

	F	I tendente F	I	I tendente M	M
M = W _x /W = -24/18 = -1,3	X				

DETERMINAZIONE DEL SESSO TRAMITE CARATTERI METRICI E STATURA

	DX	SX	F	I - F	I	I - M	M
STERNO							
Lunghezza	NR						
SCAPOLA							
Lunghezza cavità glenoidea	NR	NR					
CLAVICOLA							
Lunghezza	NR	NR					
OMERO							
Diametro verticale della testa	NR	NR					
FEMORE							
Diametro verticale della testa	40	41	X				
Diametro massimo della testa	40	41	X				
Lunghezza fisiologica	421	425			X		
Circonferenza a metà diafisi	75	74	X				
Larghezza bicondiloidea	72	72	X				

F	I tendente F	I	I tendente M	M
X				

STATURA (in cm)

	DX	SX	D.S.
OMERO	NR	NR	-
RADIO	NR	NR	-
ULNA	NR	NR	-
FEMORE	159,56	159,81	± 3,72
TIBIA	163,03	163,03	± 3,66
FEMORE+TIBIA	161,2	161,34	± 3,55
FIBULA	158,05	158,93	± 3,57

STATURA MEDIA (con adattamento età)	159,41	± 3,62
--	--------	--------

SCHEDA DI RILEVAMENTO PATOLOGICO

	A	P	NR	LIEVE	MODERATA	GRAVE
PATOLOGIE DENTARIE						
Ipoplasia			X			
Età insorgenza ipoplasia						
Parodontosi			X			
Usura strumentale			X			
Malposizionamenti			X			
Caratteri dentari			X			
PATOLOGIE SCHELETRICHE						
Cribra			X			
Iperostosi porotica			X			
Ernie di Schmorl			X			
Periostiti	X					
Fratture	X					
Osteite ischiatica	X					
ARTROSI						
Atlanto – occipitale			X			
Spondiloartrosi		X				
Cervicali			X			
Toraciche			X			
Lombari		X		X		
Sacrali	X					
Spalla			X			
Gomito			X			
Polso			X			
Mano			X			
Sterno – clavicolare			X			
Sterno – costale			X			
Costo – vertebrale			X			
Sacro – iliaca		X		X		
Coxartrosi		X		X		
Ginocchio		X		X		
Caviglia		X		X		
Piede		X		X		

CRITERI PER LA DETERMINAZIONE DI SESSO ED ETÀ

DETERMINAZIONE DEL SESSO

CRANIO	Mancante.
BACINO	Morfologia dei punti più caratterizzanti (solco preauricolare; grande incisura ischiatica; angolo sottopubico; forame otturato; osso dell'anca; arco composto; corpo dell'ischio; cresta iliaca).
ALTRO	Caratteri metrici.

DETERMINAZIONE DELL'ETÀ

CRANIO	Mancante.
BACINO	Morfologia della sinfisi pubica.
ALTRO	

SITO ARCHEOLOGICO	Isf 06
Tomba	40
Sesso	M
Età	Circa 17 anni

CARATTERI METRICI, MORFOMETRICI, MORFOLOGICI, DISCONTINUI ED ERGONOMICI CRANICI

CALVARIO

1. Lunghezza massima	NR	
5. Distanza nasion – basion	NR	
8. Larghezza massima	NR	
9. Diametro frontale minimo	NR	
10. Diametro frontale massimo	NR	
17. Altezza basion – bregma	NR	
19(3). Distanza porion – bregma	d. NR	s. NR
19(4). Distanza porion – porion	NR	
20. Altezza porion – bregma	NR	
26. Arco nasion – bregma	NR	
29. Corda nasion – bregma	NR	
38. Capacità cranica al porion	NR	
38. Capacità cranica al basion	NR	
40. Distanza basion – prosthion	NR	
44(a). Corda naso – malare	NR	
44(1). Arco naso – malare	NR	
45. Larghezza massima della faccia	NR	
47. Altezza massima della faccia	NR	
48. Altezza superiore della faccia	NR	
51. Larghezza orbitaria	d. NR	s. NR
52. Altezza orbitaria	d. NR	s. NR
54. Larghezza nasale	NR	
55. Altezza nasale	NR	
60. Lunghezza dell'arcata alveolare	58	
61. Larghezza dell'arcata alveolare	59	
62. Lunghezza del palato	53	
63. Larghezza del palato	34	

MANDIBOLA

65. Larghezza bicondiloidea	NR	
66. Larghezza bigoniaca	101	
67. Distanza fori mentonieri	47	
68. Profondità del corpo	70	
69. Altezza alla sinfisi	30	
69(1). Altezza al foro mentoniero	d. 12	s. 14
69(3). Spessore minimo al foro ment.	d. 11	s. 13

INDICI

8/1. Cranico orizzontale	NR	
17/1. Vertico – longitudinale	NR	
17/8. Vertico – trasversale	NR	
20/1. Auricolo – verticale	NR	
20/8. Auricolo – verticale trasversale	NR	
9/10. Frontale trasverso	NR	
9/8. Fronto – parietale	NR	
29/26. Indice di curvatura frontale	NR	
40/5. Gnatico	NR	
44(1)/44(a). Naso – malare	NR	
47/45. Facciale totale	NR	
48/45. Facciale superiore	NR	
52/51. Orbitario	d. NR	s. NR
54/55. Nasale	NR	
61/60. Maxillo – alveolare	101,7	
63/62. Palatale	61,8	

CARATTERI DISCONTINUI

		DX	SX
NORMA SUPERIORE	Ossicini coronali	NR	NR
	Osso bregmatico	NR	
	Ossicini sagittali	NR	
	Fori obelici	NR	NR
NORMA LATERALE	Osso epipterico	NR	NR
	Osso ad intacco parietale	NR	NR
NORMA POSTERIORE	Osso al lambda	NR	
	Ossa wormiane lungo la sutura lambdoidea	NR	NR
	Osso epactale	NR	
	Osso asterico	NR	NR
	Linea nucale suprema	NR	
NORMA INFERIORE	Apertura del canale condiloideo posteriore	NR	NR
	Sdoppiamento della faccetta condiloidea	NR	NR
	Tubercolo precondiloideo	NR	NR
	Tubercolo faringeo	NR	NR
NORMA ANTERIORE	Sutura metopica	A	
	Forame sopraorbitario completo	A	A
	Forame frontale	A	A
	Forame infraorbitario accessorio	NR	NR
	Forame zigomatico	NR	NR

CARATTERI MORFOLOGICI

Cliноcefalia	NR
Batrocefalia	NR

CARATTERI ERGONOMICI

	DX	SX
Toro palatino	A	
Toro mandibolare	A	A
Toro mascellare	A	A

SCHEDA DENTARIA

MASCELLARE

DX														SX	
M3	M2	M1	P2	P1	C'	I2	I1	I1	I2	C'	P1	P2	M1	M2	M3
In	/ 2	/ 3	/ 3	/ 3	/ 4	/ 4	/ 4	/ 4	/ 4	/ 4	/ 3	/ 3	/ 4	/ 3	In
eruz.	t	t	t	t	t	t	t	i	t	i	t	t	t	/ i	eruz.

MANDIBOLARE

DX														SX		
M3	M2	M1	P2	P1	C'	I2	I1	I1	I2	C'	P1	P2	M1	M2	M3	
In	/ 3	/ 4	/ 3	/ 4	/ 4	/ 4	/ 4	/ 4	/ 4	/ 3	/ 3	/ 3	/ 2	/ 2	In	
eruz.	t	i	t	t	t	t	t	t	t	t	i	t	t	t	i	eruz.

ETÀ INSORGENZA IPOPLASIA (y = anni; m = mesi)

	M2	M1	P2	P1	C'	I2	I1	I1	I2	C'	P1	P2	M1	M2
MASCELLARE							10	10						5 y 6 y
MANDIBOLARE	6 y									2 y 3 y				6 y

ARTROSI TEMPORO-MANDIBOLARE

	Si	No	NR
Fossetta DX	X		
Condilo DX	X		
Fossetta SX		X	
Condilo SX			X

+	Dente <i>in situ</i>	A	Ascesso alveolare fistolizzato (parete alveolare distrutta)
-	Dente caduto <i>intra vitam</i>		
(-)	Dente caduto <i>post mortem</i>	g	Granuloma (dente perduto e fondo alveolare slargato)
O	Dente agenesiaco		
Incl.	Dente incluso	CD	Carie destruyente
...	Tratto alveolare mancante	Cm	Carie mesiale
1-7	Usura	Cd	Carie distale
t	Tartaro	Cl	Carie linguale
T	Tartaro massivo	Cv	Carie vestibolare
TT	Tartaro che ingloba il dente	Co	Carie occlusale
i	Ipoplasi dello smalto	Cclt	Carie al colletto

**CARATTERI METRICI, MORFOMETRICI, MORFOLOGICI, DISCONTINUI ED
ERGONOMICI DEL CINTO SCAPOLARE E DELL'ARTO SUPERIORE**

CLAVICOLA	DX	SX
1. Lunghezza massima	NR	NR
6. Circonferenza mediana	44	41
6/1. Indice di robustezza	NR	31
Notch-like defect	A	A
Inserzione del grande pettorale	Lieve	Lieve
Porosità della superficie articolare per l'acromion	Lieve	NR
SCAPOLA	DX	SX
Solco circonflesso	A	A
OMERO	DX	SX
1. Lunghezza massima	NR	NR
2. Lunghezza totale	NR	NR
5. Diametro massimo a metà diafisi	21	21
6. Diametro minimo a metà diafisi	17	17
7. Circonferenza minima	60	60
7/1. Indice di robustezza	NR	NR
6/5. Indice diafisario	80,9	80,9
Apertura setto fossa olecranica	A	A
Processo sopracondiloideo	A	A
Doccia bicipitale	Lieve	Lieve
Tuberosità deltoidea	Lieve	Lieve
Esostosi dell'epicondilo mediale	A	A
RADIO	DX	SX
1. Lunghezza massima	NR	NR
2. Lunghezza fisiologica	NR	NR
3. Circonferenza minima	NR	NR
3/2. Indice di robustezza	NR	NR
Entesofiti sulla tuberosità bicipitale	A	A
ULNA	DX	SX
1. Lunghezza massima	NR	NR
2. Lunghezza fisiologica	NR	NR
3. Circonferenza minima	NR	NR
13. Diametro trasversale superiore	18	17
14. Diametro dorso – volare superiore	23	21
3/2. Indice di robustezza	NR	NR
13/14. Indice olenico	78,2	80,9
Entesofiti sul margine superiore olecrano	A	A
Entesofiti sul margine inferiore incisura radiale	A	A

INDICI

	DX	SX
1Cl/1Om. Clavicolo – omerale	NR	NR
1Ra/2Om. Radio – omerale	NR	NR

SALDATURA EPIFISI

NR = Non rilevabile; 0 = Assenza unione; 1 = Unione parziale; 2 = Unione con linea di fusione visibile; 3 = Unione completa

	DX	SX		DX	SX
Scapola			Pelvi		
Acromion	NR	0	Elementi primari	NR	NR
Margine vertebrale	NR	NR	Cresta iliaca	NR	NR
Angolo inferiore	NR	NR	Tuberosità ischiatica	NR	NR
Clavicola			Femore		
Epifisi sternale	0	0	Testa	NR	NR
Epifisi acromiale	0	0	Grande trocantere	NR	NR
Omero			Piccolo trocantere	NR	NR
Testa	0	0	Epifisi distale	NR	NR
Epifisi distale	3	3	Tibia		
Epicondilo mediale	0	0	Epifisi prossimale	NR	NR
Radio			Epifisi distale	NR	NR
Epifisi prossimale	0	NR	Osservazioni		
Epifisi distale	NR	NR			
Ulna					
Epifisi prossimale	0	0			
Epifisi distale	NR	NR			

INDICI DI SESSUAZIONE DEL CRANIO E DEL BACINO

CRANIO

	Valore W	-2	-1	0	1	2	NR	Valore Wx
Glabella	3						X	/
Processo mastoideo	3				X			3
Rilievi del piano nucale	3			X				0
Processo zigomatico del temporale	3						X	/
Mandibola	3					X		6
Mento	2			X				0
Arco sopraciliare	2				X			2
Osso zigomatico	2						X	/
TOT:	13							TOT: 11

BACINO

	Valore W	-2	-1	0	1	2	NR	Valore Wx
Solco preauricolare	3						X	
Grande incisura ischiatica	3						X	
Angolo sottopubico	3						X	
Forame otturato	2						X	
Osso dell'anca	2						X	
Arco composto	2						X	
Corpo dell'ischio	2						X	
Cresta iliaca	1						X	
TOT:								TOT:

CRANIO

	F	I tendente F	I	I tendente M	M
$M = W_x/W = 11/13 = 0,8$				X	

BACINO

	F	I tendente F	I	I tendente M	M
$M = W_x/W =$			X		

DETERMINAZIONE DEL SESSO TRAMITE CARATTERI METRICI

	DX	SX	F	I - F	I	I - M	M
STERNO							
Lunghezza	NR						
SCAPOLA							
Lunghezza cavità glenoidea	NR	NR					
CLAVICOLA							
Lunghezza	NR	NR					
OMERO							
Diametro verticale della testa	NR	NR					
FEMORE							
Diametro verticale della testa	NR	NR					
Diametro massimo della testa	NR	NR					
Lunghezza fisiologica	NR	NR					
Circonferenza a metà diafisi	NR	NR					
Larghezza bicondiloidea	NR	NR					

F	I tendente F	I	I tendente M	M
		X		

SCHEDA DI RILEVAMENTO PATOLOGICO

	A	P	NR	LIEVE	MODERATA	GRAVE
PATOLOGIE DENTARIE						
Ipoplasia		X				
Età insorgenza ipoplasia	Due episodi, uno a 2 anni, uno a 6 anni.					
Parodontosi	X					
Usura strumentale	X					
Malposizionamenti	X					
Caratteri dentari	X					
PATOLOGIE SCHELETRICHE						
Cribrà		X		X		
Iperostosi parotica	X					
Ernie di Schmorl	X					
Periostiti	X					
Fratture	X					
Osteite ischiatica			X			
ARTROSI						
Atlanto – occipitale	X					
Spondiloartrosi	X					
Cervicali	X					
Toraciche	X					
Lombari	X					
Sacrali	X					
Spalla	X					
Gomito	X					
Polso			X			
Mano			X			
Sterno – clavicolare	X					
Sterno – costale	X					
Costo – vertebrale	X					
Sacro – iliaca			X			
Coxartrosi			X			
Ginocchio			X			
Caviglia			X			
Piede			X			

CRITERI PER LA DETERMINAZIONE DI SESSO ED ETÀ

DETERMINAZIONE DEL SESSO

CRANIO	Morfologia dei punti più caratterizzanti (processo mastoideo; rilievi del piano nucale; mandibola; mento; arcata sopraciliare)
BACINO	Mancante.
ALTRO	

DETERMINAZIONE DELL'ETÀ

CRANIO	Eruzione e usura dentaria
BACINO	Mancante.
ALTRO	Saldatura epifisaria. Usura delle estremità mediali delle coste.

SITO ARCHEOLOGICO	Isf 06
Tomba	42
Sesso	F
Età	30 – 35 anni

CARATTERI METRICI, MORFOMETRICI, MORFOLOGICI, DISCONTINUI ED ERGONOMICI CRANICI

CALVARIO

1. Lunghezza massima	176	
5. Distanza nasion – basion	97	
8. Larghezza massima	140	
9. Diametro frontale minimo	95	
10. Diametro frontale massimo	115	
17. Altezza basion – bregma	131	
19(3). Distanza porion – bregma	d. 126	s. 126
19(4). Distanza porion – porion	121	
20. Altezza porion – bregma	110,5	
26. Arco nasion – bregma	126	
29. Corda nasion – bregma	108	
38. Capacità cranica al porion	1317,42 cm ³	
38. Capacità cranica al basion	1315,54 cm ³	
40. Distanza basion – prosthion	89	
44(a). Corda naso – malare	97	
44(1). Arco naso – malare	111	
45. Larghezza massima della faccia	127	
47. Altezza massima della faccia	106	
48. Altezza superiore della faccia	61	
51. Larghezza orbitaria	d. 40	s. 40
52. Altezza orbitaria	d. 34	s. 34
54. Larghezza nasale	27	
55. Altezza nasale	NR	
60. Lunghezza dell'arcata alveolare	48	
61. Larghezza dell'arcata alveolare	55	
62. Lunghezza del palato	42	
63. Larghezza del palato	32	

MANDIBOLA

65. Larghezza bicondiloidea	117	
66. Larghezza bigoniaca	91	
67. Distanza fori mentonieri	43	
68. Profondità del corpo	75	
69. Altezza alla sinfisi	28	
69(1). Altezza al foro mentoniero	d. 14	s. 14
69(3). Spessore minimo al foro ment.	d. 10	s. 10

INDICI

8/1. Cranico orizzontale	79,5	
17/1. Vertico – longitudinale	74,4	
17/8. Vertico – trasversale	93,5	
20/1. Auricolo – verticale	62,7	
20/8. Auricolo – verticale trasversale	78,9	
9/10. Frontale trasverso	82,6	
9/8. Fronto – parietale	67,8	
29/26. Indice di curvatura frontale	85,7	
40/5. Gnatico	91,7	
44(1)/44(a). Naso – malare	114,4	
47/45. Facciale totale	83,4	
48/45. Facciale superiore	48	
52/51. Orbitario	d. 85	s. 85
54/55. Nasale	NR	
61/60. Maxillo – alveolare	114,5	
63/62. Palatale	76,1	

CARATTERI DISCONTINUI

		DX	SX
NORMA SUPERIORE	Ossicini coronali	P	P
	Osso bregmatico	A	
	Ossicini sagittali	A	
	Fori obelici	P	P
NORMA LATERALE	Osso epipterico	A	A
	Osso ad intacco parietale	A	A
NORMA POSTERIORE	Osso al lambda	A	
	Ossa wormiane lungo la sutura lambdoidea	P	P
	Osso epactale	A	
	Osso asterico	A	A
	Linea nucale suprema	A	
NORMA INFERIORE	Apertura del canale condiloideo posteriore	A	A
	Sdoppiamento della faccetta condiloidea	A	A
	Tubercolo precondiloideo	A	A
	Tubercolo faringeo	A	A
NORMA ANTERIORE	Sutura metopica	A	
	Forame sopraorbitario completo	P	A
	Forame frontale	A	A
	Forame infraorbitario accessorio	A	A
	Forame zigomatico	A	A

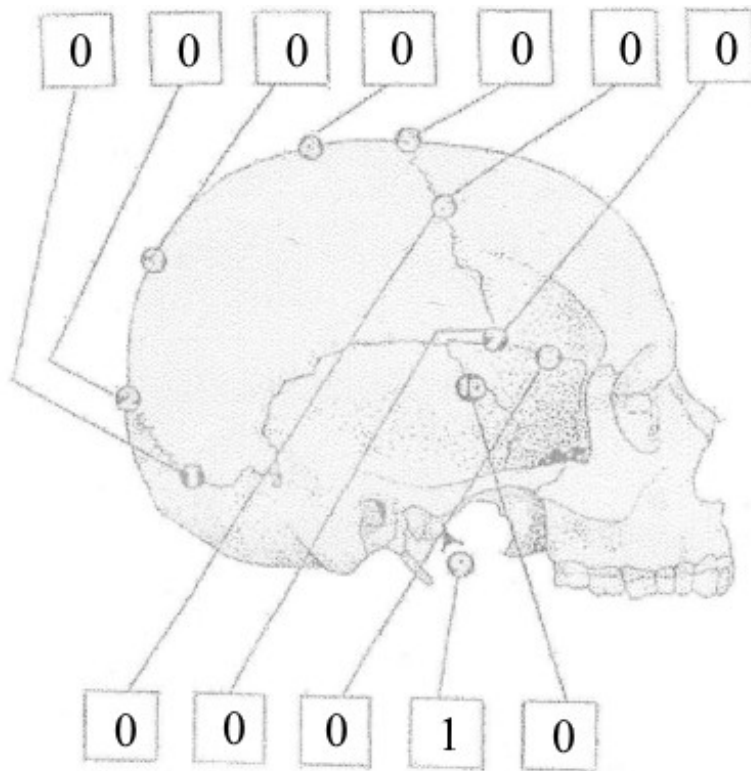
CARATTERI MORFOLOGICI

Cliноcefalia	A
Batrocefalia	A

CARATTERI ERGONOMICI

	DX	SX
Toro palatino	A	
Toro mandibolare	A	A
Toro mascellare	A	A

SINOSTOSI DELLE SUTURE CRANICHE



Legenda	
Ogni punto considera un'area di 1 cm, classificata in uno stadio di sinostosi tra i seguenti	
0	Sinostosi aperta, nessuna traccia di sinostosi ectocranica
1	Sinostosi minima, da un singolo ponte osseo al 50% di sinostosi
2	Sinostosi significativa, superiore al 50% di sinostosi
3	Sinostosi completa, con totale obliterazione della sutura

Sistema della volta					Sistema laterale anteriore				
Punti	Età media	S. D.	Int. dec.	Range	Punti	Età media	S. D.	Int. dec.	Range
0	-	-	< 35	< 49	0	-	-	< 43	< 50
1 - 2	30,5	9,6	19 - 44	18 - 45	1	32	8,3	21 - 42	19 - 48
3 - 4 - 5 - 6	34,7	7,8	23 - 45	22 - 48	2	36,2	6,2	29 - 44	25 - 49
7 - 8 - 9 - 10 - 11	39,4	9,1	28 - 44	24 - 60	3 - 4 - 5	41,1	10	28 - 52	23 - 68
12 - 13 - 14 - 15	45,2	12,6	31 - 65	24 - 75	6	43,4	10,7	30 - 54	23 - 63
16 - 17 - 18	48,8	10,5	35 - 60	30 - 71	7 - 8	45,5	8,9	35 - 57	32 - 65
19 - 20	51,5	12,6	34 - 63	23 - 76	9 - 10	51,9	12,5	39 - 69	33 - 76
21	-	-	> 43	> 40	11 - 12 - 13 - 14	56,2	8,5	49 - 65	34 - 68
					15	-	-	-	-

Sistema	Punti	Età media	S. D.	Int. dec.	Range
Volta	0	-	-	< 35	< 49
Laterale anteriore	1	32	8,3	21 - 42	19 - 48

SCHEMA DENTARIA

MASCELLARE

DX														SX															
M3	M2	M1	P2	P1	C'	I2	I1	I1	I2	C'	P1	P2	M1	M2	M3														
-	Cm	5	/	6	/	5	/	5	/	5	/	6	/	6	/	6	/	6	/	3	/	5	/	5	/	6	/	4	-
	t	/	t	/	t	/	t	i	t	/	t	i	t	/	t	i	t	i	t	/	t	i	t	/	t	i	t	/	

MANDIBOLARE

DX														SX															
M3	M2	M1	P2	P1	C'	I2	I1	I1	I2	C'	P1	P2	M1	M2	M3														
/	4	/	5	/	6	/	4	/	4	/	5	/	5	/	5	/	5	/	5	/	4	/	4	/	6	/	5	Cl	5
/	/	t	/	t	/	t	/	t	i	t	/	t	i	t	/	t	i	t	/	t	i	t	/	t	/	/	/	/	/

ETÀ INSORGENZA IPOPLASIA (y = anni; m = mesi)

	M2	M1	P2	P1	C'	I2	I1	I1	I2	C'	P1	P2	M1	M2
MASCELLARE				5 y		3 y		3 y	3 y	3-4 y	4 y		1 y	
MANDIBOLARE				4 y	3 y						4 y			

ARTROSI TEMPORO-MANDIBOLARE

	Sì	No	NR
Fossetta DX		X	
Condilo DX	X		
Fossetta SX		X	
Condilo SX	X		

+	Dente <i>in situ</i>	A	Ascesso alveolare fistolizzato (parete alveolare distrutta)
-	Dente caduto <i>intra vitam</i>		
(-)	Dente caduto <i>post mortem</i>	g	Granuloma (dente perduto e fondo alveolare slargato)
O	Dente agenesiaco		
Incl.	Dente incluso	CD	Carie distruttrice
...	Tratto alveolare mancante	Cm	Carie mesiale
1-7	Usura	Cd	Carie distale
t	Tartaro	Cl	Carie linguale
T	Tartaro massivo	Cv	Carie vestibolare
TT	Tartaro che ingloba il dente	Co	Carie oclusale
i	Ipoplasia dello smalto	Cclt	Carie al colletto

**CARATTERI METRICI, MORFOMETRICI, MORFOLOGICI, DISCONTINUI ED
ERGONOMICI DEL CINTO SCAPOLARE E DELL'ARTO SUPERIORE**

CLAVICOLA	DX	SX
1. Lunghezza massima	134	139
6. Circonferenza mediana	40	40
6/1. Indice di robustezza	29,8	28,7
Notch-like defect	P	A
Inserzione del grande pettorale	Lieve	Lieve
Porosità della superficie articolare per l'acromion	A	A
SCAPOLA	DX	SX
Solco circonflesso	A	A
OMERO	DX	SX
1. Lunghezza massima	315	306
2. Lunghezza totale	309	299
5. Diametro massimo a metà diafisi	21	20
6. Diametro minimo a metà diafisi	17	18
7. Circonferenza minima	60	59
7/1 Indice di robustezza	19	19,2
6/5 Indice diafisario	80,9	90
Apertura setto fossa olecranica	P	P
Processo sopracondiloideo	A	A
Doccia bicipitale	Lieve	Lieve
Tuberosità deltoidea	Lieve	Lieve
Esostosi dell'epicondilo mediale	A	P
RADIO	DX	SX
1. Lunghezza massima	233	228
2. Lunghezza fisiologica	221	217
3. Circonferenza minima	40	40
3/2. Indice di robustezza	18	18,4
Entesofiti sulla tuberosità bicipitale	A	P
ULNA	DX	SX
1. Lunghezza massima	NR	244
2. Lunghezza fisiologica	NR	217
3. Circonferenza minima	35	34
13. Diametro trasversale superiore	18	19
14. Diametro dorso – volare superiore	20	22
3/2. Indice di robustezza	NR	15,6
13/14. Indice olenico	90	86,3
Entesofiti sul margine superiore olecrano	A	A
Entesofiti sul margine inferiore incisura radiale	A	P

INDICI

	DX	SX
1Cl/1Om. Clavicolo – omerale	38,8	45,4
1Ra/2Om. Radio – omerale	75,4	76,2

STATURA (in cm)

	DX	SX	D.S.
OMERO	163,81	160,78	± 4,45
RADIO	165,37	163	± 4,24
ULNA	NR	161,94	± 4,3
FEMORE	161,05	162,78	± 3,72
TIBIA	NR	NR	-
FEMORE+TIBIA	NR	NR	-
FIBULA	NR	NR	-

STATURA MEDIA (con adattamento età)	162,37	± 4,16
--	--------	--------

**CARATTERI METRICI, MORFOMETRICI, MORFOLOGICI, DISCONTINUI ED
ERGONOMICI DEL CINTO PELVICO E DELL'ARTO INFERIORE**

SACRO

	DX	SX
Faccette articolari accessorie	P	A

COXALE

	DX	SX
14(1). Diametro cotilo – sciatico	29	NR
15(1). Altezza sciatica	52	54
15(1)/14(1). Indice cotilo – sciatico	179,3	NR
Solco sul fondo dell'acetabolo	A	A

BACINO

	DX	SX
Faccette articolari accessorie	A	A
2. Larghezza massima	258	
5. Larghezza antero – superiore	215	
23. Diametro sagittale	NR	
24. Diametro trasversale	197	
23/24. Indice di ingresso	NR	

FEMORE

	DX	SX
1. Lunghezza massima	433	440
2. Lunghezza fisiologica	430	438
6. Diametro sagittale	29	27
7. Diametro trasversale	25	26
9. Diametro trasversale superiore	33	33
10. Diametro sagittale superiore	27	26
(6+7)/2. Indice di robustezza	12,5	12,1
6/7. Indice pilastrico	116	103,8
10/9. Indice merico	81,8	78,7
Terzo trocantere	A	A
Inserzione del grande gluteo	Moderata	Moderata
Faccetta di Poirier	A	A
Placca sul collo	A	A
Fossa di Allen	A	A
Esostosi della fossa trocanterica	A	A

PATELLA

	DX	SX
Intacco del vasto	Moderata	Moderata

TIBIA

	DX	SX
1. Lunghezza massima	NR	NR
8a. Diametro sagittale al foro nutrizio	31	31
9a. Diametro trasversale al foro nutrizio	21	23
10b. Circonferenza minima	NR	NR
10b/1. Indice di robustezza	NR	NR
9a/8a. Indice cnemico	67,7	74,1
Faccette bordo anteriore epifisi distale	NR	NR
Linea poplitea	Lieve	Lieve

FIBULA

	DX	SX
1. Lunghezza massima	NR	NR
4a. Circonferenza minima	35	35
4a/1. Indice di robustezza	NR	NR
Indice di asimmetria	NR	NR
Scanalature della diafisi	Lievi	Lievi

ASTRAGALO

	DX	SX
Osso trigono	NR	NR
Faccetta sul collo	NR	NR

CALCAGNO

	DX	SX
Faccetta calcaneare sdoppiata	NR	NR
Tubercolo peroneale	NR	NR
Esostosi inserzione tendine d'Achille	NR	NR
Sperone calcaneare	NR	NR

INDICI

	DX	SX
1Ti/2Fem Indice crurale	NR	NR

INDICI DI SESSUAZIONE DEL CRANIO E DEL BACINO

CRANIO

	Valore W	-2	-1	0	1	2	NR	Valore Wx
Glabella	3		X					-3
Processo mastoideo	3		X					-3
Rilievi del piano nucale	3			X				0
Processo zigomatico del temporale	3	X						-6
Mandibola	3		X					-3
Mento	2		X					-2
Arco sopraciliare	2		X					-2
Osso zigomatico	2		X					-2
	TOT: 21							TOT: -21

BACINO

	Valore W	-2	-1	0	1	2	NR	Valore Wx
Solco preauricolare	3	X						-6
Grande incisura ischiatica	3		X					-3
Angolo sottopubico	3			X				0
Forame otturato	2						X	/
Osso dell'anca	2		X					-2
Arco composto	2			X				0
Corpo dell'ischio	2		X					-2
Cresta iliaca	1			X				0
	TOT: 16							TOT: -13

CRANIO

	F	I tendente F	I	I tendente M	M
$M = W_x/W = -21/21$	X				

BACINO

	F	I tendente F	I	I tendente M	M
$M = W_x/W = -13/16 = -0,8$		X			

DETERMINAZIONE DEL SESSO TRAMITE CARATTERI METRICI

	DX	SX	F	I - F	I	I - M	M
STERNO							
Lunghezza	NR						
SCAPOLA							
Lunghezza cavità glenoidea	32	32	X				
CLAVICOLA							
Lunghezza	134	139	X				
OMERO							
Diametro verticale della testa	37	36	X				
FEMORE							
Diametro verticale della testa	41	39	X				
Diametro massimo della testa	41	40	X				
Lunghezza fisiologica	430	438			X		
Circonferenza a metà diafisi	86	85					X
Larghezza bicondiloidea	70	71	X				

F	I tendente F	I	I tendente M	M
X				

SCHEDA DI RILEVAMENTO PATOLOGICO

	A	P	NR	LIEVE	MODERATA	GRAVE
PATOLOGIE DENTARIE						
Ipoplasia		X				
Età insorgenza ipoplasia	Almeno due episodi tra i 3 e i 5 anni.					
Parodontosi		X		X		
Usura strumentale	X					
Malposizionamenti	X					
Caratteri dentari	X					
PATOLOGIE SCHELETRICHE						
Cribra	X					
Iperostosi porotica		X		X		
Ernie di Schmorl		2			T5, T11	
Periostiti	X					
Fratture		X				
Osteite ischiatica	X					
ARTROSI						
Atlanto – occipitale		X		X		
Spondiloartrosi		X				
Cervicali		X		X		
Toraciche		X		X		
Lombari		X		X		
Sacrali	X					
Spalla	X					
Gomito		X		X		
Polso		X		X		
Mano	X					
Sterno – clavicolare	X					
Sterno – costale		X		X		
Costo – vertebrale		X		X		
Sacro – iliaca		X			X	
Coxartrosi		X		X		
Ginocchio	X					
Caviglia			X			
Piede			X			

CRITERI PER LA DETERMINAZIONE DI SESSO ED ETÀ

DETERMINAZIONE DEL SESSO

CRANIO	Morfologia dei punti più caratterizzanti (glabella, processo mastoideo, rilievi del piano nucale, processo zigomatico del temporale, mandibola, mento, arco sopraciliare, osso zigomatico).
BACINO	Morfologia dei punti più caratterizzanti (solco preauricolare, grande incisura ischiatica, angolo sottopubico, osso dell'anca, arco composto, corpo dell'ischio, cresta iliaca).
ALTRO	Caratteri metrici.

DETERMINAZIONE DELL'ETÀ

CRANIO	Sinostosi delle suture craniche. Usura dentaria.
BACINO	Morfologia della sinfisi pubica.
ALTRO	Morfologia delle terminazioni sternali delle coste.

SITO ARCHEOLOGICO	Isf 06
Tomba	43
Sesso	Probabile F
Età	40 – 45 anni

CARATTERI METRICI, MORFOMETRICI, MORFOLOGICI, DISCONTINUI ED ERGONOMICI DEL CINTO SCAPOLARE E DELL'ARTO SUPERIORE

CLAVICOLA	DX	SX
1. Lunghezza massima	NR	NR
6. Circonferenza mediana	NR	NR
6/1. Indice di robustezza	NR	NR
Notch-like defect	NR	NR
Inserzione del grande pettorale	NR	NR
Porosità della superficie articolare per l'acromion	NR	NR
SCAPOLA	DX	SX
Solco circonflesso	NR	A
OMERO	DX	SX
1. Lunghezza massima	NR	NR
2. Lunghezza totale	NR	NR
5. Diametro massimo a metà diafisi	NR	21
6. Diametro minimo a metà diafisi	NR	17
7. Circonferenza minima	NR	60
7/1 Indice di robustezza	NR	NR
6/5 Indice diafisario	NR	80,9
Apertura setto fossa olecranica	NR	A
Processo sopracondiloideo	NR	A
Doccia bicipitale	NR	Lieve
Tuberosità deltoidea	NR	NR
Esostosi dell'epicondilo mediale	NR	A
RADIO	DX	SX
1. Lunghezza massima	NR	NR
2. Lunghezza fisiologica	NR	NR
3. Circonferenza minima	NR	NR
3/2. Indice di robustezza	NR	NR
Entesofiti sulla tuberosità bicipitale	NR	P

ULNA	DX	SX
1. Lunghezza massima	NR	NR
2. Lunghezza fisiologica	NR	NR
3. Circonferenza minima	NR	NR
13. Diametro trasversale superiore	NR	18
14. Diametro dorso – volare superiore	NR	21
3/2. Indice di robustezza	NR	NR
13/14. Indice olenico	NR	85,7
Entesofiti sul margine superiore olecrano	NR	P
Entesofiti sul margine inferiore incisura radiale	NR	A

INDICI

	DX	SX
1Cl/1Om. Clavicolo – omerale	NR	NR
1Ra/2Om. Radio – omerale	NR	NR

STATURA (in cm)

	DX	SX	D.S.
OMERO	NR	NR	-
RADIO	NR	NR	-
ULNA	NR	NR	-
FEMORE	NR	156,11	± 3,72
TIBIA	160,71	159,26	± 3,66
FEMORE+TIBIA	NR	157,45	± 3,55
FIBULA	NR	159,23	± 3,57
STATURA MEDIA (con adattamento età)		157,65	± 3,63

**CARATTERI METRICI, MORFOMETRICI, MORFOLOGICI, DISCONTINUI ED
ERGONOMICI DEL CINTO PELVICO E DELL'ARTO INFERIORE**

SACRO

	DX	SX
Faccette articolari accessorie	NR	NR

COXALE

	DX	SX
14(1). Diametro cotilo – sciatico	NR	NR
15(1). Altezza sciatica	NR	NR
15(1)/14(1). Indice cotilo – sciatico	NR	NR
Solco sul fondo dell'acetabolo	NR	NR

BACINO

	DX	SX
Faccette articolari accessorie	NR	NR
2. Larghezza massima	NR	
5. Larghezza antero – superiore	NR	
23. Diametro sagittale	NR	
24. Diametro trasversale	NR	
23/24. Indice di ingresso	NR	

FEMORE

	DX	SX
1. Lunghezza massima	NR	413
2. Lunghezza fisiologica	NR	409
6. Diametro sagittale	NR	25
7. Diametro trasversale	NR	24
9. Diametro trasversale superiore	NR	NR
10. Diametro sagittale superiore	NR	NR
(6+7)/2. Indice di robustezza	NR	11,9
6/7. Indice pilastrico	NR	104,1
10/9. Indice merico	NR	NR
Terzo trocantere	NR	A
Inserzione del grande gluteo	NR	Moderata
Faccetta di Poirier	NR	A
Placca sul collo	NR	A
Fossa di Allen	NR	A
Esostosi della fossa trocanterica	NR	A

PATELLA

	DX	SX
Intacco del vasto	Lieve	Lieve

TIBIA

	DX	SX
1. Lunghezza massima	342	337
8a. Diametro sagittale al foro nutrizio	27	29
9a. Diametro trasversale al foro nutrizio	25	24
10b. Circonferenza minima	67	70
10b/1. Indice di robustezza	19,5	20,7
9a/8a. Indice cnemico	92,5	82,7
Faccette bordo anteriore epifisi distale	A	A
Linea poplitea	Lieve	Lieve

FIBULA

	DX	SX
1. Lunghezza massima	NR	340
4a. Circonferenza minima	NR	34
4a/1. Indice di robustezza	NR	10
Scanalature della diafisi	NR	Moderata

ASTRAGALO

	DX	SX
Osso trigono	A	A
Faccetta sul collo	A	A

CALCAGNO

	DX	SX
Faccetta calcaneare sdoppiata	A	A
Tubercolo peroneale	A	A
Esostosi inserzione tendine d'Achille	P	P
Sperone calcaneare	P	P

INDICI

	DX	SX
1Ti/2Fem Indice crurale	NR	82,3

INDICI DI SESSUAZIONE DEL CRANIO E DEL BACINO

CRANIO

	Valore W	-2	-1	0	1	2	NR	Valore Wx
Glabella	3						X	/
Processo mastoideo	3						X	/
Rilievi del piano nucale	3						X	/
Processo zigomatico del temporale	3						X	/
Mandibola	3						X	/
Mento	2						X	/
Arco sopraciliare	2						X	/
Osso zigomatico	2						X	/
	TOT: /							TOT:

BACINO

	Valore W	-2	-1	0	1	2	NR	Valore Wx
Solco preauricolare	3						X	/
Grande incisura ischiatica	3						X	/
Angolo sottopubico	3	X						-6
Forame otturato	2						X	/
Osso dell'anca	2	X						-4
Arco composto	2						X	/
Corpo dell'ischio	2						X	/
Cresta iliaca	1						X	/
	TOT: 5							TOT: -10

CRANIO

	F	I tendente F	I	I tendente M	M
$M = W_x/W = NR$			X		

BACINO

	F	I tendente F	I	I tendente M	M
$M = W_x/W = -10/5 = -2$	X				

DETERMINAZIONE DEL SESSO TRAMITE CARATTERI METRICI

	DX	SX	F	I - F	I	I - M	M
STERNO							
Lunghezza	NR						
SCAPOLA							
Lunghezza cavità glenoidea	NR	31					
CLAVICOLA							
Lunghezza	NR	NR					
OMERO							
Diametro verticale della testa	NR	NR					
FEMORE							
Diametro verticale della testa	NR	43		X			
Diametro massimo della testa	NR	43		X			
Lunghezza fisiologica	NR	409			X		
Circonferenza a metà diafisi	NR	78	X				
Larghezza bicondiloidea	NR	74			X		

F	I tendente F	I	I tendente M	M
	X			

SCHEMA DI RILEVAMENTO PATOLOGICO

	A	P	NR	LIEVE	MODERATA	GRAVE
PATOLOGIE DENTARIE						
Ipoplasia			X			
Età insorgenza ipoplasia						
Parodontosi			X			
Usura strumentale			X			
Malposizionamenti			X			
Caratteri dentari			X			
PATOLOGIE SCHELETRICHE						
Cribrà			X			
Iperostosi parotica			X			
Ernie di Schmorl			X			
Periostiti		X		X		
Fratture			X			
Osteite ischiatica			X			
ARTROSI						
Atlanto – occipitale			X			
Spondiloartrosi			X			
Cervicali			X			
Toraciche			X			
Lombari			X			
Sacrali			X			
Spalla		X		X		
Gomito		X		X		
Polso			X			
Mano			X			
Sterno – clavicolare			X			
Sterno – costale		X			X	
Costo – vertebrale			X			
Sacro – iliaca			X			
Coxartrosi		X		X		
Ginocchio		X		X		
Caviglia		X		X		
Piede		X			X	

CRITERI PER LA DETERMINAZIONE DI SESSO ED ETÀ

DETERMINAZIONE DEL SESSO

CRANIO	Mancante.
BACINO	Morfologia dei punti più caratterizzanti (angolo sottopubico, osso dell'anca)
ALTRO	Caratteri metrici.

DETERMINAZIONE DELL'ETÀ

CRANIO	Mancante.
BACINO	Morfologia della sinfisi pubica.
ALTRO	Morfologia delle epifisi sternali delle coste.

SITO ARCHEOLOGICO	Isf 06
Tomba	45
Sesso	F
Età	Circa 20 anni

CARATTERI METRICI, MORFOMETRICI, MORFOLOGICI, DISCONTINUI ED ERGONOMICI CRANICI

CALVARIO

1. Lunghezza massima	NR	
5. Distanza nasion – basion	NR	
8. Larghezza massima	NR	
9. Diametro frontale minimo	NR	
10. Diametro frontale massimo	NR	
17. Altezza basion – bregma	NR	
19(3). Distanza porion – bregma	d. NR	s. NR
19(4). Distanza porion – porion	NR	
20. Altezza porion – bregma	NR	
26. Arco nasion – bregma	NR	
29. Corda nasion – bregma	NR	
38. Capacità cranica al porion	NR	
38. Capacità cranica al basion	NR	
40. Distanza basion – prosthion	NR	
44(a). Corda naso – malare	NR	
44(1). Arco naso – malare	NR	
45. Larghezza massima della faccia	NR	
47. Altezza massima della faccia	NR	
48. Altezza superiore della faccia	NR	
51. Larghezza orbitaria	d. NR	s. 40
52. Altezza orbitaria	d. 36	s. 36
54. Larghezza nasale	21	
55. Altezza nasale	49	
60. Lunghezza dell'arcata alveolare	44	
61. Larghezza dell'arcata alveolare	56	
62. Lunghezza del palato	39	
63. Larghezza del palato	33	

MANDIBOLA

65. Larghezza bicondiloidea	NR	
66. Larghezza bigoniaca	100	
67. Distanza fori mentonieri	42	
68. Profondità del corpo	67	
69. Altezza alla sinfisi	NR	
69(1). Altezza al foro mentoniero	d. 12	s. 13
69(3). Spessore minimo al foro ment.	d. 9	s. 8

INDICI

8/1. Cranico orizzontale	NR	
17/1. Vertico – longitudinale	NR	
17/8. Vertico – trasversale	NR	
20/1. Auricolo – verticale	NR	
20/8. Auricolo – verticale trasversale	NR	
9/10. Frontale trasverso	NR	
9/8. Fronto – parietale	NR	
29/26. Indice di curvatura frontale	NR	
40/5. Gnatico	NR	
44(1)/44(a). Naso – malare	NR	
47/45. Facciale totale	NR	
48/45. Facciale superiore	NR	
52/51. Orbitario	d. NR	s. 90
54/55. Nasale	42,8	
61/60. Maxillo – alveolare	127,2	
63/62. Palatale	84,6	

CARATTERI DISCONTINUI

		DX	SX
NORMA SUPERIORE	Ossicini coronali	NR	NR
	Osso bregmatico	NR	
	Ossicini sagittali	NR	
	Fori obelici	NR	NR
NORMA LATERALE	Osso epipterico	NR	NR
	Osso ad intacco parietale	NR	NR
NORMA POSTERIORE	Osso al lambda	NR	
	Ossa wormiane lungo la sutura lambdoidea	NR	NR
	Osso epactale	NR	
	Osso asterico	NR	NR
	Linea nucale suprema	NR	
NORMA INFERIORE	Apertura del canale condiloideo posteriore	NR	NR
	Sdoppiamento della faccetta condiloidea	NR	NR
	Tubercolo precondiloideo	NR	NR
	Tubercolo faringeo	NR	NR
NORMA ANTERIORE	Sutura metopica	P	
	Forame sopraorbitario completo	A	A
	Forame frontale	A	A
	Forame infraorbitario accessorio	A	A
	Forame zigomatico	A	A

CARATTERI MORFOLOGICI

Cliноcefalia	NR
Batrocefalia	NR

CARATTERI ERGONOMICI

	DX	SX
Toro palatino	A	
Toro mandibolare	A	A
Toro mascellare	A	A

SCHEDA DENTARIA

MASCELLARE

DX														SX				
M3	M2	M1	P2	P1	C'	I2	I1	I1	I2	C'	P1	P2	M1	M2	M3			
In	/	3	/	4	/	4	/	4	/	4	/	4	/	4	/	3		
eruz.	t	/	t	/	t	i	t	/	t	/	t	i	t	/	t	i	t	/
O																		

MANDIBOLARE

DX														SX	
M3	M2	M1	P2	P1	C'	I2	I1	I1	I2	C'	P1	P2	M1	M2	M3
In	(-)	(-)	(-)	(-)	(-)	(-)	(-)	(-)	(-)	(-)	(-)	(-)	/	4	(-)
eruz.													/	/	
O															

ETÀ INSORGENZA IPOPLASIA (y = anni; m = mesi)

	M2	M1	P2	P1	C'	I2	I1	I1	I2	C'	P1	P2	M1	M2
MASCELLARE			5 y				2 y	2 y		2 y		5 y	2 y	
MANDIBOLARE														

ARTROSI TEMPORO-MANDIBOLARE

	Sì	No	NR
Fossetta DX			X
Condilo DX			X
Fossetta SX			X
Condilo SX			X

+	Dente <i>in situ</i>	A	Ascesso alveolare fistolizzato (parete alveolare distrutta)
-	Dente caduto <i>intra vitam</i>		
(-)	Dente caduto <i>post mortem</i>	g	Granuloma (dente perduto e fondo alveolare slargato)
O	Dente agenesiaco		
Incl.	Dente incluso	CD	Carie distruente
...	Tratto alveolare mancante	Cm	Carie mesiale
1-7	Usura	Cd	Carie distale
t	Tartaro	Cl	Carie linguale
T	Tartaro massivo	Cv	Carie vestibolare
TT	Tartaro che ingloba il dente	Co	Carie oclusale
i	Ipoplasia dello smalto	Cclt	Carie al colletto

**CARATTERI METRICI, MORFOMETRICI, MORFOLOGICI, DISCONTINUI ED
ERGONOMICI DEL CINTO SCAPOLARE E DELL'ARTO SUPERIORE**

CLAVICOLA	DX	SX
1. Lunghezza massima	NR	NR
6. Circonferenza mediana	35	34
6/1. Indice di robustezza	NR	NR
Notch-like defect	P	P
Inserzione del grande pettorale	Lieve	Lieve
Porosità della superficie articolare per l'acromion	NR	NR
SCAPOLA	DX	SX
Solco circonflesso	A	A
OMERO	DX	SX
1. Lunghezza massima	288	NR
2. Lunghezza totale	283	NR
5. Diametro massimo a metà diafisi	20	19
6. Diametro minimo a metà diafisi	17	16
7. Circonferenza minima	56	56
7/1. Indice di robustezza	19,4	NR
6/5. Indice diafisario	85	84,2
Apertura setto fossa olecranica	A	P
Processo sopracondiloideo	A	A
Doccia bicipitale	Lieve	Lieve
Tuberosità deltoidea	Lieve	Lieve
Esostosi dell'epicondilo mediale	A	A
RADIO	DX	SX
1. Lunghezza massima	214	214
2. Lunghezza fisiologica	202	203
3. Circonferenza minima	36	37
3/2. Indice di robustezza	17,8	18,2
Entesofiti sulla tuberosità bicipitale	P	P
ULNA	DX	SX
1. Lunghezza massima	238	235
2. Lunghezza fisiologica	209	208
3. Circonferenza minima	32	32
13. Diametro trasversale superiore	15	15
14. Diametro dorso – volare superiore	20	21
3/2. Indice di robustezza	15,3	15,3
13/14. Indice olenico	75	71,4
Entesofiti sul margine superiore olecrano	A	A
Entesofiti sul margine inferiore incisura radiale	P	P

INDICI

	DX	SX
1Cl/1Om. Clavicolo – omerale	NR	NR
1Ra/2Om. Radio – omerale	75,6	NR

STATURA (in cm)

	DX	SX	D.S.
OMERO	154,73	NR	± 4,45
RADIO	156,36	156,36	± 4,24
ULNA	159,38	158,1	± 4,3
FEMORE	152,4	NR	± 3,72
TIBIA	154,04	NR	± 3,66
FEMORE+TIBIA	152,86	NR	± 3,55
FIBULA	NR	NR	-
STATURA MEDIA		155,52	± 4,05

**CARATTERI METRICI, MORFOMETRICI, MORFOLOGICI, DISCONTINUI ED
ERGONOMICI DEL CINTO PELVICO E DELL'ARTO INFERIORE**

SACRO

	DX	SX
Faccette articolari accessorie	NR	NR

COXALE

	DX	SX
14(1). Diametro cotilo – sciatico	37	35
15(1). Altezza sciatica	48	49
15(1)/14(1). Indice cotilo – sciatico	129,7	140
Solco sul fondo dell'acetabolo	A	A

BACINO

	DX	SX
Faccette articolari accessorie	NR	NR
2. Larghezza massima	NR	
5. Larghezza antero – superiore	NR	
23. Diametro sagittale	NR	
24. Diametro trasversale	NR	
23/24. Indice di ingresso	NR	

FEMORE

	DX	SX
1. Lunghezza massima	NR	398
2. Lunghezza fisiologica	NR	392
6. Diametro sagittale	NR	24
7. Diametro trasversale	NR	23
9. Diametro trasversale superiore	NR	29
10. Diametro sagittale superiore	NR	24
(6+7)/2. Indice di robustezza	NR	11,9
6/7. Indice pilastrico	NR	104,3
10/9. Indice merico	NR	82,7
Terzo trocantere	NR	A
Inserzione del grande gluteo	NR	Lieve
Faccetta di Poirier	NR	A
Placca sul collo	NR	A
Fossa di Allen	NR	A
Esostosi della fossa trocanterica	NR	Lievi

PATELLA

	DX	SX
Intacco del vasto	Moderato	NR

TIBIA

	DX	SX
1. Lunghezza massima	319	NR
8a. Diametro sagittale al foro nutrizio	27	NR
9a. Diametro trasversale al foro nutrizio	21	NR
10b. Circonferenza minima	63	NR
10b/1. Indice di robustezza	19,7	NR
9a/8a. Indice cnemico	77,7	NR
Faccette bordo anteriore epifisi distale	P	NR
Linea poplitea	Lieve	NR

FIBULA

	DX	SX
1. Lunghezza massima	NR	NR
4a. Circonferenza minima	26	NR
4a/1. Indice di robustezza	NR	NR
Scanalature della diafisi	Lievi	NR

ASTRAGALO

	DX	SX
Osso trigono	A	A
Faccetta sul collo	A	A

CALCAGNO

	DX	SX
Faccetta calcaneare sdoppiata	A	A
Tubercolo peroneale	A	A
Esostosi inserzione tendine d'Achille	P	P
Sperone calcaneare	P	A

INDICI

	DX	SX
1Ti/2Fem Indice crurale	81,3	NR

INDICI DI SESSUAZIONE DEL CRANIO E DEL BACINO

CRANIO

	Valore W	-2	-1	0	1	2	NR	Valore Wx
Glabella	3		X					-3
Processo mastoideo	3		X					-3
Rilievi del piano nucale	3		X					-3
Processo zigomatico del temporale	3						X	/
Mandibola	3	X						-6
Mento	2		X					-2
Arco sopraciliare	2	X						-4
Osso zigomatico	2						X	/
TOT:	16							-21

BACINO

	Valore W	-2	-1	0	1	2	NR	Valore Wx
Solco preauricolare	3				X			3
Grande incisura ischiatica	3			X				0
Angolo sottopubico	3						X	/
Forame otturato	2						X	/
Osso dell'anca	2		X					-2
Arco composto	2		X					-2
Corpo dell'ischio	2			X				0
Cresta iliaca	1		X					-1
TOT:	13							-2

CRANIO

	F	I tendente F	I	I tendente M	M
$M = W_x/W = -21/16 = -1,3$	X				

BACINO

	F	I tendente F	I	I tendente M	M
$M = W_x/W = -2/13 = -0,1$			X		

DETERMINAZIONE DEL SESSO TRAMITE CARATTERI METRICI

	DX	SX	F	I - F	I	I - M	M
STERNO							
Lunghezza	NR						
SCAPOLA							
Lunghezza cavità glenoidea	32	33	X				
CLAVICOLA							
Lunghezza	NR	NR					
OMERO							
Diametro verticale della testa	38	NR	X				
FEMORE							
Diametro verticale della testa	NR	41	X				
Diametro massimo della testa	NR	41	X				
Lunghezza fisiologica	NR	392		X			
Circonferenza a metà diafisi	NR	74	X				
Larghezza bicondiloidea	NR	70	X				

F	I tendente F	I	I tendente M	M
X				

SCHEDA DI RILEVAMENTO PATOLOGICO

	A	P	NR	LIEVE	MODERATA	GRAVE
PATOLOGIE DENTARIE						
Ipoplasia		X				
Età insorgenza ipoplasia	Due episodi, uno a 3 anni, uno a 5 anni					
Parodontosi		X		X		
Usura strumentale						
Malposizionamenti						
Caratteri dentari						
PATOLOGIE SCHELETRICHE						
Cribra	X					
Iperostosi porotica	X					
Ernie di Schmorl	X					
Periostiti		X		X		
Fratture	X					
Osteite ischiatica	X					
ARTROSI						
Atlanto – occipitale			X			
Spondiloartrosi	X					
Cervicali			X			
Toraciche			X			
Lombari	X					
Sacrali			X			
Spalla	X					
Gomito	X					
Polso	X					
Mano	X					
Sterno – clavicolare			X			
Sterno – costale			X			
Costo – vertebrale			X			
Sacro – iliaca		X		X		
Coxartrosi			X			
Ginocchio	X					
Caviglia	X					
Piede	X					

CRITERI PER LA DETERMINAZIONE DI SESSO ED ETÀ

DETERMINAZIONE DEL SESSO

CRANIO	Morfologia dei punti più caratterizzanti (glabella, processo mastoideo, rilievi del piano nucale, mandibola, mento, arco sopraciliare).
BACINO	Morfologia dei punti più caratterizzanti (solco preauricolare, grande incisura ischiatica, osso dell'anca, arco composto, corpo dell'ischio, cresta iliaca).
ALTRO	Caratteri metrici.

DETERMINAZIONE DELL'ETÀ

CRANIO	Eruzione e usura dentaria.
BACINO	
ALTRO	Saldatura delle epifisi.

SITO ARCHEOLOGICO	Isf 06
Tomba	46
Sesso	M
Età	50 + anni

CARATTERI METRICI, MORFOMETRICI, MORFOLOGICI, DISCONTINUI ED ERGONOMICI DEL CINTO SCAPOLARE E DELL'ARTO SUPERIORE

CLAVICOLA	DX	SX
1. Lunghezza massima	NR	NR
6. Circonferenza mediana	NR	NR
6/1. Indice di robustezza	NR	NR
Notch-like defect	NR	NR
Inserzione del grande pettorale	NR	NR
Porosità della superficie articolare per l'acromion	NR	NR
SCAPOLA	DX	SX
Solco circonflesso	NR	NR
OMERO	DX	SX
1. Lunghezza massima	NR	NR
2. Lunghezza totale	NR	NR
5. Diametro massimo a metà diafisi	NR	NR
6. Diametro minimo a metà diafisi	NR	NR
7. Circonferenza minima	NR	NR
7/1 Indice di robustezza	NR	NR
6/5 Indice diafisario	NR	NR
Apertura setto fossa olecranica	NR	NR
Processo sopracondiloideo	NR	NR
Doccia bicipitale	NR	NR
Tuberosità deltoidea	NR	NR
Esostosi dell'epicondilo mediale	NR	NR
RADIO	DX	SX
1. Lunghezza massima	NR	235
2. Lunghezza fisiologica	NR	222
3. Circonferenza minima	41	40
3/2. Indice di robustezza	NR	18
Entesofiti sulla tuberosità bicipitale	NR	P
ULNA	DX	SX
1. Lunghezza massima	NR	255
2. Lunghezza fisiologica	NR	225
3. Circonferenza minima	NR	39
13. Diametro trasversale superiore	NR	20
14. Diametro dorso – volare superiore	NR	23
3/2. Indice di robustezza	NR	17,3
13/14. Indice olenico	NR	86,9

Entesofiti sul margine superiore olecrano	NR	P
Entesofiti sul margine inferiore incisura radiale	NR	NR

INDICI

	DX	SX
1Cl/1Om. Clavicolo – omerale	NR	NR
1Ra/2Om. Radio – omerale	NR	NR

STATURA (in cm)

	DX	SX	D.S.
OMERO	NR	NR	-
RADIO	NR	167,54	± 4,32
ULNA	NR	169,25	± 4,32
FEMORE	165,89	165,89	± 3,27
TIBIA	162,53	163,79	± 3,37
FEMORE+TIBIA	164,26	164,91	± 2,99
FIBULA	162,36	162,09	± 3,29

STATURA MEDIA (con adattamento età)	163,48	± 3,44
--	--------	--------

**CARATTERI METRICI, MORFOMETRICI, MORFOLOGICI, DISCONTINUI ED
ERGONOMICI DEL CINTO PELVICO E DELL'ARTO INFERIORE**

SACRO

	DX	SX
Faccette articolari accessorie	P	P

COXALE

	DX	SX
14(1). Diametro cotilo – sciatico	39	41
15(1). Altezza sciatica	42	NR
15(1)/14(1). Indice cotilo – sciatico	107,6	NR
Solco sul fondo dell'acetabolo	A	A

BACINO

	DX	SX
Faccette articolari accessorie	P	P
2. Larghezza massima	NR	
5. Larghezza antero – superiore	NR	
23. Diametro sagittale	114	
24. Diametro trasversale	126	
23/24. Indice di ingresso	90,4	

FEMORE

	DX	SX
1. Lunghezza massima	439	439
2. Lunghezza fisiologica	433	432
6. Diametro sagittale	30	30
7. Diametro trasversale	26	28
9. Diametro trasversale superiore	29	31
10. Diametro sagittale superiore	27	26
(6+7)/2. Indice di robustezza	12,9	13,4
6/7. Indice pilastrico	115,3	107,1
10/9. Indice merico	93,1	83,8
Terzo trocantere	A	A
Inserzione del grande gluteo	Moderata	Moderata
Faccetta di Poirier	A	NR
Placca sul collo	P	NR
Fossa di Allen	NR	NR
Esostosi della fossa trocanterica	P	P

PATELLA

	DX	SX
Intacco del vasto	Lieve	Lieve

TIBIA

	DX	SX
1. Lunghezza massima	333	338
8a. Diametro sagittale al foro nutrizio	32	35
9a. Diametro trasversale al foro nutrizio	25	25
10b. Circonferenza minima	72	71
10b/1. Indice di robustezza	21,6	21
9a/8a. Indice cnemico	78,1	71,4
Faccette bordo anteriore epifisi distale	A	A
Linea poplitea	Moderata	Moderata

FIBULA

	DX	SX
1. Lunghezza massima	338	337
4a. Circonferenza minima	38	37
4a/1. Indice di robustezza	11,2	10,9
Scanalature della diafisi	Lievi	Lievi

ASTRAGALO

	DX	SX
Osso trigono	A	A
Faccetta sul collo	A	A

CALCAGNO

	DX	SX
Faccetta calcaneare sdoppiata	A	A
Tubercolo peroneale	A	A
Esostosi inserzione tendine d'Achille	P	P
Sperone calcaneare	A	P

INDICI

	DX	SX
1Ti/2Fem Indice crurale	76,9	78,2

INDICI DI SESSUAZIONE DEL CRANIO E DEL BACINO

CRANIO

	Valore W	-2	-1	0	1	2	NR	Valore Wx
Glabella	3						X	/
Processo mastoideo	3						X	/
Rilievi del piano nucale	3						X	/
Processo zigomatico del temporale	3						X	/
Mandibola	3						X	/
Mento	2						X	/
Arco sopraciliare	2						X	/
Osso zigomatico	2						X	/
TOT:								TOT:

BACINO

	Valore W	-2	-1	0	1	2	NR	Valore Wx
Solco preauricolare	3					X		6
Grande incisura ischiatica	3				X			3
Angolo sottopubico	3					X		6
Forame otturato	2				X			2
Osso dell'anca	2				X			2
Arco composto	2				X			2
Corpo dell'ischio	2				X			2
Cresta iliaca	1				X			1
TOT: 18								TOT: 24

CRANIO

	F	I tendente F	I	I tendente M	M
$M = W_x/W = /$					

BACINO

	F	I tendente F	I	I tendente M	M
$M = W_x/W = 24/18 = 1,3$					X

DETERMINAZIONE DEL SESSO TRAMITE CARATTERI METRICI

	DX	SX	F	I - F	I	I - M	M
STERNO							
Lunghezza	NR						
SCAPOLA							
Lunghezza cavità glenoidea	NR	NR					
CLAVICOLA							
Lunghezza	NR	NR					
OMERO							
Diametro verticale della testa	NR	NR					
FEMORE							
Diametro verticale della testa	48	47					X
Diametro massimo della testa	48	47				X	
Lunghezza fisiologica	433	432				X	
Circonferenza a metà diafisi	91	92					X
Larghezza bicondiloidea	81	81					X

F	I tendente F	I	I tendente M	M
				X

SCHEDA DI RILEVAMENTO PATOLOGICO

	A	P	NR	LIEVE	MODERATA	GRAVE
PATOLOGIE DENTARIE						
Ipoplasia			X			
Età insorgenza ipoplasia						
Parodontosi			X			
Usura strumentale			X			
Malposizionamenti			X			
Caratteri dentari			X			
PATOLOGIE SCHELETRICHE						
Cribrà			X			
Iperostosi porotica			X			
Ernie di Schmorl	X					
Periostiti			X			
Fratture	X					
Osteite ischiatica		X		X		
ARTROSI						
Atlanto – occipitale			X			
Spondiloartrosi						
Cervicali			X			
Toraciche			X			
Lombari		X			X	
Sacrali		X		X		
Spalla			X			
Gomito		X			X	
Polso		X		X		
Mano	X					
Sterno – clavicolare			X			
Sterno – costale			X			
Costo – vertebrale			X			
Sacro – iliaca		X		X		
Coxartrosi		X		X		
Ginocchio		X		X		
Caviglia		X		X		
Piede		X		X		

CRITERI PER LA DETERMINAZIONE DI SESSO ED ETÀ

DETERMINAZIONE DEL SESSO

CRANIO	Mancante.
BACINO	Morfologia dei punti più caratterizzanti (solco preauricolare, grande incisura ischiatica, angolo sottopubico, forame otturato, osso dell'anca, arco composto, corpo dell'ischio, cresta iliaca).
ALTRO	Caratteri metrici.

DETERMINAZIONE DELL'ETÀ

CRANIO	Mancante.
BACINO	Morfologia della sinfisi pubica.
ALTRO	Usura articolare.

SITO ARCHEOLOGICO	Isf 06
Tomba	49
Sesso	Probabile F
Età	21 +

CARATTERI METRICI, MORFOMETRICI, MORFOLOGICI, DISCONTINUI ED ERGONOMICI DEL CINTO PELVICO E DELL'ARTO INFERIORE

SACRO

	DX	SX
Faccette articolari accessorie	NR	NR

COXALE

	DX	SX
14(1). Diametro cotilo – sciatico	NR	NR
15(1). Altezza sciatica	NR	NR
15(1)/14(1). Indice cotilo – sciatico	NR	NR
Solco sul fondo dell'acetabolo	NR	NR

BACINO

	DX	SX
Faccette articolari accessorie	NR	NR
2. Larghezza massima	NR	
5. Larghezza antero – superiore	NR	
23. Diametro sagittale	NR	
24. Diametro trasversale	NR	
23/24. Indice di ingresso	NR	

FEMORE

	DX	SX
1. Lunghezza massima	NR	400
2. Lunghezza fisiologica	NR	398
6. Diametro sagittale	25	24
7. Diametro trasversale	24	25
9. Diametro trasversale superiore	NR	30
10. Diametro sagittale superiore	NR	25
(6+7)/2. Indice di robustezza	NR	12,3
6/7. Indice pilastrico	104,1	96
10/9. Indice merico	NR	83,3
Terzo trocantere	NR	A
Inserzione del grande gluteo	Moderata	Moderata
Faccetta di Poirier	NR	A
Placca sul collo	NR	A
Fossa di Allen	NR	A
Esostosi della fossa trocanterica	NR	P

PATELLA

	DX	SX
Intacco del vasto	Lieve	Lieve

TIBIA

	DX	SX
1. Lunghezza massima	320	313
8a. Diametro sagittale al foro nutrizio	28	27
9a. Diametro trasversale al foro nutrizio	23	22
10b. Circonferenza minima	68	67
10b/1. Indice di robustezza	21,2	21,4
9a/8a. Indice cnemico	82,1	81,4
Faccette bordo anteriore epifisi distale	P	P
Linea poplitea	Lievi	Lievi

FIBULA

	DX	SX
1. Lunghezza massima	315	314
4a. Circonferenza minima	34	34
4a/1. Indice di robustezza	10,7	10,8
Scanalature della diafisi	Lievi	Moderate

ASTRAGALO

	DX	SX
Osso trigono	A	A
Faccetta sul collo	P	P

CALCAGNO

	DX	SX
Faccetta calcaneare sdoppiata	P	P
Tubercolo peroneale	P	P
Esostosi inserzione tendine d'Achille	P	P
Sperone calcaneare	A	A

INDICI

	DX	SX
1Ti/2Fem Indice crurale	NR	NR

STATURA (in cm)

	DX	SX	D.S.
OMERO	NR	NR	-
RADIO	NR	NR	-
ULNA	NR	NR	-
FEMORE	NR	152,9	± 3,72
TIBIA	154,33	152,3	± 3,66
FEMORE+TIBIA	NR	152,3	± 3,55
FIBULA	151,9	151,61	± 3,57
STATURA MEDIA		152,55	± 3,62

DETERMINAZIONE DEL SESSO TRAMITE CARATTERI METRICI

	DX	SX	F	I - F	I	I - M	M
STERNO							
Lunghezza	NR						
SCAPOLA							
Lunghezza cavità glenoidea	NR	NR					
CLAVICOLA							
Lunghezza	NR	NR					
OMERO							
Diametro verticale della testa	NR	NR					
FEMORE							
Diametro verticale della testa	NR	43		X			
Diametro massimo della testa	NR	43		X			
Lunghezza fisiologica	NR	398		X			
Circonferenza a metà diafisi	75	75			X		
Larghezza bicondiloidea	77	78	X				

F	I tendente F	I	I tendente M	M
	X			

SCHEMA DI RILEVAMENTO PATOLOGICO

	A	P	NR	LIEVE	MODERATA	GRAVE
PATOLOGIE DENTARIE						
Ipoplasia			X			
Età insorgenza ipoplasia						
Parodontosi			X			
Usura strumentale			X			
Malposizionamenti			X			
Caratteri dentari			X			
PATOLOGIE SCHELETRICHE						
Cribrà			X			
Iperostosi parotica			X			
Ernie di Schmorl			X			
Periostiti	X					
Fratture	X					
Osteite ischiatica		X		X		
ARTROSI						
Atlanto – occipitale			X			
Spondiloartrosi			X			
Cervicali			X			
Toraciche			X			
Lombari			X			
Sacrali			X			
Spalla			X			
Gomito			X			
Polso			X			
Mano			X			
Sterno – clavicolare			X			
Sterno – costale			X			
Costo – vertebrale			X			
Sacro – iliaca			X			
Coxartrosi			X			
Ginocchio	X					
Caviglia	X					
Piede		X		X		

CRITERI PER LA DETERMINAZIONE DI SESSO ED ETÀ

DETERMINAZIONE DEL SESSO

CRANIO	Mancante.
BACINO	Morfologia del corpo dell'ischio sinistro.
ALTRO	Caratteri metrici.

DETERMINAZIONE DELL'ETÀ

CRANIO	Mancante.
BACINO	Mancante.
ALTRO	Fusione delle epifisi.

SITO ARCHEOLOGICO	Isf 06
Tomba	51
Sesso	F
Età	16 – 18 anni

CARATTERI METRICI, MORFOMETRICI, MORFOLOGICI, DISCONTINUI ED ERGONOMICI DEL CINTO SCAPOLARE E DELL'ARTO SUPERIORE

CLAVICOLA	DX	SX
1. Lunghezza massima	NR	NR
6. Circonferenza mediana	NR	NR
6/1. Indice di robustezza	NR	NR
Notch-like defect	NR	NR
Inserzione del grande pettorale	NR	NR
Porosità della superficie articolare per l'acromion	NR	NR
SCAPOLA	DX	SX
Solco circonflesso	NR	NR
OMERO	DX	SX
1. Lunghezza massima	NR	NR
2. Lunghezza totale	NR	NR
5. Diametro massimo a metà diafisi	NR	NR
6. Diametro minimo a metà diafisi	NR	NR
7. Circonferenza minima	NR	NR
7/1 Indice di robustezza	NR	NR
6/5 Indice diafisario	NR	NR
Apertura setto fossa olecranica	NR	NR
Processo sopracondiloideo	NR	NR
Doccia bicipitale	NR	NR
Tuberosità deltoidea	NR	NR
Esostosi dell'epicondilo mediale	NR	NR
RADIO	DX	SX
1. Lunghezza massima	NR	NR
2. Lunghezza fisiologica	NR	NR
3. Circonferenza minima	31	NR
3/2. Indice di robustezza	NR	NR
Entesofiti sulla tuberosità bicipitale	NR	NR
ULNA	DX	SX
1. Lunghezza massima	NR	NR
2. Lunghezza fisiologica	NR	NR
3. Circonferenza minima	NR	NR
13. Diametro trasversale superiore	17	NR
14. Diametro dorso – volare superiore	21	NR
3/2. Indice di robustezza	NR	NR
13/14. Indice olenico	92,8	NR

Entesofiti sul margine superiore olecrano	A	NR
Entesofiti sul margine inferiore incisura radiale	A	NR

INDICI

	DX	SX
1Cl/1Om. Clavicolo – omerale	NR	NR
1Ra/2Om. Radio – omerale	NR	NR

**CARATTERI METRICI, MORFOMETRICI, MORFOLOGICI, DISCONTINUI ED
ERGONOMICI DEL CINTO PELVICO E DELL'ARTO INFERIORE**

SACRO

	DX	SX
Faccette articolari accessorie	NR	NR

COXALE

	DX	SX
14(1). Diametro cotilo – sciatico	30	NR
15(1). Altezza sciatica	41	NR
15(1)/14(1). Indice cotilo – sciatico	136,6	NR
Solco sul fondo dell'acetabolo	A	A

BACINO

	DX	SX
Faccette articolari accessorie	A	NR
2. Larghezza massima		NR
5. Larghezza antero – superiore		NR
23. Diametro sagittale		NR
24. Diametro trasversale		NR
23/24. Indice di ingresso		NR

FEMORE

	DX	SX
1. Lunghezza massima	NR	NR
2. Lunghezza fisiologica	NR	NR
6. Diametro sagittale	23	26
7. Diametro trasversale	19	20
9. Diametro trasversale superiore	29	28
10. Diametro sagittale superiore	25	26
(6+7)/2. Indice di robustezza	NR	NR
6/7. Indice pilastrico	121	130
10/9. Indice merico	86,2	92,8
Terzo trocantere	A	A
Inserzione del grande gluteo	Lieve	Lieve
Faccetta di Poirier	NR	NR
Placca sul collo	NR	NR
Fossa di Allen	A	NR
Esostosi della fossa trocanterica	A	A

PATELLA

	DX	SX
Intacco del vasto	NR	A

TIBIA

	DX	SX
1. Lunghezza massima	NR	NR
8a. Diametro sagittale al foro nutrizio	25	27
9a. Diametro trasversale al foro nutrizio	18	19
10b. Circonferenza minima	NR	NR
10b/1. Indice di robustezza	NR	NR
9a/8a. Indice cnemico	72	70,3
Faccette bordo anteriore epifisi distale	P	P
Linea poplitea	Lieve	Lieve

FIBULA

	DX	SX
1. Lunghezza massima	NR	NR
4a. Circonferenza minima	32	31
4a/1. Indice di robustezza	NR	NR
Scanalature della diafisi	Lieve	Lieve

ASTRAGALO

	DX	SX
Osso trigono	A	A
Faccetta sul collo	A	P

CALCAGNO

	DX	SX
Faccetta calcaneare sdoppiata	P	NR
Tubercolo peroneale	A	A
Esostosi inserzione tendine d'Achille	NR	A
Sperone calcaneare	A	A

INDICI

	DX	SX
1Ti/2Fem Indice crurale	NR	NR

SALDATURA EPIFISI

NR = Non rilevabile; 0 = Assenza unione; 1 = Unione parziale; 2 = Unione con linea di fusione visibile; 3 = Unione completa

	DX	SX		DX	SX
Scapola			Pelvi		
Acromion	NR	NR	Elementi primari	2	2
Margine vertebrale	NR	NR	Cresta iliaca	0	NR
Angolo inferiore	NR	NR	Tuberosità ischiatica	0	0
Clavicola			Femore		
Epifisi sternale	NR	NR	Testa	1	3
Epifisi acromiale	NR	NR	Grande trocantere	1	1
Omero			Piccolo trocantere	3	3
Testa	NR	NR	Epifisi distale	0	0
Epifisi distale	NR	NR	Tibia		
Epicondilo mediale	NR	NR	Epifisi prossimale	0	0
Radio			Epifisi distale	1	1
Epifisi prossimale	3	NR	Osservazioni		
Epifisi distale	0	NR			
Ulna					
Epifisi prossimale	3	NR			
Epifisi distale	0	NR			

INDICI DI SESSUAZIONE DEL CRANIO E DEL BACINO

CRANIO

	Valore W	-2	-1	0	1	2	NR	Valore Wx
Glabella	3						X	/
Processo mastoideo	3						X	/
Rilievi del piano nucale	3						X	/
Processo zigomatico del temporale	3						X	/
Mandibola	3						X	/
Mento	2						X	/
Arco sopraciliare	2						X	/
Osso zigomatico	2						X	/
TOT:								TOT: /

BACINO

	Valore W	-2	-1	0	1	2	NR	Valore Wx
Solco preauricolare	3			X				0
Grande incisura ischiatica	3	X						-6
Angolo sottopubico	3						X	/
Forame otturato	2						X	/
Osso dell'anca	2		X					-2
Arco composto	2		X					-2
Corpo dell'ischio	2		X					-2
Cresta iliaca	1		X					-1
TOT: 13								TOT: -13

CRANIO

	F	I tendente F	I	I tendente M	M
M = W _x /W =					

BACINO

	F	I tendente F	I	I tendente M	M
M = W _x /W = -13/13 = -1	X				

DETERMINAZIONE DEL SESSO TRAMITE CARATTERI METRICI

	DX	SX	F	I - F	I	I - M	M
STERNO							
Lunghezza	NR						
SCAPOLA							
Lunghezza cavità glenoidea	NR	NR					
CLAVICOLA							
Lunghezza	NR	NR					
OMERO							
Diametro verticale della testa	NR	NR					
FEMORE							
Diametro verticale della testa	41	39	X				
Diametro massimo della testa	42	NR	X				
Lunghezza fisiologica	NR	NR					
Circonferenza a metà diafisi	71	75	X				
Larghezza bicondiloidea	NR	NR					

F	I tendente F	I	I tendente M	M
X				

SCHEDA DI RILEVAMENTO PATOLOGICO

	A	P	NR	LIEVE	MODERATA	GRAVE
PATOLOGIE DENTARIE						
Ipoplasia			X			
Età insorgenza ipoplasia						
Parodontosi			X			
Usura strumentale			X			
Malposizionamenti			X			
Caratteri dentari			X			
PATOLOGIE SCHELETRICHE						
Cribrà			X			
Iperostosi porotica			X			
Ernie di Schmorl			X			
Periostiti			X			
Fratture	X					
Osteite ischiatica			X			
ARTROSI						
Atlanto – occipitale			X			
Spondiloartrosi			X			
Cervicali			X			
Toraciche			X			
Lombari			X			
Sacrali			X			
Spalla			X			
Gomito	X					
Polso	X					
Mano	X					
Sterno – clavicolare			X			
Sterno – costale			X			
Costo – vertebrale			X			
Sacro – iliaca			X			
Coxartrosi			X			
Ginocchio	X					
Caviglia	X					
Piede	X					

CRITERI PER LA DETERMINAZIONE DI SESSO ED ETÀ

DETERMINAZIONE DEL SESSO

CRANIO	Mancante.
BACINO	Morfologia dei punti più caratterizzanti (solco preauricolare, grande incisura ischiatica, osso dell'anca, arco composto, corpo dell'ischio, cresta iliaca).
ALTRO	Caratteri metrici.

DETERMINAZIONE DELL'ETÀ

CRANIO	Mancante.
BACINO	Nessun punto utilizzabile.
ALTRO	Grado di sutura delle epifisi delle ossa lunghe disponibili.

SITO ARCHEOLOGICO	Isf 06
Tomba	53
Sesso	F
Età	20 – 25 anni

CARATTERI METRICI, MORFOMETRICI, MORFOLOGICI, DISCONTINUI ED ERGONOMICI CRANICI

CALVARIO

1. Lunghezza massima	NR	
5. Distanza nasion – basion	NR	
8. Larghezza massima	NR	
9. Diametro frontale minimo	NR	
10. Diametro frontale massimo	NR	
17. Altezza basion – bregma	NR	
19(3). Distanza porion – bregma	d. NR	s. NR
19(4). Distanza porion – porion	NR	
20. Altezza porion – bregma	NR	
26. Arco nasion – bregma	NR	
29. Corda nasion – bregma	NR	
38. Capacità cranica al porion	NR	
38. Capacità cranica al basion	NR	
40. Distanza basion – prosthion	NR	
44(a). Corda naso – malare	NR	
44(1). Arco naso – malare	NR	
45. Larghezza massima della faccia	NR	
47. Altezza massima della faccia	NR	
48. Altezza superiore della faccia	NR	
51. Larghezza orbitaria	d. NR	s. NR
52. Altezza orbitaria	d. NR	s. NR
54. Larghezza nasale	NR	
55. Altezza nasale	NR	
60. Lunghezza dell'arcata alveolare	50	
61. Larghezza dell'arcata alveolare	61	
62. Lunghezza del palato	45	
63. Larghezza del palato	35	

MANDIBOLA

65. Larghezza bicondiloidea	127	
66. Larghezza bigoniaca	96	
67. Distanza fori mentonieri	42	
68. Profondità del corpo	68	
69. Altezza alla sinfisi	24	
69(1). Altezza al foro mentoniero	d. 13	s. 12
69(3). Spessore minimo al foro ment.	d. 9	s. 9

INDICI

8/1. Cranico orizzontale	NR	
17/1. Vertico – longitudinale	NR	
17/8. Vertico – trasversale	NR	
20/1. Auricolo – verticale	NR	
20/8. Auricolo – verticale trasversale	NR	
9/10. Frontale trasverso	81,1	
9/8. Fronto – parietale	66,4	
29/26. Indice di curvatura frontale	NR	
40/5. Gnatico	NR	
44(1)/44(a). Naso – malare	NR	
47/45. Facciale totale	NR	
48/45. Facciale superiore	NR	
52/51. Orbitario	d. NR	s. NR
54/55. Nasale	NR	
61/60. Maxillo – alveolare	122	
63/62. Palatale	77,7	

CARATTERI DISCONTINUI

		DX	SX
NORMA SUPERIORE	Ossicini coronali	A	A
	Osso bregmatico	A	
	Ossicini sagittali	A	
	Fori obelici	P	A
NORMA LATERALE	Osso epipterico	A	A
	Osso ad intacco parietale	A	A
NORMA POSTERIORE	Osso al lambda	A	
	Ossa wormiane lungo la sutura lambdoidea	A	A
	Osso epactale	A	
	Osso asterico	A	A
	Linea nucale suprema	Lieve	
NORMA INFERIORE	Apertura del canale condiloideo posteriore	NR	NR
	Sdoppiamento della faccetta condiloidea	NR	NR
	Tubercolo precondiloideo	NR	NR
	Tubercolo faringeo	NR	NR
NORMA ANTERIORE	Sutura metopica	P	
	Forame sopraorbitario completo	P	P
	Forame frontale	A	A
	Forame infraorbitario accessorio	A	A
	Forame zigomatico	NR	NR

CARATTERI MORFOLOGICI

Cliноcefalia	A
Batrocefalia	A

CARATTERI ERGONOMICI

	DX	SX
Toro palatino	A	
Toro mandibolare	A	A
Toro mascellare	A	A

SCHEDA DENTARIA

MASCELLARE

DX													SX		
M3	M2	M1	P2	P1	C'	I2	I1	I1	I2	C'	P1	P2	M1	M2	M3
Cv	3	/	5	C _o	5	/	4	/	3	/	4	/	4	/	3
t	/	t	/	t	i	t	i	t	i	t	/	t	/	t	/
							(-)	/	4	/	4	/	4	/	3
								t	i	t	i	t	i	t	/

MANDIBOLARE

DX													SX			
M3	M2	M1	P2	P1	C'	I2	I1	I1	I2	C'	P1	P2	M1	M2	M3	
O	C _v	5	C _v	5	/	4	/	4	/	4	/	4	C _o	5	C _o	5
	t	/	t	/	t	/	t	/	t	/	t	/	t	i	t	/
					(-)	(-)	/	4	/	4	/	4	/	4	/	4
							T	/	T	i	T	/	T	/	t	/

ETÀ INSORGENZA IPOPLASIA (y = anni; m = mesi)

	M2	M1	P2	P1	C'	I2	I1	I1	I2	C'	P1	P2	M1	M2
MASCELLARE		2 y	5 y	4 y	3-4 y			2 y	3 y	3-4 y			2 y	
MANDIBOLARE								2 y	3 y				2 y	

ARTROSI TEMPORO-MANDIBOLARE

	Sì	No	NR
Fossetta DX		X	
Condilo DX		X	
Fossetta SX		X	
Condilo SX		X	

+	Dente <i>in situ</i>	A	Ascesso alveolare fistolizzato (parete alveolare distrutta)
-	Dente caduto <i>intra vitam</i>		
(-)	Dente caduto <i>post mortem</i>	g	Granuloma (dente perduto e fondo alveolare slargato)
O	Dente agenesiaco		
Incl.	Dente incluso	CD	Carie distruente
...	Tratto alveolare mancante	Cm	Carie mesiale
1-7	Usura	Cd	Carie distale
t	Tartaro	Cl	Carie linguale
T	Tartaro massivo	Cv	Carie vestibolare
TT	Tartaro che ingloba il dente	Co	Carie oclusale
i	Ipoplasia dello smalto	Cclt	Carie al colletto

**CARATTERI METRICI, MORFOMETRICI, MORFOLOGICI, DISCONTINUI ED
ERGONOMICI DEL CINTO SCAPOLARE E DELL'ARTO SUPERIORE**

CLAVICOLA	DX	SX
1. Lunghezza massima	131	NR
6. Circonferenza mediana	34	33
6/1. Indice di robustezza	25,9	NR
Notch-like defect	A	A
Inserzione del grande pettorale	Lieve	Lieve
Porosità della superficie articolare per l'acromion	Poco Porosa	NR
SCAPOLA	DX	SX
Solco circonflesso	A	A
OMERO	DX	SX
1. Lunghezza massima	305	306
2. Lunghezza totale	299	300
5. Diametro massimo a metà diafisi	21	20
6. Diametro minimo a metà diafisi	17	16
7. Circonferenza minima	56	54
7/1 Indice di robustezza	18,3	17,6
6/5 Indice diafisario	80,9	80
Apertura setto fossa olecranica	P	P
Processo sopracondiloideo	A	A
Doccia bicipitale	Lieve	Moderata
Tuberosità deltoidea	Lieve	Lieve
Esostosi dell'epicondilo mediale	A	A
RADIO	DX	SX
1. Lunghezza massima	219	218
2. Lunghezza fisiologica	208	207
3. Circonferenza minima	39	37
3/2. Indice di robustezza	18,7	17,8
Entesofiti sulla tuberosità bicipitale	P	A
ULNA	DX	SX
1. Lunghezza massima	240	240
2. Lunghezza fisiologica	212	212
3. Circonferenza minima	35	35
13. Diametro trasversale superiore	17	17
14. Diametro dorso – volare superiore	23	21
3/2. Indice di robustezza	16,5	16,5
13/14. Indice olenico	70,8	80,9
Entesofiti sul margine superiore olecrano	A	A
Entesofiti sul margine inferiore incisura radiale	A	A

INDICI

	DX	SX
1Cl/1Om. Clavicolo – omerale	42,9	NR
1Ra/2Om. Radio – omerale	73,2	72,6

STATURA (in cm)

	DX	SX	D.S.
OMERO	160,45	160,78	± 4,45
RADIO	158,73	158,26	± 4,24
ULNA	160,24	160,24	± 4,3
FEMORE	157,09	157,09	± 3,72
TIBIA	160,13	NR	± 3,66
FEMORE+TIBIA	158,42	NR	± 3,55
FIBULA	158,64	159,52	± 3,57
STATURA MEDIA		159,13	± 3,98

**CARATTERI METRICI, MORFOMETRICI, MORFOLOGICI, DISCONTINUI ED
ERGONOMICI DEL CINTO PELVICO E DELL'ARTO INFERIORE**

SACRO

	DX	SX
Faccette articolari accessorie	NR	NR

COXALE

	DX	SX
14(1). Diametro cotilo – sciatico	37	36
15(1). Altezza sciatica	52	48
15(1)/14(1). Indice cotilo – sciatico	140,5	133,3
Solco sul fondo dell'acetabolo	A	A

BACINO

	DX	SX
Faccette articolari accessorie	P	P
2. Larghezza massima	NR	
5. Larghezza antero – superiore	NR	
23. Diametro sagittale	NR	
24. Diametro trasversale	NR	
23/24. Indice di ingresso	NR	

FEMORE

	DX	SX
1. Lunghezza massima	417	417
2. Lunghezza fisiologica	413	414
6. Diametro sagittale	24	25
7. Diametro trasversale	24	25
9. Diametro trasversale superiore	32	33
10. Diametro sagittale superiore	25	25
(6+7)/2. Indice di robustezza	11,6	12
6/7. Indice pilastrico	100	100
10/9. Indice merico	78,1	75,7
Terzo trocantere	P	P
Inserzione del grande gluteo	Lieve	Lieve
Faccetta di Poirier	P	P
Placca sul collo	A	A
Fossa di Allen	A	A
Esostosi della fossa trocanterica	A	A

PATELLA

	DX	SX
Intacco del vasto	Lieve	Lieve

TIBIA

	DX	SX
1. Lunghezza massima	340	NR
8a. Diametro sagittale al foro nutrizio	29	28
9a. Diametro trasversale al foro nutrizio	22	22
10b. Circonferenza minima	72	71
10b/1. Indice di robustezza	21,1	NR
9a/8a. Indice cnemico	75,8	78,5
Faccette bordo anteriore epifisi distale	A	A
Linea poplitea	Lieve	Lieve

FIBULA

	DX	SX
1. Lunghezza massima	338	341
4a. Circonferenza minima	29	31
4a/1. Indice di robustezza	8,5	9
Scanalature della diafisi	Moderate	Lievi

ASTRAGALO

	DX	SX
Osso trigono	A	A
Faccetta sul collo	A	A

CALCAGNO

	DX	SX
Faccetta calcaneare sdoppiata	A	A
Tubercolo peroneale	A	A
Esostosi inserzione tendine d'Achille	P	P
Sperone calcaneare	A	A

INDICI

	DX	SX
1Ti/2Fem Indice crurale	82,3	NR

INDICI DI SESSUAZIONE DEL CRANIO E DEL BACINO

CRANIO

	Valore W	-2	-1	0	1	2	NR	Valore Wx
Glabella	3						X	/
Processo mastoideo	3	X						-6
Rilievi del piano nucale	3						X	/
Processo zigomatico del temporale	3						X	/
Mandibola	3	X						-6
Mento	2		X					-2
Arco sopraciliare	2		X					-2
Osso zigomatico	2						X	/
	TOT: 10							TOT: -16

BACINO

	Valore W	-2	-1	0	1	2	NR	Valore Wx
Solco preauricolare	3	X						-6
Grande incisura ischiatica	3	X						-6
Angolo sottopubico	3						X	/
Forame otturato	2						X	/
Osso dell'anca	2		X					-2
Arco composto	2		X					-2
Corpo dell'ischio	2	X						-4
Cresta iliaca	1		X					-1
	TOT: 13							TOT: -21

CRANIO

	F	I tendente F	I	I tendente M	M
$M = W_x/W = -16/10 = -1,6$	X				

BACINO

	F	I tendente F	I	I tendente M	M
$M = W_x/W = -21/13 = -1,6$	X				

DETERMINAZIONE DEL SESSO TRAMITE CARATTERI METRICI

	DX	SX	F	I - F	I	I - M	M
STERNO							
Lunghezza	136				X		
SCAPOLA							
Lunghezza cavità glenoidea	34	31		X			
CLAVICOLA							
Lunghezza	131	NR	X				
OMERO							
Diametro verticale della testa	40	40		X			
FEMORE							
Diametro verticale della testa	44	43		X			
Diametro massimo della testa	44	43		X			
Lunghezza fisiologica	413	414			X		
Circonferenza a metà diafisi	78	84	X				
Larghezza bicondiloidea	70	71	X				

F	I tendente F	I	I tendente M	M
X				

SCHEDA DI RILEVAMENTO PATOLOGICO

	A	P	NR	LIEVE	MODERATA	GRAVE
PATOLOGIE DENTARIE						
Ipoplasia		X				
Età insorgenza ipoplasia	Due episodi, uno a circa 2 anni, uno a circa 4 anni.					
Parodontosi		X		X		
Usura strumentale	X					
Malposizionamenti	X					
Caratteri dentari		X				
PATOLOGIE SCHELETRICHE						
Cribrà		X		X		
Iperostosi porotica	X					
Ernie di Schmorl		7		T7, T9, T10, T11, L1, L2, L3		
Periostiti	X					
Fratture	X					
Osteite ischiatica	X					
ARTROSI						
Atlanto – occipitale		X			X	
Spondiloartrosi		X				
Cervicali	X					
Toraciche		X		X		
Lombari		X		X		
Sacrali			X			
Spalla	X					
Gomito	X					
Polso	X					
Mano	X					
Sterno – clavicolare	X					
Sterno – costale	X					
Costo – vertebrale	X					
Sacro – iliaca		X		X		
Coxartrosi			X			
Ginocchio	X					
Caviglia	X					
Piede	X					

CRITERI PER LA DETERMINAZIONE DI SESSO ED ETÀ

DETERMINAZIONE DEL SESSO

CRANIO	Morfologia dei punti più caratterizzanti (processo mastoideo, mandibola, mento, arco sopraciliare).
BACINO	Morfologia dei punti più caratterizzanti (solco preauricolare, grande incisura ischiatica, osso dell'anca, arco composto, corpo dell'ischio, cresta iliaca).
ALTRO	Caratteri metrici.

DETERMINAZIONE DELL'ETÀ

CRANIO	Sinostosi delle suture craniche. Usura dentaria.
BACINO	Non vi sono punti utilizzabili.
ALTRO	Morfologia delle terminazioni sternali delle coste. Saldatura delle epifisi medialì delle clavicole.

SITO ARCHEOLOGICO	Isf 06
Tomba	56
Sesso	Indeterminato
Età	24 – 30 anni

SCHEDA DENTARIA

MASCELLARE

DX

SX

M3	M2	M1	P2	P1	C'	I2	I1	I1	I2	C'	P1	P2	M1	M2	M3
...

MANDIBOLARE

DX

SX

M3	M2	M1	P2	P1	C'	I2	I1	I1	I2	C'	P1	P2	M1	M2	M3
...	^C m 5 t /

ETÀ INSORGENZA IPOPLASIA (y = anni; m = mesi)

	M2	M1	P2	P1	C'	I2	I1	I1	I2	C'	P1	P2	M1	M2
MASCELLARE														
MANDIBOLARE														

ARTROSI TEMPORO-MANDIBOLARE

	Sì	No	NR
Fossetta DX			X
Condilo DX			X
Fossetta SX			X
Condilo SX			X

+	Dente <i>in situ</i>	A	Ascesso alveolare fistolizzato (parete alveolare distrutta)
-	Dente caduto <i>intra vitam</i>		
(-)	Dente caduto <i>post mortem</i>	g	Granuloma (dente perduto e fondo alveolare slargato)
O	Dente agenesiaco		
Incl.	Dente incluso	CD	Carie distruente
...	Tratto alveolare mancante	Cm	Carie mesiale
1-7	Usura	Cd	Carie distale
t	Tartaro	Cl	Carie linguale
T	Tartaro massivo	Cv	Carie vestibolare
TT	Tartaro che ingloba il dente	Co	Carie oclusale
i	Ipoplasia dello smalto	Cclt	Carie al colletto

**CARATTERI METRICI, MORFOMETRICI, MORFOLOGICI, DISCONTINUI ED
ERGONOMICI DEL CINTO PELVICO E DELL'ARTO INFERIORE**

SACRO

	DX	SX
Faccette articolari accessorie	NR	NR

COXALE

	DX	SX
14(1). Diametro cotilo – sciatico	NR	NR
15(1). Altezza sciatica	NR	NR
15(1)/14(1). Indice cotilo – sciatico	NR	NR
Solco sul fondo dell'acetabolo	NR	NR

BACINO

	DX	SX
Faccette articolari accessorie	NR	NR
2. Larghezza massima	NR	
5. Larghezza antero – superiore	NR	
23. Diametro sagittale	NR	
24. Diametro trasversale	NR	
23/24. Indice di ingresso	NR	

FEMORE

	DX	SX
1. Lunghezza massima	NR	NR
2. Lunghezza fisiologica	NR	NR
6. Diametro sagittale	NR	31
7. Diametro trasversale	NR	25
9. Diametro trasversale superiore	NR	32
10. Diametro sagittale superiore	NR	28
(6+7)/2. Indice di robustezza	NR	NR
6/7. Indice pilastrico	NR	124
10/9. Indice merico	NR	87,5
Terzo trocantere	NR	A
Inserzione del grande gluteo	NR	Moderata
Faccetta di Poirier	NR	NR
Placca sul collo	NR	NR
Fossa di Allen	NR	NR
Esostosi della fossa trocanterica	NR	A

PATELLA

	DX	SX
Intacco del vasto	Lieve	Lieve

TIBIA

	DX	SX
1. Lunghezza massima	337	335
8a. Diametro sagittale al foro nutrizio	29	29
9a. Diametro trasversale al foro nutrizio	24	24
10b. Circonferenza minima	70	68
10b/1. Indice di robustezza	20,7	20,2
9a/8a. Indice cnemico	82,7	82,7
Faccette bordo anteriore epifisi distale	P	P
Linea poplitea	Moderata	Moderata

FIBULA

	DX	SX
1. Lunghezza massima	333	NR
4a. Circonferenza minima	33	33
4a/1. Indice di robustezza	9,9	NR
Scanalature della diafisi	Moderate	Moderate

ASTRAGALO

	DX	SX
Osso trigono	A	A
Faccetta sul collo	A	A

CALCAGNO

	DX	SX
Faccetta calcaneare sdoppiata	A	A
Tubercolo peroneale	A	A
Esostosi inserzione tendine d'Achille	Lievi	Lievi
Sperone calcaneare	A	A

INDICI

	DX	SX
1Ti/2Fem Indice crurale	NR	NR

DETERMINAZIONE DEL SESSO TRAMITE CARATTERI METRICI

	DX	SX	F	I - F	I	I - M	M
STERNO							
Lunghezza	NR						
SCAPOLA							
Lunghezza cavità glenoidea	NR	NR					
CLAVICOLA							
Lunghezza	NR	NR					
OMERO							
Diametro verticale della testa	NR	NR					
FEMORE							
Diametro verticale della testa	NR	NR					
Diametro massimo della testa	NR	NR					
Lunghezza fisiologica	NR	NR					
Circonferenza a metà diafisi	NR	91					X
Larghezza bicondiloidea	NR	73		X			

F	I tendente F	I	I tendente M	M
		X		

SCHEMA DI RILEVAMENTO PATOLOGICO

	A	P	NR	LIEVE	MODERATA	GRAVE
PATOLOGIE DENTARIE						
Ipoplasia			X			
Età insorgenza ipoplasia						
Parodontosi			X			
Usura strumentale			X			
Malposizionamenti			X			
Caratteri dentari		X				
PATOLOGIE SCHELETRICHE						
Cribrà			X			
Iperostosi parotica			X			
Ernie di Schmorl			X			
Periostiti			X			
Fratture			X			
Osteite ischiatica			X			
ARTROSI						
Atlanto – occipitale			X			
Spondiloartrosi			X			
Cervicali			X			
Toraciche			X			
Lombari			X			
Sacrali			X			
Spalla			X			
Gomito			X			
Polso			X			
Mano			X			
Sterno – clavicolare			X			
Sterno – costale			X			
Costo – vertebrale			X			
Sacro – iliaca			X			
Coxartrosi			X			
Ginocchio		X		X		
Caviglia		X		X		
Piede		X		X		

CRITERI PER LA DETERMINAZIONE DI SESSO ED ETÀ

DETERMINAZIONE DEL SESSO

CRANIO	Mancante.
BACINO	Mancante.
ALTRO	Caratteri metrici.

DETERMINAZIONE DELL'ETÀ

CRANIO	Usura dentaria.
BACINO	Mancante.
ALTRO	

SITO ARCHEOLOGICO	Isf 06
Tomba	57 Ind. A
Sesso	M
Età	36 – 44 anni

CARATTERI METRICI, MORFOMETRICI, MORFOLOGICI, DISCONTINUI ED ERGONOMICI DEL CINTO SCAPOLARE E DELL'ARTO SUPERIORE

CLAVICOLA	DX	SX
1. Lunghezza massima	NR	NR
6. Circonferenza mediana	NR	NR
6/1. Indice di robustezza	NR	NR
Notch-like defect	NR	NR
Inserzione del grande pettorale	NR	NR
Porosità della superficie articolare per l'acromion	NR	NR
SCAPOLA	DX	SX
Solco circonflesso	NR	A
OMERO	DX	SX
1. Lunghezza massima	NR	NR
2. Lunghezza totale	NR	NR
5. Diametro massimo a metà diafisi	NR	NR
6. Diametro minimo a metà diafisi	NR	NR
7. Circonferenza minima	66	NR
7/1 Indice di robustezza	NR	NR
6/5 Indice diafisario	NR	NR
Apertura setto fossa olecranica	A	NR
Processo sopracondiloideo	NR	NR
Doccia bicipitale	NR	NR
Tuberosità deltoidea	NR	NR
Esostosi dell'epicondilo mediale	P	NR
RADIO	DX	SX
1. Lunghezza massima	NR	NR
2. Lunghezza fisiologica	NR	NR
3. Circonferenza minima	46	46
3/2. Indice di robustezza	NR	NR
Entesofiti sulla tuberosità bicipitale	A	A
ULNA	DX	SX
1. Lunghezza massima	255	NR
2. Lunghezza fisiologica	225	220
3. Circonferenza minima	44	43
13. Diametro trasversale superiore	25	24
14. Diametro dorso – volare superiore	24	24
3/2. Indice di robustezza	19,5	19,5
13/14. Indice olenico	104,1	100

Entesofiti sul margine superiore olecrano	P	P
Entesofiti sul margine inferiore incisura radiale	A	A

INDICI

	DX	SX
1Cl/1Om. Clavicolo – omerale	NR	NR
1Ra/2Om. Radio – omerale	NR	NR

STATURA (in cm)

	DX	SX	D.S.
OMERO	NR	NR	-
RADIO	NR	NR	-
ULNA	169,25	NR	± 4,32
FEMORE	167,32	167,55	± 3,27
TIBIA	169,59	170,6	± 3,37
FEMORE+TIBIA	168,68	169,33	± 2,99
FIBULA	NR	NR	-

STATURA MEDIA (con adattamento età)	168	± 3,36
--	-----	--------

**CARATTERI METRICI, MORFOMETRICI, MORFOLOGICI, DISCONTINUI ED
ERGONOMICI DEL CINTO PELVICO E DELL'ARTO INFERIORE**

SACRO

	DX	SX
Faccette articolari accessorie	NR	NR

COXALE

	DX	SX
14(1). Diametro cotilo – sciatico	NR	41
15(1). Altezza sciatica	NR	47
15(1)/14(1). Indice cotilo – sciatico	NR	114,6
Solco sul fondo dell'acetabolo	NR	A

BACINO

	DX	SX
Faccette articolari accessorie	NR	NR
2. Larghezza massima	NR	
5. Larghezza antero – superiore	NR	
23. Diametro sagittale	NR	
24. Diametro trasversale	NR	
23/24. Indice di ingresso	NR	

FEMORE

	DX	SX
1. Lunghezza massima	445	446
2. Lunghezza fisiologica	441	442
6. Diametro sagittale	28	29
7. Diametro trasversale	25	27
9. Diametro trasversale superiore	35	36
10. Diametro sagittale superiore	29	29
(6+7)/2. Indice di robustezza	12	12,6
6/7. Indice pilastrico	112	107,4
10/9. Indice merico	82,8	80,5
Terzo trocantere	A	A
Inserzione del grande gluteo	Lieve	Lieve
Faccetta di Poirier	NR	A
Placca sul collo	NR	A
Fossa di Allen	A	A
Esostosi della fossa trocanterica	NR	A

PATELLA

	DX	SX
Intacco del vasto	Moderato	Moderato

TIBIA

	DX	SX
1. Lunghezza massima	361	365
8a. Diametro sagittale al foro nutrizio	33	35
9a. Diametro trasversale al foro nutrizio	28	30
10b. Circonferenza minima	83	80
10b/1. Indice di robustezza	22,9	21,9
9a/8a. Indice cnemico	84,8	85,7
Faccette bordo anteriore epifisi distale	A	A
Linea poplitea	Lieve	Lieve

FIBULA

	DX	SX
1. Lunghezza massima	NR	NR
4a. Circonferenza minima	NR	39
4a/1. Indice di robustezza	NR	NR
Scanalature della diafisi	Lievi	Lievi

ASTRAGALO

	DX	SX
Osso trigono	A	A
Faccetta sul collo	A	A

CALCAGNO

	DX	SX
Faccetta calcaneare sdoppiata	P	P
Tubercolo peroneale	A	A
Esostosi inserzione tendine d'Achille	P	P
Sperone calcaneare	A	A

INDICI

	DX	SX
1Ti/2Fem Indice crurale	81,8	82,5

INDICI DI SESSUAZIONE DEL CRANIO E DEL BACINO

CRANIO

	Valore W	-2	-1	0	1	2	NR	Valore Wx
Glabella	3						X	/
Processo mastoideo	3						X	/
Rilievi del piano nucale	3						X	/
Processo zigomatico del temporale	3						X	/
Mandibola	3						X	/
Mento	2						X	/
Arco sopraciliare	2						X	/
Osso zigomatico	2						X	/
TOT:								TOT:

BACINO

	Valore W	-2	-1	0	1	2	NR	Valore Wx
Solco preauricolare	3				X			3
Grande incisura ischiatica	3				X			3
Angolo sottopubico	3		X					-3
Forame otturato	2						X	/
Osso dell'anca	2							4
Arco composto	2				X			2
Corpo dell'ischio	2				X			2
Cresta iliaca	1				X			1
TOT: 16								TOT: 12

CRANIO

	F	I tendente F	I	I tendente M	M
M = W _x /W =					

BACINO

	F	I tendente F	I	I tendente M	M
M = W _x /W = 12/16 = 0,75				X	

DETERMINAZIONE DEL SESSO TRAMITE CARATTERI METRICI

	DX	SX	F	I - F	I	I - M	M
STERNO							
Lunghezza	NR						
SCAPOLA							
Lunghezza cavità glenoidea	NR	37					X
CLAVICOLA							
Lunghezza	NR	NR					
OMERO							
Diametro verticale della testa	NR	NR					
FEMORE							
Diametro verticale della testa	48	48					X
Diametro massimo della testa	49	48					X
Lunghezza fisiologica	441	442				X	
Circonferenza a metà diafisi	87	91					X
Larghezza bicondiloidea	79	78					X

F	I tendente F	I	I tendente M	M
				X

SCHEDA DI RILEVAMENTO PATOLOGICO

	A	P	NR	LIEVE	MODERATA	GRAVE
PATOLOGIE DENTARIE						
Ipoplasia			X			
Età insorgenza ipoplasia						
Parodontosi			X			
Usura strumentale			X			
Malposizionamenti			X			
Caratteri dentari			X			
PATOLOGIE SCHELETRICHE						
Cribra			X			
Iperostosi porotica			X			
Ernie di Schmorl		13		T5, T6, T7, T8, T9, T10, T11, T12, L2, L3, L4, L5, S1		
Periostiti	X					
Fratture	X					
Osteite ischiatica	X					
ARTROSI						
Atlanto – occipitale		X		X		
Spondiloartrosi						
Cervicali		X			X	
Toraciche		X				X
Lombari		X		X		
Sacrali		X		X		
Spalla			X			
Gomito		X		X		
Polso		X		X		
Mano	X					
Sterno – clavicolare		X		X		
Sterno – costale		X		X		
Costo – vertebrale		X		X		
Sacro – iliaca		X		X		
Coxartrosi		X		X		
Ginocchio		X		X		
Caviglia		X		X		
Piede		X		X		

CRITERI PER LA DETERMINAZIONE DI SESSO ED ETÀ

DETERMINAZIONE DEL SESSO

CRANIO	Mancante.
BACINO	Morfologia dei punti più caratterizzanti (solco preauricolare, grande incisura ischiatica, angolo sottopubico, osso dell'anca, arco composto, corpo dell'ischio, cresta iliaca).
ALTRO	Caratteri metrici.

DETERMINAZIONE DELL'ETÀ

CRANIO	Mancante.
BACINO	Morfologia della sinfisi pubica.
ALTRO	Morfologia delle estremità sternali delle coste.

SITO ARCHEOLOGICO	Isf 06
Tomba	57 Ind. B
Sesso	M
Età	Circa 25 anni

ERGONOMICI DEL CINTO SCAPOLARE E DELL'ARTO SUPERIORE

CLAVICOLA	DX	SX
1. Lunghezza massima	NR	142
6. Circonferenza mediana	39	38
6/1. Indice di robustezza	NR	26,7
Notch-like defect	A	A
Inserzione del grande pettorale	Lieve	Lieve
Porosità della superficie articolare per l'acromion	NR	A
SCAPOLA	DX	SX
Solco circonflesso	A	A
OMERO	DX	SX
1. Lunghezza massima	312	309
2. Lunghezza totale	304	300
5. Diametro massimo a metà diafisi	20	20
6. Diametro minimo a metà diafisi	18	18
7. Circonferenza minima	63	61
7/1 Indice di robustezza	20,1	19,7
6/5 Indice diafisario	90	90
Apertura setto fossa olecranica	A	A
Processo sopracondiloideo	A	A
Doccia bicipitale	Lieve	Lieve
Tuberosità deltoidea	Lieve	Lieve
Esostosi dell'epicondilo mediale	A	A
RADIO	DX	SX
1. Lunghezza massima	238	231
2. Lunghezza fisiologica	220	220
3. Circonferenza minima	40	40
3/2. Indice di robustezza	18,1	18,1
Entesofiti sulla tuberosità bicipitale	P	P
ULNA	DX	SX
1. Lunghezza massima	255	251
2. Lunghezza fisiologica	224	218
3. Circonferenza minima	35	34
13. Diametro trasversale superiore	20	19
14. Diametro dorso – volare superiore	22	21
3/2. Indice di robustezza	15,6	15,5
13/14. Indice olenico	90,9	90,4
Entesofiti sul margine superiore olecrano	A	A
Entesofiti sul margine inferiore incisura radiale	A	A

INDICI

	DX	SX
1Cl/1Om. Clavicolo – omerale	NR	45,9
1Ra/2Om. Radio – omerale	78,2	77

STATURA (in cm)

	DX	SX	D.S.
OMERO	166,54	165,62	± 4,05
RADIO	168,94	166,32	± 4,32
ULNA	169,25	167,77	± 4,32
FEMORE	163,03	164,46	± 3,27
TIBIA	160,26	161,02	± 3,37
FEMORE+TIBIA	161,53	162,7	± 2,99
FIBULA	NR	NR	-
STATURA MEDIA		164,78	± 3,72

**CARATTERI METRICI, MORFOMETRICI, MORFOLOGICI, DISCONTINUI ED
ERGONOMICI DEL CINTO PELVICO E DELL'ARTO INFERIORE**

SACRO

	DX	SX
Faccette articolari accessorie	P	P

COXALE

	DX	SX
14(1). Diametro cotilo – sciatico	32	30
15(1). Altezza sciatica	33	35
15(1)/14(1). Indice cotilo – sciatico	103,1	116,6
Solco sul fondo dell'acetabolo	A	A

BACINO

	DX	SX
Faccette articolari accessorie	P	P
2. Larghezza massima	277	
5. Larghezza antero – superiore	216	
23. Diametro sagittale	NR	
24. Diametro trasversale	134	
23/24. Indice di ingresso	NR	

FEMORE

	DX	SX
1. Lunghezza massima	427	433
2. Lunghezza fisiologica	422	426
6. Diametro sagittale	26	24
7. Diametro trasversale	27	26
9. Diametro trasversale superiore	32	32
10. Diametro sagittale superiore	24	24
(6+7)/2. Indice di robustezza	12,5	11,7
6/7. Indice pilastrico	96,2	92,3
10/9. Indice merico	75	75
Terzo trocantere	A	A
Inserzione del grande gluteo	Lieve	Lieve
Faccetta di Poirier	A	A
Placca sul collo	A	A
Fossa di Allen	A	A
Esostosi della fossa trocanterica	A	A

PATELLA

	DX	SX
Intacco del vasto	Lieve	Lieve

TIBIA

	DX	SX
1. Lunghezza massima	324	327
8a. Diametro sagittale al foro nutrizio	30	31
9a. Diametro trasversale al foro nutrizio	24	24
10b. Circonferenza minima	73	72
10b/1. Indice di robustezza	22,5	22
9a/8a. Indice cnemico	80	77,4
Faccette bordo anteriore epifisi distale	A	A
Linea poplitea	Lieve	Lieve

FIBULA

	DX	SX
1. Lunghezza massima	NR	NR
4a. Circonferenza minima	32	32
4a/1. Indice di robustezza	NR	NR
Scanalature della diafisi	Lievi	Lievi

ASTRAGALO

	DX	SX
Osso trigono	A	A
Faccetta sul collo	A	A

CALCAGNO

	DX	SX
Faccetta calcaneare sdoppiata	P	P
Tubercolo peroneale	A	A
Esostosi inserzione tendine d'Achille	P	P
Sperone calcaneare	A	A

INDICI

	DX	SX
1Ti/2Fem Indice crurale	76,7	75,5

INDICI DI SESSUAZIONE DEL CRANIO E DEL BACINO

CRANIO

	Valore W	-2	-1	0	1	2	NR	Valore Wx
Glabella	3						X	/
Processo mastoideo	3						X	/
Rilievi del piano nucale	3						X	/
Processo zigomatico del temporale	3						X	/
Mandibola	3						X	/
Mento	2						X	/
Arco sopraciliare	2						X	/
Osso zigomatico	2						X	/
TOT:								TOT:

BACINO

	Valore W	-2	-1	0	1	2	NR	Valore Wx
Solco preauricolare	3					X		6
Grande incisura ischiatica	3					X		6
Angolo sottopubico	3				X			3
Forame otturato	2						X	/
Osso dell'anca	2				X			2
Arco composto	2				X			1
Corpo dell'ischio	2			X				0
Cresta iliaca	1				X			
TOT: 16								TOT: 19

CRANIO

	F	I tendente F	I	I tendente M	M
$M = W_x/W =$					

BACINO

	F	I tendente F	I	I tendente M	M
$M = W_x/W = 19/16 = 1,1$					X

DETERMINAZIONE DEL SESSO TRAMITE CARATTERI METRICI

	DX	SX	F	I - F	I	I - M	M
STERNO							
Lunghezza	NR						
SCAPOLA							
Lunghezza cavità glenoidea	36	35			X		
CLAVICOLA							
Lunghezza	NR	142	X				
OMERO							
Diametro verticale della testa	44	45			X		
FEMORE							
Diametro verticale della testa	47	47					X
Diametro massimo della testa	47	47				X	
Lunghezza fisiologica	422	426			X		
Circonferenza a metà diafisi	85	81					X
Larghezza bicondiloidea	81	82					X

F	I tendente F	I	I tendente M	M
				X

SCHEDA DI RILEVAMENTO PATOLOGICO

	A	P	NR	LIEVE	MODERATA	GRAVE
PATOLOGIE DENTARIE						
Ipoplasia			X			
Età insorgenza ipoplasia						
Parodontosi			X			
Usura strumentale			X			
Malposizionamenti			X			
Caratteri dentari			X			
PATOLOGIE SCHELETRICHE						
Cribrà			X			
Iperostosi porotica			X			
Ernie di Schmorl		2			T7, T8	
Periostiti	X					
Fratture			X			
Osteite ischiatica	X					
ARTROSI						
Atlanto – occipitale			X			
Spondiloartrosi		X				
Cervicali	X					
Toraciche		X		X		
Lombari		X		X		
Sacrali		X		X		
Spalla	X					
Gomito		X		X		
Polso	X					
Mano	X					
Sterno – clavicolare	X					
Sterno – costale	X					
Costo – vertebrale	X					
Sacro – iliaca		X			X	
Coxartrosi	X					
Ginocchio	X					
Caviglia	X					
Piede	X					

CRITERI PER LA DETERMINAZIONE DI SESSO ED ETÀ

DETERMINAZIONE DEL SESSO

CRANIO	Mancante.
BACINO	Morfologia dei punti più caratterizzanti (solco preauricolare, grande incisura ischiatica, angolo sottopubico, osso dell'anca, arco composto, corpo dell'ischio, cresta iliaca).
ALTRO	Caratteri metrici.

DETERMINAZIONE DELL'ETÀ

CRANIO	Mancante.
BACINO	Morfologia della sinfisi pubica.
ALTRO	Morfologia delle estremità mediali delle coste. Grado di sutura dell'epifisi mediale delle clavicole.

SITO ARCHEOLOGICO	Isf 06
Tomba	58
Sesso	Probabile M
Età	16+ anni

CARATTERI METRICI, MORFOMETRICI, MORFOLOGICI, DISCONTINUI ED ERGONOMICI DEL CINTO PELVICO E DELL'ARTO INFERIORE

SACRO

	DX	SX
Faccette articolari accessorie	NR	NR

COXALE

	DX	SX
14(1). Diametro cotilo – sciatico	NR	NR
15(1). Altezza sciatica	NR	NR
15(1)/14(1). Indice cotilo – sciatico	NR	NR
Solco sul fondo dell'acetabolo	NR	NR

BACINO

	DX	SX
Faccette articolari accessorie	NR	NR
2. Larghezza massima	NR	
5. Larghezza antero – superiore	NR	
23. Diametro sagittale	NR	
24. Diametro trasversale	NR	
23/24. Indice di ingresso	NR	

FEMORE

	DX	SX
1. Lunghezza massima	NR	NR
2. Lunghezza fisiologica	NR	NR
6. Diametro sagittale	28	NR
7. Diametro trasversale	28	NR
9. Diametro trasversale superiore	NR	NR
10. Diametro sagittale superiore	NR	NR
(6+7)/2. Indice di robustezza	NR	NR
6/7. Indice pilastrico	100	NR
10/9. Indice merico	NR	NR
Terzo trocantere	NR	NR
Inserzione del grande gluteo	Moderata	Moderata
Faccetta di Poirier	NR	NR
Placca sul collo	NR	NR
Fossa di Allen	NR	NR
Esostosi della fossa trocanterica	NR	NR

PATELLA

	DX	SX
Intacco del vasto	NR	NR

TIBIA

	DX	SX
1. Lunghezza massima	355	NR
8a. Diametro sagittale al foro nutrizio	34	34
9a. Diametro trasversale al foro nutrizio	26	25
10b. Circonferenza minima	78	76
10b/1. Indice di robustezza	21,9	NR
9a/8a. Indice cnemico	76,4	73,5
Faccette bordo anteriore epifisi distale	A	A
Linea poplitea	Lievi	Lievi

FIBULA

	DX	SX
1. Lunghezza massima	NR	346
4a. Circonferenza minima	37	36
4a/1. Indice di robustezza	NR	10,4
Scanalature della diafisi	Lievi	Lievi

ASTRAGALO

	DX	SX
Osso trigono	A	A
Faccetta sul collo	P	NR

CALCAGNO

	DX	SX
Faccetta calcaneare sdoppiata	A	A
Tubercolo peroneale	A	A
Esostosi inserzione tendine d'Achille	P	P
Sperone calcaneare	A	A

INDICI

	DX	SX
1Ti/2Fem Indice crurale	NR	NR

STATURA (in cm)

	DX	SX	D.S.
OMERO	NR	NR	-
RADIO	NR	NR	-
ULNA	NR	NR	-
FEMORE	NR	NR	-
TIBIA	168,08	NR	± 3,37
FEMORE+TIBIA	NR	NR	-
FIBULA	NR	168,5	± 3,29
STATURA MEDIA		166,29	± 3,33

DETERMINAZIONE DEL SESSO TRAMITE CARATTERI METRICI

	DX	SX	F	I - F	I	I - M	M
STERNO							
Lunghezza	NR						
SCAPOLA							
Lunghezza cavità glenoidea	NR	NR					
CLAVICOLA							
Lunghezza	NR	NR					
OMERO							
Diametro verticale della testa	NR	NR					
FEMORE							
Diametro verticale della testa	NR	NR					
Diametro massimo della testa	NR	NR					
Lunghezza fisiologica	NR	NR					
Circonferenza a metà diafisi	92	NR					X
Larghezza bicondiloidea	82	NR					X

F	I tendente F	I	I tendente M	M
				X

SCHEDA DI RILEVAMENTO PATOLOGICO

	A	P	NR	LIEVE	MODERATA	GRAVE
PATOLOGIE DENTARIE						
Ipoplasia			X			
Età insorgenza ipoplasia						
Parodontosi			X			
Usura strumentale			X			
Malposizionamenti			X			
Caratteri dentari			X			
PATOLOGIE SCHELETRICHE						
Cribra			X			
Iperostosi porotica			X			
Ernie di Schmorl			X			
Periostiti			X			
Fratture	X					
Osteite ischiatica			X			
ARTROSI						
Atlanto – occipitale			X			
Spondiloartrosi			X			
Cervicali			X			
Toraciche			X			
Lombari			X			
Sacrali			X			
Spalla			X			
Gomito			X			
Polso			X			
Mano			X			
Sterno – clavicolare			X			
Sterno – costale			X			
Costo – vertebrale			X			
Sacro – iliaca			X			
Coxartrosi			X			
Ginocchio		X		X		
Caviglia		X		X		
Piede		X		X		

CRITERI PER LA DETERMINAZIONE DI SESSO ED ETÀ

DETERMINAZIONE DEL SESSO

CRANIO	Mancante.
BACINO	Mancante.
ALTRO	Caratteri metrici.

DETERMINAZIONE DELL'ETÀ

CRANIO	Mancante.
BACINO	Mancante.
ALTRO	Fusione delle epifisi delle ossa lunghe.

SITO ARCHEOLOGICO	Isf 06
Tomba	60
Sesso	F
Età	18 – 20 anni

CARATTERI METRICI, MORFOMETRICI, MORFOLOGICI, DISCONTINUI ED ERGONOMICI CRANICI

CALVARIO

1. Lunghezza massima	NR	
5. Distanza nasion – basion	NR	
8. Larghezza massima	NR	
9. Diametro frontale minimo	NR	
10. Diametro frontale massimo	NR	
17. Altezza basion – bregma	NR	
19(3). Distanza porion – bregma	d. NR	s. NR
19(4). Distanza porion – porion	NR	
20. Altezza porion – bregma	NR	
26. Arco nasion – bregma	NR	
29. Corda nasion – bregma	NR	
38. Capacità cranica al porion	NR	
38. Capacità cranica al basion	NR	
40. Distanza basion – prosthion	NR	
44(a). Corda naso – malare	NR	
44(1). Arco naso – malare	NR	
45. Larghezza massima della faccia	NR	
47. Altezza massima della faccia	NR	
48. Altezza superiore della faccia	NR	
51. Larghezza orbitaria	d. NR	s. NR
52. Altezza orbitaria	d. NR	s. NR
54. Larghezza nasale	NR	
55. Altezza nasale	NR	
60. Lunghezza dell'arcata alveolare	NR	
61. Larghezza dell'arcata alveolare	NR	
62. Lunghezza del palato	35	
63. Larghezza del palato	NR	

MANDIBOLA

65. Larghezza bicondiloidea	118	
66. Larghezza bigoniaca	101	
67. Distanza fori mentonieri	45	
68. Profondità del corpo	70	
69. Altezza alla sinfisi	28	
69(1). Altezza al foro mentoniero	d. 14	s. 13
69(3). Spessore minimo al foro ment.	d. 10	s. 11

INDICI

8/1. Cranico orizzontale	NR	
17/1. Vertico – longitudinale	NR	
17/8. Vertico – trasversale	NR	
20/1. Auricolo – verticale	NR	
20/8. Auricolo – verticale trasversale	NR	
9/10. Frontale trasverso	NR	
9/8. Fronto – parietale	NR	
29/26. Indice di curvatura frontale	NR	
40/5. Gnatico	NR	
44(1)/44(a). Naso – malare	NR	
47/45. Facciale totale	NR	
48/45. Facciale superiore	NR	
52/51. Orbitario	d. NR	s. NR
54/55. Nasale	NR	
61/60. Maxillo – alveolare	NR	
63/62. Palatale	NR	

CARATTERI DISCONTINUI

		DX	SX
NORMA SUPERIORE	Ossicini coronali	A	A
	Osso bregmatico	A	
	Ossicini sagittali	P	
	Fori obelici	P	A
NORMA LATERALE	Osso epipterico	NR	NR
	Osso ad intacco parietale	NR	A
NORMA POSTERIORE	Osso al lambda	NR	
	Ossa wormiane lungo la sutura lambdoidea	P	NR
	Osso epactale	NR	
	Osso asterico	NR	NR
	Linea nucale suprema	Lieve	
NORMA INFERIORE	Apertura del canale condiloideo posteriore	NR	NR
	Sdoppiamento della faccetta condiloidea	NR	NR
	Tubercolo precondiloideo	NR	NR
	Tubercolo faringeo	NR	NR
NORMA ANTERIORE	Sutura metopica	A	
	Forame sopraorbitario completo	A	A
	Forame frontale	A	A
	Forame infraorbitario accessorio	NR	NR
	Forame zigomatico	NR	NR

CARATTERI MORFOLOGICI

Cliноcefalia	A
Batrocefalia	A

CARATTERI ERGONOMICI

	DX	SX
Toro palatino	A	
Toro mandibolare	A	A
Toro mascellare	A	A

SCHEDA DENTARIA

MASCELLARE

DX													SX		
M3	M2	M1	P2	P1	C'	I2	I1	I1	I2	C'	P1	P2	M1	M2	M3
...	/ 3	/ 3	/ 3	/ 3	/ 4	/ 4	(-)	/ 4	/ 4	/ 4	/ 3	/ 3	/ 3	/ 3	...
	t /	t i	t /	t i	t i	t i		t i	t /	t i	t i	t /	t /	t /	

MANDIBOLARE

DX													SX		
M3	M2	M1	P2	P1	C'	I2	I1	I1	I2	C'	P1	P2	M1	M2	M3
/ 2	^C _v 3	-	/ 3	/ 3	/ 3	/ 3	/ 3	/ 3	/ 3	/ 3	/ 3	/ 3	^C _v 3	^C _v 3	/ 2
t /	t i		t /	t i	t /	t /	t /	t /	t /	t i	t /	t /	t /	t /	/ /

ETÀ INSORGENZA IPOPLASIA (y = anni; m = mesi)

	M2	M1	P2	P1	C'	I2	I1	I1	I2	C'	P1	P2	M1	M2
MASCELLARE		2 y		4 y	3-4 y	3 y		2 y		2 y	5 y			
MANDIBOLARE	4-5 y			4 y						3 y				

ARTROSI TEMPORO-MANDIBOLARE

	Sì	No	NR
Fossetta DX		X	
Condilo DX		X	
Fossetta SX		X	
Condilo SX		X	

+	Dente <i>in situ</i>	A	Ascesso alveolare fistolizzato (parete alveolare distrutta)
-	Dente caduto <i>intra vitam</i>		
(-)	Dente caduto <i>post mortem</i>	g	Granuloma (dente perduto e fondo alveolare slargato)
O	Dente agenesiaco		
Incl.	Dente incluso	CD	Carie distruente
...	Tratto alveolare mancante	Cm	Carie mesiale
1-7	Usura	Cd	Carie distale
t	Tartaro	Cl	Carie linguale
T	Tartaro massivo	Cv	Carie vestibolare
TT	Tartaro che ingloba il dente	Co	Carie occlusale
i	Ipoplasia dello smalto	Cclt	Carie al colletto

**CARATTERI METRICI, MORFOMETRICI, MORFOLOGICI, DISCONTINUI ED
ERGONOMICI DEL CINTO SCAPOLARE E DELL'ARTO SUPERIORE**

CLAVICOLA	DX	SX
1. Lunghezza massima	124	128
6. Circonferenza mediana	37	39
6/1. Indice di robustezza	29,8	30,4
Notch-like defect	A	A
Inserzione del grande pettorale	Lieve	Lieve
Porosità della superficie articolare per l'acromion	A	A
SCAPOLA	DX	SX
Solco circonflesso	A	A
OMERO	DX	SX
1. Lunghezza massima	295	290
2. Lunghezza totale	290	284
5. Diametro massimo a metà diafisi	21	21
6. Diametro minimo a metà diafisi	17	15
7. Circonferenza minima	59	56
7/1. Indice di robustezza	20	19,3
6/5. Indice diafisario	80,9	71,4
Apertura setto fossa olecranica	A	A
Processo sopracondiloideo	A	A
Doccia bicipitale	Lieve	Lieve
Tuberosità deltoidea	Lieve	Lieve
Esostosi dell'epicondilo mediale	A	P
RADIO	DX	SX
1. Lunghezza massima	217	NR
2. Lunghezza fisiologica	207	NR
3. Circonferenza minima	40	37
3/2. Indice di robustezza	19,3	NR
Entesofiti sulla tuberosità bicipitale	A	A
ULNA	DX	SX
1. Lunghezza massima	NR	NR
2. Lunghezza fisiologica	NR	NR
3. Circonferenza minima	33	NR
13. Diametro trasversale superiore	18	18
14. Diametro dorso – volare superiore	22	22
3/2. Indice di robustezza	NR	NR
13/14. Indice olenico	81,8	81,8
Entesofiti sul margine superiore olecrano	A	A
Entesofiti sul margine inferiore incisura radiale	A	NR

INDICI

	DX	SX
1Cl/1Om. Clavicolo – omerale	42	44,1
1Ra/2Om. Radio – omerale	74,8	NR

STATURA (in cm)

	DX	SX	D.S.
OMERO	157,09	155,41	± 4,45
RADIO	157,78	NR	± 4,24
ULNA	NR	NR	-
FEMORE	152,9	152,9	± 3,72
TIBIA	157,92	157,92	± 3,66
FEMORE+TIBIA	154,53	154,53	± 3,55
FIBULA	153,95	153,95	± 3,57
STATURA MEDIA		155,64	± 3,83

**CARATTERI METRICI, MORFOMETRICI, MORFOLOGICI, DISCONTINUI ED
ERGONOMICI DEL CINTO PELVICO E DELL'ARTO INFERIORE**

SACRO

	DX	SX
Faccette articolari accessorie	A	A

COXALE

	DX	SX
14(1). Diametro cotilo – sciatico	NR	33
15(1). Altezza sciatica	44	46
15(1)/14(1). Indice cotilo – sciatico	NR	139,39
Solco sul fondo dell'acetabolo	A	A

BACINO

	DX	SX
Faccette articolari accessorie	A	A
2. Larghezza massima	285	
5. Larghezza antero – superiore	186	
23. Diametro sagittale	NR	
24. Diametro trasversale	139	
23/24. Indice di ingresso	NR	

FEMORE

	DX	SX
1. Lunghezza massima	400	400
2. Lunghezza fisiologica	397	398
6. Diametro sagittale	27	24
7. Diametro trasversale	25	26
9. Diametro trasversale superiore	37	38
10. Diametro sagittale superiore	26	26
(6+7)/2. Indice di robustezza	13	12,5
6/7. Indice pilastrico	108	92,3
10/9. Indice merico	70,2	68,4
Terzo trocantere	P	P
Inserzione del grande gluteo	Moderata	Lieve
Faccetta di Poirier	A	A
Placca sul collo	A	A
Fossa di Allen	A	A
Esostosi della fossa trocanterica	A	A

PATELLA

	DX	SX
Intacco del vasto	NR	NR

TIBIA

	DX	SX
1. Lunghezza massima	329	329
8a. Diametro sagittale al foro nutrizio	27	27
9a. Diametro trasversale al foro nutrizio	21	20
10b. Circonferenza minima	66	66
10b/1. Indice di robustezza	20	20
9a/8a. Indice cnemico	77,7	74
Faccette bordo anteriore epifisi distale	A	A
Linea poplitea	Lieve	Lieve

FIBULA

	DX	SX
1. Lunghezza massima	322	322
4a. Circonferenza minima	32	33
4a/1. Indice di robustezza	9,93	10,2
Scanalature della diafisi	Lievi	Lievi

ASTRAGALO

	DX	SX
Osso trigono	A	A
Faccetta sul collo	A	A

CALCAGNO

	DX	SX
Faccetta calcaneare sdoppiata	P	P
Tubercolo peroneale	A	A
Esostosi inserzione tendine d'Achille	P	P
Sperone calcaneare	A	A

INDICI

	DX	SX
1Ti/2Fem Indice crurale	82,8	82,6

INDICI DI SESSUAZIONE DEL CRANIO E DEL BACINO

CRANIO

	Valore W	-2	-1	0	1	2	NR	Valore Wx
Glabella	3						X	/
Processo mastoideo	3	X						-6
Rilievi del piano nucale	3	X						-6
Processo zigomatico del temporale	3						X	/
Mandibola	3	X						-6
Mento	2		X					-2
Arco sopraciliare	2		X					-2
Osso zigomatico	2						X	/
TOT:	13							TOT: -22

BACINO

	Valore W	-2	-1	0	1	2	NR	Valore Wx
Solco preauricolare	3		X					-3
Grande incisura ischiatica	3	X						-6
Angolo sottopubico	3		X					-3
Forame otturato	2						X	/
Osso dell'anca	2		X					-2
Arco composto	2		X					-2
Corpo dell'ischio	2			X				0
Cresta iliaca	1		X					-1
TOT:	16							TOT: -17

CRANIO

	F	I tendente F	I	I tendente M	M
$M = W_x/W = -22/13 = -1,69$	X				

BACINO

	F	I tendente F	I	I tendente M	M
$M = W_x/W = -17/16 = -1,06$	X				

DETERMINAZIONE DEL SESSO TRAMITE CARATTERI METRICI

	DX	SX	F	I - F	I	I - M	M
STERNO							
Lunghezza	128				X		
SCAPOLA							
Lunghezza cavità glenoidea	NR	31	X				
CLAVICOLA							
Lunghezza	124	128	X				
OMERO							
Diametro verticale della testa	41	39	X				
FEMORE							
Diametro verticale della testa	43	42		X			
Diametro massimo della testa	43	42		X			
Lunghezza fisiologica	397	398		X			
Circonferenza a metà diafisi	82	79			X		
Larghezza bicondiloidea	72	71	X				

F	I tendente F	I	I tendente M	M
X				

SCHEDA DI RILEVAMENTO PATOLOGICO

	A	P	NR	LIEVE	MODERATA	GRAVE
PATOLOGIE DENTARIE						
Ipoplasia		X				
Età insorgenza ipoplasia	Due o più episodi tra i 2 e i 5 anni.					
Parodontosi		X		X		
Usura strumentale	X					
Malposizionamenti		X				
Caratteri dentari		X				
PATOLOGIE SCHELETRICHE						
Cribrà	X					
Iperostosi parotica	X					
Ernie di Schmorl	X					
Periostiti	X					
Fratture	X					
Osteite ischiatica	X					
ARTROSI						
Atlanto – occipitale	X					
Spondiloartrosi	X					
Cervicali	X					
Toraciche	X					
Lombari	X					
Sacrali	X					
Spalla	X					
Gomito		X		X		
Polso	X					
Mano	X					
Sterno – clavicolare	X					
Sterno – costale		X		X		
Costo – vertebrale	X					
Sacro – iliaca	X					
Coxartrosi	X					
Ginocchio	X					
Caviglia		X		X		
Piede	X					

CRITERI PER LA DETERMINAZIONE DI SESSO ED ETÀ

DETERMINAZIONE DEL SESSO

CRANIO	Morfologia dei punti più caratterizzanti (processo mastoideo, rilievi del piano nucale, mandibola, mento, arco sopraciliare).
BACINO	Morfologia dei punti più caratterizzanti (solco preauricolare, grande incisura ischiatica, angolo sottopubico, osso dell'anca, arco composto, corpo dell'ischio, cresta iliaca).
ALTRO	Caratteri metrici.

DETERMINAZIONE DELL'ETÀ

CRANIO	Usura ed eruzione dentaria.
BACINO	Morfologia della sinfisi pubica.
ALTRO	Morfologia delle epifisi medialì delle coste. Grado di fusione dell'epifisi mediale delle clavicole.

SITO ARCHEOLOGICO	Isf 06
Tomba	77
Sesso	F
Età	Circa 30 anni

CARATTERI METRICI, MORFOMETRICI, MORFOLOGICI, DISCONTINUI ED ERGONOMICI CRANICI

CALVARIO

1. Lunghezza massima	NR	
5. Distanza nasion – basion	NR	
8. Larghezza massima	145	
9. Diametro frontale minimo	97	
10. Diametro frontale massimo	120	
17. Altezza basion – bregma	125	
19(3). Distanza porion – bregma	d. 130	s. 130
19(4). Distanza porion – porion	114	
20. Altezza porion – bregma	116,8	
26. Arco nasion – bregma	NR	
29. Corda nasion – bregma	NR	
38. Capacità cranica al porion	NR	
38. Capacità cranica al basion	NR	
40. Distanza basion – prosthion	NR	
44(a). Corda naso – malare	NR	
44(1). Arco naso – malare	NR	
45. Larghezza massima della faccia	NR	
47. Altezza massima della faccia	NR	
48. Altezza superiore della faccia	NR	
51. Larghezza orbitaria	d. NR	s. NR
52. Altezza orbitaria	d. NR	s. NR
54. Larghezza nasale	NR	
55. Altezza nasale	NR	
60. Lunghezza dell'arcata alveolare	55	
61. Larghezza dell'arcata alveolare	60	
62. Lunghezza del palato	44	
63. Larghezza del palato	37	

MANDIBOLA

65. Larghezza bicondiloidea	117	
66. Larghezza bigoniaca	97	
67. Distanza fori mentonieri	51	
68. Profondità del corpo	72	
69. Altezza alla sinfisi	NR	
69(1). Altezza al foro mentoniero	d. 14	s. 15
69(3). Spessore minimo al foro ment.	d. 10	s. 10

INDICI

8/1. Cranico orizzontale	NR	
17/1. Vertico – longitudinale	NR	
17/8. Vertico – trasversale	86,2	
20/1. Auricolo – verticale	NR	
20/8. Auricolo – verticale trasversale	80,5	
9/10. Frontale trasverso	80,8	
9/8. Fronto – parietale	66,8	
29/26. Indice di curvatura frontale	NR	
40/5. Gnatico	NR	
44(1)/44(a). Naso – malare	NR	
47/45. Facciale totale	NR	
48/45. Facciale superiore	NR	
52/51. Orbitario	d. NR	s. NR
54/55. Nasale	NR	
61/60. Maxillo – alveolare	109	
63/62. Palatale	84	

CARATTERI DISCONTINUI

		DX	SX
NORMA SUPERIORE	Ossicini coronali	A	A
	Osso bregmatico	A	
	Ossicini sagittali	A	
	Fori obelici	P	A
NORMA LATERALE	Osso epipterico	A	A
	Osso ad intacco parietale	A	A
NORMA POSTERIORE	Osso al lambda	P	
	Ossa wormiane lungo la sutura lambdoidea	P	P
	Osso epactale	A	
	Osso asterico	A	A
	Linea nucale suprema	A	
NORMA INFERIORE	Apertura del canale condiloideo posteriore	A	A
	Sdoppiamento della faccetta condiloidea	A	A
	Tubercolo precondiloideo	A	A
	Tubercolo faringeo	NR	NR
NORMA ANTERIORE	Sutura metopica	A	
	Forame sopraorbitario completo	A	A
	Forame frontale	A	A
	Forame infraorbitario accessorio	NR	NR
	Forame zigomatico	NR	NR

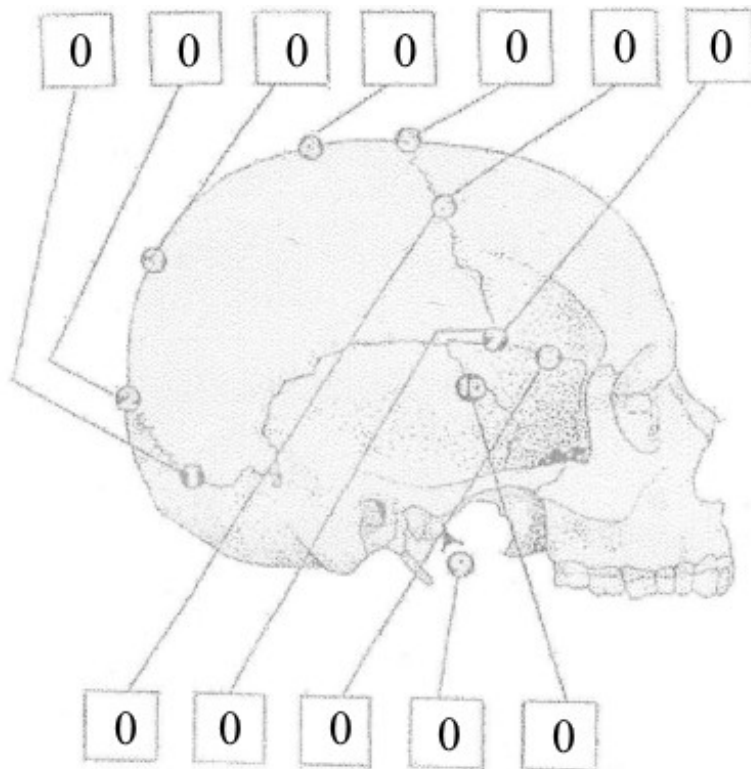
CARATTERI MORFOLOGICI

Cliноcefalia	A
Batrocefalia	Lieve

CARATTERI ERGONOMICI

	DX	SX
Toro palatino	A	
Toro mandibolare	A	A
Toro mascellare	A	A

SINOSTOSI DELLE SUTURE CRANICHE



Legenda	
Ogni punto considera un'area di 1 cm, classificata in uno stadio di sinostosi tra i seguenti	
0	Sinostosi aperta, nessuna traccia di sinostosi ectocranica
1	Sinostosi minima, da un singolo ponte osseo al 50% di sinostosi
2	Sinostosi significativa, superiore al 50% di sinostosi
3	Sinostosi completa, con totale obliterazione della sutura

Sistema della volta					Sistema laterale anteriore				
Punti	Età media	S. D.	Int. dec.	Range	Punti	Età media	S. D.	Int. dec.	Range
0	-	-	< 35	< 49	0	-	-	< 43	< 50
1 - 2	30,5	9,6	19 - 44	18 - 45	1	32	8,3	21 - 42	19 - 48
3 - 4 - 5 - 6	34,7	7,8	23 - 45	22 - 48	2	36,2	6,2	29 - 44	25 - 49
7 - 8 - 9 - 10 - 11	39,4	9,1	28 - 44	24 - 60	3 - 4 - 5	41,1	10	28 - 52	23 - 68
12 - 13 - 14 - 15	45,2	12,6	31 - 65	24 - 75	6	43,4	10,7	30 - 54	23 - 63
16 - 17 - 18	48,8	10,5	35 - 60	30 - 71	7 - 8	45,5	8,9	35 - 57	32 - 65
19 - 20	51,5	12,6	34 - 63	23 - 76	9 - 10	51,9	12,5	39 - 69	33 - 76
21	-	-	> 43	> 40	11 - 12 - 13 - 14	56,2	8,5	49 - 65	34 - 68
					15	-	-	-	-

Sistema	Punti	Età media	S. D.	Int. dec.	Range
Volta	0	-	-	< 35	< 49
Laterale anteriore	0	-	-	< 43	< 50

SCHEDA DENTARIA

MASCELLARE

DX											SX				
M3	M2	M1	P2	P1	C'	I2	I1	I1	I2	C'	P1	P2	M1	M2	M3
-	/ 5	A	/ 5	(-)	Cd 4	/ 5	/ 5	/ 5	(-)	/ 4	/ 5	/ 5	/ 6	Co 5	/ 5
	t / i		5 /		t /	t /	t /	i / i		t /	t /	t /	T i	T /	T /

MANDIBOLARE

DX											SX				
M3	M2	M1	P2	P1	C'	I2	I1	I1	I2	C'	P1	P2	M1	M2	M3
Cv 4	-	/ 6	/ 5	/ 5	/ 5	(-)	(-)	/ 5	/ 5	/ 5	Cd 5	Cd 8	Cd 6	-	Co 4
t /		t /	t /	t /	i / t /			T i	T i	t i	t /	/ /	/ /	/ /	t /

ETÀ INSORGENZA IPOPLASIA (y = anni; m = mesi)

	M2	M1	P2	P1	C'	I2	I1	I1	I2	C'	P1	P2	M1	M2
MASCELLARE	5 y						2-3 y	2-3 y					2 y	
MANDIBOLARE				4 y			3 y	3 y	3 y					

ARTROSI TEMPORO-MANDIBOLARE

	Si	No	NR
Fossetta DX		X	
Condilo DX		X	
Fossetta SX		X	
Condilo SX		X	

+	Dente <i>in situ</i>	A	Ascesso alveolare fistolizzato (parete alveolare distrutta)
-	Dente caduto <i>intra vitam</i>		
(-)	Dente caduto <i>post mortem</i>	g	Granuloma (dente perduto e fondo alveolare slargato)
O	Dente agenesiaco		
Incl.	Dente incluso	CD	Carie destruyente
...	Tratto alveolare mancante	Cm	Carie mesiale
1-7	Usura	Cd	Carie distale
t	Tartaro	Cl	Carie linguale
T	Tartaro massivo	Cv	Carie vestibolare
TT	Tartaro che ingloba il dente	Co	Carie oclusale
i	Ipoplasi dello smalto	Cclt	Carie al colletto

**CARATTERI METRICI, MORFOMETRICI, MORFOLOGICI, DISCONTINUI ED
ERGONOMICI DEL CINTO SCAPOLARE E DELL'ARTO SUPERIORE**

CLAVICOLA	DX	SX
1. Lunghezza massima	134	129
6. Circonferenza mediana	31	31
6/1. Indice di robustezza	23,1	24
Notch-like defect	A	A
Inserzione del grande pettorale	Lieve	Lieve
Porosità della superficie articolare per l'acromion	Lieve	Lieve
SCAPOLA	DX	SX
Solco circonflesso	NR	A
OMERO	DX	SX
1. Lunghezza massima	278	275
2. Lunghezza totale	272	267
5. Diametro massimo a metà diafisi	20	18
6. Diametro minimo a metà diafisi	15	14
7. Circonferenza minima	56	56
7/1 Indice di robustezza	20,1	20,3
6/5 Indice diafisario	75	77,7
Apertura setto fossa olecranica	P	P
Processo sopracondiloideo	A	A
Doccia bicipitale	Lieve	Lieve
Tuberosità deltoidea	Moderata	Moderata
Esostosi dell'epicondilo mediale	A	A
RADIO	DX	SX
1. Lunghezza massima	NR	NR
2. Lunghezza fisiologica	NR	NR
3. Circonferenza minima	NR	NR
3/2. Indice di robustezza	NR	NR
Entesofiti sulla tuberosità bicipitale	P	NR
ULNA	DX	SX
1. Lunghezza massima	NR	NR
2. Lunghezza fisiologica	NR	NR
3. Circonferenza minima	NR	NR
13. Diametro trasversale superiore	16	17
14. Diametro dorso – volare superiore	20	22
3/2. Indice di robustezza	NR	NR
13/14. Indice olenico	80	77,2
Entesofiti sul margine superiore olecrano	A	A
Entesofiti sul margine inferiore incisura radiale	A	A

INDICI

	DX	SX
1Cl/1Om. Clavicolo – omerale	48,2	46,9
1Ra/2Om. Radio – omerale	NR	NR

STATURA (in cm)

	DX	SX	D.S.
OMERO	151,37	150,37	± 4,45
RADIO	NR	NR	-
ULNA	NR	NR	-
FEMORE	NR	NR	-
TIBIA	NR	NR	-
FEMORE+TIBIA	NR	NR	-
FIBULA	NR	NR	-

STATURA MEDIA	150,87	± 4,45
----------------------	--------	--------

INDICI DI SESSUAZIONE DEL CRANIO E DEL BACINO

CRANIO

	Valore W	-2	-1	0	1	2	NR	Valore Wx
Glabella	3						X	/
Processo mastoideo	3			X				0
Rilievi del piano nucale	3	X						-6
Processo zigomatico del temporale	3						X	/
Mandibola	3	X						-6
Mento	2		X					-2
Arco sopraciliare	2		X					-2
Osso zigomatico	2						X	/
TOT:	13							-16

BACINO

	Valore W	-2	-1	0	1	2	NR	Valore Wx
Solco preauricolare	3						X	/
Grande incisura ischiatica	3						X	/
Angolo sottopubico	3						X	/
Forame otturato	2						X	/
Osso dell'anca	2						X	/
Arco composto	2						X	/
Corpo dell'ischio	2						X	/
Cresta iliaca	1						X	/
TOT:								TOT:

CRANIO

	F	I tendente F	I	I tendente M	M
$M = W_x/W = -16/13 = -1,23$	X				

BACINO

	F	I tendente F	I	I tendente M	M
$M = W_x/W =$					

DETERMINAZIONE DEL SESSO TRAMITE CARATTERI METRICI

	DX	SX	F	I - F	I	I - M	M
STERNO							
Lunghezza	NR						
SCAPOLA							
Lunghezza cavità glenoidea	NR	31	X				
CLAVICOLA							
Lunghezza	134	129	X				
OMERO							
Diametro verticale della testa	37	38	X				
FEMORE							
Diametro verticale della testa	NR	NR					
Diametro massimo della testa	NR	NR					
Lunghezza fisiologica	NR	NR					
Circonferenza a metà diafisi	NR	NR					
Larghezza bicondiloidea	NR	NR					

F	I tendente F	I	I tendente M	M
X				

SCHEDA DI RILEVAMENTO PATOLOGICO

	A	P	NR	LIEVE	MODERATA	GRAVE
PATOLOGIE DENTARIE						
Ipoplasia		X				
Età insorgenza ipoplasia	Uno o due episodi tra i 3 e i 5 anni.					
Parodontosi		X		X		
Usura strumentale	X					
Malposizionamenti	X					
Caratteri dentari	X					
PATOLOGIE SCHELETRICHE						
Cribra	X					
Iperostosi porotica	X					
Ernie di Schmorl		1			T7	
Periostiti			X			
Fratture	X					
Osteite ischiatica			X			
ARTROSI						
Atlanto – occipitale		X		X		
Spondiloartrosi						
Cervicali		X		X		
Toraciche		X			X	
Lombari		X		X		
Sacrali	X					
Spalla		X		X		
Gomito		X		X		
Polso			X			
Mano			X			
Sterno – clavicolare	X					
Sterno – costale		X				
Costo – vertebrale		X				
Sacro – iliaca			X			
Coxartrosi			X			
Ginocchio			X			
Caviglia			X			
Piede			X			

CRITERI PER LA DETERMINAZIONE DI SESSO ED ETÀ

DETERMINAZIONE DEL SESSO

CRANIO	Morfologia dei punti più caratterizzanti (processo mastoideo, rilievi del piano nucale, mandibola, mento, arco sopraciliare).
BACINO	Mancante.
ALTRO	Caratteri metrici.

DETERMINAZIONE DELL'ETÀ

CRANIO	Sinostosi delle suture craniche. Usura dentaria.
BACINO	Mancante.
ALTRO	Morfologia dell'epifisi mediale delle coste. Grado di saldatura dell'epifisi mediale delle clavicole.

SITO ARCHEOLOGICO	Isf 06
Tomba	91
Sesso	M
Età	18 – 20 anni

CARATTERI METRICI, MORFOMETRICI, MORFOLOGICI, DISCONTINUI ED ERGONOMICI CRANICI

CALVARIO

1. Lunghezza massima	NR	
5. Distanza nasion – basion	NR	
8. Larghezza massima	155	
9. Diametro frontale minimo	NR	
10. Diametro frontale massimo	NR	
17. Altezza basion – bregma	NR	
19(3). Distanza porion – bregma	d. NR	s. NR
19(4). Distanza porion – porion	NR	
20. Altezza porion – bregma	NR	
26. Arco nasion – bregma	125	
29. Corda nasion – bregma	107	
38. Capacità cranica al porion	NR	
38. Capacità cranica al basion	NR	
40. Distanza basion – prosthion	NR	
44(a). Corda naso – malare	100	
44(1). Arco naso – malare	118	
45. Larghezza massima della faccia	NR	
47. Altezza massima della faccia	NR	
48. Altezza superiore della faccia	65	
51. Larghezza orbitaria	d. NR	s. 41
52. Altezza orbitaria	d. 38	s. 35
54. Larghezza nasale	27	
55. Altezza nasale	NR	
60. Lunghezza dell'arcata alveolare	50	
61. Larghezza dell'arcata alveolare	65	
62. Lunghezza del palato	38	
63. Larghezza del palato	45	

MANDIBOLA

65. Larghezza bicondiloidea	NR	
66. Larghezza bigoniaca	106	
67. Distanza fori mentonieri	43	
68. Profondità del corpo	74	
69. Altezza alla sinfisi	28	
69(1). Altezza al foro mentoniero	d. 13	s. 13
69(3). Spessore minimo al foro ment.	d. 11	s. 11

INDICI

8/1. Cranico orizzontale	NR	
17/1. Vertico – longitudinale	NR	
17/8. Vertico – trasversale	NR	
20/1. Auricolo – verticale	NR	
20/8. Auricolo – verticale trasversale	NR	
9/10. Frontale trasverso	NR	
9/8. Fronto – parietale	NR	
29/26. Indice di curvatura frontale	85,6	
40/5. Gnatico	NR	
44(1)/44(a). Naso – malare	118	
47/45. Facciale totale	NR	
48/45. Facciale superiore	NR	
52/51. Orbitario	d. NR	s. 85,3
54/55. Nasale	NR	
61/60. Maxillo – alveolare	130	
63/62. Palatale	118,4	

CARATTERI DISCONTINUI

		DX	SX
NORMA SUPERIORE	Ossicini coronali	A	A
	Osso bregmatico	A	
	Ossicini sagittali	A	
	Fori obelici	P	P
NORMA LATERALE	Osso epipterico	A	A
	Osso ad intacco parietale	NR	NR
NORMA POSTERIORE	Osso al lambda	NR	
	Ossa wormiane lungo la sutura lambdoidea	NR	NR
	Osso epactale	NR	
	Osso asterico	NR	NR
	Linea nucale suprema	Lieve	
NORMA INFERIORE	Apertura del canale condiloideo posteriore	NR	NR
	Sdoppiamento della faccetta condiloidea	A	A
	Tubercolo precondiloideo	NR	NR
	Tubercolo faringeo	NR	NR
NORMA ANTERIORE	Sutura metopica	A	
	Forame sopraorbitario completo	NR	P
	Forame frontale	A	A
	Forame infraorbitario accessorio	A	A
	Forame zigomatico	P	A

CARATTERI MORFOLOGICI

Cliноcefalia	A
Batrocefalia	NR

CARATTERI ERGONOMICI

	DX	SX
Toro palatino	A	
Toro mandibolare	A	A
Toro mascellare	A	A

SCHEDA DENTARIA

MASCELLARE

DX														SX								
M3	M2	M1	P2	P1	C'	I2	I1	I1	I2	C'	P1	P2	M1	M2	M3							
In	/	4	/	5	/	4	/	4	/	5	/	5	/	5	/	4	/	5	/	4	In	
eruz.	t	/	t	i	t	/	t	/	t	i	t	/	t	i	t	/	t	/	t	i	/	eruz.

MANDIBOLARE

DX														SX													
M3	M2	M1	P2	P1	C'	I2	I1	I1	I2	C'	P1	P2	M1	M2	M3												
O	C	3	C	5	/	4	/	4	/	5	/	5	/	5	/	5	/	5	/	4	/	4	C	5	C	3	O
	t	i	t	/	t	i	t	/	t	i	t	/	t	i	t	/	t	/	t	i	t	/	t	i	/	/	

ETÀ INSORGENZA IPOPLASIA (y = anni; m = mesi)

	M2	M1	P2	P1	C'	I2	I1	I1	I2	C'	P1	P2	M1	M2
MASCELLARE		2 y			3-4 y		2 y	2 y		2 y			2 y	
MANDIBOLARE	4 y		4-5 y		3-4 y					2 y	4 y			

ARTROSI TEMPORO-MANDIBOLARE

	Sì	No	NR
Fossetta DX		X	
Condilo DX			X
Fossetta SX		X	
Condilo SX			X

+	Dente <i>in situ</i>	A	Ascesso alveolare fistolizzato (parete alveolare distrutta)
-	Dente caduto <i>intra vitam</i>		
(-)	Dente caduto <i>post mortem</i>	g	Granuloma (dente perduto e fondo alveolare slargato)
O	Dente agenesiaco		
Incl.	Dente incluso	CD	Carie distruente
...	Tratto alveolare mancante	Cm	Carie mesiale
1-7	Usura	Cd	Carie distale
t	Tartaro	Cl	Carie linguale
T	Tartaro massivo	Cv	Carie vestibolare
TT	Tartaro che ingloba il dente	Co	Carie occlusale
i	Ipoplasia dello smalto	Cclt	Carie al colletto

**CARATTERI METRICI, MORFOMETRICI, MORFOLOGICI, DISCONTINUI ED
ERGONOMICI DEL CINTO SCAPOLARE E DELL'ARTO SUPERIORE**

CLAVICOLA	DX	SX
1. Lunghezza massima	148	142
6. Circonferenza mediana	40	43
6/1. Indice di robustezza	27	30,2
Notch-like defect	P	A
Inserzione del grande pettorale	Moderata	Moderata
Porosità della superficie articolare per l'acromion	Lieve	Lieve
SCAPOLA	DX	SX
Solco circonflesso	A	A
OMERO	DX	SX
1. Lunghezza massima	322	314
2. Lunghezza totale	316	306
5. Diametro massimo a metà diafisi	23	22
6. Diametro minimo a metà diafisi	18	18
7. Circonferenza minima	66	63
7/1 Indice di robustezza	20,4	20
6/5 Indice diafisario	78,2	81,8
Apertura setto fossa olecranica	A	A
Processo sopracondiloideo	A	A
Doccia bicipitale	Lieve	Lieve
Tuberosità deltoidea	Lieve	Lieve
Esostosi dell'epicondilo mediale	A	A
RADIO	DX	SX
1. Lunghezza massima	226	222
2. Lunghezza fisiologica	215	209
3. Circonferenza minima	42	41
3/2. Indice di robustezza	19,5	19,6
Entesofiti sulla tuberosità bicipitale	A	A
ULNA	DX	SX
1. Lunghezza massima	246	242
2. Lunghezza fisiologica	213	210
3. Circonferenza minima	39	38
13. Diametro trasversale superiore	20	21
14. Diametro dorso – volare superiore	25	26
3/2. Indice di robustezza	18,3	18
13/14. Indice olenico	80	80,7
Entesofiti sul margine superiore olecrano	A	A
Entesofiti sul margine inferiore incisura radiale	A	A

INDICI

	DX	SX
1Cl/1Om. Clavicolo – omerale	45,9	45,2
1Ra/2Om. Radio – omerale	71,5	72,5

STATURA (in cm)

	DX	SX	D.S.
OMERO	169,32	167,16	± 4,05
RADIO	164,43	162,92	± 4,32
ULNA	165,92	164,44	± 4,32
FEMORE	168,03	168,51	± 3,27
TIBIA	NR	NR	-
FEMORE+TIBIA	NR	NR	-
FIBULA	NR	NR	-

STATURA MEDIA	166,32	± 3,99
----------------------	--------	--------

**CARATTERI METRICI, MORFOMETRICI, MORFOLOGICI, DISCONTINUI ED
ERGONOMICI DEL CINTO PELVICO E DELL'ARTO INFERIORE**

SACRO

	DX	SX
Faccette articolari accessorie	A	A

COXALE

	DX	SX
14(1). Diametro cotilo – sciatico	39	37
15(1). Altezza sciatica	56	47
15(1)/14(1). Indice cotilo – sciatico	143,5	127
Solco sul fondo dell'acetabolo	A	A

BACINO

	DX	SX
Faccette articolari accessorie	A	A
2. Larghezza massima	304	
5. Larghezza antero – superiore	252	
23. Diametro sagittale	NR	
24. Diametro trasversale	130	
23/24. Indice di ingresso	NR	

FEMORE

	DX	SX
1. Lunghezza massima	448	450
2. Lunghezza fisiologica	444	445
6. Diametro sagittale	29	29
7. Diametro trasversale	27	27
9. Diametro trasversale superiore	32	30
10. Diametro sagittale superiore	33	29
(6+7)/2. Indice di robustezza	12,6	12,5
6/7. Indice pilastrico	107,4	107,4
10/9. Indice merico	103,1	96,6
Terzo trocantere	P	A
Inserzione del grande gluteo	Lieve	Lieve
Faccetta di Poirier	A	A
Placca sul collo	A	A
Fossa di Allen	A	A
Esostosi della fossa trocanterica	A	A

PATELLA

	DX	SX
Intacco del vasto	Lieve	Lieve

TIBIA

	DX	SX
1. Lunghezza massima	NR	NR
8a. Diametro sagittale al foro nutrizio	33	33
9a. Diametro trasversale al foro nutrizio	24	23
10b. Circonferenza minima	NR	NR
10b/1. Indice di robustezza	NR	NR
9a/8a. Indice cnemico	72,7	69,6
Faccette bordo anteriore epifisi distale	NR	NR
Linea poplitea	Lieve	Lieve

FIBULA

	DX	SX
1. Lunghezza massima	NR	NR
4a. Circonferenza minima	NR	34
4a/1. Indice di robustezza	NR	NR
Scanalature della diafisi	Lievi	Lievi

ASTRAGALO

	DX	SX
Osso trigono	NR	NR
Faccetta sul collo	NR	NR

CALCAGNO

	DX	SX
Faccetta calcaneare sdoppiata	NR	NR
Tubercolo peroneale	NR	NR
Esostosi inserzione tendine d'Achille	NR	NR
Sperone calcaneare	NR	NR

INDICI

	DX	SX
1Ti/2Fem Indice crurale	NR	NR

INDICI DI SESSUAZIONE DEL CRANIO E DEL BACINO

CRANIO

	Valore W	-2	-1	0	1	2	NR	Valore Wx
Glabella	3				X			3
Processo mastoideo	3			X				0
Rilievi del piano nucale	3				X			3
Processo zigomatico del temporale	3						X	/
Mandibola	3				X			3
Mento	2				X			2
Arco sopraciliare	2				X			2
Osso zigomatico	2						X	/
TOT: 16							TOT: 13	

BACINO

	Valore W	-2	-1	0	1	2	NR	Valore Wx
Solco preauricolare	3				X			3
Grande incisura ischiatica	3					X		6
Angolo sottopubico	3				X			3
Forame otturato	2				X			2
Osso dell'anca	2				X			2
Arco composto	2				X			2
Corpo dell'ischio	2					X		4
Cresta iliaca	1				X			1
TOT: 18							TOT: 23	

CRANIO

	F	I tendente F	I	I tendente M	M
$M = W_x/W = 13/16 = 0,8$				X	

BACINO

	F	I tendente F	I	I tendente M	M
$M = W_x/W = 23/18 = 1,2$					X

DETERMINAZIONE DEL SESSO TRAMITE CARATTERI METRICI

	DX	SX	F	I - F	I	I - M	M
STERNO							
Lunghezza	NR						
SCAPOLA							
Lunghezza cavità glenoidea	40	NR					
CLAVICOLA							
Lunghezza	148	142			X		
OMERO							
Diametro verticale della testa	49	50					X
FEMORE							
Diametro verticale della testa	50	49					X
Diametro massimo della testa	51	50					X
Lunghezza fisiologica	444	445				X	
Circonferenza a metà diafisi	85	88					X
Larghezza bicondiloidea	88	86					X

F	I tendente F	I	I tendente M	M
				X

SCHEDA DI RILEVAMENTO PATOLOGICO

	A	P	NR	LIEVE	MODERATA	GRAVE
PATOLOGIE DENTARIE						
Ipoplasia		X				
Età insorgenza ipoplasia	Due episodi: uno circa a 2 anni, uno circa a 4 anni.					
Parodontosi		X		X		
Usura strumentale	X					
Malposizionamenti	X					
Caratteri dentari						
PATOLOGIE SCHELETRICHE						
Cribra	X					
Iperostosi porotica	X					
Ernie di Schmorl	X					
Periostiti	X					
Fratture	X					
Osteite ischiatica	X					
ARTROSI						
Atlanto – occipitale		X		X		
Spondiloartrosi		X				
Cervicali	X					
Toraciche	X					
Lombari		X			X	
Sacrali		X		X		
Spalla	X					
Gomito		X		X		
Polso		X		X		
Mano		X		X		
Sterno – clavicolare	X					
Sterno – costale	X					
Costo – vertebrale	X					
Sacro – iliaca		X		X		
Coxartrosi	X					
Ginocchio	X					
Caviglia			X			
Piede			X			

CRITERI PER LA DETERMINAZIONE DI SESSO ED ETÀ

DETERMINAZIONE DEL SESSO

CRANIO	Morfologia dei punti più caratterizzanti (glabella, processo mastoideo, rilievi del piano nucale, mandibola, mento, arco sopraciliare).
BACINO	Morfologia dei punti più caratterizzanti (solco preauricolare, grande incisura ischiatica, angolo sottopubico, forame otturato, osso dell'anca, arco composto, corpo dell'ischio, cresta iliaca).
ALTRO	Caratteri metrici.

DETERMINAZIONE DELL'ETÀ

CRANIO	Usura dentaria. Eruzione dentaria.
BACINO	Morfologia della sinfisi pubica.
ALTRO	Morfologia delle epifisi medialì delle coste.

VI
BIBLIOGRAFIA

- **Acsádi G., Nemeskéri J.**, *Hystory of human life, span and mortality*, Akadémiai Kiadó, budapest, 1970.

- **Bass W. M.**, *Human osteology, a laboratory and field manual*, Missouri Archaeological Society, 2005.

- **Bertoldi F., Bestetti F., Brighi E., Leoni C.**, *Il cimitero di Santa Maria del Faro (RA): dati paleobiologici e paleopatologici preliminari*, Poster presentato al XVII congresso AAI, Cagliari, 2007.

- **Bertoldi F., Librenti M. (a cura di)**, *Nonantola 2. Il cimitero basso-medievale della chiesa di San Lorenzo nel borgo di Nonantola*, All'insegna del Giglio, 2007.

- **Bertoldi F., Cilli J., Bullegato C., Ghezzi M., Lora S., Rasia P.A.**, *La popolazione di Comacchio (FE) tra età alto medievale ed età moderna: il cimitero adiacente al Duomo di San Cassiano*, Poster presentato al XVIII Congresso AAI, Firenze, 2009.

- **Bertoldi F., Lora S.**, *Un progetto dell'Università Ca' Foscari di Venezia per lo scavo e lo studio dei cimiteri basso-medievali in Emilia Romagna*, Anthropos e Iatria, XII 2, 2008.

- **Bertoldi F., Lora S.**, *Indicatori egonomici*, in *Non Omnis Moriar. Manuale di Antropologia* a cura di Mallegni F. e Lippi B., CISU, Roma, 2009.

- **Black T. K. III**, *A new method for assessing the sex of fragmentary skeletal remains: femoral shaft circumference*, in *American journal of Physical Anthropology*, 48, 1978.

- **Blaugrund S. M.**, *The nasal septum and concha bullosa*, in *Otolaryngologic clinics of North America*, 22, 1989.

- **Brogiolo G. P., Gelichi S.**, *Nuove ricerche sui castelli altomedievali in Italia Settentrionale*, Firenze, 1996.

- **Brothwell D. R.**, *Digging up bones*, Oxford University press, Oxford, 1981.

- **Bruzek J.**, *A method for visual determination of sex, using the human hip bone*, in *American journal of Physical Anthropology*, 117, 2002.

- **Burns K. R.**, *Forensic Anthropology training manual*, Prentice Hall, Englewood Cliffs, (NJ) 1999.

- **Canci A., Minozzi S.**, *Archeologia dei resti umani. Dallo scavo al laboratorio*, Carocci, Roma 2005.

- **Capasso L., Kennedy K. A. R., Wilczak C. A.**, *Atlas of occupational markers on human remains*, Edigrafital, Teramo, 1999.

- **Dwight T.**, *The range and significance of variation in the human skeleton*, in *Boston medical surgery journal*, 13, Boston, 1894.

- **Ferembach D., Schwidetski I., Stloukal M.**, *Raccomandazioni per la determinazione dell'età e del sesso sullo scheletro* in *Rivista di Antropologia*, 60, 1977-79.

- **Gelichi S., Rinaldi R.**, *Il sepoltuario del 1291*, in *Archeologia medievale a Bologna. Gli scavi del convento di S. Domenico*, a cura di Gelichi S. e Merlo R., Bologna, 1987.

- **Gelichi S.**, *Archeologia dell'alto Medioevo*, in *La storia di Imola, dai primi insediamenti all'ancien régime*, a cura di Montanari M., Imola, 2000.
- **Gelichi S., Alberti A., Bertoldi F., Falla C., Negrelli C.**, *Il convento di San Francesco e l'archeologia per la storia di un'istituzione*, in *Arte gotica a Imola. Affreschi ritrovati in San Francesco e in San Domenico*, a cura di Pedrini C., La Mandragora, Imola, 2008.

- **Geraci G.**, *Imola romana: politica e società*, in *La storia di Imola, dai primi insediamenti all'ancien régime*, a cura di Montanari M., Imola, 2000.

- **Grandi E., Librenti M. (a cura di)**, *In la terra di Formigine: archeologia di un abitato*, All'insegna del Giglio 2013.

- **Haun S. J.**, *Brief communication: a study of the predictive accuracy of mandibular ramus flexure as a singular morphologic indicator of sex in an archaeological sample*, in *American journal of Physical Anthropology*, 111, 2000

- **Hawkey D. E., Merbs C. F.**, *Activities-induced musculo-skeletal stress markers (MSM) and subsistence strategy changes among ancient Hudson Bay Eskimos*, in *International Journal of Anthropology*, 5, 1995.

- **Krogman W. M., Iscan M. Y.**, *The human skeleton in forensic medicine*, Thomas C. C., Springfield, 1986.

- **Lovejoy C. O.**, *Dental wear in Libben population: its functional pattern and role in the determination of adult skeletal age at the death*, in *American journal of Physical Anthropology*, 68, 1985.

- **Meindl R. S., Lovejoy C. O.**, *Ectocranial suture closure: a revised method for the determination of age at death based on lateral-anterior sutures*, in *American journal of Physical Anthropology*, 68, 1985.

- **Novotny V.**, *Sex determination of the pelvic bone: a system approach*, in *Anthropologie (Brno)*, 21, 1986.

- **Ortalli J.**, *L'impronta romana sul territorio*, in *La storia di Imola, dai primi insediamenti all'ancien régime*, a cura di Montanari M., Imola, 2000.

- **Ostuni Minuzzi F.**; *Il cimitero di San Francesco di Imola: lo studio paleobiologico di un campione di popolazione*; Università Ca' Foscari di Venezia, Tesi di laurea, a.a. 2018-2019.

- **Padovani A.**, *Bizantini e Longobardi*, in *La storia di Imola, dai primi insediamenti all'ancien régime*, a cura di Montanari M., Imola, 2000.

- **Pearson K.**, *A study of the long bones of the English skeleton I: the femur*, University of London, University College, Department of Applied Statistics, Company research, Memoirs, Biometric series X, 1917-19.

- **Roberts C., Manchester K.**, *The archaeology of disease*, The History Press, Gloucestershire, 2005.

- **Ronchese F.**, *Occupational marks and other physical signs: a guide to personal identification*, New York, 1948.

- **Sisalli C.**, *Analisi paleobiologica degli inumati rinvenuti nel cimitero bassomedievale di Castel San Pietro (Bologna)*, Università Ca' Foscari di Venezia, Tesi di laurea, a.a. 2011-2012.

- **Stewart J. H., McCormick W. F.**, *Ossification patterns of costal cartilages as an indicator of sex*, in *Archives of pathology and laboratory medicine*, 107, 1983.

- **Stewart T. D.**, *Essentials of forensic anthropology*, Springfield, 1979.

- **Stloukal M., Hakanova, H.**, *Die länge der Längsknochen altslawischer Bevölkerungen – Unter besonden Berücksichtigung von Wachstumsfragen*, in *Homo*, 29, 1978.

- **Thieme F. P.**, *Sex in Negro skeletons*, in *Journal of forensic medicine*, 4, 1957.

- **Trotter M., Gleser G. C.**, *Estimation of stature from long bones in American whites and Negroes*, in *American journal of Physical Anthropology*, 10, 1952.

- **Trotter M., Gleser G. C.**, *A re-evaluation of stature based on measurements taken during life and of long bones after death*, in *American journal of Physical Anthropology*, 16, 1958.

- **Trotter M., Gleser G. C.**, *Corrigenda to “Estimation of stature from long limb bones of American whites and Negroes”*, in *American journal of Physical Anthropology*, 47, 1977.

- **Ubelaker D. H.**, *Human skeletal remains: excavation, analysis, interpretation*, Washington, 1989.

- **White T. D., Falkens P. A.**, *The human bone manual*, Elsevier academic press, 2005.

- **Wilczak C. A., Kennedy K. A. R.**, *Mostly MOS: Technical aspects of identification of skeletal markers of occupational stress*, in *Forensic osteology: advances in the identification of human remains*, Springfield, 1997.